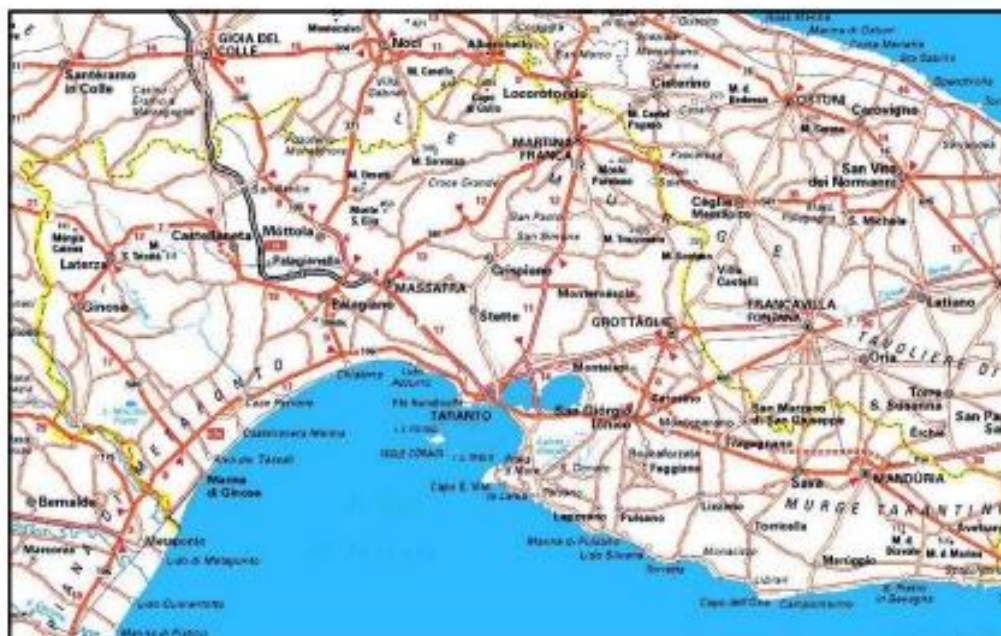


CONSORZIO DI BONIFICA STORNARA E TARA

TARANTO



PROGETTO DEFINITIVO CANALE LAMA DI POZZO LAVORI URGENTI DI DEMOLIZIONE E RICOSTRUZIONE DELL'OPERA D'ARTE DI ATTRAVERSAMENTO DEL CANALE CHIARADONNA

ALLEGATO
05.02

RELAZIONE GEOTECNICA

SCALA:

DATA: Dicembre 2015

Visto:
Il Direttore Generale
(Dott. Angelo D'Andria)

Il Responsabile del Procedimento
(Dott. Ing. Giovanni Merlino)

Il Progettista
(Dott. Ing. Domenico Genchi)

CONSORZIO DI BONIFICA STORNARA E TARA

TARANTO

PROGETTO DEFINITIVO

CANALE LAMA DI POZZO

LAVORI URGENTI DI DEMOLIZIONE E RICOSTRUZIONE DELL'OPERA D'ARTE DI
ATTRAVERSAMENTO DEL CANALE CHIARADONNA

RELAZIONE GEOTECNICA

NORMATIVE DI RIFERIMENTO

In quanto di seguito riportato viene fatto esplicito riferimento alle seguenti Normative:

- **LEGGE n° 64 del 02/02/1974.** "Provvedimenti per le costruzioni, con particolari prescrizioni per le zone sismiche.";
- **D.M. LL.PP. del 11/03/1988.** "Norme tecniche riguardanti le indagini sui terreni e sulle rocce, la stabilità dei pendii naturali e delle scarpate, i criteri generali e le prescrizioni per la progettazione, l'esecuzione e il collaudo delle opere di sostegno delle terre e delle opere di fondazione.";
- **D.M. LL.PP. del 16/01/1996.** "Norme tecniche per le costruzioni in zone sismiche.";
- **Circolare Ministeriale LL.PP. n° 65/AA.GG. del 10/04/1997.** "Istruzioni per l'applicazione delle "Norme Tecniche per le costruzioni in zone sismiche" di cui al D.M. 16/01/1996.";
- **Eurocodice 1 - Parte 1** - "Basi di calcolo ed azioni sulle strutture - Basi di calcolo -.";
- **Eurocodice 7 - Parte 1** - "Progettazione geotecnica - Regole generali -.";
- **Eurocodice 8 - Parte 5** - "Indicazioni progettuali per la resistenza sismica delle strutture - Fondazioni, strutture di contenimento ed aspetti geotecnici -.";
- **D.M. 14/01/2008 - NUOVE NORME TECNICHE PER LE COSTRUZIONI**
- **Circolare n. 617 del 02/02/2008**

INDAGINI IN SITO E CARATTERIZZAZIONE GEOTECNICA DEI TERRENI DI FONDAZIONE

La finalità della presente relazione è quella di definire il comportamento meccanico del volume di terreno (volume significativo) influenzato direttamente o indirettamente dalla costruzione di un manufatto e che a sua volta influenza il comportamento strutturale del manufatto stesso. Di seguito si illustrano i risultati delle indagini geologiche e geotecniche eseguite, nonché l'interpretazione dei risultati ottenuti. Dal quadro generale in tal modo scaturito si definiscono le caratteristiche della fondazione da adottare ed il modello da utilizzare per le elaborazioni relative alla interazione sovrastruttura-fondazione e fondazione-terreno.

Le risultanze dell'indagine in sito hanno evidenziato che:

Dalla Relazione Geologica appositamente redatta dal dott. geol. Rita AMATI, alla quale si rimanda per una esauriente descrizione della campagna geognostica effettuata, si evince che i terreni fondali interessati dall'opera sono caratterizzati essenzialmente da tre strati di terreno alluvionale di differenti caratteristiche, quali:

- *litotipo A) da 0.00 a 4.00 m: limo sabbioso argilloso, poco addensato*
 $\gamma_v = 1.29 \text{ g/cm}^3$; $\gamma_w = 1.85 \text{ g/cm}^3$
 $c' = 0.00$; $\phi' = 25^\circ$
- *litotipo B) da 4.00 a 15.00 m: sabbie con ciottoli e limo argilloso-sabbioso, poco addensati*
 $\gamma_v = 1.99 \text{ g/cm}^3$; $\gamma_w = 2.05 \text{ g/cm}^3$
 $c' = 24.54 \text{ KN/m}^2$; $c_u = 112.73 \text{ KN/m}^2$; $\phi' = 25^\circ$
- *litotipo C) da 15.00 a 22.00 m: limo argilloso con sabbia, mediamente addensati*
 $\gamma_v = 1.85 \text{ g/cm}^3$; $\gamma_w = 1.92 \text{ g/cm}^3$
 $c' = 20.93 \text{ KN/m}^2$; $c_u = 711.83 \text{ KN/m}^2$; $\phi' = 23^\circ$

Al di sotto del litotipo C, ma già gradante ad esse dalla profondità di circa 21 m, si rinvencono le argille subappenniniche di base, notevolmente più addensate e compatte degli strati superiori.

Le caratteristiche individuate per i terreni, i carichi stimati per la struttura, le caratteristiche e la funzionalità di questa hanno portato a considerare una fondazione di tipo profondo, con palificate di pali $\phi 600\text{mm}$ portate sino alla profondità di 24.00 da p.c., al fine di attestare la base dei pali ben all'interno dello strato di limi argillosi.

Per l'opera in oggetto, per quanto la portata delle palificate sia notevolmente maggiore dei carichi massimi, si è assunto comunque di considerare il contributo delle platee come fondazioni superficiali. Di tali platee si omette chiaramente la determinazione dei cedimenti, essendo queste condizionate dalla presenza delle palificate.

Di seguito si riportano alcuni cenni teorici relativi alle modalità di calcolo implementate e la descrizione della simbologia adottata nei tabulati. Le elaborazioni sono svolte mediante il Modulo Geotecnico PRO_SAPG del programma PRO_SAP utilizzato per il calcolo globale della struttura.

FONDAZIONI SUPERFICIALI

CARICO LIMITE DI FONDAZIONI SUPERFICIALI SU TERRENI

Per la determinazione del carico limite del complesso terreno-fondazione (inteso come valore asintotico del diagramma carico-cedimento) si fa riferimento a due principali meccanismi di rottura: il "meccanismo generale" e quello di "punzonamento". Il primo è caratterizzato dalla formazione di una superficie di scorrimento: il terreno sottostante la fondazione rifluisce lateralmente e verso l'alto, conseguentemente il terreno circostante la fondazione è interessato da un meccanismo di sollevamento ed emersione della superficie di scorrimento. Il secondo meccanismo è caratterizzato dall'assenza di una superficie di scorrimento ben definita: il terreno sotto la fondazione si comprime ed in corrispondenza della superficie del terreno circostante la fondazione si osserva un abbassamento generalizzato. Quest'ultimo meccanismo non consente una precisa individuazione del carico limite in quanto la curva cedimenti-carico applicato non raggiunge mai un valore asintotico ma cresce indefinitamente. Vesic ha studiato il fenomeno della rottura per punzonamento assimilando il terreno ad un mezzo elasto-plastico e la rottura per carico limite all'espansione di una cavità cilindrica. In questo caso il fenomeno risulta retto da un indice di rigidezza " I_r " così definito:

$$I_r = \frac{G}{c' + \sigma' \cdot \operatorname{tg}(\varphi)}$$

Per la determinazione del modulo di rigidezza a taglio si utilizzeranno le seguenti relazioni:

$$G = \frac{E}{2 \cdot (1 + \nu)}; \quad E = E_{ed} \frac{1 - \nu - 2 \cdot \nu^2}{1 - \nu}; \quad \nu = \frac{k_0}{1 + k_0}; \quad k_0 = 1 - \operatorname{sen}(\varphi)$$

L'indice di rigidezza viene confrontato con l'indice di rigidezza critico " $I_{r,crit}$ ":

$$I_{r,crit} = \frac{e^{\left[\left(3.3 - 0.45 \frac{B}{L} \right) \operatorname{ctg} \left(45^\circ - \frac{\varphi}{2} \right) \right]}}{2}$$

La rottura per punzonamento del terreno di fondazione avviene quando l'indice di rigidezza è minore di quello critico. Tale teoria comporta l'introduzione di coefficienti correttivi all'interno della formula trinomia del carico limite detti "coefficienti di punzonamento" i quali sono funzione dell'indice di rigidezza, dell'angolo d'attrito e della geometria dell'elemento di fondazione. La loro espressione è la seguente:

- se $I_r < I_{r,crit}$ si ha :

$$\Psi_\gamma = \Psi_q = e^{\left[\left(0.6 \frac{B}{L} - 4.4 \right) \operatorname{tg}(\varphi) + \frac{3.07 \cdot \operatorname{sen}(\varphi) \log_{10}(2 \cdot I_r)}{1 + \operatorname{sen}(\varphi)} \right]} \quad \text{se } \varphi = 0 \Rightarrow \Psi_\gamma = \Psi_q = 1$$

$$\Psi_c = \Psi_q - \frac{1 - \Psi_q}{N_c \cdot \operatorname{tg}(\varphi)} \quad \text{se } \varphi = 0 \Rightarrow \Psi_c = 0.32 + 0.12 \cdot \frac{B}{L} + 0.6 \cdot \log_{10}(I_r)$$

- se $I_r > I_{r,crit}$ si ha che $\Psi_\gamma = \Psi_q = \Psi_c = 1$.

Il significato dei simboli adottati nelle equazioni sopra riportate è il seguente:

- E_{ed} modulo edometrico del terreno sottostante la fondazione
- ν coefficiente di Poisson del terreno sottostante la fondazione
- k_0 coefficiente di spinta a riposo del terreno sottostante la fondazione
- φ angolo d'attrito efficace del terreno sottostante il piano di posa
- c' coesione (espressa in termini di tensioni efficaci)
- σ' tensione litostatica effettiva a profondità $D+B/2$
- L luce delle singole travi di fondazione
- D profondità del piano di posa della fondazione a partire dal piano campagna
- B larghezza della trave di fondazione

Definito il meccanismo di rottura, il calcolo del carico limite viene eseguito modellando il terreno come un mezzo rigido perfettamente plastico con la seguente espressione:

$$q_{ult} = \gamma_1 \cdot D \cdot N_q \cdot s_q \cdot d_q \cdot i_q \cdot \Psi_q + c \cdot N_c \cdot s_c \cdot d_c \cdot i_c \cdot \Psi_c + \gamma_2 \cdot \frac{B}{2} \cdot N_\gamma \cdot s_\gamma \cdot d_\gamma \cdot i_\gamma \cdot \Psi_\gamma \cdot r_\gamma$$

Il significato dei termini presenti nella relazione trinomia sopra riportata è il seguente:

- N_q, N_c, N_γ , fattori adimensionali di portanza funzione dell'angolo d'attrito interno φ del terreno

- s_q, s_c, s_γ , coefficienti che rappresentano il fattore di forma
- d_q, d_c, d_γ , coefficienti che rappresentano il fattore dell'approfondimento
- i_q, i_c, i_γ , coefficienti che rappresentano il fattore di inclinazione del carico
- γ_1 peso per unità di volume del terreno sovrastante il piano di posa
- γ_2 peso per unità di volume del terreno sottostante il piano di posa

Per fondazioni aventi larghezza modesta si dimostra che il terzo termine non aumenta indefinitamente e per valori elevati di "B", sia secondo Vesic che secondo de Beer, il valore limite è prossimo a quello di una fondazione profonda. Bowles per fondazioni di larghezza maggiore di 2.00 metri propone il seguente fattore riduttivo:

$$r_\gamma = 1 - 0.25 \cdot \log_{10} \left(\frac{B}{2} \right) \quad \text{dove "B" va espresso in metri.}$$

Questa relazione risulta particolarmente utile per fondazioni larghe con rapporto D/B basso (platee e simili), caso nel quale il terzo termine dell'equazione trinomia è predominante.

Nel caso di carico eccentrico Meyerhof consiglia di ridurre le dimensioni della superficie di contatto (A_f) tra fondazione e terreno (B, L) in tutte le formule del calcolo del carico limite. Tale riduzione è espressa dalle seguenti relazioni:

$$B_{rid} = B - 2 \cdot e_B \quad L_{rid} = L - 2 \cdot e_L \quad \text{dove } e_B, e_L \text{ sono le eccentricità relative alle dimensioni in esame.}$$

L'equazione trinomia del carico limite può essere risolta secondo varie formulazioni, di seguito si riportano quelle che sono state implementate:

Formulazione di Hansen (1970)

$$N_q = tg^2 \left(\frac{90^\circ + \varphi}{2} \right) \cdot e^{\pi \cdot tg(\varphi)} \quad N_\gamma = 1.5 \cdot (N_q - 1) \cdot tg(\varphi) \quad N_c = (N_q - 1) \cdot ctg(\varphi)$$

- se $\varphi \neq 0$ si ha:

$$s_q = 1 + \frac{B}{L} \cdot tg(\varphi) \quad s_\gamma = 1 - 0.4 \cdot \frac{B}{L} \quad s_c = 1 + \frac{N_q \cdot B}{N_c \cdot L}$$

$$d_q = 1 + 2 \cdot tg(\varphi) \cdot (1 - \text{sen}(\varphi))^2 \cdot \Theta \quad d_\gamma = 1.0 \quad d_c = 1 + 0.4 \cdot \Theta$$

$$\text{dove : se } \frac{D}{B} \leq 1 \Rightarrow \Theta = \frac{D}{B}, \text{ se } \frac{D}{B} > 1 \Rightarrow \Theta = \text{arctg} \left(\frac{D}{B} \right)$$

$$i_q = \left[1 - \frac{0.5 \cdot H}{V + A_f \cdot c_a \cdot ctg(\varphi)} \right]^{\alpha_1} \quad i_\gamma = \left[1 - \frac{0.7 \cdot H}{V + A_f \cdot c_a \cdot ctg(\varphi)} \right]^{\alpha_2} \quad i_c = i_q - \frac{1 - i_q}{N_q - 1}$$

- se $\varphi = 0$ si ha:

$$s_q = 1.0 \quad s_\gamma = 1.0 \quad s_c = 1 + 0.2 \cdot \frac{B}{L}$$

$$d_q = 1.0 \quad d_\gamma = 1.0 \quad d_c = 1 + 0.4 \cdot \Theta$$

$$i_q = 1.0 \quad i_\gamma = 1.0 \quad i_c = 0.5 \cdot \left(1 + \sqrt{1 - \frac{H}{A_f \cdot c_a}} \right)$$

Formulazione di Vesic (1975)

$$N_q = tg^2 \left(\frac{90^\circ + \varphi}{2} \right) \cdot e^{\pi \cdot tg(\varphi)} \quad N_\gamma = 2 \cdot (N_q + 1) \cdot tg(\varphi) \quad N_c = (N_q - 1) \cdot ctg(\varphi)$$

- se $\varphi \neq 0$ si ha:

$$s_q = 1 + \frac{B}{L} \cdot tg(\varphi) \quad s_\gamma = 1 - 0.4 \cdot \frac{B}{L} \quad s_c = 1 + \frac{N_q \cdot B}{N_c \cdot L}$$

$$d_q = 1 + 2 \cdot tg(\varphi) \cdot (1 - \text{sen}(\varphi))^2 \cdot \Theta \quad d_\gamma = 1.0 \quad d_c = 1 + 0.4 \cdot \Theta$$

$$\text{dove : se } \frac{D}{B} \leq 1 \Rightarrow \Theta = \frac{D}{B}, \text{ se } \frac{D}{B} > 1 \Rightarrow \Theta = \text{arctg} \left(\frac{D}{B} \right)$$

$$i_q = \left[1 - \frac{H}{V + A_f \cdot c_a \cdot ctg(\varphi)} \right]^m \quad i_\gamma = \left[1 - \frac{H}{V + A_f \cdot c_a \cdot ctg(\varphi)} \right]^{m+1} \quad i_c = i_q - \frac{1-i_q}{N_q - 1}$$

$$\text{dove: } m = m_B = \frac{2 + \frac{B}{L}}{1 + \frac{B}{L}} \quad m = m_L = \frac{2 + \frac{L}{B}}{1 + \frac{L}{B}}$$

- se $\varphi = 0$ si ha:

$$s_q = 1.0 \quad s_\gamma = 1.0 \quad s_c = 1 + 0.2 \cdot \frac{B}{L}$$

$$d_q = 1.0 \quad d_\gamma = 1.0 \quad d_c = 1 + 0.4 \cdot \Theta$$

$$i_q = 1.0 \quad i_\gamma = 1.0 \quad i_c = 1 - \frac{m \cdot H}{A_f \cdot c_a \cdot N_c}$$

Formulazione di Brinch-Hansen

$$N_q = tg^2 \left(\frac{90^\circ + \varphi}{2} \right) \cdot e^{\pi \cdot tg(\varphi)} \quad N_\gamma = 2 \cdot (N_q + 1) \cdot tg(\varphi) \quad N_c = (N_q - 1) \cdot ctg(\varphi)$$

- se $\varphi \neq 0$ si ha:

$$s_q = 1 + 0.1 \cdot \frac{B \cdot (1 + \text{sen}(\varphi))}{L \cdot (1 - \text{sen}(\varphi))} \quad s_\gamma = 1 + 0.1 \cdot \frac{B \cdot (1 + \text{sen}(\varphi))}{L \cdot (1 - \text{sen}(\varphi))} \quad s_c = 1 + 0.2 \cdot \frac{B \cdot (1 + \text{sen}(\varphi))}{L \cdot (1 - \text{sen}(\varphi))}$$

$$d_q = 1 + 2 \cdot tg(\varphi) \cdot (1 - \text{sen}(\varphi))^2 \cdot \Theta \quad d_\gamma = 1.0 \quad d_c = d_q - \frac{1 - d_q}{N_c \cdot tg(\varphi)}$$

$$\text{dove: se } \frac{D}{B} \leq 1 \Rightarrow \Theta = \frac{D}{B}, \text{ se } \frac{D}{B} > 1 \Rightarrow \Theta = \arctg\left(\frac{D}{B}\right)$$

$$i_q = \left[1 - \frac{H}{V + A_f \cdot c_a \cdot ctg(\varphi)} \right]^m \quad i_\gamma = \left[1 - \frac{H}{V + A_f \cdot c_a \cdot ctg(\varphi)} \right]^{m+1} \quad i_c = i_q - \frac{1-i_q}{N_q - 1}$$

$$\text{dove: } m = m_B = \frac{2 + \frac{B}{L}}{1 + \frac{B}{L}} \quad m = m_L = \frac{2 + \frac{L}{B}}{1 + \frac{L}{B}}$$

- se $\varphi = 0$ si ha:

$$s_q = 1.0 \quad s_\gamma = 1.0 \quad s_c = 1 + 0.2 \cdot \frac{B}{L}$$

$$d_q = 1.0 \quad d_\gamma = 1.0 \quad d_c = 1 + 0.4 \cdot \Theta$$

$$i_q = 1.0 \quad i_\gamma = 1.0 \quad i_c = 1 - \frac{m \cdot H}{A_f \cdot c_a \cdot N_c}$$

Formulazione Eurocodice 7

$$N_q = tg^2 \left(\frac{90^\circ + \varphi}{2} \right) \cdot e^{\pi \cdot tg(\varphi)} \quad N_\gamma = 2 \cdot (N_q - 1) \cdot tg(\varphi) \quad N_c = (N_q - 1) \cdot ctg(\varphi)$$

- se $\varphi \neq 0$ si ha:

$$s_q = 1 + \frac{B}{L} \cdot \text{sen}(\varphi) \quad s_\gamma = 1 - 0.3 \cdot \frac{B}{L} \quad s_c = \frac{s_q \cdot (N_q - 1)}{N_q - 1}$$

$$d_q = 1 + 2 \cdot tg(\varphi) \cdot (1 - \text{sen}(\varphi))^2 \cdot \Theta \quad d_\gamma = 1.0 \quad d_c = 1 + 0.4 \cdot \Theta$$

$$\text{dove: se } \frac{D}{B} \leq 1 \Rightarrow \Theta = \frac{D}{B}, \text{ se } \frac{D}{B} > 1 \Rightarrow \Theta = \arctg\left(\frac{D}{B}\right)$$

- se H è parallela al lato B si ha:

$$i_q = \left[1 - \frac{0.7 \cdot H}{V + A_f \cdot c_a \cdot ctg(\varphi)} \right]^3 \quad i_\gamma = \left[1 - \frac{H}{V + A_f \cdot c_a \cdot ctg(\varphi)} \right]^3 \quad i_c = \frac{i_q \cdot N_q - 1}{N_q - 1}$$

- se H è parallela al lato L si ha:

$$i_q = 1 - \frac{H}{V + A_f \cdot c_a \cdot ctg(\varphi)} \quad i_\gamma = 1 - \frac{H}{V + A_f \cdot c_a \cdot ctg(\varphi)} \quad i_c = \frac{i_q \cdot N_q - 1}{N_q - 1}$$

- se $\varphi = 0$ si ha:

$$s_q = 1.0 \quad s_\gamma = 1.0 \quad s_c = 1 + 0.2 \cdot \frac{B}{L}$$

$$d_q = 1.0 \quad d_\gamma = 1.0 \quad d_c = 1 + 0.4 \cdot \Theta$$

$$i_q = 1.0 \quad i_\gamma = 1.0 \quad i_c = 0.5 \cdot \left(1 + \sqrt{1 - \frac{H}{A_f \cdot c_a}} \right)$$

Si ricorda che per le relazioni sopra riportate nel caso in cui $\varphi = 0 \Rightarrow N_q = 1.0, N_\gamma = 1.0$ e $N_c = 2 + \pi$.

Il significato dei termini presenti nelle relazioni su descritte è il seguente:

- V componente verticale del carico agente sulla fondazione
- H componente orizzontale del carico agente sulla fondazione (sia lungo B che lungo L)
- c_a adesione fondazione-terreno (valore variabile tra il 60% e 100% della coesione)
- α_1, α_2 esponenti di potenza che variano tra 2 e 5

Nel caso in cui il cuneo di fondazione sia interessato da falda idrica il valore di γ_2 nella formula trinomia assume la seguente espressione:

$$\gamma_2 = \frac{\gamma \cdot z + \gamma_{sat} \cdot (h_c - z)}{h_c} \quad h_c = \frac{B}{2} \cdot tg\left(\frac{90 + \varphi}{2}\right)$$

dove i termini dell'espressione hanno il seguente significato:

- γ peso per unità di volume del terreno sottostante il piano di posa
- γ_{sat} peso per unità di volume saturo del terreno sottostante il piano di posa
- z profondità della falda dal piano di posa
- h_c altezza del cuneo di rottura della fondazione

Tutto ciò che è stato detto sopra è valido nell'ipotesi di terreno con caratteristiche geotecniche omogenee. Nella realtà i terreni costituenti il piano di posa delle fondazioni sono quasi sempre composti, o comunque riconducibili, a formazioni di terreno omogenee di spessore variabile che si sovrappongono (caso di terreni stratificati). In queste condizioni i parametri vengono determinati con la seguente procedura:

- viene determinata l'altezza del cuneo di rottura in funzione delle caratteristiche geotecniche degli strati attraversati; quindi si determinano il numero degli strati interessati da esso
- in corrispondenza di ogni superficie di separazione, partendo da quella immediatamente sottostante il piano di posa della fondazione, fino a raggiungere l'altezza del cuneo di rottura, viene determinata la capacità portante di ogni singolo strato come somma di due valori: il primo dato dall'applicazione della formula trinomia alla quota i-esima dello strato; il secondo dato dalla resistenza al punzonamento del terreno sovrastante lo strato in esame
- il minimo di questi due valori sarà assunto come valore massimo della capacità portante della fondazione stratificata

Si può formulare il procedimento anche in forma analitica:

$$q'_{ult} = [q''_{ult} + q_{resT}]_{\min} = \left[q''_{ult} + \frac{p}{A_f} (P_V \cdot K_S \cdot tg(\varphi) + d \cdot c) \right]_{\min}$$

dove i termini dell'espressione hanno il seguente significato:

- q''_{ult} carico limite per un'ipotetica fondazione posta alla quota dello strato interessato
- p perimetro della fondazione
- P_V spinta verticale del terreno dal piano di posa allo strato interessato
- K_S coefficiente di spinta laterale del terreno
- d distanza dal piano di posa allo strato interessato

CARICO LIMITE DI FONDAZIONI SUPERFICIALI SU ROCCIA

Per la determinazione del carico limite nel caso di presenza di ammasso roccioso bisogna valutare molto attentamente il grado di solidità della roccia stessa. Tale valutazione viene in genere eseguita stimando l'indice *RQD* (Rock Quality Designation) che rappresenta una misura della qualità di un ammasso roccioso. Tale indice può variare da un minimo di 0 (caso in cui la lunghezza dei pezzi di roccia estratti da carotiere è inferiore a 100 mm) ad un massimo di 1 (caso in cui la carota risulta integra) ed è calcolato nel seguente modo:

$$RQD = \frac{\sum \text{lunghezze dei pezzi di roccia intatta } > 100\text{mm}}{\text{lunghezza del carotiere}}$$

Se il valore di *RQD* è molto basso la roccia è molto fratturata ed il calcolo della capacità portante dell'ammasso roccioso va condotto alla stregua di un terreno sciolto utilizzando tutte le formulazioni sopra descritte.

Per ricavare la capacità portante di rocce non assimilabili ad ammassi di terreno sciolto sono state implementate due formulazioni: quella di Terzaghi (1943) e quella di Stagg-Zienkiewicz (1968), entrambe correlate all'indice *RQD*. In definitiva il valore della capacità portante sarà espresso dalla seguente relazione:

$$q'_{ult} = q''_{ult} \cdot RQD^2$$

dove i termini dell'espressione hanno il seguente significato:

- q'_{ult} carico limite dell'ammasso roccioso
- q''_{ult} carico limite calcolato alla Terzaghi o alla Stagg-Zienkiewicz

In questo caso l'equazione trinomia del carico limite assume la seguente forma:

$$q''_{ult} = \gamma_1 \cdot D \cdot N_q + c \cdot N_c \cdot s_c + \gamma_2 \cdot \frac{B}{2} \cdot N_\gamma \cdot s_\gamma$$

I termini presenti nell'equazione hanno lo stesso significato già visto in precedenza; i coefficienti di forma assumeranno i seguenti valori:

- $s_c = 1.0$ per fondazioni di tipo nastriforme $s_c = 1.3$ per fondazioni di tipo quadrato;
- $s_\gamma = 1.0$ per fondazioni di tipo nastriforme $s_\gamma = 0.8$ per fondazioni di tipo quadrato.

I fattori adimensionali di portanza a seconda della formulazione adottata saranno:

Formulazione di Terzaghi (1943)

$$N_q = \frac{e^{2 \left(\frac{0.75 \cdot \pi - \varphi}{2} \right) \cdot \text{tg}(\varphi)}}{2 \cdot \cos^2 \left(\frac{90^\circ + \varphi}{2} \right)} \quad N_\gamma = \frac{\text{tg}(\varphi)}{2} \left(\frac{K_{p\gamma}}{\cos^2(\varphi)} - 1 \right) \quad N_c = (N_q - 1) \cdot \text{ctg}(\varphi)$$

se $\varphi = 0 \Rightarrow N_c = 1.5 \cdot \pi + 1$

φ	0	5	10	15	20	25	30	35	40	45	50
$K_{p\gamma}$	10.8	12.2	14.7	18.6	25.0	35.0	52.0	82.0	141.0	298.0	800.0

Formulazione di Stagg-Zienkiewicz (1968)

$$N_q = \text{tg}^6 \left(\frac{90^\circ + \varphi}{2} \right) \quad N_\gamma = N_q + 1 \quad N_c = 5 \cdot \text{tg}^4 \left(\frac{90^\circ + \varphi}{2} \right)$$

VERIFICA A ROTTURA PER SCORRIMENTO DI FONDAZIONI SUPERFICIALI

Se il carico applicato alla base della fondazione non è normale alla stessa bisogna effettuare anche una verifica per rottura a scorrimento. Rispetto al collasso per scorrimento la resistenza offerta dal sistema fondale viene valutata come somma di due componenti: la prima derivante dall'attrito fondazione-terreno, la seconda derivante dall'adesione. In generale, oltre a queste due componenti, può essere tenuto in conto anche l'effetto della spinta passiva del terreno di ricoprimento esercita sulla fondazione fino ad un massimo del 30%. La formulazione analitica della verifica può essere esposta nel seguente modo:

$$T_{Sd} \leq T_{Rd} = N_{Sd} \cdot tg(\delta) + A_f \cdot c_a + S_p \cdot f_{Sp}$$

dove i termini dell'espressione hanno il seguente significato:

- T_{Sd} componente orizzontale del carico agente sulla fondazione (sia lungo B che lungo L)
- N_{Sd} componente verticale del carico agente sulla fondazione
- c_a adesione fondazione-terreno (valore variabile tra il 60% e 100% della coesione)
- δ angolo d'attrito fondazione-terreno (valore variabile tra il 60% e 100% della coesione)
- S_p spinta passiva del terreno di ricoprimento della fondazione
- f_{Sp} percentuale di partecipazione della spinta passiva
- A_f superficie di contatto del piano di posa della fondazione

La verifica deve essere effettuata sia per componenti taglianti parallele alla base della fondazione che per quelle ortogonali.

DETERMINAZIONE DELLE TENSIONI INDOTTE NEL TERRENO

Ai fini del calcolo dei cedimenti è essenziale conoscere lo stato tensionale indotto nel terreno a varie profondità da un carico applicato in superficie. Tale determinazione viene eseguita ipotizzando che il terreno si comporti come un mezzo continuo, elastico-lineare, omogeneo e isotopo. Tale assunzione, utilizzata per la determinazione della variazione delle tensioni verticali dovuta all'applicazione di un carico in superficie, è confortata dalla letteratura (Morgenstern e Phukan) perché la non linearità del materiale poco influenza la distribuzione delle tensioni verticali. Per ottenere un profilo verticale di pressioni si possono utilizzare tre metodi di calcolo: quello di Boussinesq, quello di Westergaard oppure quello di Mindlin; tutti basati sulla teoria del continuo elastico. Il metodo di Westergaard differisce da quello di Boussinesq per la presenza del coefficiente di Poisson "u", quindi si adatta meglio ai terreni stratificati. Il metodo di Mindlin differisce dai primi due per la possibilità di posizionare il carico all'interno del continuo elastico mentre i primi due lo pongono esclusivamente sulla frontiera quindi si presta meglio al caso di fondazioni molto profonde. Nel caso di fondazioni poste sulla frontiera del continuo elastico il metodo di Mindlin risulta equivalente a quello di Boussinesq. Le espressioni analitiche dei tre metodi di calcolo sono:

$$\text{Boussinesq} \Rightarrow \Delta\sigma_v = \frac{3 \cdot Q \cdot z^3}{2 \cdot \pi \cdot (r^2 + z^2)^{\frac{5}{2}}} \quad \text{Westergaard} \Rightarrow \Delta\sigma_v = \frac{Q}{2 \cdot \pi \cdot z^2} \cdot \frac{\sqrt{1-2 \cdot \nu}}{\left(\frac{1-2 \cdot \nu}{2-2 \cdot \nu} + \frac{r^2}{z^2}\right)^{\frac{3}{2}}}$$

dove i termini dell'espressioni hanno il seguente significato:

- Q carico puntiforme applicato sulla frontiera del mezzo
- r proiezione orizzontale della distanza del punto di applicazione del carico dal punto in esame
- z proiezione verticale della distanza del punto di applicazione del carico dal punto in esame

$$\text{Mindlin} \Rightarrow \Delta\sigma_v = \frac{Q}{8 \cdot \pi \cdot (1-\nu) \cdot D^2} \left(\frac{-\frac{(1-2 \cdot \nu) \cdot (m-1)}{A^3} + \frac{(1-2 \cdot \nu) \cdot (m-1)}{B^3} - \frac{3 \cdot (m-1)^3}{A^5} - \frac{30 \cdot m \cdot (m+1)^3}{B^7}}{-\frac{3 \cdot (3-4 \cdot \nu) \cdot m \cdot (m+1)^2 - 3 \cdot (m+1) \cdot (5 \cdot m-1)}{B^5}} \right)$$

$$n = \frac{r}{D}; \quad m = \frac{z}{D}; \quad A^2 = n^2 + (m-1)^2; \quad B^2 = n^2 + (m+1)^2$$

dove i termini dell'espressioni hanno il seguente significato:

- Q carico puntiforme applicato sulla frontiera o all'interno del mezzo
- D proiezione verticale della distanza del punto di applicazione del carico dalla frontiera del mezzo
- r proiezione orizzontale della distanza del punto di applicazione del carico dal punto in esame
- z proiezione verticale della distanza del punto di applicazione del carico dal punto in esame

Basandosi sulle ben note equazioni ricavate per un carico puntiforme, l'algoritmo implementato esegue un'integrazione delle equazioni di cui sopra lungo la verticale di ogni punto notevole degli elementi fondali estesa a tutte le aree di carico presenti sulla superficie del terreno; questo consente di determinare la variazione dello stato

tensionale verticale " $\Delta\sigma_v$ ". Bisogna sottolineare che, nel caso di pressione, "Q" va definito come "pressione netta", ossia la pressione in eccesso rispetto a quella geostatica esistente che può essere sopportata con sicurezza alla profondità "D" del piano di posa delle fondazioni. Questo perché i cedimenti sono causati solo da incrementi netti di pressione che si aggiungono all'esistente pressione geostatica.

CALCOLO DEI CEDIMENTI DELLA FONDAZIONE

La determinazione dei cedimenti delle fondazioni assume una rilevanza notevole per il manufatto da realizzarsi, in special modo nella fase di esercizio. Nell'evolversi della fase di cedimento il terreno passa da uno stato di sforzo corrente dovuto al peso proprio ad uno nuovo dovuto all'effetto del carico addizionale applicato. Questa variazione dello stato tensionale produce una serie di movimenti di rotolamento e scorrimento relativo tra i granuli del terreno, nonché deformazioni elastiche e rotture delle particelle costituenti il mezzo localizzate in una limitata zona d'influenza a ridosso dell'area di carico. L'insieme di questi fenomeni costituisce il cedimento che nel caso in esame è verticale. Nonostante la frazione elastica sia modesta, l'esperienza ha dimostrato che ai fini del calcolo dei cedimenti modellare il terreno come materiale pseudoelastico permette di ottenere risultati soddisfacenti. In letteratura sono descritti diversi metodi per il calcolo dei cedimenti ma si ricorda che, qualunque sia il metodo di calcolo, la determinazione del valore del cedimento deve intendersi come la miglior stima delle deformazioni subite dal terreno da attendersi all'applicazione dei carichi. Nel seguito vengono descritte le teorie implementate:

Metodo edometrico, che si basa sulla nota relazione:

$$w_{ed} = \sum_{i=1}^n \frac{\Delta\sigma_{v,i}}{E_{ed,i}} \cdot \Delta z_i$$

dove i termini dell'espressioni hanno il seguente significato:

- $\Delta\sigma_{v,i}$ variazione dello stato tensionale verticale alla profondità " z_i " dello strato i-esimo per l'applicazione del carico
- $E_{ed,i}$ modulo edometrico del terreno relativo allo strato i-esimo
- Δz_i spessore dello strato i-esimo

Si ricorda che questo metodo si basa sull'ipotesi edometrica quindi l'accuratezza del risultato è maggiore quando il rapporto tra lo spessore dello strato deformabile e la dimensione in pianta delle fondazioni è ridotto, tuttavia il metodo edometrico consente una buona approssimazione anche nel caso di strati deformabili di spessore notevole.

Metodo dell'elasticità, che si basa sulle note relazioni:

$$w_{Imp.} = \sum_{i=1}^n \frac{\Delta\sigma_{v,i}}{E_i} \cdot \Delta z_i \quad w_{Lib.} = \sum_{i=1}^n \frac{\Delta\sigma_{v,i}}{E_i} \cdot \frac{1-2 \cdot \nu^2}{1-\nu} \cdot \Delta z_i$$

dove i termini dell'espressioni hanno il seguente significato:

- $w_{Imp.}$ cedimento in condizioni di deformazione laterale impedita
- $w_{Lib.}$ cedimento in condizioni di deformazione laterale libera
- $\Delta\sigma_{v,i}$ variazione stato tensionale verticale alla profondità " z_i " dello strato i-esimo per l'applicazione del carico
- E_i modulo elastico del terreno relativo allo strato i-esimo
- Δz_i spessore dello strato i-esimo

La doppia formulazione adottata consente di ottenere un intervallo di valori del cedimento elastico per la fondazione in esame (valore minimo per $w_{Imp.}$ e valore massimo per $w_{Lib.}$).

SIMBOLOGIA ADOTTATA NEI TABULATI DI CALCOLO

Per maggior chiarezza nella lettura dei tabulati di calcolo viene riportata la descrizione dei simboli principali utilizzati nella stesura degli stessi. Per comodità di lettura la legenda è suddivisa in paragrafi con la stessa modalità in cui sono stampati i tabulati di calcolo.

Dati geometrici degli elementi costituenti le fondazioni superficiali

per tipologie travi e plinti superficiali:

- Indice Strat. indice della stratigrafia associata all'elemento
- Prof. Fon. profondità del piano di posa dell'elemento a partire dal piano campagna
- Base larghezza della sezione trasversale dell'elemento
- Altezza altezza della sezione trasversale dell'elemento
- Lung. Elem. dimensione dello sviluppo longitudinale dell'elemento
- Lung. Travata nel caso l'elemento appartenga ad un macroelemento, rappresenta la dimensione dello sviluppo longitudinale del macroelemento

per tipologia platea:

- Indice Strat. indice della stratigrafia associata all'elemento
- Prof. Fon. profondità del piano di posa dell'elemento dal piano campagna
- Dia. Eq. diametro del cerchio equivalente alla superficie dell'elemento
- Spessore spessore dell'elemento
- Superficie superficie dell'elemento
- Vert. Elem. Numero dei vertici che costituiscono l'elemento
- Macro nel caso l'elemento appartenga ad un macroelemento, rappresenta il numero del macroelemento

Nel caso si avesse scelto di determinare la portanza anche per gli elementi platea è presente un'ulteriore riga nella quale sono riportate le caratteristiche geometriche del plinto equivalente alla macro/platea in esame.

Dati di carico degli elementi costituenti le fondazioni superficiali

per tipologie travi e plinti superficiali:

- Cmb numero della combinazione di carico
- Tipologia tipologia della combinazione di carico
- Sismica flag per l'applicazione della riduzione sismica alle caratteristiche meccaniche del terreno di fondazione per la combinazione di carico in esame
- Ecc. B eccentricità del carico normale agente sul piano di fondazione in direzione parallela alla sezione trasversale dell'elemento
- Ecc. L eccentricità del carico normale agente sul piano di fondazione in direzione parallela allo sviluppo longitudinale dell'elemento
- S.Taglio B sforzo di taglio agente sul piano di fondazione in direzione parallela alla sezione trasversale dell'elemento
- S.Taglio L sforzo di taglio agente sul piano di fondazione in direzione parallela allo sviluppo longitudinale dell'elemento
- S.Normale carico normale agente sul piano di fondazione
- T.T.min minimo valore della distribuzione tensionale di contatto tra terreno ed elemento fondale
- T.T.max massimo valore della distribuzione tensionale di contatto tra terreno ed elemento fondale

per tipologia platea:

- Cmb numero della combinazione di carico
- Tipologia tipologia della combinazione di carico
- Sismica flag per l'applicazione della riduzione sismica alle caratteristiche meccaniche del terreno di fondazione per la combinazione di carico in esame
- Press. N1 tensione di contatto tra terreno e fondazione nel vertice n° 1 dell'elemento
- Press. N2 tensione di contatto tra terreno e fondazione nel vertice n° 2 dell'elemento
- Press. N3 tensione di contatto tra terreno e fondazione nel vertice n° 3 dell'elemento
- Press. N4 tensione di contatto tra terreno e fondazione nel vertice n° 4 dell'elemento
- S.Taglio X sforzo di taglio agente sul piano di fondazione in direzione parallela all'asse X del riferimento globale
- S.Taglio Y sforzo di taglio agente sul piano di fondazione in direzione parallela all'asse Y del riferimento globale

Nel caso si avesse scelto di determinare la portanza anche per gli elementi platea è presente un'ulteriore riga nella

quale sono riportate le macroazioni (integrale delle azioni applicate sui singoli elementi che compongono la platea) agenti sul plinto equivalente alla macro/platea in esame.

Valori di calcolo della portanza per fondazioni superficiali

- Cmb numero della combinazione di carico
- Qlim capacità portante totale data dalla somma di Qlim q, Qlim g, Qlim c e di Qres P (nel caso in cui si operi alle tensioni ammissibili corrisponde alla portanza ammissibile)
- Qlim q termine relativo al sovraccarico della formula trinomia per il calcolo della capacità portante (nel caso in cui si operi alle tensioni ammissibili corrisponde alla relativa parte della portanza ammissibile)
- Qlim g termine relativo alla larghezza della base di fondazione della formula trinomia per il calcolo della capacità portante (nel caso in cui si operi alle tensioni ammissibili corrisponde alla relativa parte della portanza ammissibile)
- Qlim c termine relativo alla coesione della formula trinomia per il calcolo della capacità portante (nel caso in cui si operi alle tensioni ammissibili corrisponde alla relativa parte della portanza ammissibile)
- Qres P termine relativo alla resistenza al punzonamento del terreno sovrastante lo strato di rottura. Diverso da zero solo nel caso di terreni stratificati dove lo strato di rottura è diverso dal primo (nel caso in cui si operi alle tensioni ammissibili corrisponde alla relativa parte della portanza ammissibile)
- Qmax / Qlim rapporto tra il massimo valore della distribuzione tensionale di contatto tra terreno ed elemento fondale ed il valore della capacità portante (verifica positiva se il rapporto è < 1.0).
- TBlim valore limite della resistenza a scorrimento in direzione parallela alla sezione trasversale dell'elemento
- TB / TBlim rapporto tra lo sforzo di taglio agente ed il valore limite della resistenza a scorrimento in direzione parallela alla sezione trasversale dell'elemento (verifica positiva se il rapporto è < 1.0)
- TLLim valore limite della resistenza a scorrimento in direzione parallela allo sviluppo longitudinale dell'elemento
- TL / TLLim rapporto tra lo sforzo di taglio agente ed il valore limite della resistenza a scorrimento in direzione parallela allo sviluppo longitudinale dell'elemento (verifica positiva se il rapporto è < 1.0)
- Sgm. Lt. tensione litostatica agente alla quota del piano di posa dell'elemento fondale

Nel caso si avesse scelto di determinare la portanza anche per gli elementi platea è presente un'ulteriore riga nella quale sono riportate le verifiche di portanza del plinto equivalente alla macro/platea in esame.

Valori di calcolo dei cedimenti per fondazioni superficiali

- Cmb numero della combinazione di carico e tipologia
- Nodo vertice dell'elemento in cui viene calcolato il cedimento
- Car. Netto valore del carico netto applicato sulla superficie del terreno
- Cedimento/i valore del cedimento (nel caso di calcolo di cedimenti elastici i valori riportati sono due, il primo corrisponde al cedimento $w_{Imp.}$, mentre il secondo al cedimento $w_{Lib.}$)

PARAMETRI DI CALCOLO

Metodi di calcolo della portanza per fondazioni superficiali:

- Per terreni sciolti: Vesic
- Per terreni lapidei: Terzaghi

Fattori utilizzati per il calcolo della portanza per fondazioni superficiali :

- Riduzione dimensioni per eccentricità: si
- Fattori di forma della fondazione: si
- Fattori di profondità del piano di posa: si
- Fattori di inclinazione del carico: si
- Fattori di punzonamento (Vesic): si
- Fattore riduzione effetto piastra (Bowles): si
- Fattore di riduzione dimensione Base equivalente platea: 20.0 %
- Fattore di riduzione dimensione Lunghezza equivalente platea: 20.0 %

Effetti inerziali (Paolucci-Pecker):

- Coeff. sismico orizzontale $K_h = 0.04313$
- Angolo d'attrito alla quota di fond.= 20.0
- Fattore correttivo $Z_c = 0.986$
- Fattore correttivo $Z_q = 0.957$

Coefficienti parziali di sicurezza per Tensioni Ammissibili, SLE e SLD nel calcolo della portanza per fondazioni superficiali:

- Coeff. parziale di sicurezza F_c (statico): 2.50
- Coeff. parziale di sicurezza F_q (statico): 2.50
- Coeff. parziale di sicurezza F_g (statico): 2.50
- Coeff. parziale di sicurezza F_c (sismico): 3.00
- Coeff. parziale di sicurezza F_q (sismico): 3.00
- Coeff. parziale di sicurezza F_g (sismico): 3.00

Combinazioni di carico:**APPROCCIO PROGETTUALE TIPO 1 - Comb. STR (A1+M1+R1), GEO (A2+M2+R2)**

Coefficienti parziali di sicurezza per SLU nel calcolo della portanza per fondazioni superficiali :

I coeff. A1 e A2 risultano combinati secondo lo schema presente nella relazione di calcolo della struttura.

- Coeff. M1 per $\tan \phi$ (statico): 1
- Coeff. M1 per c' (statico): 1
- Coeff. M1 per C_u (statico): 1
- Coeff. M1 per $\tan \phi$ (sismico): 1
- Coeff. M1 per c' (sismico): 1
- Coeff. M1 per C_u (sismico): 1
- Coeff. M2 per $\tan \phi$ (statico): 1.25
- Coeff. M2 per c' (statico): 1.25
- Coeff. M2 per C_u (statico): 1.40
- Coeff. M2 per $\tan \phi$ (sismico): 1.25
- Coeff. M2 per c' (sismico): 1.25
- Coeff. M2 per C_u (sismico): 1.40

- Coeff. R1 capacità portante: 1.00
- Coeff. R1 scorrimento: 1.00
- Coeff. R2 capacità portante: 1.80
- Coeff. R2 scorrimento: 1.10

Parametri per la verifica a scorrimento delle fondazioni superficiali:

- Fattore per l'adesione ($6 < Ca < 10$): 8
- Fattore per attrito terreno-fondazione ($5 < \Delta < 10$): 7
- Frazione di spinta passiva f_{Sp} : 30.00 %

Metodi e parametri per il calcolo dei cedimenti delle fondazioni superficiali:

- Metodo di calcolo tensioni superficiali: Boussinesq
- Modalità d'interferenza dei bulbi tensionali: sovrapposizione dei bulbi
- Metodo di calcolo dei cedimenti del terreno: cedimenti edometrici

ARCHIVIO STRATIGRAFIE

Indice / Descrizione: 001 / Nuova stratigrafia n. 1

Numero strati: 3

Profondità falda: assente

Strato n.	Quota di riferimento	Spessore	Indice / Descrizione terreno	Attrito Neg.
1	da 0.0 a -400.0 cm	400.0 cm	001 / Sabbia sciolta	Assente
2	da -400.0 a -1500.0 cm	1100.0 cm	002 / Sabbia limosa compatta	Assente
3	da -1500.0 a -2700.0 cm	1200.0 cm	003 / Sabbia argillosa compatta	Assente

ARCHIVIO TERRENI

Indice / Descrizione terreno: **001 / Sabbia sciolta**

Comportamento del terreno: condizione drenata

Peso Spec.	P. Spec. Sat.	Angolo Res.	Coesione	Mod.Elast.	Mod.Edom.	Dens.Rel.	Poisson	C. Ades.
daN/cm ²	daN/cm ²	Gradi°	daN/cm ²	daN/cm ²	daN/cm ²	%	%	
1.290 E-3	1.850 E-3	25.000	0.000	57.743	100.000	60.0	0.366	1.00

Indice / Descrizione terreno: **002 / Sabbia limosa compatta**

Comportamento del terreno: condizione drenata

Peso Spec.	P. Spec. Sat.	Angolo Res.	Coesione	Mod.Elast.	Mod.Edom.	Dens.Rel.	Poisson	C. Ades.
daN/cm ²	daN/cm ²	Gradi°	daN/cm ²	daN/cm ²	daN/cm ²	%	%	
1.990 E-3	2.050 E-3	25.000	0.255	86.614	150.000	60.0	0.366	0.75

Indice / Descrizione terreno: **003 / Sabbia argillosa compatta**

Comportamento del terreno: condizione drenata

Peso Spec.	P. Spec. Sat.	Angolo Res.	Coesione	Mod.Elast.	Mod.Edom.	Dens.Rel.	Poisson	C. Ades.
daN/cm ²	daN/cm ²	Gradi°	daN/cm ²	daN/cm ²	daN/cm ²	%	%	
1.850 E-3	1.920 E-3	23.000	0.209	80.608	150.000	60.0	0.379	0.79

DATI GEOMETRICI DEGLI ELEMENTI COSTITUENTI LE FONDAZIONI SUPERFICIALI

Elemento n.	Tipologia	Id.Strat.	Prof. Fon. cm	Dia. Eq. cm	Spessore cm	Superficie cm ²	Vertici n. per elem.	Macro n.
Platea n. 1	Platea	001	40.000	36.564	80.000	1050.000	4	1
Platea n. 2	Platea	001	40.000	36.564	80.000	1050.000	4	1
Platea n. 3	Platea	001	40.000	36.564	80.000	1050.000	4	1
Platea n. 4	Platea	001	40.000	36.564	80.000	1050.000	4	1
Platea n. 5	Platea	001	40.000	36.564	80.000	1050.000	4	1
Platea n. 6	Platea	001	40.000	36.564	80.000	1050.000	4	1
Platea n. 7	Platea	001	40.000	49.443	80.000	1920.000	4	1
Platea n. 8	Platea	001	40.000	49.443	80.000	1920.000	4	1
Platea n. 9	Platea	001	40.000	49.443	80.000	1920.000	4	1
Platea n. 10	Platea	001	40.000	49.443	80.000	1920.000	4	1
Platea n. 11	Platea	001	40.000	49.443	80.000	1920.000	4	1
Platea n. 12	Platea	001	40.000	49.443	80.000	1920.000	4	1
Platea n. 13	Platea	001	40.000	49.443	80.000	1920.000	4	1
Platea n. 14	Platea	001	40.000	49.443	80.000	1920.000	4	1
Platea n. 15	Platea	001	40.000	49.443	80.000	1920.000	4	1
Platea n. 16	Platea	001	40.000	49.443	80.000	1920.000	4	1
Platea n. 17	Platea	001	40.000	49.443	80.000	1920.000	4	1
Platea n. 18	Platea	001	40.000	49.443	80.000	1920.000	4	1
Platea n. 19	Platea	001	40.000	49.443	80.000	1920.000	4	1
Platea n. 20	Platea	001	40.000	49.443	80.000	1920.000	4	1
Platea n. 21	Platea	001	40.000	49.443	80.000	1920.000	4	1
Platea n. 22	Platea	001	40.000	49.443	80.000	1920.000	4	1
Platea n. 23	Platea	001	40.000	49.443	80.000	1920.000	4	1
Platea n. 24	Platea	001	40.000	49.443	80.000	1920.001	4	1
Platea n. 25	Platea	001	40.000	49.443	80.000	1920.001	4	1
Platea n. 26	Platea	001	40.000	49.443	80.000	1920.000	4	1
Platea n. 27	Platea	001	40.000	49.443	80.000	1920.001	4	1
Platea n. 28	Platea	001	40.000	49.443	80.000	1920.000	4	1
Platea n. 29	Platea	001	40.000	49.443	80.000	1919.999	4	1
Platea n. 30	Platea	001	40.000	49.443	80.000	1919.999	4	1
Platea n. 31	Platea	001	40.000	49.443	80.000	1920.000	4	1
Platea n. 32	Platea	001	40.000	49.443	80.000	1920.000	4	1
Platea n. 33	Platea	001	40.000	49.443	80.000	1919.999	4	1
Platea n. 34	Platea	001	40.000	49.443	80.000	1920.000	4	1
Platea n. 35	Platea	001	40.000	49.443	80.000	1920.001	4	1
Platea n. 36	Platea	001	40.000	49.443	80.000	1920.001	4	1
Platea n. 37	Platea	001	40.000	49.443	80.000	1920.000	4	1
Platea n. 38	Platea	001	40.000	49.443	80.000	1919.999	4	1
Platea n. 39	Platea	001	40.000	49.443	80.000	1920.000	4	1
Platea n. 40	Platea	001	40.000	49.443	80.000	1920.000	4	1
Platea n. 41	Platea	001	40.000	49.443	80.000	1919.999	4	1
Platea n. 42	Platea	001	40.000	49.443	80.000	1919.999	4	1
Platea n. 43	Platea	001	40.000	49.443	80.000	1920.000	4	1
Platea n. 44	Platea	001	40.000	49.443	80.000	1920.001	4	1
Platea n. 45	Platea	001	40.000	49.443	80.000	1919.998	4	1
Platea n. 46	Platea	001	40.000	49.443	80.000	1920.000	4	1
Platea n. 47	Platea	001	40.000	49.443	80.000	1920.000	4	1

Platea n.	2208	Platea	001	80.000	49.443	80.000	1919.999	4	4
Platea n.	2209	Platea	001	80.000	49.443	80.000	1920.000	4	4
Platea n.	2210	Platea	001	80.000	49.443	80.000	1920.004	4	4
Platea n.	2211	Platea	001	80.000	49.443	80.000	1920.002	4	4
Platea n.	2212	Platea	001	80.000	49.443	80.000	1919.999	4	4
Platea n.	2213	Platea	001	80.000	49.443	80.000	1920.000	4	4
Platea n.	2214	Platea	001	80.000	49.443	80.000	1920.000	4	4
Platea n.	2215	Platea	001	80.000	49.443	80.000	1919.999	4	4
Platea n.	2216	Platea	001	80.000	49.443	80.000	1919.999	4	4
Platea n.	2217	Platea	001	80.000	49.443	80.000	1920.000	4	4
Platea n.	2218	Platea	001	80.000	49.443	80.000	1920.000	4	4
Platea n.	2219	Platea	001	80.000	49.443	80.000	1919.999	4	4
Platea n.	2220	Platea	001	80.000	49.443	80.000	1919.999	4	4
Platea n.	2221	Platea	001	80.000	49.443	80.000	1920.000	4	4
Platea n.	2222	Platea	001	80.000	49.443	80.000	1920.000	4	4
Platea n.	2223	Platea	001	80.000	49.443	80.000	1919.999	4	4
Platea n.	2224	Platea	001	80.000	49.443	80.000	1919.999	4	4
Platea n.	2225	Platea	001	80.000	49.443	80.000	1920.000	4	4
Platea n.	2226	Platea	001	80.000	49.443	80.000	1920.000	4	4
Platea n.	2227	Platea	001	80.000	49.443	80.000	1920.000	4	4
Platea n.	2228	Platea	001	80.000	49.443	80.000	1920.000	4	4
Platea n.	2229	Platea	001	80.000	49.443	80.000	1919.998	4	4
Platea n.	2230	Platea	001	80.000	49.443	80.000	1919.998	4	4
Platea n.	2231	Platea	001	80.000	49.443	80.000	1920.000	4	4
Platea n.	2232	Platea	001	80.000	49.443	80.000	1920.000	4	4
Platea n.	2233	Platea	001	80.000	49.443	80.000	1920.000	4	4
Platea n.	2234	Platea	001	80.000	49.443	80.000	1920.000	4	4
Platea n.	2235	Platea	001	80.000	49.443	80.000	1920.000	4	4
Platea n.	2236	Platea	001	80.000	49.443	80.000	1920.000	4	4
Platea n.	2237	Platea	001	80.000	49.443	80.000	1919.998	4	4
Platea n.	2238	Platea	001	80.000	49.443	80.000	1920.002	4	4
Platea n.	2239	Platea	001	80.000	49.443	80.000	1920.000	4	4
Platea n.	2240	Platea	001	80.000	49.443	80.000	1920.002	4	4
Platea n.	2333	Platea	001	40.000	65.793	80.000	3399.766	3	8
Platea n.	2334	Platea	001	40.000	106.410	80.000	8893.093	4	8
Platea n.	2335	Platea	001	40.000	102.903	80.000	8316.667	4	8
Platea n.	2336	Platea	001	40.000	90.645	80.000	6453.305	4	8
Platea n.	2337	Platea	001	40.000	81.992	80.000	5279.980	4	8
Platea n.	2338	Platea	001	40.000	103.176	80.000	8360.836	4	8
Platea n.	2339	Platea	001	40.000	92.345	80.000	6697.502	4	8
Platea n.	2340	Platea	001	40.000	112.475	80.000	9935.836	4	8
Platea n.	2341	Platea	001	40.000	102.630	80.000	8272.502	4	8
Platea n.	2342	Platea	001	40.000	107.926	80.000	9148.325	4	8
Platea n.	2343	Platea	001	40.000	97.623	80.000	7484.994	4	8
Platea n.	2344	Platea	001	40.000	107.926	80.000	9148.336	4	8
Platea n.	2345	Platea	001	40.000	97.623	80.000	7485.002	4	8
Platea n.	2346	Platea	001	40.000	102.903	80.000	8316.669	4	8
Platea n.	2347	Platea	001	40.000	102.903	80.000	8316.669	4	8
Platea n.	2348	Platea	001	40.000	107.926	80.000	9148.336	4	8
Platea n.	2349	Platea	001	40.000	97.623	80.000	7485.002	4	8
Platea n.	2350	Platea	001	40.000	107.926	80.000	9148.330	4	8
Platea n.	2351	Platea	001	40.000	97.623	80.000	7484.998	4	8
Platea n.	2352	Platea	001	40.000	102.903	80.000	8316.664	4	8
Platea n.	2353	Platea	001	40.000	102.903	80.000	8316.664	4	8
Platea n.	2354	Platea	001	40.000	107.926	80.000	9148.336	4	8
Platea n.	2355	Platea	001	40.000	97.623	80.000	7485.002	4	8
Platea n.	2356	Platea	001	40.000	107.926	80.000	9148.336	4	8
Platea n.	2357	Platea	001	40.000	97.623	80.000	7485.002	4	8
Platea n.	2358	Platea	001	40.000	102.903	80.000	8316.664	4	8
Platea n.	2359	Platea	001	40.000	102.903	80.000	8316.664	4	8
Platea n.	2360	Platea	001	40.000	107.926	80.000	9148.333	4	8
Platea n.	2361	Platea	001	40.000	97.623	80.000	7485.000	4	8
Platea n.	2362	Platea	001	40.000	107.926	80.000	9148.333	4	8
Platea n.	2363	Platea	001	40.000	97.623	80.000	7485.000	4	8
Platea n.	2364	Platea	001	40.000	102.903	80.000	8316.668	4	8
Platea n.	2365	Platea	001	40.000	102.903	80.000	8316.668	4	8
Platea n.	2366	Platea	001	40.000	107.926	80.000	9148.334	4	8
Platea n.	2367	Platea	001	40.000	97.623	80.000	7485.000	4	8
Platea n.	2368	Platea	001	40.000	107.926	80.000	9148.333	4	8
Platea n.	2369	Platea	001	40.000	97.623	80.000	7485.000	4	8
Platea n.	2370	Platea	001	40.000	102.903	80.000	8316.667	4	8
Platea n.	2371	Platea	001	40.000	65.793	80.000	3399.726	3	8

Platea n.	2372	Platea	001	40.000	80.579	80.000	5099.623	4	8
Platea n.	2373	Platea	001	40.000	58.096	80.000	2650.855	3	8
Platea n.	2374	Platea	001	40.000	97.623	80.000	7484.999	4	8
Platea n.	2375	Platea	001	40.000	107.926	80.000	9148.329	4	8
Platea n.	2376	Platea	001	40.000	97.623	80.000	7485.000	4	8
Platea n.	2377	Platea	001	40.000	107.926	80.000	9148.338	4	8
Platea n.	2378	Platea	001	40.000	102.903	80.000	8316.669	4	8
Platea n.	2379	Platea	001	40.000	102.903	80.000	8316.669	4	8
Platea n.	2380	Platea	001	40.000	97.623	80.000	7485.004	4	8
Platea n.	2381	Platea	001	40.000	107.926	80.000	9148.334	4	8
Platea n.	2382	Platea	001	40.000	97.623	80.000	7484.998	4	8
Platea n.	2383	Platea	001	40.000	107.926	80.000	9148.335	4	8
Platea n.	2384	Platea	001	40.000	102.903	80.000	8316.666	4	8
Platea n.	2385	Platea	001	40.000	102.903	80.000	8316.666	4	8
Platea n.	2386	Platea	001	40.000	97.623	80.000	7485.004	4	8
Platea n.	2387	Platea	001	40.000	107.926	80.000	9148.333	4	8
Platea n.	2388	Platea	001	40.000	97.623	80.000	7484.999	4	8
Platea n.	2389	Platea	001	40.000	107.926	80.000	9148.338	4	8
Platea n.	2390	Platea	001	40.000	102.903	80.000	8316.666	4	8
Platea n.	2391	Platea	001	40.000	102.903	80.000	8316.666	4	8
Platea n.	2392	Platea	001	40.000	97.623	80.000	7485.003	4	8
Platea n.	2393	Platea	001	40.000	107.926	80.000	9148.330	4	8
Platea n.	2394	Platea	001	40.000	97.623	80.000	7484.998	4	8
Platea n.	2395	Platea	001	40.000	107.926	80.000	9148.338	4	8
Platea n.	2396	Platea	001	40.000	100.958	80.000	8005.253	4	8
Platea n.	2397	Platea	001	40.000	73.167	80.000	4204.517	3	8
Platea n.	2398	Platea	001	40.000	107.926	80.000	9148.345	4	8
Platea n.	2399	Platea	001	40.000	102.903	80.000	8316.634	4	8
Platea n.	2400	Platea	001	40.000	103.025	80.000	8336.247	4	8
Platea n.	2401	Platea	001	40.000	64.882	80.000	3306.299	4	8
Platea n.	2403	Platea	001	40.000	64.882	80.000	3306.299	4	8
Platea n.	2404	Platea	001	40.000	97.632	80.000	7486.365	4	8
Platea n.	2405	Platea	001	40.000	82.244	80.000	5312.498	3	8
Platea n.	2521	Platea	001	40.000	52.771	80.000	2187.171	3	8
Platea n.	2522	Platea	001	40.000	52.771	80.000	2187.158	3	8
Platea n.	2523	Platea	001	40.000	38.049	80.000	1137.057	4	8
Platea n.	2524	Platea	001	40.000	41.266	80.000	1337.415	3	8
Platea n.	2525	Platea	001	40.000	58.542	80.000	2691.671	3	8
Platea n.	2526	Platea	001	40.000	42.214	80.000	1399.606	3	8
Platea n.	2527	Platea	001	40.000	61.025	80.000	2924.872	3	8
Platea n.	2528	Platea	001	40.000	91.470	80.000	6571.272	4	8
Platea n.	2529	Platea	001	40.000	106.098	80.000	8840.968	4	8
Platea n.	2530	Platea	001	40.000	52.810	80.000	2190.420	3	8
Platea n.	2531	Platea	001	40.000	78.466	80.000	4835.633	3	8
Platea n.	2532	Platea	001	40.000	84.628	80.000	5625.000	4	8
Platea n.	2533	Platea	001	40.000	71.399	80.000	4003.815	3	8
Platea n.	2534	Platea	001	40.000	95.476	80.000	7159.361	3	8
Platea n.	2535	Platea	001	40.000	88.485	80.000	6149.292	3	8
Platea n.	2536	Platea	001	40.000	102.913	80.000	8318.180	3	8
Platea n.	2537	Platea	001	40.000	102.913	80.000	8318.188	3	8
Platea n.	2540	Platea	001	40.000	102.913	80.000	8318.183	4	8
Platea n.	2541	Platea	001	40.000	107.936	80.000	9150.003	4	8
Platea n.	2542	Platea	001	40.000	107.936	80.000	9150.000	4	8
Platea n.	2543	Platea	001	40.000	102.913	80.000	8318.184	4	8
Platea n.	2544	Platea	001	40.000	107.936	80.000	9150.002	4	8
Platea n.	2545	Platea	001	40.000	107.936	80.000	9150.003	4	8
Platea n.	2546	Platea	001	40.000	102.913	80.000	8318.182	4	8
Platea n.	2547	Platea	001	40.000	107.936	80.000	9149.998	4	8
Platea n.	2548	Platea	001	40.000	102.913	80.000	8318.183	4	8
Platea n.	2549	Platea	001	40.000	97.632	80.000	7486.365	4	8
Platea n.	2550	Platea	001	40.000	97.632	80.000	7486.363	4	8
Platea n.	2551	Platea	001	40.000	102.913	80.000	8318.184	4	8
Platea n.	2552	Platea	001	40.000	97.632	80.000	7486.366	4	8
Platea n.	2553	Platea	001	40.000	97.632	80.000	7486.365	4	8
Platea n.	2554	Platea	001	40.000	102.913	80.000	8318.182	4	8
Platea n.	2555	Platea	001	40.000	64.189	80.000	3235.972	3	8
Platea n.	2556	Platea	001	40.000	52.410	80.000	2157.327	3	8
Platea n.	2557	Platea	001	40.000	102.913	80.000	8318.180	4	8
Platea n.	2558	Platea	001	40.000	102.913	80.000	8318.180	4	8
Platea n.	2559	Platea	001	40.000	97.632	80.000	7486.370	4	8
Platea n.	2560	Platea	001	40.000	107.936	80.000	9150.008	4	8
Platea n.	2561	Platea	001	40.000	97.632	80.000	7486.361	4	8

Platea n.	2562	Platea	001	40.000	107.936	80.000	9149.997	4	8
Platea n.	2563	Platea	001	40.000	102.913	80.000	8318.182	4	8
Platea n.	2564	Platea	001	40.000	102.913	80.000	8318.182	4	8
Platea n.	2565	Platea	001	40.000	97.632	80.000	7486.364	4	8
Platea n.	2566	Platea	001	40.000	107.936	80.000	9150.000	4	8
Platea n.	2567	Platea	001	40.000	97.632	80.000	7486.363	4	8
Platea n.	2568	Platea	001	40.000	107.936	80.000	9150.000	4	8
Platea n.	2569	Platea	001	40.000	102.913	80.000	8318.184	4	8
Platea n.	2570	Platea	001	40.000	102.913	80.000	8318.184	4	8
Platea n.	2571	Platea	001	40.000	97.632	80.000	7486.364	4	8
Platea n.	2572	Platea	001	40.000	107.936	80.000	9149.999	4	8
Platea n.	2573	Platea	001	40.000	97.632	80.000	7486.363	4	8
Platea n.	2574	Platea	001	40.000	107.936	80.000	9150.000	4	8
Platea n.	2575	Platea	001	40.000	102.913	80.000	8318.183	4	8
Platea n.	2576	Platea	001	40.000	102.913	80.000	8318.183	4	8
Platea n.	2577	Platea	001	40.000	83.034	80.000	5414.996	4	8
Platea n.	2578	Platea	001	40.000	87.240	80.000	5977.496	4	8
Platea n.	2579	Platea	001	40.000	83.034	80.000	5415.005	4	8
Platea n.	2580	Platea	001	40.000	78.603	80.000	4852.505	4	8
Platea n.	2581	Platea	001	40.000	83.034	80.000	5414.996	4	8
Platea n.	2582	Platea	001	40.000	83.034	80.000	5414.996	4	8
Platea n.	2583	Platea	001	40.000	83.034	80.000	5415.005	4	8
Platea n.	2584	Platea	001	40.000	83.034	80.000	5415.005	4	8
Platea n.	2585	Platea	001	40.000	83.034	80.000	5414.996	4	8
Platea n.	2586	Platea	001	40.000	83.034	80.000	5414.996	4	8
Platea n.	2587	Platea	001	40.000	97.632	80.000	7486.361	4	8
Platea n.	2588	Platea	001	40.000	107.936	80.000	9149.996	4	8
Platea n.	2589	Platea	001	40.000	80.286	80.000	5062.500	4	8
Platea n.	2590	Platea	001	40.000	88.759	80.000	6187.500	4	8
Platea n.	2591	Platea	001	40.000	84.628	80.000	5625.000	4	8
Platea n.	2592	Platea	001	40.000	72.770	80.000	4159.087	3	8
Platea n.	2593	Platea	001	40.000	63.551	80.000	3172.001	3	8
Platea n.	2594	Platea	001	40.000	72.770	80.000	4159.090	3	8
Platea n.	2595	Platea	001	40.000	80.579	80.000	5099.603	4	8
Platea n.	2596	Platea	001	40.000	65.793	80.000	3399.723	3	8
Platea n.	2597	Platea	001	40.000	80.579	80.000	5099.586	4	8
Platea n.	2598	Platea	001	40.000	65.793	80.000	3399.723	3	8
Platea n.	2599	Platea	001	40.000	80.579	80.000	5099.558	4	8
Platea n.	2600	Platea	001	40.000	65.793	80.000	3399.778	3	8
Platea n.	2601	Platea	001	40.000	65.793	80.000	3399.777	3	8
Platea n.	2602	Platea	001	40.000	80.579	80.000	5099.610	4	8
Platea n.	2603	Platea	001	40.000	80.579	80.000	5099.591	4	8
Platea n.	2604	Platea	001	40.000	65.793	80.000	3399.752	3	8
Platea n.	2605	Platea	001	40.000	80.579	80.000	5099.547	4	8
Platea n.	2606	Platea	001	40.000	65.793	80.000	3399.752	3	8
Platea n.	2607	Platea	001	40.000	80.579	80.000	5099.602	4	8
Platea n.	2608	Platea	001	40.000	65.793	80.000	3399.750	3	8
Platea n.	2609	Platea	001	40.000	65.793	80.000	3399.749	3	8
Platea n.	2610	Platea	001	40.000	80.579	80.000	5099.631	4	8
Platea n.	2611	Platea	001	40.000	80.579	80.000	5099.595	4	8
Platea n.	2612	Platea	001	40.000	65.793	80.000	3399.739	3	8
Platea n.	2613	Platea	001	40.000	80.579	80.000	5099.568	4	8
Platea n.	2614	Platea	001	40.000	65.793	80.000	3399.739	3	8
Platea n.	2615	Platea	001	40.000	80.579	80.000	5099.573	4	8
Platea n.	2616	Platea	001	40.000	65.793	80.000	3399.769	3	8
Platea n.	2617	Platea	001	40.000	65.793	80.000	3399.768	3	8
Platea n.	2618	Platea	001	40.000	80.579	80.000	5099.622	4	8
Platea n.	2619	Platea	001	40.000	80.579	80.000	5099.602	4	8
Platea n.	2620	Platea	001	40.000	65.793	80.000	3399.724	3	8
Platea n.	2621	Platea	001	40.000	80.579	80.000	5099.590	4	8
Platea n.	2622	Platea	001	40.000	74.971	80.000	4414.460	3	8
Platea n.	2623	Platea	001	40.000	68.189	80.000	3651.868	4	8
Platea n.	2624	Platea	001	40.000	66.554	80.000	3478.848	3	8
Platea n.	2625	Platea	001	40.000	40.288	80.000	1274.818	3	8
Platea n.	2626	Platea	001	40.000	40.199	80.000	1269.190	3	8
Platea n.	2627	Platea	001	40.000	57.730	80.000	2617.495	3	8
Platea n.	2628	Platea	001	40.000	66.314	80.000	3453.810	3	8
Platea n.	2629	Platea	001	40.000	84.628	80.000	5625.000	4	8
Platea n.	2630	Platea	001	40.000	104.027	80.000	8499.319	4	8
Platea n.	2631	Platea	001	40.000	92.706	80.000	6750.000	4	8
Platea n.	2632	Platea	001	40.000	104.027	80.000	8499.313	4	8
Platea n.	2633	Platea	001	40.000	104.027	80.000	8499.321	4	8

Platea n. 2634	Platea	001	40.000	104.027	80.000	8499.320	4	8
Platea n. 2635	Platea	001	40.000	80.579	80.000	5099.590	4	8
Platea n. 2636	Platea	001	40.000	104.027	80.000	8499.320	4	8
Platea n. 2637	Platea	001	40.000	65.793	80.000	3399.757	3	8
Platea n. 2638	Platea	001	40.000	104.027	80.000	8499.315	4	8
Platea n. 2639	Platea	001	40.000	104.027	80.000	8499.319	4	8
Platea n. 2640	Platea	001	40.000	104.027	80.000	8499.318	4	8
Platea n. 2641	Platea	001	40.000	45.879	80.000	1653.149	3	8
Platea n. 2642	Platea	001	40.000	104.027	80.000	8499.322	4	8
Platea n. 2643	Platea	001	40.000	48.860	80.000	1875.000	3	8
Platea n. 2644	Platea	001	40.000	104.027	80.000	8499.322	4	8
Platea n. 2645	Platea	001	40.000	104.027	80.000	8499.317	4	8
Platea n. 2646	Platea	001	40.000	104.027	80.000	8499.318	4	8
Platea n. 2647	Platea	001	40.000	50.604	80.000	2011.249	3	8
Platea n. 2648	Platea	001	40.000	104.027	80.000	8499.319	4	8
Platea n. 2649	Platea	001	40.000	47.732	80.000	1789.393	3	8
Platea n. 2650	Platea	001	40.000	104.027	80.000	8499.315	4	8
Platea n. 2651	Platea	001	40.000	104.027	80.000	8499.320	4	8
Platea n. 2652	Platea	001	40.000	104.027	80.000	8499.317	4	8
Platea n. 2653	Platea	001	40.000	80.579	80.000	5099.608	4	8
Platea n. 2654	Platea	001	40.000	104.027	80.000	8499.315	4	8
Platea n. 2655	Platea	001	40.000	65.793	80.000	3399.755	3	8
Platea n. 2656	Platea	001	40.000	104.027	80.000	8499.319	4	8
Platea n. 2657	Platea	001	40.000	104.027	80.000	8499.323	4	8
Platea n. 2658	Platea	001	40.000	104.027	80.000	8499.315	4	8
Platea n. 2659	Platea	001	40.000	65.793	80.000	3399.752	3	8
Platea n. 2660	Platea	001	40.000	104.027	80.000	8499.315	4	8
Platea n. 2661	Platea	001	40.000	80.579	80.000	5099.631	4	8
Platea n. 2662	Platea	001	40.000	104.027	80.000	8499.315	4	8
Platea n. 2663	Platea	001	40.000	104.027	80.000	8499.306	4	8
Platea n. 2664	Platea	001	40.000	75.743	80.000	4505.837	4	8
Platea n. 2665	Platea	001	40.000	104.028	80.000	8499.366	4	8
Platea n. 2666	Platea	001	40.000	75.694	80.000	4500.000	4	8
Platea n. 2667	Platea	001	40.000	104.028	80.000	8499.359	4	8
Platea n. 2668	Platea	001	40.000	84.628	80.000	5625.000	4	8
Platea n. 2669	Platea	001	40.000	104.028	80.000	8499.365	4	8
Platea n. 2670	Platea	001	40.000	104.028	80.000	8499.366	4	8
Platea n. 2671	Platea	001	40.000	104.028	80.000	8499.364	4	8
Platea n. 2672	Platea	001	40.000	80.579	80.000	5099.547	4	8
Platea n. 2673	Platea	001	40.000	104.028	80.000	8499.362	4	8
Platea n. 2674	Platea	001	40.000	65.793	80.000	3399.752	3	8
Platea n. 2675	Platea	001	40.000	104.028	80.000	8499.364	4	8
Platea n. 2676	Platea	001	40.000	104.028	80.000	8499.365	4	8
Platea n. 2677	Platea	001	40.000	104.028	80.000	8499.361	4	8
Platea n. 2678	Platea	001	40.000	80.579	80.000	5099.594	4	8
Platea n. 2679	Platea	001	40.000	104.028	80.000	8499.367	4	8
Platea n. 2680	Platea	001	40.000	65.793	80.000	3399.740	3	8
Platea n. 2681	Platea	001	40.000	104.028	80.000	8499.367	4	8
Platea n. 2682	Platea	001	40.000	104.028	80.000	8499.365	4	8
Platea n. 2683	Platea	001	40.000	104.028	80.000	8499.365	4	8
Platea n. 2684	Platea	001	40.000	80.579	80.000	5099.565	4	8
Platea n. 2685	Platea	001	40.000	104.028	80.000	8499.365	4	8
Platea n. 2686	Platea	001	40.000	65.793	80.000	3399.738	3	8
Platea n. 2687	Platea	001	40.000	104.028	80.000	8499.365	4	8
Platea n. 2688	Platea	001	40.000	104.028	80.000	8499.360	4	8
Platea n. 2689	Platea	001	40.000	104.028	80.000	8499.366	4	8
Platea n. 2690	Platea	001	40.000	80.579	80.000	5099.581	4	8
Platea n. 2691	Platea	001	40.000	104.028	80.000	8499.368	4	8
Platea n. 2692	Platea	001	40.000	65.793	80.000	3399.763	3	8
Platea n. 2693	Platea	001	40.000	104.028	80.000	8499.362	4	8
Platea n. 2694	Platea	001	40.000	100.032	80.000	7858.946	4	8
Platea n. 2695	Platea	001	40.000	104.028	80.000	8499.368	4	8
Platea n. 2857	Platea	001	40.000	52.771	80.000	2187.164	3	8
Platea n. 3148	Platea	001	40.000	35.522	80.000	991.052	3	8
Platea n. 3149	Platea	001	40.000	43.263	80.000	1470.015	3	8
Platea n. 3158	Platea	001	40.000	38.620	80.000	1171.427	3	8
Platea n. 3159	Platea	001	40.000	65.856	80.000	3406.238	3	8
Platea n. 2789	Platea	001	40.000	106.410	80.000	8893.102	4	9
Platea n. 2790	Platea	001	40.000	102.903	80.000	8316.650	4	9
Platea n. 2791	Platea	001	40.000	90.646	80.000	6453.329	4	9
Platea n. 2792	Platea	001	40.000	81.992	80.000	5279.996	4	9
Platea n. 2793	Platea	001	40.000	103.176	80.000	8360.815	4	9

Platea n.	2794	Platea	001	40.000	92.344	80.000	6697.485	4	9
Platea n.	2795	Platea	001	40.000	112.475	80.000	9935.815	4	9
Platea n.	2796	Platea	001	40.000	102.630	80.000	8272.485	4	9
Platea n.	2797	Platea	001	40.000	107.926	80.000	9148.315	4	9
Platea n.	2798	Platea	001	40.000	97.623	80.000	7484.985	4	9
Platea n.	2799	Platea	001	40.000	107.926	80.000	9148.396	4	9
Platea n.	2800	Platea	001	40.000	97.623	80.000	7485.051	4	9
Platea n.	2801	Platea	001	40.000	102.903	80.000	8316.650	4	9
Platea n.	2802	Platea	001	40.000	102.903	80.000	8316.650	4	9
Platea n.	2803	Platea	001	40.000	107.926	80.000	9148.315	4	9
Platea n.	2804	Platea	001	40.000	97.623	80.000	7484.985	4	9
Platea n.	2805	Platea	001	40.000	107.926	80.000	9148.315	4	9
Platea n.	2806	Platea	001	40.000	97.623	80.000	7484.985	4	9
Platea n.	2807	Platea	001	40.000	102.904	80.000	8316.724	4	9
Platea n.	2808	Platea	001	40.000	102.904	80.000	8316.724	4	9
Platea n.	2809	Platea	001	40.000	107.926	80.000	9148.315	4	9
Platea n.	2810	Platea	001	40.000	97.623	80.000	7484.985	4	9
Platea n.	2811	Platea	001	40.000	107.926	80.000	9148.315	4	9
Platea n.	2812	Platea	001	40.000	97.623	80.000	7484.985	4	9
Platea n.	2813	Platea	001	40.000	102.903	80.000	8316.650	4	9
Platea n.	2814	Platea	001	40.000	102.903	80.000	8316.650	4	9
Platea n.	2815	Platea	001	40.000	107.926	80.000	9148.355	4	9
Platea n.	2816	Platea	001	40.000	97.623	80.000	7485.018	4	9
Platea n.	2817	Platea	001	40.000	107.926	80.000	9148.315	4	9
Platea n.	2818	Platea	001	40.000	97.623	80.000	7484.985	4	9
Platea n.	2819	Platea	001	40.000	102.904	80.000	8316.687	4	9
Platea n.	2820	Platea	001	40.000	102.904	80.000	8316.688	4	9
Platea n.	2821	Platea	001	40.000	107.926	80.000	9148.315	4	9
Platea n.	2822	Platea	001	40.000	97.623	80.000	7484.985	4	9
Platea n.	2823	Platea	001	40.000	107.926	80.000	9148.355	4	9
Platea n.	2824	Platea	001	40.000	97.623	80.000	7485.018	4	9
Platea n.	2825	Platea	001	40.000	102.903	80.000	8316.650	4	9
Platea n.	2826	Platea	001	40.000	65.793	80.000	3399.730	3	9
Platea n.	2827	Platea	001	40.000	80.579	80.000	5099.629	4	9
Platea n.	2828	Platea	001	40.000	58.096	80.000	2650.862	3	9
Platea n.	2829	Platea	001	40.000	97.623	80.000	7485.022	4	9
Platea n.	2830	Platea	001	40.000	107.926	80.000	9148.353	4	9
Platea n.	2831	Platea	001	40.000	97.623	80.000	7485.015	4	9
Platea n.	2832	Platea	001	40.000	107.926	80.000	9148.360	4	9
Platea n.	2833	Platea	001	40.000	102.903	80.000	8316.650	4	9
Platea n.	2834	Platea	001	40.000	102.903	80.000	8316.651	4	9
Platea n.	2835	Platea	001	40.000	97.623	80.000	7484.985	4	9
Platea n.	2836	Platea	001	40.000	107.926	80.000	9148.316	4	9
Platea n.	2837	Platea	001	40.000	97.623	80.000	7485.015	4	9
Platea n.	2838	Platea	001	40.000	107.926	80.000	9148.360	4	9
Platea n.	2839	Platea	001	40.000	102.904	80.000	8316.688	4	9
Platea n.	2840	Platea	001	40.000	102.904	80.000	8316.688	4	9
Platea n.	2841	Platea	001	40.000	97.623	80.000	7484.985	4	9
Platea n.	2842	Platea	001	40.000	107.926	80.000	9148.316	4	9
Platea n.	2843	Platea	001	40.000	97.623	80.000	7484.985	4	9
Platea n.	2844	Platea	001	40.000	107.926	80.000	9148.316	4	9
Platea n.	2845	Platea	001	40.000	102.904	80.000	8316.688	4	9
Platea n.	2846	Platea	001	40.000	102.904	80.000	8316.688	4	9
Platea n.	2847	Platea	001	40.000	97.623	80.000	7485.007	4	9
Platea n.	2848	Platea	001	40.000	107.926	80.000	9148.331	4	9
Platea n.	2849	Platea	001	40.000	97.623	80.000	7484.981	4	9
Platea n.	2850	Platea	001	40.000	107.926	80.000	9148.320	4	9
Platea n.	2851	Platea	001	40.000	100.959	80.000	8005.272	4	9
Platea n.	2852	Platea	001	40.000	73.167	80.000	4204.522	3	9
Platea n.	2853	Platea	001	40.000	107.926	80.000	9148.338	4	9
Platea n.	2854	Platea	001	40.000	102.903	80.000	8316.651	4	9
Platea n.	2855	Platea	001	40.000	103.025	80.000	8336.250	4	9
Platea n.	2856	Platea	001	40.000	64.882	80.000	3306.299	4	9
Platea n.	2402	Platea	001	40.000	104.028	80.000	8499.373	4	9
Platea n.	2858	Platea	001	40.000	64.882	80.000	3306.299	4	9
Platea n.	2859	Platea	001	40.000	97.632	80.000	7486.366	4	9
Platea n.	2860	Platea	001	40.000	65.393	80.000	3358.591	4	9
Platea n.	2976	Platea	001	40.000	52.771	80.000	2187.179	3	9
Platea n.	2977	Platea	001	40.000	52.771	80.000	2187.156	3	9
Platea n.	2978	Platea	001	40.000	38.049	80.000	1137.058	4	9
Platea n.	2979	Platea	001	40.000	41.266	80.000	1337.413	3	9
Platea n.	2980	Platea	001	40.000	58.542	80.000	2691.650	3	9

Platea n.	2981	Platea	001	40.000	42.214	80.000	1399.598	3	9
Platea n.	2982	Platea	001	40.000	61.025	80.000	2924.874	3	9
Platea n.	2983	Platea	001	40.000	91.470	80.000	6571.278	4	9
Platea n.	2984	Platea	001	40.000	106.097	80.000	8840.932	4	9
Platea n.	2985	Platea	001	40.000	52.810	80.000	2190.428	3	9
Platea n.	2986	Platea	001	40.000	78.466	80.000	4835.646	3	9
Platea n.	2987	Platea	001	40.000	84.628	80.000	5625.000	4	9
Platea n.	2988	Platea	001	40.000	71.399	80.000	4003.828	3	9
Platea n.	2989	Platea	001	40.000	95.476	80.000	7159.371	3	9
Platea n.	2990	Platea	001	40.000	88.485	80.000	6149.281	3	9
Platea n.	2991	Platea	001	40.000	102.913	80.000	8318.183	3	9
Platea n.	2992	Platea	001	40.000	102.913	80.000	8318.182	3	9
Platea n.	2995	Platea	001	40.000	102.913	80.000	8318.184	4	9
Platea n.	2996	Platea	001	40.000	107.936	80.000	9150.002	4	9
Platea n.	2997	Platea	001	40.000	107.936	80.000	9150.002	4	9
Platea n.	2998	Platea	001	40.000	102.913	80.000	8318.182	4	9
Platea n.	2999	Platea	001	40.000	107.936	80.000	9150.002	4	9
Platea n.	3000	Platea	001	40.000	107.936	80.000	9150.000	4	9
Platea n.	3001	Platea	001	40.000	102.913	80.000	8318.185	4	9
Platea n.	3002	Platea	001	40.000	107.936	80.000	9150.000	4	9
Platea n.	3003	Platea	001	40.000	102.913	80.000	8318.184	4	9
Platea n.	3004	Platea	001	40.000	97.632	80.000	7486.366	4	9
Platea n.	3005	Platea	001	40.000	97.632	80.000	7486.366	4	9
Platea n.	3006	Platea	001	40.000	102.913	80.000	8318.182	4	9
Platea n.	3007	Platea	001	40.000	97.632	80.000	7486.366	4	9
Platea n.	3008	Platea	001	40.000	97.632	80.000	7486.363	4	9
Platea n.	3009	Platea	001	40.000	102.913	80.000	8318.185	4	9
Platea n.	3010	Platea	001	40.000	64.189	80.000	3235.971	3	9
Platea n.	3011	Platea	001	40.000	52.410	80.000	2157.323	3	9
Platea n.	3012	Platea	001	40.000	102.913	80.000	8318.183	4	9
Platea n.	3013	Platea	001	40.000	102.913	80.000	8318.183	4	9
Platea n.	3014	Platea	001	40.000	97.632	80.000	7486.365	4	9
Platea n.	3015	Platea	001	40.000	107.936	80.000	9150.001	4	9
Platea n.	3016	Platea	001	40.000	97.632	80.000	7486.363	4	9
Platea n.	3017	Platea	001	40.000	107.936	80.000	9150.000	4	9
Platea n.	3018	Platea	001	40.000	102.913	80.000	8318.183	4	9
Platea n.	3019	Platea	001	40.000	102.913	80.000	8318.183	4	9
Platea n.	3020	Platea	001	40.000	97.632	80.000	7486.364	4	9
Platea n.	3021	Platea	001	40.000	107.936	80.000	9150.000	4	9
Platea n.	3022	Platea	001	40.000	97.632	80.000	7486.365	4	9
Platea n.	3023	Platea	001	40.000	107.936	80.000	9150.003	4	9
Platea n.	3024	Platea	001	40.000	102.913	80.000	8318.180	4	9
Platea n.	3025	Platea	001	40.000	102.913	80.000	8318.180	4	9
Platea n.	3026	Platea	001	40.000	97.632	80.000	7486.366	4	9
Platea n.	3027	Platea	001	40.000	107.936	80.000	9150.002	4	9
Platea n.	3028	Platea	001	40.000	97.632	80.000	7486.363	4	9
Platea n.	3029	Platea	001	40.000	107.936	80.000	9150.000	4	9
Platea n.	3030	Platea	001	40.000	102.913	80.000	8318.184	4	9
Platea n.	3031	Platea	001	40.000	102.913	80.000	8318.184	4	9
Platea n.	3032	Platea	001	40.000	83.034	80.000	5415.015	4	9
Platea n.	3033	Platea	001	40.000	87.240	80.000	5977.515	4	9
Platea n.	3034	Platea	001	40.000	83.033	80.000	5414.941	4	9
Platea n.	3035	Platea	001	40.000	78.602	80.000	4852.441	4	9
Platea n.	3036	Platea	001	40.000	83.034	80.000	5415.015	4	9
Platea n.	3037	Platea	001	40.000	83.034	80.000	5415.015	4	9
Platea n.	3038	Platea	001	40.000	83.034	80.000	5415.015	4	9
Platea n.	3039	Platea	001	40.000	83.034	80.000	5415.015	4	9
Platea n.	3040	Platea	001	40.000	83.034	80.000	5415.015	4	9
Platea n.	3041	Platea	001	40.000	83.034	80.000	5415.015	4	9
Platea n.	3042	Platea	001	40.000	97.632	80.000	7486.358	4	9
Platea n.	3043	Platea	001	40.000	107.936	80.000	9149.992	4	9
Platea n.	3044	Platea	001	40.000	80.286	80.000	5062.500	4	9
Platea n.	3045	Platea	001	40.000	88.759	80.000	6187.500	4	9
Platea n.	3046	Platea	001	40.000	84.628	80.000	5625.000	4	9
Platea n.	3047	Platea	001	40.000	72.770	80.000	4159.084	3	9
Platea n.	3048	Platea	001	40.000	63.550	80.000	3171.952	3	9
Platea n.	3049	Platea	001	40.000	72.770	80.000	4159.089	3	9
Platea n.	3050	Platea	001	40.000	80.579	80.000	5099.614	4	9
Platea n.	3051	Platea	001	40.000	65.792	80.000	3399.700	3	9
Platea n.	3052	Platea	001	40.000	80.579	80.000	5099.582	4	9
Platea n.	3053	Platea	001	40.000	65.792	80.000	3399.701	3	9
Platea n.	3054	Platea	001	40.000	80.579	80.000	5099.543	4	9

Platea n. 3055	Platea	001	40.000	65.793	80.000	3399.762	3	9
Platea n. 3056	Platea	001	40.000	65.793	80.000	3399.762	3	9
Platea n. 3057	Platea	001	40.000	80.579	80.000	5099.622	4	9
Platea n. 3058	Platea	001	40.000	80.579	80.000	5099.570	4	9
Platea n. 3059	Platea	001	40.000	65.793	80.000	3399.746	3	9
Platea n. 3060	Platea	001	40.000	80.579	80.000	5099.549	4	9
Platea n. 3061	Platea	001	40.000	65.793	80.000	3399.757	3	9
Platea n. 3062	Platea	001	40.000	80.579	80.000	5099.593	4	9
Platea n. 3063	Platea	001	40.000	65.793	80.000	3399.729	3	9
Platea n. 3064	Platea	001	40.000	65.793	80.000	3399.741	3	9
Platea n. 3065	Platea	001	40.000	80.580	80.000	5099.657	4	9
Platea n. 3066	Platea	001	40.000	80.579	80.000	5099.576	4	9
Platea n. 3067	Platea	001	40.000	65.793	80.000	3399.731	3	9
Platea n. 3068	Platea	001	40.000	80.579	80.000	5099.573	4	9
Platea n. 3069	Platea	001	40.000	65.793	80.000	3399.743	3	9
Platea n. 3070	Platea	001	40.000	80.579	80.000	5099.565	4	9
Platea n. 3071	Platea	001	40.000	65.793	80.000	3399.762	3	9
Platea n. 3072	Platea	001	40.000	65.793	80.000	3399.773	3	9
Platea n. 3073	Platea	001	40.000	80.579	80.000	5099.614	4	9
Platea n. 3074	Platea	001	40.000	80.579	80.000	5099.585	4	9
Platea n. 3075	Platea	001	40.000	65.793	80.000	3399.717	3	9
Platea n. 3076	Platea	001	40.000	80.579	80.000	5099.596	4	9
Platea n. 3077	Platea	001	40.000	74.971	80.000	4414.461	3	9
Platea n. 3078	Platea	001	40.000	68.189	80.000	3651.862	4	9
Platea n. 3079	Platea	001	40.000	66.554	80.000	3478.854	3	9
Platea n. 3080	Platea	001	40.000	40.288	80.000	1274.826	3	9
Platea n. 3082	Platea	001	40.000	57.730	80.000	2617.502	3	9
Platea n. 3083	Platea	001	40.000	66.314	80.000	3453.807	3	9
Platea n. 3084	Platea	001	40.000	84.628	80.000	5625.000	4	9
Platea n. 3085	Platea	001	40.000	104.027	80.000	8499.295	4	9
Platea n. 3086	Platea	001	40.000	92.706	80.000	6750.000	4	9
Platea n. 3087	Platea	001	40.000	104.027	80.000	8499.295	4	9
Platea n. 3088	Platea	001	40.000	104.028	80.000	8499.362	4	9
Platea n. 3089	Platea	001	40.000	104.028	80.000	8499.354	4	9
Platea n. 3090	Platea	001	40.000	80.579	80.000	5099.604	4	9
Platea n. 3091	Platea	001	40.000	104.027	80.000	8499.295	4	9
Platea n. 3092	Platea	001	40.000	65.793	80.000	3399.732	3	9
Platea n. 3093	Platea	001	40.000	104.027	80.000	8499.299	4	9
Platea n. 3094	Platea	001	40.000	104.028	80.000	8499.358	4	9
Platea n. 3095	Platea	001	40.000	104.028	80.000	8499.354	4	9
Platea n. 3096	Platea	001	40.000	45.879	80.000	1653.149	3	9
Platea n. 3097	Platea	001	40.000	104.027	80.000	8499.295	4	9
Platea n. 3098	Platea	001	40.000	48.860	80.000	1875.000	3	9
Platea n. 3099	Platea	001	40.000	104.027	80.000	8499.295	4	9
Platea n. 3100	Platea	001	40.000	104.028	80.000	8499.359	4	9
Platea n. 3101	Platea	001	40.000	104.028	80.000	8499.358	4	9
Platea n. 3102	Platea	001	40.000	50.604	80.000	2011.249	3	9
Platea n. 3103	Platea	001	40.000	104.027	80.000	8499.300	4	9
Platea n. 3104	Platea	001	40.000	47.732	80.000	1789.398	3	9
Platea n. 3105	Platea	001	40.000	104.027	80.000	8499.330	4	9
Platea n. 3106	Platea	001	40.000	104.027	80.000	8499.324	4	9
Platea n. 3107	Platea	001	40.000	104.027	80.000	8499.330	4	9
Platea n. 3108	Platea	001	40.000	80.579	80.000	5099.583	4	9
Platea n. 3109	Platea	001	40.000	104.027	80.000	8499.300	4	9
Platea n. 3110	Platea	001	40.000	65.793	80.000	3399.732	3	9
Platea n. 3111	Platea	001	40.000	104.027	80.000	8499.327	4	9
Platea n. 3112	Platea	001	40.000	104.027	80.000	8499.327	4	9
Platea n. 3113	Platea	001	40.000	104.027	80.000	8499.329	4	9
Platea n. 3114	Platea	001	40.000	65.793	80.000	3399.732	3	9
Platea n. 3115	Platea	001	40.000	104.027	80.000	8499.299	4	9
Platea n. 3116	Platea	001	40.000	80.580	80.000	5099.639	4	9
Platea n. 3117	Platea	001	40.000	104.027	80.000	8499.326	4	9
Platea n. 3118	Platea	001	40.000	104.027	80.000	8499.298	4	9
Platea n. 3119	Platea	001	40.000	75.743	80.000	4505.825	4	9
Platea n. 3120	Platea	001	40.000	104.027	80.000	8499.342	4	9
Platea n. 3121	Platea	001	40.000	75.694	80.000	4500.000	4	9
Platea n. 3122	Platea	001	40.000	104.027	80.000	8499.347	4	9
Platea n. 3123	Platea	001	40.000	84.628	80.000	5625.000	4	9
Platea n. 3124	Platea	001	40.000	104.028	80.000	8499.401	4	9
Platea n. 3125	Platea	001	40.000	104.028	80.000	8499.401	4	9
Platea n. 3126	Platea	001	40.000	104.027	80.000	8499.347	4	9
Platea n. 3127	Platea	001	40.000	80.579	80.000	5099.534	4	9

Platea n. 3128	Platea	001	40.000	104.027	80.000	8499.345	4	9
Platea n. 3129	Platea	001	40.000	65.793	80.000	3399.730	3	9
Platea n. 3130	Platea	001	40.000	104.028	80.000	8499.403	4	9
Platea n. 3131	Platea	001	40.000	104.028	80.000	8499.403	4	9
Platea n. 3132	Platea	001	40.000	104.027	80.000	8499.345	4	9
Platea n. 3133	Platea	001	40.000	80.579	80.000	5099.606	4	9
Platea n. 3134	Platea	001	40.000	104.027	80.000	8499.345	4	9
Platea n. 3135	Platea	001	40.000	65.793	80.000	3399.719	3	9
Platea n. 3136	Platea	001	40.000	104.028	80.000	8499.402	4	9
Platea n. 3137	Platea	001	40.000	104.028	80.000	8499.403	4	9
Platea n. 3138	Platea	001	40.000	104.027	80.000	8499.339	4	9
Platea n. 3139	Platea	001	40.000	80.579	80.000	5099.554	4	9
Platea n. 3140	Platea	001	40.000	104.028	80.000	8499.373	4	9
Platea n. 3141	Platea	001	40.000	65.793	80.000	3399.721	3	9
Platea n. 3142	Platea	001	40.000	104.028	80.000	8499.372	4	9
Platea n. 3143	Platea	001	40.000	104.028	80.000	8499.372	4	9
Platea n. 3144	Platea	001	40.000	104.027	80.000	8499.344	4	9
Platea n. 3145	Platea	001	40.000	80.579	80.000	5099.566	4	9
Platea n. 3146	Platea	001	40.000	104.028	80.000	8499.374	4	9
Platea n. 3147	Platea	001	40.000	65.793	80.000	3399.749	3	9
Platea n. 2538	Platea	001	40.000	100.032	80.000	7858.954	4	9
Platea n. 2539	Platea	001	40.000	104.027	80.000	8499.343	4	9
Platea n. 3150	Platea	001	40.000	43.263	80.000	1470.015	3	9
Platea n. 3151	Platea	001	40.000	35.522	80.000	991.051	3	9
Platea n. 3152	Platea	001	40.000	82.244	80.000	5312.498	3	9
Platea n. 2784	Platea	001	40.000	65.856	80.000	3406.238	3	9
Platea n. 2788	Platea	001	40.000	65.793	80.000	3399.748	3	9

Elemento n.	Tipologia	Id.Strat.	Prof. Fon. cm	Base Eq. cm	Spessore cm	Lung. Eq. cm	Lung. Travata Eq. cm
Macro n. 1	Macro-Platea	001	40.000	240.000	80.000	1960.000	1960.000
Macro n. 2	Macro-Platea	001	160.000	240.000	80.000	3611.200	3611.200
Macro n. 3	Macro-Platea	001	160.000	240.000	80.000	3611.200	3611.200
Macro n. 4	Macro-Platea	001	80.000	240.000	80.000	1960.000	1960.000
Macro n. 8	Macro-Platea	001	40.000	768.031	80.000	1368.995	1368.995
Macro n. 9	Macro-Platea	001	40.000	768.176	80.000	1367.680	1367.680

VALORI DI CALCOLO DELLA PORTANZA PER FONDAZIONI SUPERFICIALI

N.B. La relazione è redatta in forma sintetica. Verranno riportate le sole combinazioni maggiormente gravose per ogni verifica.

Macro platea: 1

Risultati più gravosi:

$$\text{Sgm. Lt (tens. litostatica)} = -0.0516 \text{ daN/cm}^2$$

$$Q_{\text{lim}} = Q_{\text{lim c}} + Q_{\text{lim q}} + Q_{\text{lim g}} + Q_{\text{res P}} = 0.0000 + 0.2074 + 0.2539 + 0.0000$$

$$Q_{\text{max}} / Q_{\text{lim}} = 0.0489 / 0.4613 = 0.106 \text{ Ok (Cmb 06 SLU A2)}$$

$$TB / T_{\text{Blim}} = 301.1 / 5928.1 = 0.051 \text{ Ok (Cmb 05 SLU A2)}$$

$$TL / T_{\text{Llim}} = 200.4 / 7014.2 = 0.029 \text{ Ok (Cmb 06 SLU A2)}$$

Sollecitazioni:

Cmb n.	Tipologia	Sism.	Ecc. B cm	Ecc. L cm	S. Taglio B daN	S. Taglio L daN	S. Normale daN	T.T. min daN/cm ²	T.T. max daN/cm ²
005	SLU A2	No	-60.442	-0.062	301.1	-2.0	-20612.6	-0.0238	-0.0349
006	SLU A2	No	-51.928	-0.214	289.4	-200.4	-29620.7	-0.0294	-0.0489

Macro platea: 2

Risultati più gravosi:

$$\text{Sgm. Lt (tens. litostatica)} = -0.2064 \text{ daN/cm}^2$$

$$Q_{\text{lim}} = Q_{\text{lim c}} + Q_{\text{lim q}} + Q_{\text{lim g}} + Q_{\text{res P}} = 0.0000 + 0.7307 + 0.0000 + 0.0000$$

$$Q_{\text{max}} / Q_{\text{lim}} = 0.0946 / 0.7307 = 0.129 \text{ Ok (Cmb 06 SLU A2)}$$

$$TB / T_{\text{Blim}} = 177.3 / 19174.6 = 0.009 \text{ Ok (Cmb 05 SLU A2)}$$

$$TL / T_{\text{Llim}} = 10472.7 / 11300.6 = 0.927 \text{ Ok (Cmb 05 SLU A2)}$$

Sollecitazioni:

Cmb n.	Tipologia	Sism.	Ecc. B cm	Ecc. L cm	S. Taglio B daN	S. Taglio L daN	S. Normale daN	T.T. min daN/cm ²	T.T. max daN/cm ²
005	SLU A2	No	-408.099	4.458	177.3	10472.7	-46279.3	-0.0141	-0.0789
006	SLU A2	No	-529.203	4.356	170.5	13274.4	-60080.5	-0.0127	-0.0946

Macro platea: 3

Risultati più gravosi:

Sgm. Lt (tens. litostatica) = -0.2064 daN/cm²

Qlim = Qlim c + Qlim q + Qlim g + Qres P = 0.0000 + 0.7315 + 0.0000 + 0.0000

Qmax / Qlim = 0.0921 / 0.7315 = 0.126 Ok (Cmb 06 SLU A2)

TB / TBlim = 144.4 / 19190.0 = 0.008 Ok (Cmb 05 SLU A2)

TL / TLim = 10456.3 / 11316.0 = 0.924 Ok (Cmb 05 SLU A2)

Sollecitazioni:

Cmb	Tipologia	Sism.	Ecc. B	Ecc. L	S. Taglio B	S. Taglio L	S. Normale	T.T. min	T.T. max
n.			cm	cm	daN	daN	daN	daN/cm ²	daN/cm ²
005	SLU A2	No	390.504	-4.428	-144.4	-10456.3	-46345.6	-0.0142	-0.0767
006	SLU A2	No	514.182	-4.325	-131.2	-13236.7	-60123.3	-0.0128	-0.0921

Macro platea: 4

Risultati più gravosi:

Sgm. Lt (tens. litostatica) = -0.1032 daN/cm²

Qlim = Qlim c + Qlim q + Qlim g + Qres P = 0.0000 + 0.4375 + 0.2567 + 0.0000

Qmax / Qlim = 0.0502 / 0.6942 = 0.072 Ok (Cmb 06 SLU A2)

TB / TBlim = 241.6 / 9512.8 = 0.025 Ok (Cmb 05 SLU A2)

TL / TLim = 201.8 / 7639.5 = 0.026 Ok (Cmb 06 SLU A2)

Sollecitazioni:

Cmb	Tipologia	Sism.	Ecc. B	Ecc. L	S. Taglio B	S. Taglio L	S. Normale	T.T. min	T.T. max
n.			cm	cm	daN	daN	daN	daN/cm ²	daN/cm ²
005	SLU A2	No	59.895	0.088	-241.6	27.0	-21264.7	-0.0244	-0.0359
006	SLU A2	No	51.618	0.221	-229.5	201.8	-30503.5	-0.0301	-0.0502

Macro platea: 8

Risultati più gravosi:

Sgm. Lt (tens. litostatica) = -0.0516 daN/cm²

Qlim = Qlim c + Qlim q + Qlim g + Qres P = 0.0000 + 0.2137 + 0.6660 + 0.0000

Qmax / Qlim = 0.0220 / 0.8798 = 0.025 Ok (Cmb 06 SLU A2)

TB / TBlim = 1572.0 / 7027.9 = 0.224 Ok (Cmb 06 SLU A2)

TL / TLim = 741.7 / 6677.0 = 0.111 Ok (Cmb 06 SLU A2)

Sollecitazioni:

Cmb	Tipologia	Sism.	Ecc. B	Ecc. L	S. Taglio B	S. Taglio L	S. Normale	T.T. min	T.T. max
n.			cm	cm	daN	daN	daN	daN/cm ²	daN/cm ²
006	SLU A2	No	97.468	-69.738	-1572.0	741.7	-26839.0	-0.0060	-0.0220

Macro platea: 9

Risultati più gravosi:

Sgm. Lt (tens. litostatica) = -0.0516 daN/cm²

Qlim = Qlim c + Qlim q + Qlim g + Qres P = 0.0000 + 0.2148 + 0.6692 + 0.0000

Qmax / Qlim = 0.0220 / 0.8840 = 0.025 Ok (Cmb 06 SLU A2)

TB / TBlim = 1500.3 / 7029.7 = 0.213 Ok (Cmb 06 SLU A2)

TL / TLim = 774.5 / 6679.6 = 0.116 Ok (Cmb 06 SLU A2)

Sollecitazioni:

Cmb	Tipologia	Sism.	Ecc. B	Ecc. L	S. Taglio B	S. Taglio L	S. Normale	T.T. min	T.T. max
n.			cm	cm	daN	daN	daN	daN/cm ²	daN/cm ²
006	SLU A2	No	-98.241	70.328	1500.3	-774.5	-26849.8	-0.0060	-0.0220

FONDAZIONI PROFONDE

DETERMINAZIONE DELLA PORTANZA VERTICALE DI FONDAZIONI PROFONDE

Per la determinazione della portanza verticale di fondazioni profonde si fa riferimento a due contributi: la "portanza di punta" e la "portanza per attrito laterale". Queste due componenti in genere sono calcolate in maniera autonoma dato che risulta molto difficoltoso, tranne che in poche situazioni, stabilire quanta parte del carico è assorbita dall'attrito laterale e quanta dalla resistenza alla punta. Nel seguito, ai fini del calcolo della portanza verticale, si assumeranno le seguenti espressioni generali valide per il caso di palo soggetto a compressione e per il caso di palo soggetto a trazione (nel calcolo della portanza verticale è possibile tenere in conto tutti o solo uno dei contributi su definiti):

$$Q_C = \frac{Q_P}{\eta_P} + \frac{Q_L}{\eta_L} - W_{ATT.NEG.} - W_P \quad (\text{caso di palo in compressione}) \quad Q_T = \frac{Q_L}{\eta_L} + W_P \quad (\text{caso di palo in trazione})$$

dove i simboli su riportati hanno il seguente significato:

- Q_C resistenza a compressione del palo
- Q_T resistenza a trazione del palo
- Q_P carico limite verticale alla punta del palo
- Q_L carico limite verticale lungo la superficie laterale del palo
- $W_{ATT.NEG.}$ attrito negativo agente sul palo
- W_P peso totale del palo
- η_P coefficiente di sicurezza per carico limite verticale alla punta del palo
- η_L coefficiente di sicurezza per carico limite verticale lungo la superficie laterale del palo

I valori del carico limite verticale alla punta del palo " Q_P " e del carico limite verticale lungo la superficie laterale del palo " Q_L " sono determinati con le note "formule statiche". Queste esprimono i valori di cui sopra in funzione della geometria del palo, delle caratteristiche geotecniche del terreno in cui è immerso, della modalità esecutiva e dell'interfaccia palo-terreno.

Di seguito si illustrano le metodologie con le quali saranno determinati i valori prima citati; è necessario tenere presente che tali metodi sono riferiti al calcolo del "singolo palo" e per estendere tale modalità computazione al caso di "pali in gruppo" si farà ricorso ai "coefficienti d'efficienza", in questo modo si potrà tenere in debito conto l'interferenza reciproca che i pali esercitano.

CARICO LIMITE VERTICALE ALLA PUNTA DEL PALO

Il valore del carico limite verticale alla punta del palo, indipendentemente dal metodo utilizzato per la sua determinazione, è condizionato dalla modalità esecutiva. Esso varia notevolmente a seconda che il palo sia del tipo "infisso" o "trivellato" poiché le caratteristiche fisico-meccaniche del terreno circostante il palo variano in seguito alle operazioni d'installazione. Di conseguenza, per tenere conto della modalità esecutiva nel calcolo dei coefficienti di portanza, si propone di modificare il valore dell'angolo di resistenza a taglio secondo quanto suggerito da Kishida (1967):

$$\varphi_{cor} = \frac{\varphi + 40}{2} \quad (\text{per pali infissi}) \quad \varphi_{cor} = \varphi - 3^\circ \quad (\text{per pali trivellati})$$

Con la correzione di cui sopra si determineranno i fattori adimensionali di portanza che sono presenti nella relazione per la determinazione del carico limite verticale alla punta che assume la seguente espressione:

$$Q_P = A_P \cdot (q_P \cdot N_q^* + c \cdot N_c^*)$$

dove i simboli su riportati hanno il seguente significato:

- A_P superficie portante efficace della punta del palo
- q_P pressione del terreno presente alla punta del palo
- c coesione del terreno alla punta del palo (nel caso di condizione non drenata $c = c_u$)
- N_q^* , N_c^* fattori adimensionali di portanza funzione dell'angolo d'attrito interno φ_{cor} del terreno già corretti

In letteratura esistono diverse formulazioni per il calcolo dei fattori adimensionali di portanza, di seguito si riportano quelle che sono state implementate:

Formulazione di Meyerhof per base poggiate su terreni sciolti (1951)

• se $\varphi > 0$ (condizione drenata) si ha:

$$N_q = tg^2\left(\frac{\pi}{4} + \frac{\varphi}{2}\right) \cdot e^{\pi \cdot tg(\varphi)} \quad N_c = (N_q - 1) \cdot ctg(\varphi)$$

$$s_q = 1 + 0.1 \cdot tg^2\left(\frac{\pi}{4} + \frac{\varphi}{2}\right) \quad s_c = 1 + 0.2 \cdot tg^2\left(\frac{\pi}{4} + \frac{\varphi}{2}\right) \quad \text{(fattori di forma)}$$

$$d_q = 1 + 0.1 \cdot \frac{L}{D} \cdot \sqrt{tg^2\left(\frac{\pi}{4} + \frac{\varphi}{2}\right)} \quad d_c = 1 + 0.2 \cdot \frac{L}{D} \cdot \sqrt{tg^2\left(\frac{\pi}{4} + \frac{\varphi}{2}\right)} \quad \text{(fattori d'approfondimento)}$$

$$N_q^* = N_q \cdot s_q \cdot d_q \quad N_c^* = N_c \cdot s_c \cdot d_c$$

se $\varphi = 0$ (condizione non drenata) si ha:

$$N_q = 1.00 \quad N_c = \pi + 2$$

$$s_q = 1.00 \quad s_c = 1.20 \quad \text{(fattori di forma)}$$

$$d_q = 1.00 \quad d_c = 1 + 0.2 \cdot \frac{L}{D} \quad \text{(fattori d'approfondimento)}$$

$$N_q^* = N_q \cdot s_q \cdot d_q \quad N_c^* = N_c \cdot s_c \cdot d_c$$

Formulazione di Hansen per base poggiate su terreni sciolti (1970)

se $\varphi > 0$ (condizione drenata) si ha:

$$N_q = tg^2\left(\frac{\pi}{4} + \frac{\varphi}{2}\right) \cdot e^{\pi \cdot tg(\varphi)} \quad N_c = (N_q - 1) \cdot ctg(\varphi)$$

$$s_q = 1 + tg(\varphi) \quad s_c = 1 + \frac{N_q}{N_c} \quad \text{(fattori di forma)}$$

$$d_q = 1 + 2 \cdot tg(\varphi) \cdot (1 - \sin(\varphi))^2 \cdot \Theta \quad d_c = 1 + 0.4 \cdot \Theta \quad \text{(fattori d'approfondimento)}$$

dove: se $\frac{L}{D} \leq 1 \Rightarrow \Theta = \frac{L}{D}$, se $\frac{L}{D} > 1 \Rightarrow \Theta = \arctg\left(\frac{L}{D}\right)$

$$N_q^* = N_q \cdot s_q \cdot d_q \quad N_c^* = N_c \cdot s_c \cdot d_c$$

se $\varphi = 0$ (condizione non drenata) si ha:

$$N_q = 1.00 \quad N_c = \pi + 2$$

$$s_q = 1.00 \quad s_c = 1.20 \quad \text{(fattori di forma)}$$

$$d_q = 1.00 \quad d_c = 1 + 0.4 \cdot \Theta \quad \text{(fattori d'approfondimento)}$$

$$N_q^* = N_q \cdot s_q \cdot d_q \quad N_c^* = N_c \cdot s_c \cdot d_c$$

Formulazione di Zeevaert per base poggiate su terreni sciolti (1972)

se $\varphi > 0$ (condizione drenata) si ha:

$$N_q^* = \frac{\cos^2(\varphi)}{2 \cdot \cos^2\left(\frac{\pi}{4} + \frac{\varphi}{2}\right)} \cdot e^{\left(\frac{3 \cdot \pi}{2} + \varphi\right) \cdot tg(\varphi)} \quad N_c^* = (N_q - 1) \cdot ctg(\varphi)$$

se $\varphi = 0$ (condizione non drenata) si ha:

$$N_q^* = 1.00 \quad N_c^* = 9.00$$

Formulazione di Berezantzev per base poggiate su terreni sciolti (1970)

Berezantzev fa riferimento ad una superficie di scorrimento "alla Terzaghi" che si arresta sul piano della punta del palo. Inoltre considera il cilindro di terreno coassiale al palo (avente diametro pari all'estensione in sezione della

superficie di scorrimento) in parte sostenuto da tensioni tangenziali dal rimanente terreno presente lungo la superficie laterale del cilindro. Conseguentemente il valore della pressione presente alla punta del palo è inferiore alla corrispondente pressione litostatica ed è influenzata dal rapporto tra la profondità alla quale è posta la punta "L" del palo e il diametro "D" dello stesso. Quindi il valore di N_q^* è influenzato da questo effetto "Silo". I valori che l'autore propone sono:

se $\varphi \neq 0$ (condizione drenata) si ha:

Valori di N_q^* per pali di diametro fino a 80.0 cm.

L/Δ	8°	16°	18°	20°	22°	24°	26°	28°	30°	32°	34°	36°	38°	40°	42°	44°	46°	48°	50°
4	1.07	2.18	3.15	4.72	7.15	10.73	15.85	22.95	32.62	45.56	62.69	85.18	114.53	152.71	202.32	266.82	350.86	460.79	605.36
12	1.04	1.77	2.46	3.64	5.52	8.42	12.71	18.85	27.44	39.21	55.07	76.20	104.13	140.81	188.86	251.72	334.05	442.17	584.82
20	1.03	1.63	2.20	3.20	4.82	7.38	11.22	16.82	24.76	35.79	50.83	71.06	98.01	133.65	180.59	242.29	323.39	430.21	571.48
28	1.03	1.54	2.05	2.93	4.40	6.72	10.26	15.48	22.96	33.43	47.84	67.37	93.54	128.35	174.39	235.13	315.21	420.95	561.08
36	1.02	1.49	1.94	2.75	4.10	6.26	9.57	14.49	21.60	31.64	45.53	64.48	90.00	124.10	169.36	229.27	308.46	413.26	552.38
50	1.02	1.42	1.82	2.53	3.74	5.68	8.70	13.23	19.84	29.27	42.45	60.56	85.14	118.18	162.30	220.95	298.80	402.16	539.74
75	1.02	1.35	1.69	2.30	3.33	5.02	7.69	11.74	17.73	26.37	38.58	55.55	78.82	110.38	152.84	209.67	285.53	386.74	522.01
100	1.01	1.31	1.61	2.14	3.07	4.60	7.02	10.74	16.28	24.34	35.84	51.95	74.19	104.56	145.68	201.02	275.23	374.64	507.95
200	1.01	1.22	1.44	1.84	2.54	3.71	5.60	8.56	13.05	19.73	29.43	43.30	62.82	89.95	127.29	178.30	247.63	341.59	468.90
500	1.01	1.14	1.29	1.55	2.02	2.82	4.14	6.24	9.50	14.45	21.83	32.64	48.25	70.49	101.85	145.69	206.57	290.75	406.87

Valori di N_q^* per pali di diametro maggiore a 80.0 cm.

L/Δ	8°	16°	18°	20°	22°	24°	26°	28°	30°	32°	34°	36°	38°	40°	42°	44°	46°	48°	50°
4	1.16	3.09	3.95	5.04	6.44	8.22	10.50	13.41	17.12	21.87	27.92	35.65	45.53	58.14	74.24	94.80	121.05	154.57	197.38
12	1.21	3.14	3.98	5.05	6.42	8.14	10.34	13.13	16.68	21.18	26.90	34.17	43.41	55.15	70.07	89.03	113.13	143.77	182.72
20	1.26	3.18	4.01	5.06	6.39	8.06	10.18	12.85	16.23	20.49	25.88	32.69	41.29	52.16	65.89	83.26	105.21	132.97	168.06
28	1.30	3.22	4.04	5.07	6.36	7.99	10.02	12.57	15.78	19.81	24.86	31.20	39.17	49.16	61.72	77.49	97.29	122.16	153.40
36	1.35	3.27	4.07	5.08	6.34	7.91	9.86	12.30	15.33	19.12	23.84	29.72	37.04	46.17	57.55	71.72	89.38	111.36	138.75
44	1.39	3.31	4.10	5.09	6.31	7.83	9.70	12.02	14.88	18.43	22.81	28.23	34.92	43.18	53.38	65.95	81.46	100.56	124.09
52	1.44	3.35	4.14	5.10	6.29	7.75	9.54	11.74	14.44	17.74	21.79	26.75	32.80	40.19	49.21	60.18	73.54	89.76	109.43
56	1.46	3.37	4.15	5.10	6.27	7.71	9.46	11.60	14.21	17.40	21.28	26.00	31.74	38.70	47.12	57.30	69.58	84.36	102.10
60	1.49	3.39	4.17	5.11	6.26	7.67	9.38	11.46	13.99	17.06	20.77	25.26	30.68	37.20	45.03	54.42	65.62	78.96	94.77
65	1.51	3.42	4.19	5.12	6.25	7.62	9.28	11.29	13.71	16.63	20.13	24.33	29.35	35.33	42.43	50.81	60.67	72.21	85.61

$$N_c^* = (N_q - 1) \cdot ctg(\varphi)$$

se $\varphi = 0$ (condizione non drenata) si ha:

$$N_q^* = 1.00$$

$$N_c^* = 9.00$$

Formulazione di Vesic per base poggiate su terreni sciolti (1975)

se $\varphi \neq 0$ (condizione drenata) si ha:

$$N_q^* = \frac{3}{3 - \sin(\varphi)} \cdot tg^2\left(\frac{\pi}{4} + \frac{\varphi}{2}\right) \cdot I_{rr}^{3 \cdot (1 + \sin(\varphi))} \cdot e^{\left(\frac{\pi}{2} - \varphi\right) \cdot tg(\varphi)} \quad N_c^* = (N_q - 1) \cdot ctg(\varphi)$$

$$I_{rr} = \frac{I_r}{1 + \varepsilon_v \cdot I_r} \quad \varepsilon_v = \frac{q_p \cdot \alpha}{E_t} \cdot \frac{(1 + \nu) \cdot (1 - 2 \cdot \nu)}{(1 - \nu)} \quad I_r = \frac{E_t}{2 \cdot (1 + \nu) \cdot (c + q_p \cdot \alpha \cdot tg(\varphi))}$$

se $\varphi = 0$ (condizione non drenata) si ha:

$$N_q^* = 1.00 \quad N_c^* = \frac{4}{3} \cdot (\log_n(I_{rr}) + 1) + \frac{\pi}{2} + 1$$

dove i simboli su riportati hanno il seguente significato:

- E_t modulo elastico del terreno alla profondità della punta del palo
- ν coefficiente di Poisson del terreno alla profondità della punta del palo
- α coefficiente di riduzione della pressione del terreno presente alla profondità della punta del palo

Nel caso in cui si scelga di effettuare la riduzione della pressione del terreno presente alla profondità della punta del palo (cioè $\alpha \neq 1$) il coefficiente di riduzione " α " assume la seguente espressione:

$$\alpha = \frac{1 + 2 \cdot K_0}{3} \quad \text{dove: se } \varphi \neq 0 \Rightarrow K_0 = 1 - \sin(\varphi); \quad \text{se } \varphi = 0 \Rightarrow K_0 = \frac{\nu}{1 - \nu}$$

Formulazione di Janbu per base poggiate su terreni sciolti (1976)

se $\varphi > 0$ (condizione drenata) si ha:

$$N_q^* = \left(\operatorname{tg}(\varphi) + \sqrt{1 + \operatorname{tg}^2(\varphi)} \right)^2 \cdot e^{2 \cdot \vartheta \cdot \operatorname{tg}(\varphi)} \quad N_c^* = (N_q - 1) \cdot c \operatorname{tg}(\varphi)$$

$$\vartheta = 60 + 0.45 \cdot Dr$$

δοσμε $\forall \Delta \rho \forall \lambda$ λα δενσιτδ ρελατιωα δελ τερρενο.

se $\varphi = 0$ (condizione non drenata) si ha:

$$N_q^* = 1.00$$

$$N_c^* = 5.74$$

Formulazione di Terzaghi per base poggiate su roccia (1943)

Per la determinazione del carico limite nel caso di presenza di ammasso roccioso bisogna valutare molto attentamente il grado di solidità della roccia stessa. Tale valutazione viene in genere eseguita stimando l'indice *RQD* (Rock Quality Designation) che rappresenta una misura della qualità di un ammasso roccioso. Tale indice può variare da un minimo di 0 (caso in cui la lunghezza dei pezzi di roccia estratti dal carotiere è inferiore a 100 mm) ad un massimo di 1 (caso in cui la carota risulta integra) ed è calcolato nel seguente modo:

$$RQD = \frac{\sum \text{lunghezze dei pezzi di roccia intatta} > 100\text{mm}}{\text{lunghezza del carotiere}}$$

Se il valore di *RQD* è molto basso la roccia è molto fratturata ed il calcolo della capacità portante dell'ammasso roccioso va condotto alla stregua di un terreno sciolto utilizzando tutte le formulazioni sopra descritte.

$$N_q = \frac{e^{2 \left(\frac{3\pi}{4} + \frac{\varphi}{2} \right) \operatorname{tg}(\varphi)}}{2 \cdot \cos^2 \left(\frac{\pi}{4} + \frac{\varphi}{2} \right)}$$

$$N_c = (N_q - 1) \cdot c \operatorname{tg}(\varphi)$$

$$\text{se } \varphi = 0 \Rightarrow N_c = \frac{3}{2} \cdot \pi + 1$$

$$s_q = 1.00$$

$$s_c = 1.30$$

(φαττορι δι φορμα)

$$N_q^* = RQD^2 \cdot N_q \cdot s_q$$

$$N_c^* = RQD^2 \cdot N_c \cdot s_c$$

Formulazione di Stagg-Zienkiewicz per base poggiate su roccia (1968)

$$N_q = \operatorname{tg}^6 \left(\frac{90^\circ + \varphi}{2} \right)$$

$$N_c = 5 \cdot \operatorname{tg}^4 \left(\frac{90^\circ + \varphi}{2} \right)$$

$$s_q = 1.00$$

$$s_c = 1.30$$

(φαττορι δι φορμα)

$$N_q^* = RQD^2 \cdot N_q \cdot s_q$$

$$N_c^* = RQD^2 \cdot N_c \cdot s_c$$

CARICO LIMITE VERTICALE LUNGO LA SUPERFICIE LATERALE DEL PALO

Il valore del carico limite verticale lungo la superficie laterale del palo è dato dall'integrale esteso a tutta la superficie laterale del palo delle tensioni tangenziali che si sviluppano all'interfaccia palo-terreno in condizioni limite:

$$Q_L = \int_{\Gamma} \tau_{\text{lim}} \cdot d\Gamma = \int_0^L (c_a + \sigma_h \cdot \operatorname{tg}(\delta)) \cdot P_{\text{lat}} \cdot dz$$

dove i simboli sopra riportati hanno il seguente significato:

- χ_a adesione all'interfaccia terreno-palo alla generica profondità "z"
- σ_h tensione orizzontale alla generica profondità "z"
- δ angolo di resistenza a taglio all'interfaccia terreno-palo alla generica profondità "z"
- P_{lat} perimetro della sezione trasversale del palo alla generica profondità "z"
- L sviluppo longitudinale del palo

Analogamente al carico limite alla punta, anche il valore del carico limite verticale lungo la superficie laterale del palo varia notevolmente a seconda che esso sia del tipo "infisso" o "trivellato" a causa del diverso comportamento del terreno circostante in palo. Conseguentemente i parametri sopra riportati possono essere correlati da leggi diverse in funzione delle modalità di esecuzione del palo. Di seguito si descrivono quelle che sono state

implementate.

L'adesione " c_a " è correlata alla coesione " c " nel caso di condizioni drenate; oppure alla coesione non drenata " c_u " nel caso di condizioni non drenate, per mezzo del coefficiente d'adesione " ψ " secondo la seguente relazione:

$$c_a = c_* \cdot \psi \quad \text{dove: } c_* = c \text{ (in condizione drenata); } c_* = c_u \text{ (in condizione non drenata).}$$

Esprimendo il valore di " c " in N/cm^2 , il coefficiente d'adesione " ψ " può assumere i seguenti valori:

Caquot-Kerisel (consigliato per pali trivellati)

$$\psi = \frac{100 + c_*^2}{100 + 7 \cdot c_*^2}$$

Meyerhof-Murdock (consigliato per pali trivellati)

$$\text{se } c_* \leq 5.00 \text{ N/cm}^2 \quad \Rightarrow \quad \psi = 1.000 - 0.100 \cdot c_*$$

$$\text{se } c_* > 5.00 \text{ N/cm}^2 \quad \Rightarrow \quad \psi = 0.525 - 0.005 \cdot c_*$$

Whitaker-Cooke (consigliato per pali trivellati)

$$\text{se } c_* \leq 2.50 \text{ N/cm}^2 \quad \Rightarrow \quad \psi = 0.90$$

$$\text{se } 2.50 < c_* \leq 5.00 \text{ N/cm}^2 \quad \Rightarrow \quad \psi = 0.80$$

$$\text{se } 5.00 < c_* \leq 7.50 \text{ N/cm}^2 \quad \Rightarrow \quad \psi = 0.60$$

$$\text{se } c_* > 7.50 \text{ N/cm}^2 \quad \Rightarrow \quad \psi = 0.40$$

Woodward (consigliato per pali trivellati)

$$\text{se } c_* \leq 4.00 \text{ N/cm}^2 \quad \Rightarrow \quad \psi = 0.90$$

$$\text{se } 4.00 < c_* \leq 8.00 \text{ N/cm}^2 \quad \Rightarrow \quad \psi = 0.60$$

$$\text{se } 8.00 < c_* \leq 12.00 \text{ N/cm}^2 \quad \Rightarrow \quad \psi = 0.50$$

$$\text{se } 12.00 < c_* \leq 20.00 \text{ N/cm}^2 \quad \Rightarrow \quad \psi = 0.40$$

$$\text{se } c_* > 20.00 \text{ N/cm}^2 \quad \Rightarrow \quad \psi = 0.30$$

Viggiani e altri (consigliato per pali infissi)

$$\text{se } c_* \leq 5.00 \text{ N/cm}^2 \quad \Rightarrow \quad \psi = 1.00$$

$$\text{se } 5.00 < c_* \leq 10.00 \text{ N/cm}^2 \quad \Rightarrow \quad \psi = 0.70$$

$$\text{se } 10.00 < c_* \leq 15.00 \text{ N/cm}^2 \quad \Rightarrow \quad \psi = 0.50$$

$$\text{se } 15.00 < c_* \leq 20.00 \text{ N/cm}^2 \quad \Rightarrow \quad \psi = 0.40$$

$$\text{se } c_* > 20.00 \text{ N/cm}^2 \quad \Rightarrow \quad \psi = 0.30$$

Il valore della tensione orizzontale " σ_h " è correlato al valore della pressione verticale " σ_v " per mezzo del coefficiente di spinta orizzontale " K_s " secondo la seguente relazione:

$$\sigma_h = \sigma_v \cdot K_s$$

Il valore di " K_s " dipende essenzialmente dal tipo di terreno e dal suo stato d'addensamento nonché dalla tecnologia utilizzata per l'installazione. Esso può variare da un limite inferiore pari al coefficiente di spinta a riposo " K_0 " fino a valori prossimi al coefficiente di spinta passiva " K_p "; i valori proposti sono:

$$K_s = K_0 = 1 - \text{sen}(\varphi) \quad (\text{per pali trivellati}) \quad K_s = 1 - \text{tg}^2(\varphi) \quad (\text{per pali infissi})$$

Il valore dell'angolo di resistenza al taglio all'interfaccia terreno-palo " δ " è funzione della scabrezza della superficie del palo e quindi della modalità esecutiva; i valori proposti sono:

$$\delta = \text{arctg}(\text{tg}(\varphi)) \quad (\text{per pali trivellati}) \quad \delta = \text{arctg}\left(\frac{3}{4} \cdot \text{tg}(\varphi)\right) \quad (\text{per pali infissi})$$

SIMBOLOGIA ADOTTATA NEI TABULATI DI CALCOLO

Per maggior chiarezza nella lettura dei tabulati di calcolo viene riportata la descrizione dei simboli principali utilizzati nella stesura degli stessi. Per comodità di lettura la legenda è suddivisa in paragrafi con la stessa modalità in cui sono stampati i tabulati di calcolo.

Dati geometrici degli elementi costituenti le fondazioni profonde

- X elem. ascissa nel riferimento globale dell'elemento
- Y elem. ordinata nel riferimento globale dell'elemento
- Profon. profondità del piano di posa dell'elemento a partire dal piano campagna
- Base larghezza della sezione trasversale dell'elemento
- Lungh. dimensione dello sviluppo longitudinale dell'elemento
- Altezz. altezza della sezione trasversale dell'elemento
- Rotaz. rotazione dell'elemento rispetto al suo baricentro
- Grup. ap. nel caso cui l'elemento faccia parte di una palificata, rappresenta il numero identificativo della stessa
- Ind. Strat. indice della stratigrafia associata all'elemento
- Tip. iniez. tipologia d'iniezione dei micropali ai fini del calcolo della portanza secondo le raccomandazioni di Bustamante e Doix (No iniez. = assenza d'iniezione, Iniez.uni. = iniezione unica, Iniez.rip. = iniezione ripetuta)
- Tip. ter. tipologia di terreno ai fini del calcolo della portanza secondo le raccomandazioni di Bustamante e Doix (Coes. = coesivo, Inc. = incoerente)
- Dia. P. diametro fusto del palo
- Lun. P. lunghezza totale del palo
- Lun. L. lunghezza tratto del palo senza contributo di terreno
- Dis. P. distanza del baricentro del palo dal bordo del plinto
- In. Px interasse principale del palo
- In. Py interasse secondario del palo
- Dia. B. diametro bulbo del palo
- Lun. B. lunghezza della sbulbatura del palo
- E.C.V. coefficiente d'efficienza per carico limite verticale del singolo palo
- E.C.C. coefficiente d'efficienza per carico critico verticale del singolo palo
- E.C.T. coefficiente d'efficienza per carico limite trasversale del singolo palo
- Svin. testa codice di svincolo alla rotazione in testa al palo (0 = non attivo, 1 = attivo)
- Vin. piede codici di vincolo rispettivamente alla rotazione orizzontale, traslazione orizzontale e traslazione verticale applicabili al piede del palo (0 = non attivo, 1 = attivo)
- Asc. X' ascissa del baricentro del singolo palo dell'elemento nel riferimento locale con origine nel baricentro del plinto
- Asc. Y' ordinata del baricentro del singolo palo dell'elemento nel riferimento locale con origine nel baricentro del plinto
- Peso spec. peso specifico del palo
- Mod. El. Pa. modulo elastico normale del palo

Dati di carico degli elementi costituenti le fondazioni profonde

- Cmb numero della combinazione di carico
- Tipologia tipologia della combinazione di carico
- Sismica flag per l'applicazione della riduzione sismica alle caratteristiche meccaniche del terreno di fondazione per la combinazione di carico in esame
- S. Normale sollecitazione normale agente alla quota del piano di fondazione dell'elemento (riferimento locale con origine nel baricentro del plinto)
- S. Tagliante X' sollecitazione tagliante lungo l'asse X' agente alla quota del piano di fondazione dell'elemento (riferimento locale con origine nel baricentro del plinto)
- S. Tagliante Y' sollecitazione tagliante lungo l'asse Y' agente alla quota del piano di fondazione dell'elemento (riferimento locale con origine nel baricentro del plinto)
- S. Flessionale X' sollecitazione flessionale lungo l'asse X' agente alla quota del piano di fondazione dell'elemento (riferimento locale con origine nel baricentro del plinto)
- S. Flessionale Y' sollecitazione flessionale lungo l'asse Y' agente alla quota del piano di fondazione

- S. Torsionale dell'elemento (riferimento locale con origine nel baricentro del plinto)
sollecitazione torsionale agente alla quota del piano di fondazione dell'elemento (riferimento locale con origine nel baricentro del plinto)

Valori di calcolo per le fondazioni profonde

- C. Lim. Base carico limite verticale alla punta del palo (valore su singolo palo corretto dal relativo coefficiente d'efficienza)
- C. Lim. fusto carico limite verticale lungo la superficie laterale del fusto del palo (valore su singolo palo corretto dal relativo coefficiente d'efficienza)
- C. Lim. bulbo carico limite verticale lungo la superficie laterale del bulbo del palo (valore su singolo palo corretto dal relativo coefficiente d'efficienza)
- C. Critico carico critico per l'instabilità del palo (valore su singolo palo corretto dal relativo coefficiente d'efficienza)
- Attr. Neg. attrito negativo agente sul palo (valore su singolo palo)
- Peso Palo peso totale del singolo palo
- Cmb numero e tipologia della combinazione di carico
- S. Norm. sollecitazione normale agente alla testa del palo in esame
- V. V. Com. resistenza a compressione del palo in esame (corretto dal relativo coefficiente di sicurezza)
- V. V. Tra. resistenza a trazione del palo in esame (corretto dal relativo coefficiente di sicurezza)
- Ver. Com. rapporto tra la sollecitazione normale agente alla testa del palo e la sua resistenza a compressione (verifica positiva se il rapporto è < 1.0)
- Ver. Tra. rapporto tra la sollecitazione normale agente alla testa del palo e la sua resistenza a trazione (verifica positiva se il rapporto è < 1.0)
- S. Tagl. sollecitazione tagliente agente alla testa del palo
- S. Fles. sollecitazione flessionale agente alla testa del palo
- V. V. Trs. resistenza trasversale del palo in esame (corretto dal relativo coefficiente di sicurezza)
- Ver. Tra. rapporto tra la sollecitazione tagliente agente alla testa del palo e la sua resistenza trasversale (verifica positiva se il rapporto è < 1.0)
- Ced. V. cedimento verticale in corrispondenza della testa del palo
- Ced. H. cedimento orizzontale in corrispondenza della testa del palo

PARAMETRI DI CALCOLO

Modalità di calcolo della portanza verticale per fondazioni profonde:

Per elementi con pali: Portanza di punta e laterale
Per elementi con micropali: Portanza di punta e laterale

Metodi di calcolo della portanza di punta per fondazioni profonde:

Per terreni sciolti: Vesic
Riduzione della tensione litostatica: No
Per terreni lapidei: Terzaghi
Riduzione di Kishida per pali battuti o trivellati: Si

Coefficienti parziali e totali di sicurezza per Tensioni Ammissibili e S.L.E. nel calcolo della portanza per fondazioni profonde:

Coeff. di sicurezza alla punta: 2.50
Coeff. di sicurezza lungo il fusto: 2.50
Coeff. di sicurezza lungo il bulbo: 2.50
Coeff. di sicurezza per palo in trazione: 2.50

Combinazioni di carico:

APPROCCIO PROGETTUALE TIPO 1 - Comb. (A1+M1+R1), (A2+M1+R2)

Coefficienti parziali e totali di sicurezza per S.L.U. nel calcolo della portanza per pali trivellati:

I coeff. A1 e A2 risultano combinati secondo lo schema presente nella relazione di calcolo della struttura.

cm	cm	cm	cm	cm	cm	cm	cm				codice	codice
60.0	2400.0	0.0	0.0	0.0	0.0	0.0	0.0	1.00	1.00	1.00	0	1; 0; 1

Palo	Asc. X'	Ord. Y'
n.	cm	cm
1	0.0	0.0

Elemento: 7 - Palo singolo - Tipologia pali: trivellati

X elem.	Y elem.	Prof.	Base	Lungh.	Altez.	Rot.	Grup.ap.	Ind.strat.
cm	cm	cm	cm	cm	cm	Gradi°	n.	n.
396.7	177.0	40.0	53.2	53.2	80.0	0.00	7	001

Dia. P.	Lun. P.	Lun. L.	Dist.P.	In. Px	In. Py	Dia. B.	Lun. B.	E.C.V.	E.C.C.	E.C.T.	Svin.testa	Vin.piede
cm	cm	cm	cm	cm	cm	cm	cm				codice	codice
60.0	2400.0	0.0	0.0	0.0	0.0	0.0	0.0	1.00	1.00	1.00	0	1; 0; 1

Palo	Asc. X'	Ord. Y'
n.	cm	cm
1	0.0	0.0

Elemento: 8 - Palo singolo - Tipologia pali: trivellati

X elem.	Y elem.	Prof.	Base	Lungh.	Altez.	Rot.	Grup.ap.	Ind.strat.
cm	cm	cm	cm	cm	cm	Gradi°	n.	n.
290.9	322.6	40.0	53.2	53.2	80.0	0.00	8	001

Dia. P.	Lun. P.	Lun. L.	Dist.P.	In. Px	In. Py	Dia. B.	Lun. B.	E.C.V.	E.C.C.	E.C.T.	Svin.testa	Vin.piede
cm	cm	cm	cm	cm	cm	cm	cm				codice	codice
60.0	2400.0	0.0	0.0	0.0	0.0	0.0	0.0	1.00	1.00	1.00	0	1; 0; 1

Palo	Asc. X'	Ord. Y'
n.	cm	cm
1	0.0	0.0

Elemento: 9 - Palo singolo - Tipologia pali: trivellati

X elem.	Y elem.	Prof.	Base	Lungh.	Altez.	Rot.	Grup.ap.	Ind.strat.
cm	cm	cm	cm	cm	cm	Gradi°	n.	n.
655.6	365.1	40.0	53.2	53.2	80.0	0.00	9	001

Dia. P.	Lun. P.	Lun. L.	Dist.P.	In. Px	In. Py	Dia. B.	Lun. B.	E.C.V.	E.C.C.	E.C.T.	Svin.testa	Vin.piede
cm	cm	cm	cm	cm	cm	cm	cm				codice	codice
60.0	2400.0	0.0	0.0	0.0	0.0	0.0	0.0	1.00	1.00	1.00	0	1; 0; 1

Palo	Asc. X'	Ord. Y'
n.	cm	cm
1	0.0	0.0

Elemento: 10 - Palo singolo - Tipologia pali: trivellati

X elem.	Y elem.	Prof.	Base	Lungh.	Altez.	Rot.	Grup.ap.	Ind.strat.
cm	cm	cm	cm	cm	cm	Gradi°	n.	n.
549.8	510.7	40.0	53.2	53.2	80.0	0.00	10	001

Dia. P.	Lun. P.	Lun. L.	Dist.P.	In. Px	In. Py	Dia. B.	Lun. B.	E.C.V.	E.C.C.	E.C.T.	Svin.testa	Vin.piede
cm	cm	cm	cm	cm	cm	cm	cm				codice	codice
60.0	2400.0	0.0	0.0	0.0	0.0	0.0	0.0	1.00	1.00	1.00	0	1; 0; 1

Palo	Asc. X'	Ord. Y'
n.	cm	cm
1	0.0	0.0

Elemento: 11 - Palo singolo - Tipologia pali: trivellati

X elem.	Y elem.	Prof.	Base	Lungh.	Altez.	Rot.	Grup.ap.	Ind.strat.
cm	cm	cm	cm	cm	cm	Gradi°	n.	n.
914.5	553.2	40.0	53.2	53.2	80.0	0.00	11	001

Dia. P.	Lun. P.	Lun. L.	Dist.P.	In. Px	In. Py	Dia. B.	Lun. B.	E.C.V.	E.C.C.	E.C.T.	Svin.testa	Vin.piede
cm	cm	cm	cm	cm	cm	cm	cm				codice	codice
60.0	2400.0	0.0	0.0	0.0	0.0	0.0	0.0	1.00	1.00	1.00	0	1; 0; 1

Palo	Asc. X'	Ord. Y'
n.	cm	cm
1	0.0	0.0

Elemento: 12 - Palo singolo - Tipologia pali: trivellati

X elem.	Y elem.	Prof.	Base	Lungh.	Altez.	Rot.	Grup.ap.	Ind.strat.
cm	cm	cm	cm	cm	cm	Gradi°	n.	n.
808.7	698.8	40.0	53.2	53.2	80.0	0.00	12	001

Dia. P.	Lun. P.	Lun. L.	Dist.P.	In. Px	In. Py	Dia. B.	Lun. B.	E.C.V.	E.C.C.	E.C.T.	Svin.testa	Vin.piede
cm	cm	cm	cm	cm	cm	cm	cm				codice	codice
60.0	2400.0	0.0	0.0	0.0	0.0	0.0	0.0	1.00	1.00	1.00	0	1; 0; 1

Palo
n. cm Ord. Y'
1 0.0 0.0

Elemento: 13 - Palo singolo - Tipologia pali: trivellati

X elem. **Y elem.** **Prof.** **Base** **Lungh.** **Altez.** **Rot.** **Grup.ap.** **Ind.strat.**
cm cm cm cm cm cm Gradi° n. n.
1173.4 741.3 40.0 53.2 53.2 80.0 0.00 13 001

Dia. P. **Lun. P.** **Lun. L.** **Dist.P.** **In. Px** **In. Py** **Dia. B.** **Lun. B.** **E.C.V.** **E.C.C.** **E.C.T.** **Svin.testa** **Vin.piede**
cm cm cm cm cm cm cm cm E.C.V. E.C.C. E.C.T. codice codice
60.0 2400.0 0.0 0.0 0.0 0.0 0.0 0.0 1.00 1.00 1.00 0 1; 0; 1

Palo
n. cm Ord. Y'
1 0.0 0.0

Elemento: 14 - Palo singolo - Tipologia pali: trivellati

X elem. **Y elem.** **Prof.** **Base** **Lungh.** **Altez.** **Rot.** **Grup.ap.** **Ind.strat.**
cm cm cm cm cm cm Gradi° n. n.
1067.6 886.9 40.0 53.2 53.2 80.0 0.00 14 001

Dia. P. **Lun. P.** **Lun. L.** **Dist.P.** **In. Px** **In. Py** **Dia. B.** **Lun. B.** **E.C.V.** **E.C.C.** **E.C.T.** **Svin.testa** **Vin.piede**
cm cm cm cm cm cm cm cm E.C.V. E.C.C. E.C.T. codice codice
60.0 2400.0 0.0 0.0 0.0 0.0 0.0 0.0 1.00 1.00 1.00 0 1; 0; 1

Palo
n. cm Ord. Y'
1 0.0 0.0

Elemento: 15 - Palo singolo - Tipologia pali: trivellati

X elem. **Y elem.** **Prof.** **Base** **Lungh.** **Altez.** **Rot.** **Grup.ap.** **Ind.strat.**
cm cm cm cm cm cm Gradi° n. n.
1432.3 929.4 40.0 53.2 53.2 80.0 0.00 15 001

Dia. P. **Lun. P.** **Lun. L.** **Dist.P.** **In. Px** **In. Py** **Dia. B.** **Lun. B.** **E.C.V.** **E.C.C.** **E.C.T.** **Svin.testa** **Vin.piede**
cm cm cm cm cm cm cm cm E.C.V. E.C.C. E.C.T. codice codice
60.0 2400.0 0.0 0.0 0.0 0.0 0.0 0.0 1.00 1.00 1.00 0 1; 0; 1

Palo
n. cm Ord. Y'
1 0.0 0.0

Elemento: 16 - Palo singolo - Tipologia pali: trivellati

X elem. **Y elem.** **Prof.** **Base** **Lungh.** **Altez.** **Rot.** **Grup.ap.** **Ind.strat.**
cm cm cm cm cm cm Gradi° n. n.
1326.5 1075.0 40.0 53.2 53.2 80.0 0.00 16 001

Dia. P. **Lun. P.** **Lun. L.** **Dist.P.** **In. Px** **In. Py** **Dia. B.** **Lun. B.** **E.C.V.** **E.C.C.** **E.C.T.** **Svin.testa** **Vin.piede**
cm cm cm cm cm cm cm cm E.C.V. E.C.C. E.C.T. codice codice
60.0 2400.0 0.0 0.0 0.0 0.0 0.0 0.0 1.00 1.00 1.00 0 1; 0; 1

Palo
n. cm Ord. Y'
1 0.0 0.0

Elemento: 17 - Palo singolo - Tipologia pali: trivellati

X elem. **Y elem.** **Prof.** **Base** **Lungh.** **Altez.** **Rot.** **Grup.ap.** **Ind.strat.**
cm cm cm cm cm cm Gradi° n. n.
1691.2 1117.5 40.0 53.2 53.2 80.0 0.00 17 001

Dia. P. **Lun. P.** **Lun. L.** **Dist.P.** **In. Px** **In. Py** **Dia. B.** **Lun. B.** **E.C.V.** **E.C.C.** **E.C.T.** **Svin.testa** **Vin.piede**
cm cm cm cm cm cm cm cm E.C.V. E.C.C. E.C.T. codice codice
60.0 2400.0 0.0 0.0 0.0 0.0 0.0 0.0 1.00 1.00 1.00 0 1; 0; 1

Palo
n. cm Ord. Y'
1 0.0 0.0

Elemento: 18 - Palo singolo - Tipologia pali: trivellati

X elem. **Y elem.** **Prof.** **Base** **Lungh.** **Altez.** **Rot.** **Grup.ap.** **Ind.strat.**
cm cm cm cm cm cm Gradi° n. n.
1585.4 1263.1 40.0 53.2 53.2 80.0 0.00 18 001

Dia. P. **Lun. P.** **Lun. L.** **Dist.P.** **In. Px** **In. Py** **Dia. B.** **Lun. B.** **E.C.V.** **E.C.C.** **E.C.T.** **Svin.testa** **Vin.piede**
cm cm cm cm cm cm cm cm E.C.V. E.C.C. E.C.T. codice codice
60.0 2400.0 0.0 0.0 0.0 0.0 0.0 0.0 1.00 1.00 1.00 0 1; 0; 1

Palo
n. cm Ord. Y'
1 0.0 0.0

n. cm cm
1 0.0 0.0

Elemento: 19 - Palo singolo - Tipologia pali: trivellati

X elem.	Y elem.	Prof.	Base	Lungh.	Altez.	Rot.	Grup.ap.	Ind.strat.
cm	cm	cm	cm	cm	cm	Gradi°	n.	n.
1950.0	1305.5	40.0	53.2	53.2	80.0	0.00	19	001

Dia. P.	Lun. P.	Lun. L.	Dist.P.	In. Px	In. Py	Dia. B.	Lun. B.	E.C.V.	E.C.C.	E.C.T.	Svin.testa	Vin.piede
cm	cm	cm	cm	cm	cm	cm	cm	cm	cm	cm	codice	codice
60.0	2400.0	0.0	0.0	0.0	0.0	0.0	0.0	1.00	1.00	1.00	0	1; 0; 1

Palo	Asc. X'	Ord. Y'
n.	cm	cm
1	0.0	0.0

Elemento: 20 - Palo singolo - Tipologia pali: trivellati

X elem.	Y elem.	Prof.	Base	Lungh.	Altez.	Rot.	Grup.ap.	Ind.strat.
cm	cm	cm	cm	cm	cm	Gradi°	n.	n.
1844.2	1451.2	40.0	53.2	53.2	80.0	0.00	20	001

Dia. P.	Lun. P.	Lun. L.	Dist.P.	In. Px	In. Py	Dia. B.	Lun. B.	E.C.V.	E.C.C.	E.C.T.	Svin.testa	Vin.piede
cm	cm	cm	cm	cm	cm	cm	cm	cm	cm	cm	codice	codice
60.0	2400.0	0.0	0.0	0.0	0.0	0.0	0.0	1.00	1.00	1.00	0	1; 0; 1

Palo	Asc. X'	Ord. Y'
n.	cm	cm
1	0.0	0.0

Elemento: 477 - Palo singolo - Tipologia pali: trivellati

X elem.	Y elem.	Prof.	Base	Lungh.	Altez.	Rot.	Grup.ap.	Ind.strat.
cm	cm	cm	cm	cm	cm	Gradi°	n.	n.
1766.1	31.2	200.0	53.2	53.2	80.0	0.00	477	001

Dia. P.	Lun. P.	Lun. L.	Dist.P.	In. Px	In. Py	Dia. B.	Lun. B.	E.C.V.	E.C.C.	E.C.T.	Svin.testa	Vin.piede
cm	cm	cm	cm	cm	cm	cm	cm	cm	cm	cm	codice	codice
60.0	2400.0	0.0	0.0	0.0	0.0	0.0	0.0	1.00	1.00	1.00	0	1; 0; 1

Palo	Asc. X'	Ord. Y'
n.	cm	cm
1	0.0	0.0

Elemento: 478 - Palo singolo - Tipologia pali: trivellati

X elem.	Y elem.	Prof.	Base	Lungh.	Altez.	Rot.	Grup.ap.	Ind.strat.
cm	cm	cm	cm	cm	cm	Gradi°	n.	n.
1660.3	176.8	200.0	53.2	53.2	80.0	0.00	478	001

Dia. P.	Lun. P.	Lun. L.	Dist.P.	In. Px	In. Py	Dia. B.	Lun. B.	E.C.V.	E.C.C.	E.C.T.	Svin.testa	Vin.piede
cm	cm	cm	cm	cm	cm	cm	cm	cm	cm	cm	codice	codice
60.0	2400.0	0.0	0.0	0.0	0.0	0.0	0.0	1.00	1.00	1.00	0	1; 0; 1

Palo	Asc. X'	Ord. Y'
n.	cm	cm
1	0.0	0.0

Elemento: 479 - Palo singolo - Tipologia pali: trivellati

X elem.	Y elem.	Prof.	Base	Lungh.	Altez.	Rot.	Grup.ap.	Ind.strat.
cm	cm	cm	cm	cm	cm	Gradi°	n.	n.
2025.0	219.3	200.0	53.2	53.2	80.0	0.00	479	001

Dia. P.	Lun. P.	Lun. L.	Dist.P.	In. Px	In. Py	Dia. B.	Lun. B.	E.C.V.	E.C.C.	E.C.T.	Svin.testa	Vin.piede
cm	cm	cm	cm	cm	cm	cm	cm	cm	cm	cm	codice	codice
60.0	2400.0	0.0	0.0	0.0	0.0	0.0	0.0	1.00	1.00	1.00	0	1; 0; 1

Palo	Asc. X'	Ord. Y'
n.	cm	cm
1	0.0	0.0

Elemento: 480 - Palo singolo - Tipologia pali: trivellati

X elem.	Y elem.	Prof.	Base	Lungh.	Altez.	Rot.	Grup.ap.	Ind.strat.
cm	cm	cm	cm	cm	cm	Gradi°	n.	n.
1919.2	364.9	200.0	53.2	53.2	80.0	0.00	480	001

Dia. P.	Lun. P.	Lun. L.	Dist.P.	In. Px	In. Py	Dia. B.	Lun. B.	E.C.V.	E.C.C.	E.C.T.	Svin.testa	Vin.piede
cm	cm	cm	cm	cm	cm	cm	cm	cm	cm	cm	codice	codice
60.0	2400.0	0.0	0.0	0.0	0.0	0.0	0.0	1.00	1.00	1.00	0	1; 0; 1

Palo	Asc. X'	Ord. Y'
n.	cm	cm
1	0.0	0.0

Elemento: 481 - Palo singolo - Tipologia pali: trivellati

X elem.	Y elem.	Prof.	Base	Lungh.	Altez.	Rot.	Grup.ap.	Ind.strat.					
cm	cm	cm	cm	cm	cm	Gradi°	n.	n.					
2283.9	407.4	200.0	53.2	53.2	80.0	0.00	481	001					
Dia. P.	Lun. P.	Lun. L.	Dist.P.	In. Px	In. Py	Dia. B.	Lun. B.	E.C.V.	E.C.C.	E.C.T.	Svin.testa	Vin.piede	
cm	cm	cm	cm	cm	cm	cm	cm				codice	codice	
60.0	2400.0	0.0	0.0	0.0	0.0	0.0	0.0	1.00	1.00	1.00	0	1; 0; 1	
Palo	Asc. X'	Ord. Y'											
n.	cm	cm											
1	0.0	0.0											

Elemento: 482 - Palo singolo - Tipologia pali: trivellati

X elem.	Y elem.	Prof.	Base	Lungh.	Altez.	Rot.	Grup.ap.	Ind.strat.					
cm	cm	cm	cm	cm	cm	Gradi°	n.	n.					
2178.1	553.0	200.0	53.2	53.2	80.0	0.00	482	001					
Dia. P.	Lun. P.	Lun. L.	Dist.P.	In. Px	In. Py	Dia. B.	Lun. B.	E.C.V.	E.C.C.	E.C.T.	Svin.testa	Vin.piede	
cm	cm	cm	cm	cm	cm	cm	cm				codice	codice	
60.0	2400.0	0.0	0.0	0.0	0.0	0.0	0.0	1.00	1.00	1.00	0	1; 0; 1	
Palo	Asc. X'	Ord. Y'											
n.	cm	cm											
1	0.0	0.0											

Elemento: 483 - Palo singolo - Tipologia pali: trivellati

X elem.	Y elem.	Prof.	Base	Lungh.	Altez.	Rot.	Grup.ap.	Ind.strat.					
cm	cm	cm	cm	cm	cm	Gradi°	n.	n.					
2542.8	595.5	200.0	53.2	53.2	80.0	0.00	483	001					
Dia. P.	Lun. P.	Lun. L.	Dist.P.	In. Px	In. Py	Dia. B.	Lun. B.	E.C.V.	E.C.C.	E.C.T.	Svin.testa	Vin.piede	
cm	cm	cm	cm	cm	cm	cm	cm				codice	codice	
60.0	2400.0	0.0	0.0	0.0	0.0	0.0	0.0	1.00	1.00	1.00	0	1; 0; 1	
Palo	Asc. X'	Ord. Y'											
n.	cm	cm											
1	0.0	0.0											

Elemento: 484 - Palo singolo - Tipologia pali: trivellati

X elem.	Y elem.	Prof.	Base	Lungh.	Altez.	Rot.	Grup.ap.	Ind.strat.					
cm	cm	cm	cm	cm	cm	Gradi°	n.	n.					
2437.0	741.1	200.0	53.2	53.2	80.0	0.00	484	001					
Dia. P.	Lun. P.	Lun. L.	Dist.P.	In. Px	In. Py	Dia. B.	Lun. B.	E.C.V.	E.C.C.	E.C.T.	Svin.testa	Vin.piede	
cm	cm	cm	cm	cm	cm	cm	cm				codice	codice	
60.0	2400.0	0.0	0.0	0.0	0.0	0.0	0.0	1.00	1.00	1.00	0	1; 0; 1	
Palo	Asc. X'	Ord. Y'											
n.	cm	cm											
1	0.0	0.0											

Elemento: 485 - Palo singolo - Tipologia pali: trivellati

X elem.	Y elem.	Prof.	Base	Lungh.	Altez.	Rot.	Grup.ap.	Ind.strat.					
cm	cm	cm	cm	cm	cm	Gradi°	n.	n.					
2801.6	783.6	200.0	53.2	53.2	80.0	0.00	485	001					
Dia. P.	Lun. P.	Lun. L.	Dist.P.	In. Px	In. Py	Dia. B.	Lun. B.	E.C.V.	E.C.C.	E.C.T.	Svin.testa	Vin.piede	
cm	cm	cm	cm	cm	cm	cm	cm				codice	codice	
60.0	2400.0	0.0	0.0	0.0	0.0	0.0	0.0	1.00	1.00	1.00	0	1; 0; 1	
Palo	Asc. X'	Ord. Y'											
n.	cm	cm											
1	0.0	0.0											

Elemento: 486 - Palo singolo - Tipologia pali: trivellati

X elem.	Y elem.	Prof.	Base	Lungh.	Altez.	Rot.	Grup.ap.	Ind.strat.					
cm	cm	cm	cm	cm	cm	Gradi°	n.	n.					
2695.8	929.2	200.0	53.2	53.2	80.0	0.00	486	001					
Dia. P.	Lun. P.	Lun. L.	Dist.P.	In. Px	In. Py	Dia. B.	Lun. B.	E.C.V.	E.C.C.	E.C.T.	Svin.testa	Vin.piede	
cm	cm	cm	cm	cm	cm	cm	cm				codice	codice	
60.0	2400.0	0.0	0.0	0.0	0.0	0.0	0.0	1.00	1.00	1.00	0	1; 0; 1	
Palo	Asc. X'	Ord. Y'											
n.	cm	cm											
1	0.0	0.0											

Elemento: 487 - Palo singolo - Tipologia pali: trivellati

X elem.	Y elem.	Prof.	Base	Lungh.	Altez.	Rot.	Grup.ap.	Ind.strat.					
cm	cm	cm	cm	cm	cm	Gradi°	n.	n.					
3060.5	971.7	200.0	53.2	53.2	80.0	0.00	487	001					
Dia. P.	Lun. P.	Lun. L.	Dist.P.	In. Px	In. Py	Dia. B.	Lun. B.	E.C.V.	E.C.C.	E.C.T.	Svin.testa	Vin.piede	
cm	cm	cm	cm	cm	cm	cm	cm				codice	codice	
60.0	2400.0	0.0	0.0	0.0	0.0	0.0	0.0	1.00	1.00	1.00	0	1; 0; 1	
Palo	Asc. X'	Ord. Y'											
n.	cm	cm											
1	0.0	0.0											

Elemento: 488 - Palo singolo - Tipologia pali: trivellati

X elem.	Y elem.	Prof.	Base	Lungh.	Altez.	Rot.	Grup.ap.	Ind.strat.					
cm	cm	cm	cm	cm	cm	Gradi°	n.	n.					
2954.7	1117.3	200.0	53.2	53.2	80.0	0.00	488	001					
Dia. P.	Lun. P.	Lun. L.	Dist.P.	In. Px	In. Py	Dia. B.	Lun. B.	E.C.V.	E.C.C.	E.C.T.	Svin.testa	Vin.piede	
cm	cm	cm	cm	cm	cm	cm	cm				codice	codice	
60.0	2400.0	0.0	0.0	0.0	0.0	0.0	0.0	1.00	1.00	1.00	0	1; 0; 1	
Palo	Asc. X'	Ord. Y'											
n.	cm	cm											
1	0.0	0.0											

Elemento: 489 - Palo singolo - Tipologia pali: trivellati

X elem.	Y elem.	Prof.	Base	Lungh.	Altez.	Rot.	Grup.ap.	Ind.strat.					
cm	cm	cm	cm	cm	cm	Gradi°	n.	n.					
3319.4	1159.8	200.0	53.2	53.2	80.0	0.00	489	001					
Dia. P.	Lun. P.	Lun. L.	Dist.P.	In. Px	In. Py	Dia. B.	Lun. B.	E.C.V.	E.C.C.	E.C.T.	Svin.testa	Vin.piede	
cm	cm	cm	cm	cm	cm	cm	cm				codice	codice	
60.0	2400.0	0.0	0.0	0.0	0.0	0.0	0.0	1.00	1.00	1.00	0	1; 0; 1	
Palo	Asc. X'	Ord. Y'											
n.	cm	cm											
1	0.0	0.0											

Elemento: 490 - Palo singolo - Tipologia pali: trivellati

X elem.	Y elem.	Prof.	Base	Lungh.	Altez.	Rot.	Grup.ap.	Ind.strat.					
cm	cm	cm	cm	cm	cm	Gradi°	n.	n.					
3213.6	1305.4	200.0	53.2	53.2	80.0	0.00	490	001					
Dia. P.	Lun. P.	Lun. L.	Dist.P.	In. Px	In. Py	Dia. B.	Lun. B.	E.C.V.	E.C.C.	E.C.T.	Svin.testa	Vin.piede	
cm	cm	cm	cm	cm	cm	cm	cm				codice	codice	
60.0	2400.0	0.0	0.0	0.0	0.0	0.0	0.0	1.00	1.00	1.00	0	1; 0; 1	
Palo	Asc. X'	Ord. Y'											
n.	cm	cm											
1	0.0	0.0											

Elemento: 491 - Palo singolo - Tipologia pali: trivellati

X elem.	Y elem.	Prof.	Base	Lungh.	Altez.	Rot.	Grup.ap.	Ind.strat.					
cm	cm	cm	cm	cm	cm	Gradi°	n.	n.					
3578.3	1347.9	200.0	53.2	53.2	80.0	0.00	491	001					
Dia. P.	Lun. P.	Lun. L.	Dist.P.	In. Px	In. Py	Dia. B.	Lun. B.	E.C.V.	E.C.C.	E.C.T.	Svin.testa	Vin.piede	
cm	cm	cm	cm	cm	cm	cm	cm				codice	codice	
60.0	2400.0	0.0	0.0	0.0	0.0	0.0	0.0	1.00	1.00	1.00	0	1; 0; 1	
Palo	Asc. X'	Ord. Y'											
n.	cm	cm											
1	0.0	0.0											

Elemento: 492 - Palo singolo - Tipologia pali: trivellati

X elem.	Y elem.	Prof.	Base	Lungh.	Altez.	Rot.	Grup.ap.	Ind.strat.					
cm	cm	cm	cm	cm	cm	Gradi°	n.	n.					
3472.5	1493.5	200.0	53.2	53.2	80.0	0.00	492	001					
Dia. P.	Lun. P.	Lun. L.	Dist.P.	In. Px	In. Py	Dia. B.	Lun. B.	E.C.V.	E.C.C.	E.C.T.	Svin.testa	Vin.piede	
cm	cm	cm	cm	cm	cm	cm	cm				codice	codice	
60.0	2400.0	0.0	0.0	0.0	0.0	0.0	0.0	1.00	1.00	1.00	0	1; 0; 1	
Palo	Asc. X'	Ord. Y'											
n.	cm	cm											
1	0.0	0.0											

Elemento: 911 - Palo singolo - Tipologia pali: trivellati

X elem.	Y elem.	Prof.	Base	Lungh.	Altez.	Rot.	Grup.ap.	Ind.strat.
cm	cm	cm	cm	cm	cm	Gradi°	n.	n.

3837.2	1536.0	200.0	53.2	53.2	80.0	0.00	911	001					
Dia. P.	Lun. P.	Lun. L.	Dist.P.	In. Px	In. Py	Dia. B.	Lun. B.	E.C.V.	E.C.C.	E.C.T.	Svin.testa	Vin.piede	
cm	cm	cm	cm	cm	cm	cm	cm				codice	codice	
60.0	2400.0	0.0	0.0	0.0	0.0	0.0	0.0	1.00	1.00	1.00	0	1; 0; 1	
Palo	Asc. X'	Ord. Y'											
n.	cm	cm											
1	0.0	0.0											

Elemento: 912 - Palo singolo - Tipologia pali: trivellati

X elem.	Y elem.	Prof.	Base	Lungh.	Altez.	Rot.	Grup.ap.	Ind.strat.					
cm	cm	cm	cm	cm	cm	Gradi°	n.	n.					
3731.4	1681.6	200.0	53.2	53.2	80.0	0.00	912	001					
Dia. P.	Lun. P.	Lun. L.	Dist.P.	In. Px	In. Py	Dia. B.	Lun. B.	E.C.V.	E.C.C.	E.C.T.	Svin.testa	Vin.piede	
cm	cm	cm	cm	cm	cm	cm	cm				codice	codice	
60.0	2400.0	0.0	0.0	0.0	0.0	0.0	0.0	1.00	1.00	1.00	0	1; 0; 1	
Palo	Asc. X'	Ord. Y'											
n.	cm	cm											
1	0.0	0.0											

Elemento: 967 - Palo singolo - Tipologia pali: trivellati

X elem.	Y elem.	Prof.	Base	Lungh.	Altez.	Rot.	Grup.ap.	Ind.strat.					
cm	cm	cm	cm	cm	cm	Gradi°	n.	n.					
4096.1	1724.0	200.0	53.2	53.2	80.0	0.00	967	001					
Dia. P.	Lun. P.	Lun. L.	Dist.P.	In. Px	In. Py	Dia. B.	Lun. B.	E.C.V.	E.C.C.	E.C.T.	Svin.testa	Vin.piede	
cm	cm	cm	cm	cm	cm	cm	cm				codice	codice	
60.0	2400.0	0.0	0.0	0.0	0.0	0.0	0.0	1.00	1.00	1.00	0	1; 0; 1	
Palo	Asc. X'	Ord. Y'											
n.	cm	cm											
1	0.0	0.0											

Elemento: 968 - Palo singolo - Tipologia pali: trivellati

X elem.	Y elem.	Prof.	Base	Lungh.	Altez.	Rot.	Grup.ap.	Ind.strat.					
cm	cm	cm	cm	cm	cm	Gradi°	n.	n.					
3990.3	1869.7	200.0	53.2	53.2	80.0	0.00	968	001					
Dia. P.	Lun. P.	Lun. L.	Dist.P.	In. Px	In. Py	Dia. B.	Lun. B.	E.C.V.	E.C.C.	E.C.T.	Svin.testa	Vin.piede	
cm	cm	cm	cm	cm	cm	cm	cm				codice	codice	
60.0	2400.0	0.0	0.0	0.0	0.0	0.0	0.0	1.00	1.00	1.00	0	1; 0; 1	
Palo	Asc. X'	Ord. Y'											
n.	cm	cm											
1	0.0	0.0											

Elemento: 1023 - Palo singolo - Tipologia pali: trivellati

X elem.	Y elem.	Prof.	Base	Lungh.	Altez.	Rot.	Grup.ap.	Ind.strat.					
cm	cm	cm	cm	cm	cm	Gradi°	n.	n.					
4355.0	1912.1	200.0	53.2	53.2	80.0	0.00	1023	001					
Dia. P.	Lun. P.	Lun. L.	Dist.P.	In. Px	In. Py	Dia. B.	Lun. B.	E.C.V.	E.C.C.	E.C.T.	Svin.testa	Vin.piede	
cm	cm	cm	cm	cm	cm	cm	cm				codice	codice	
60.0	2400.0	0.0	0.0	0.0	0.0	0.0	0.0	1.00	1.00	1.00	0	1; 0; 1	
Palo	Asc. X'	Ord. Y'											
n.	cm	cm											
1	0.0	0.0											

Elemento: 1024 - Palo singolo - Tipologia pali: trivellati

X elem.	Y elem.	Prof.	Base	Lungh.	Altez.	Rot.	Grup.ap.	Ind.strat.					
cm	cm	cm	cm	cm	cm	Gradi°	n.	n.					
4249.1	2057.8	200.0	53.2	53.2	80.0	0.00	1024	001					
Dia. P.	Lun. P.	Lun. L.	Dist.P.	In. Px	In. Py	Dia. B.	Lun. B.	E.C.V.	E.C.C.	E.C.T.	Svin.testa	Vin.piede	
cm	cm	cm	cm	cm	cm	cm	cm				codice	codice	
60.0	2400.0	0.0	0.0	0.0	0.0	0.0	0.0	1.00	1.00	1.00	0	1; 0; 1	
Palo	Asc. X'	Ord. Y'											
n.	cm	cm											
1	0.0	0.0											

Elemento: 1079 - Palo singolo - Tipologia pali: trivellati

X elem.	Y elem.	Prof.	Base	Lungh.	Altez.	Rot.	Grup.ap.	Ind.strat.					
cm	cm	cm	cm	cm	cm	Gradi°	n.	n.					
4613.8	2100.2	200.0	53.2	53.2	80.0	0.00	1079	001					

60.0 2400.0 0.0 0.0 0.0 0.0 0.0 0.0 1.00 1.00 1.00 0 1; 0; 1

Palo
n. cm
1 0.0

Asc. X'
cm
0.0

Ord. Y'
cm
0.0

Elemento: 1250 - Palo singolo - Tipologia pali: trivellati

X elem. **Y elem.** **Prof.** **Base** **Lungh.** **Altez.** **Rot.** **Grup.ap.** **Ind.strat.**
cm cm cm cm cm cm Gradi° n. n.
-449.3 1420.0 40.0 53.2 53.2 80.0 0.00 1250 001

Dia. P. **Lun. P.** **Lun. L.** **Dist.P.** **In. Px** **In. Py** **Dia. B.** **Lun. B.** **E.C.V.** **E.C.C.** **E.C.T.** **Svin.testa** **Vin.piede**
cm cm cm cm cm cm cm cm E.C.V. E.C.C. E.C.T. codice codice
60.0 2400.0 0.0 0.0 0.0 0.0 0.0 0.0 1.00 1.00 1.00 0 1; 0; 1

Palo
n. cm
1 0.0

Asc. X'
cm
0.0

Ord. Y'
cm
0.0

Elemento: 1260 - Palo singolo - Tipologia pali: trivellati

X elem. **Y elem.** **Prof.** **Base** **Lungh.** **Altez.** **Rot.** **Grup.ap.** **Ind.strat.**
cm cm cm cm cm cm Gradi° n. n.
-1447.3 1240.0 40.0 53.2 53.2 80.0 0.00 1260 001

Dia. P. **Lun. P.** **Lun. L.** **Dist.P.** **In. Px** **In. Py** **Dia. B.** **Lun. B.** **E.C.V.** **E.C.C.** **E.C.T.** **Svin.testa** **Vin.piede**
cm cm cm cm cm cm cm cm E.C.V. E.C.C. E.C.T. codice codice
60.0 2400.0 0.0 0.0 0.0 0.0 0.0 0.0 1.00 1.00 1.00 0 1; 0; 1

Palo
n. cm
1 0.0

Asc. X'
cm
0.0

Ord. Y'
cm
0.0

Elemento: 1275 - Palo singolo - Tipologia pali: trivellati

X elem. **Y elem.** **Prof.** **Base** **Lungh.** **Altez.** **Rot.** **Grup.ap.** **Ind.strat.**
cm cm cm cm cm cm Gradi° n. n.
-1114.7 1240.0 40.0 53.2 53.2 80.0 0.00 1275 001

Dia. P. **Lun. P.** **Lun. L.** **Dist.P.** **In. Px** **In. Py** **Dia. B.** **Lun. B.** **E.C.V.** **E.C.C.** **E.C.T.** **Svin.testa** **Vin.piede**
cm cm cm cm cm cm cm cm E.C.V. E.C.C. E.C.T. codice codice
60.0 2400.0 0.0 0.0 0.0 0.0 0.0 0.0 1.00 1.00 1.00 0 1; 0; 1

Palo
n. cm
1 0.0

Asc. X'
cm
0.0

Ord. Y'
cm
0.0

Elemento: 1297 - Palo singolo - Tipologia pali: trivellati

X elem. **Y elem.** **Prof.** **Base** **Lungh.** **Altez.** **Rot.** **Grup.ap.** **Ind.strat.**
cm cm cm cm cm cm Gradi° n. n.
2648.1 -1182.8 200.0 53.2 53.2 80.0 0.00 1297 001

Dia. P. **Lun. P.** **Lun. L.** **Dist.P.** **In. Px** **In. Py** **Dia. B.** **Lun. B.** **E.C.V.** **E.C.C.** **E.C.T.** **Svin.testa** **Vin.piede**
cm cm cm cm cm cm cm cm E.C.V. E.C.C. E.C.T. codice codice
60.0 2400.0 0.0 0.0 0.0 0.0 0.0 0.0 1.00 1.00 1.00 0 1; 0; 1

Palo
n. cm
1 0.0

Asc. X'
cm
0.0

Ord. Y'
cm
0.0

Elemento: 1298 - Palo singolo - Tipologia pali: trivellati

X elem. **Y elem.** **Prof.** **Base** **Lungh.** **Altez.** **Rot.** **Grup.ap.** **Ind.strat.**
cm cm cm cm cm cm Gradi° n. n.
2542.3 -1037.2 200.0 53.2 53.2 80.0 0.00 1298 001

Dia. P. **Lun. P.** **Lun. L.** **Dist.P.** **In. Px** **In. Py** **Dia. B.** **Lun. B.** **E.C.V.** **E.C.C.** **E.C.T.** **Svin.testa** **Vin.piede**
cm cm cm cm cm cm cm cm E.C.V. E.C.C. E.C.T. codice codice
60.0 2400.0 0.0 0.0 0.0 0.0 0.0 0.0 1.00 1.00 1.00 0 1; 0; 1

Palo
n. cm
1 0.0

Asc. X'
cm
0.0

Ord. Y'
cm
0.0

Elemento: 1299 - Palo singolo - Tipologia pali: trivellati

X elem. **Y elem.** **Prof.** **Base** **Lungh.** **Altez.** **Rot.** **Grup.ap.** **Ind.strat.**
cm cm cm cm cm cm Gradi° n. n.
2907.0 -994.7 200.0 53.2 53.2 80.0 0.00 1299 001

Dia. P. **Lun. P.** **Lun. L.** **Dist.P.** **In. Px** **In. Py** **Dia. B.** **Lun. B.** **E.C.V.** **E.C.C.** **E.C.T.** **Svin.testa** **Vin.piede**
cm cm cm cm cm cm cm cm E.C.V. E.C.C. E.C.T. codice codice
60.0 2400.0 0.0 0.0 0.0 0.0 0.0 0.0 1.00 1.00 1.00 0 1; 0; 1

Palo n. 1 Asc. X' cm 0.0 Ord. Y' cm 0.0

Elemento: 1300 - Palo singolo - Tipologia pali: trivellati

X elem. cm 2801.2 Y elem. cm -849.1 Prof. cm 200.0 Base cm 53.2 Lungh. cm 53.2 Altez. cm 80.0 Rot. Gradi° 0.00 Grup.ap. n. 1300 Ind.strat. n. 001

Dia. P. cm 60.0 Lun. P. cm 2400.0 Lun. L. cm 0.0 Dist.P. cm 0.0 In. Px cm 0.0 In. Py cm 0.0 Dia. B. cm 0.0 Lun. B. cm 0.0 E.C.V. 1.00 E.C.C. 1.00 E.C.T. 1.00 Svin.testa codice 0 Vin.piede codice 1; 0; 1

Palo n. 1 Asc. X' cm 0.0 Ord. Y' cm 0.0

Elemento: 1301 - Palo singolo - Tipologia pali: trivellati

X elem. cm 3165.9 Y elem. cm -806.6 Prof. cm 200.0 Base cm 53.2 Lungh. cm 53.2 Altez. cm 80.0 Rot. Gradi° 0.00 Grup.ap. n. 1301 Ind.strat. n. 001

Dia. P. cm 60.0 Lun. P. cm 2400.0 Lun. L. cm 0.0 Dist.P. cm 0.0 In. Px cm 0.0 In. Py cm 0.0 Dia. B. cm 0.0 Lun. B. cm 0.0 E.C.V. 1.00 E.C.C. 1.00 E.C.T. 1.00 Svin.testa codice 0 Vin.piede codice 1; 0; 1

Palo n. 1 Asc. X' cm 0.0 Ord. Y' cm 0.0

Elemento: 1302 - Palo singolo - Tipologia pali: trivellati

X elem. cm 3060.1 Y elem. cm -661.0 Prof. cm 200.0 Base cm 53.2 Lungh. cm 53.2 Altez. cm 80.0 Rot. Gradi° 0.00 Grup.ap. n. 1302 Ind.strat. n. 001

Dia. P. cm 60.0 Lun. P. cm 2400.0 Lun. L. cm 0.0 Dist.P. cm 0.0 In. Px cm 0.0 In. Py cm 0.0 Dia. B. cm 0.0 Lun. B. cm 0.0 E.C.V. 1.00 E.C.C. 1.00 E.C.T. 1.00 Svin.testa codice 0 Vin.piede codice 1; 0; 1

Palo n. 1 Asc. X' cm 0.0 Ord. Y' cm 0.0

Elemento: 1303 - Palo singolo - Tipologia pali: trivellati

X elem. cm 3424.8 Y elem. cm -618.5 Prof. cm 200.0 Base cm 53.2 Lungh. cm 53.2 Altez. cm 80.0 Rot. Gradi° 0.00 Grup.ap. n. 1303 Ind.strat. n. 001

Dia. P. cm 60.0 Lun. P. cm 2400.0 Lun. L. cm 0.0 Dist.P. cm 0.0 In. Px cm 0.0 In. Py cm 0.0 Dia. B. cm 0.0 Lun. B. cm 0.0 E.C.V. 1.00 E.C.C. 1.00 E.C.T. 1.00 Svin.testa codice 0 Vin.piede codice 1; 0; 1

Palo n. 1 Asc. X' cm 0.0 Ord. Y' cm 0.0

Elemento: 1304 - Palo singolo - Tipologia pali: trivellati

X elem. cm 3319.0 Y elem. cm -472.9 Prof. cm 200.0 Base cm 53.2 Lungh. cm 53.2 Altez. cm 80.0 Rot. Gradi° 0.00 Grup.ap. n. 1304 Ind.strat. n. 001

Dia. P. cm 60.0 Lun. P. cm 2400.0 Lun. L. cm 0.0 Dist.P. cm 0.0 In. Px cm 0.0 In. Py cm 0.0 Dia. B. cm 0.0 Lun. B. cm 0.0 E.C.V. 1.00 E.C.C. 1.00 E.C.T. 1.00 Svin.testa codice 0 Vin.piede codice 1; 0; 1

Palo n. 1 Asc. X' cm 0.0 Ord. Y' cm 0.0

Elemento: 1305 - Palo singolo - Tipologia pali: trivellati

X elem. cm 3683.6 Y elem. cm -430.4 Prof. cm 200.0 Base cm 53.2 Lungh. cm 53.2 Altez. cm 80.0 Rot. Gradi° 0.00 Grup.ap. n. 1305 Ind.strat. n. 001

Dia. P. cm 60.0 Lun. P. cm 2400.0 Lun. L. cm 0.0 Dist.P. cm 0.0 In. Px cm 0.0 In. Py cm 0.0 Dia. B. cm 0.0 Lun. B. cm 0.0 E.C.V. 1.00 E.C.C. 1.00 E.C.T. 1.00 Svin.testa codice 0 Vin.piede codice 1; 0; 1

Palo n. Asc. X' cm Ord. Y' cm

1 0.0 0.0

Elemento: 1306 - Palo singolo - Tipologia pali: trivellati

X elem. cm	Y elem. cm	Prof. cm	Base cm	Lungh. cm	Altez. cm	Rot. Gradi°	Grup.ap. n.	Ind.strat. n.					
3577.8	-284.8	200.0	53.2	53.2	80.0	0.00	1306	001					
Dia. P. cm	Lun. P. cm	Lun. L. cm	Dist.P. cm	In. Px cm	In. Py cm	Dia. B. cm	Lun. B. cm	E.C.V. cm	E.C.C. cm	E.C.T. cm	Svin.testa codice	Vin.piede codice	
60.0	2400.0	0.0	0.0	0.0	0.0	0.0	0.0	1.00	1.00	1.00	0	1; 0; 1	
Palo n.	Asc. X' cm	Ord. Y' cm											
1	0.0	0.0											

Elemento: 1307 - Palo singolo - Tipologia pali: trivellati

X elem. cm	Y elem. cm	Prof. cm	Base cm	Lungh. cm	Altez. cm	Rot. Gradi°	Grup.ap. n.	Ind.strat. n.					
3942.5	-242.3	200.0	53.2	53.2	80.0	0.00	1307	001					
Dia. P. cm	Lun. P. cm	Lun. L. cm	Dist.P. cm	In. Px cm	In. Py cm	Dia. B. cm	Lun. B. cm	E.C.V. cm	E.C.C. cm	E.C.T. cm	Svin.testa codice	Vin.piede codice	
60.0	2400.0	0.0	0.0	0.0	0.0	0.0	0.0	1.00	1.00	1.00	0	1; 0; 1	
Palo n.	Asc. X' cm	Ord. Y' cm											
1	0.0	0.0											

Elemento: 1308 - Palo singolo - Tipologia pali: trivellati

X elem. cm	Y elem. cm	Prof. cm	Base cm	Lungh. cm	Altez. cm	Rot. Gradi°	Grup.ap. n.	Ind.strat. n.					
3836.7	-96.7	200.0	53.2	53.2	80.0	0.00	1308	001					
Dia. P. cm	Lun. P. cm	Lun. L. cm	Dist.P. cm	In. Px cm	In. Py cm	Dia. B. cm	Lun. B. cm	E.C.V. cm	E.C.C. cm	E.C.T. cm	Svin.testa codice	Vin.piede codice	
60.0	2400.0	0.0	0.0	0.0	0.0	0.0	0.0	1.00	1.00	1.00	0	1; 0; 1	
Palo n.	Asc. X' cm	Ord. Y' cm											
1	0.0	0.0											

Elemento: 1309 - Palo singolo - Tipologia pali: trivellati

X elem. cm	Y elem. cm	Prof. cm	Base cm	Lungh. cm	Altez. cm	Rot. Gradi°	Grup.ap. n.	Ind.strat. n.					
4201.4	-54.2	200.0	53.2	53.2	80.0	0.00	1309	001					
Dia. P. cm	Lun. P. cm	Lun. L. cm	Dist.P. cm	In. Px cm	In. Py cm	Dia. B. cm	Lun. B. cm	E.C.V. cm	E.C.C. cm	E.C.T. cm	Svin.testa codice	Vin.piede codice	
60.0	2400.0	0.0	0.0	0.0	0.0	0.0	0.0	1.00	1.00	1.00	0	1; 0; 1	
Palo n.	Asc. X' cm	Ord. Y' cm											
1	0.0	0.0											

Elemento: 1310 - Palo singolo - Tipologia pali: trivellati

X elem. cm	Y elem. cm	Prof. cm	Base cm	Lungh. cm	Altez. cm	Rot. Gradi°	Grup.ap. n.	Ind.strat. n.					
4095.6	91.4	200.0	53.2	53.2	80.0	0.00	1310	001					
Dia. P. cm	Lun. P. cm	Lun. L. cm	Dist.P. cm	In. Px cm	In. Py cm	Dia. B. cm	Lun. B. cm	E.C.V. cm	E.C.C. cm	E.C.T. cm	Svin.testa codice	Vin.piede codice	
60.0	2400.0	0.0	0.0	0.0	0.0	0.0	0.0	1.00	1.00	1.00	0	1; 0; 1	
Palo n.	Asc. X' cm	Ord. Y' cm											
1	0.0	0.0											

Elemento: 1311 - Palo singolo - Tipologia pali: trivellati

X elem. cm	Y elem. cm	Prof. cm	Base cm	Lungh. cm	Altez. cm	Rot. Gradi°	Grup.ap. n.	Ind.strat. n.					
4460.3	133.9	200.0	53.2	53.2	80.0	0.00	1311	001					
Dia. P. cm	Lun. P. cm	Lun. L. cm	Dist.P. cm	In. Px cm	In. Py cm	Dia. B. cm	Lun. B. cm	E.C.V. cm	E.C.C. cm	E.C.T. cm	Svin.testa codice	Vin.piede codice	
60.0	2400.0	0.0	0.0	0.0	0.0	0.0	0.0	1.00	1.00	1.00	0	1; 0; 1	
Palo n.	Asc. X' cm	Ord. Y' cm											
1	0.0	0.0											

Elemento: 1312 - Palo singolo - Tipologia pali: trivellati

X elem.	Y elem.	Prof.	Base	Lungh.	Altez.	Rot.	Grup.ap.	Ind.strat.				Svin.testa	Vin.piede
cm	cm	cm	cm	cm	cm	Gradi°	n.	n.				codice	codice
4354.5	279.5	200.0	53.2	53.2	80.0	0.00	1312	001				0	1; 0; 1
Dia. P.	Lun. P.	Lun. L.	Dist.P.	In. Px	In. Py	Dia. B.	Lun. B.	E.C.V.	E.C.C.	E.C.T.			
cm	cm	cm	cm	cm	cm	cm	cm						
60.0	2400.0	0.0	0.0	0.0	0.0	0.0	0.0	1.00	1.00	1.00			
Palo	Asc. X'	Ord. Y'											
n.	cm	cm											
1	0.0	0.0											

Elemento: 1731 - Palo singolo - Tipologia pali: trivellati

X elem.	Y elem.	Prof.	Base	Lungh.	Altez.	Rot.	Grup.ap.	Ind.strat.				Svin.testa	Vin.piede
cm	cm	cm	cm	cm	cm	Gradi°	n.	n.				codice	codice
4719.2	322.0	200.0	53.2	53.2	80.0	0.00	1731	001				0	1; 0; 1
Dia. P.	Lun. P.	Lun. L.	Dist.P.	In. Px	In. Py	Dia. B.	Lun. B.	E.C.V.	E.C.C.	E.C.T.			
cm	cm	cm	cm	cm	cm	cm	cm						
60.0	2400.0	0.0	0.0	0.0	0.0	0.0	0.0	1.00	1.00	1.00			
Palo	Asc. X'	Ord. Y'											
n.	cm	cm											
1	0.0	0.0											

Elemento: 1732 - Palo singolo - Tipologia pali: trivellati

X elem.	Y elem.	Prof.	Base	Lungh.	Altez.	Rot.	Grup.ap.	Ind.strat.				Svin.testa	Vin.piede
cm	cm	cm	cm	cm	cm	Gradi°	n.	n.				codice	codice
4613.4	467.6	200.0	53.2	53.2	80.0	0.00	1732	001				0	1; 0; 1
Dia. P.	Lun. P.	Lun. L.	Dist.P.	In. Px	In. Py	Dia. B.	Lun. B.	E.C.V.	E.C.C.	E.C.T.			
cm	cm	cm	cm	cm	cm	cm	cm						
60.0	2400.0	0.0	0.0	0.0	0.0	0.0	0.0	1.00	1.00	1.00			
Palo	Asc. X'	Ord. Y'											
n.	cm	cm											
1	0.0	0.0											

Elemento: 1787 - Palo singolo - Tipologia pali: trivellati

X elem.	Y elem.	Prof.	Base	Lungh.	Altez.	Rot.	Grup.ap.	Ind.strat.				Svin.testa	Vin.piede
cm	cm	cm	cm	cm	cm	Gradi°	n.	n.				codice	codice
4978.1	510.0	200.0	53.2	53.2	80.0	0.00	1787	001				0	1; 0; 1
Dia. P.	Lun. P.	Lun. L.	Dist.P.	In. Px	In. Py	Dia. B.	Lun. B.	E.C.V.	E.C.C.	E.C.T.			
cm	cm	cm	cm	cm	cm	cm	cm						
60.0	2400.0	0.0	0.0	0.0	0.0	0.0	0.0	1.00	1.00	1.00			
Palo	Asc. X'	Ord. Y'											
n.	cm	cm											
1	0.0	0.0											

Elemento: 1788 - Palo singolo - Tipologia pali: trivellati

X elem.	Y elem.	Prof.	Base	Lungh.	Altez.	Rot.	Grup.ap.	Ind.strat.				Svin.testa	Vin.piede
cm	cm	cm	cm	cm	cm	Gradi°	n.	n.				codice	codice
4872.3	655.7	200.0	53.2	53.2	80.0	0.00	1788	001				0	1; 0; 1
Dia. P.	Lun. P.	Lun. L.	Dist.P.	In. Px	In. Py	Dia. B.	Lun. B.	E.C.V.	E.C.C.	E.C.T.			
cm	cm	cm	cm	cm	cm	cm	cm						
60.0	2400.0	0.0	0.0	0.0	0.0	0.0	0.0	1.00	1.00	1.00			
Palo	Asc. X'	Ord. Y'											
n.	cm	cm											
1	0.0	0.0											

Elemento: 1843 - Palo singolo - Tipologia pali: trivellati

X elem.	Y elem.	Prof.	Base	Lungh.	Altez.	Rot.	Grup.ap.	Ind.strat.				Svin.testa	Vin.piede
cm	cm	cm	cm	cm	cm	Gradi°	n.	n.				codice	codice
5237.0	698.1	200.0	53.2	53.2	80.0	0.00	1843	001				0	1; 0; 1
Dia. P.	Lun. P.	Lun. L.	Dist.P.	In. Px	In. Py	Dia. B.	Lun. B.	E.C.V.	E.C.C.	E.C.T.			
cm	cm	cm	cm	cm	cm	cm	cm						
60.0	2400.0	0.0	0.0	0.0	0.0	0.0	0.0	1.00	1.00	1.00			
Palo	Asc. X'	Ord. Y'											
n.	cm	cm											
1	0.0	0.0											

Elemento: 1844 - Palo singolo - Tipologia pali: trivellati

X elem.	Y elem.	Prof.	Base	Lungh.	Altez.	Rot.	Grup.ap.	Ind.strat.				
---------	---------	-------	------	--------	--------	------	----------	------------	--	--	--	--

cm	cm	cm	cm	cm	cm	Gradi°	n.	n.					
5131.1	843.8	200.0	53.2	53.2	80.0	0.00	1844	001					
Dia. P.	Lun. P.	Lun. L.	Dist.P.	In. Px	In. Py	Dia. B.	Lun. B.	E.C.V.	E.C.C.	E.C.T.	Svin.testa	Vin.piede	
cm	cm	cm	cm	cm	cm	cm	cm				codice	codice	
60.0	2400.0	0.0	0.0	0.0	0.0	0.0	0.0	1.00	1.00	1.00	0	1; 0; 1	
Palo	Asc. X'	Ord. Y'											
n.	cm	cm											
1	0.0	0.0											

Elemento: 1899 - Palo singolo - Tipologia pali: trivellati

X elem.	Y elem.	Prof.	Base	Lungh.	Altez.	Rot.	Grup.ap.	Ind.strat.					
cm	cm	cm	cm	cm	cm	Gradi°	n.	n.					
5495.8	886.2	200.0	53.2	53.2	80.0	0.00	1899	001					
Dia. P.	Lun. P.	Lun. L.	Dist.P.	In. Px	In. Py	Dia. B.	Lun. B.	E.C.V.	E.C.C.	E.C.T.	Svin.testa	Vin.piede	
cm	cm	cm	cm	cm	cm	cm	cm				codice	codice	
60.0	2400.0	0.0	0.0	0.0	0.0	0.0	0.0	1.00	1.00	1.00	0	1; 0; 1	
Palo	Asc. X'	Ord. Y'											
n.	cm	cm											
1	0.0	0.0											

Elemento: 1900 - Palo singolo - Tipologia pali: trivellati

X elem.	Y elem.	Prof.	Base	Lungh.	Altez.	Rot.	Grup.ap.	Ind.strat.					
cm	cm	cm	cm	cm	cm	Gradi°	n.	n.					
5390.0	1031.9	200.0	53.2	53.2	80.0	0.00	1900	001					
Dia. P.	Lun. P.	Lun. L.	Dist.P.	In. Px	In. Py	Dia. B.	Lun. B.	E.C.V.	E.C.C.	E.C.T.	Svin.testa	Vin.piede	
cm	cm	cm	cm	cm	cm	cm	cm				codice	codice	
60.0	2400.0	0.0	0.0	0.0	0.0	0.0	0.0	1.00	1.00	1.00	0	1; 0; 1	
Palo	Asc. X'	Ord. Y'											
n.	cm	cm											
1	0.0	0.0											

Elemento: 1955 - Palo singolo - Tipologia pali: trivellati

X elem.	Y elem.	Prof.	Base	Lungh.	Altez.	Rot.	Grup.ap.	Ind.strat.					
cm	cm	cm	cm	cm	cm	Gradi°	n.	n.					
5754.7	1074.3	200.0	53.2	53.2	80.0	0.00	1955	001					
Dia. P.	Lun. P.	Lun. L.	Dist.P.	In. Px	In. Py	Dia. B.	Lun. B.	E.C.V.	E.C.C.	E.C.T.	Svin.testa	Vin.piede	
cm	cm	cm	cm	cm	cm	cm	cm				codice	codice	
60.0	2400.0	0.0	0.0	0.0	0.0	0.0	0.0	1.00	1.00	1.00	0	1; 0; 1	
Palo	Asc. X'	Ord. Y'											
n.	cm	cm											
1	0.0	0.0											

Elemento: 1956 - Palo singolo - Tipologia pali: trivellati

X elem.	Y elem.	Prof.	Base	Lungh.	Altez.	Rot.	Grup.ap.	Ind.strat.					
cm	cm	cm	cm	cm	cm	Gradi°	n.	n.					
5648.9	1219.9	200.0	53.2	53.2	80.0	0.00	1956	001					
Dia. P.	Lun. P.	Lun. L.	Dist.P.	In. Px	In. Py	Dia. B.	Lun. B.	E.C.V.	E.C.C.	E.C.T.	Svin.testa	Vin.piede	
cm	cm	cm	cm	cm	cm	cm	cm				codice	codice	
60.0	2400.0	0.0	0.0	0.0	0.0	0.0	0.0	1.00	1.00	1.00	0	1; 0; 1	
Palo	Asc. X'	Ord. Y'											
n.	cm	cm											
1	0.0	0.0											

Elemento: 2011 - Palo singolo - Tipologia pali: trivellati

X elem.	Y elem.	Prof.	Base	Lungh.	Altez.	Rot.	Grup.ap.	Ind.strat.					
cm	cm	cm	cm	cm	cm	Gradi°	n.	n.					
6013.6	1262.4	200.0	53.2	53.2	80.0	0.00	2011	001					
Dia. P.	Lun. P.	Lun. L.	Dist.P.	In. Px	In. Py	Dia. B.	Lun. B.	E.C.V.	E.C.C.	E.C.T.	Svin.testa	Vin.piede	
cm	cm	cm	cm	cm	cm	cm	cm				codice	codice	
60.0	2400.0	0.0	0.0	0.0	0.0	0.0	0.0	1.00	1.00	1.00	0	1; 0; 1	
Palo	Asc. X'	Ord. Y'											
n.	cm	cm											
1	0.0	0.0											

Elemento: 2012 - Palo singolo - Tipologia pali: trivellati

X elem.	Y elem.	Prof.	Base	Lungh.	Altez.	Rot.	Grup.ap.	Ind.strat.					
cm	cm	cm	cm	cm	cm	Gradi°	n.	n.					
5907.8	1408.0	200.0	53.2	53.2	80.0	0.00	2012	001					

Dia. P.	Lun. P.	Lun. L.	Dist.P.	In. Px	In. Py	Dia. B.	Lun. B.	E.C.V.	E.C.C.	E.C.T.	Svin.testa	Vin.piede
cm	cm	cm	cm	cm	cm	cm	cm				codice	codice
60.0	2400.0	0.0	0.0	0.0	0.0	0.0	0.0	1.00	1.00	1.00	0	1; 0; 1

Palo	Asc. X'	Ord. Y'
n.	cm	cm
1	0.0	0.0

Elemento: 2068 - Palo singolo - Tipologia pali: trivellati

X elem.	Y elem.	Prof.	Base	Lungh.	Altez.	Rot.	Grup.ap.	Ind.strat.
cm	cm	cm	cm	cm	cm	Gradi°	n.	n.
-782.0	1240.0	40.0	53.2	53.2	80.0	0.00	2068	001

Dia. P.	Lun. P.	Lun. L.	Dist.P.	In. Px	In. Py	Dia. B.	Lun. B.	E.C.V.	E.C.C.	E.C.T.	Svin.testa	Vin.piede
cm	cm	cm	cm	cm	cm	cm	cm				codice	codice
60.0	2400.0	0.0	0.0	0.0	0.0	0.0	0.0	1.00	1.00	1.00	0	1; 0; 1

Palo	Asc. X'	Ord. Y'
n.	cm	cm
1	0.0	0.0

Elemento: 2071 - Palo singolo - Tipologia pali: trivellati

X elem.	Y elem.	Prof.	Base	Lungh.	Altez.	Rot.	Grup.ap.	Ind.strat.
cm	cm	cm	cm	cm	cm	Gradi°	n.	n.
-449.3	1240.0	40.0	53.2	53.2	80.0	0.00	2071	001

Dia. P.	Lun. P.	Lun. L.	Dist.P.	In. Px	In. Py	Dia. B.	Lun. B.	E.C.V.	E.C.C.	E.C.T.	Svin.testa	Vin.piede
cm	cm	cm	cm	cm	cm	cm	cm				codice	codice
60.0	2400.0	0.0	0.0	0.0	0.0	0.0	0.0	1.00	1.00	1.00	0	1; 0; 1

Palo	Asc. X'	Ord. Y'
n.	cm	cm
1	0.0	0.0

Elemento: 2117 - Palo singolo - Tipologia pali: trivellati

X elem.	Y elem.	Prof.	Base	Lungh.	Altez.	Rot.	Grup.ap.	Ind.strat.
cm	cm	cm	cm	cm	cm	Gradi°	n.	n.
5829.8	-11.1	120.0	53.2	53.2	80.0	0.00	2117	001

Dia. P.	Lun. P.	Lun. L.	Dist.P.	In. Px	In. Py	Dia. B.	Lun. B.	E.C.V.	E.C.C.	E.C.T.	Svin.testa	Vin.piede
cm	cm	cm	cm	cm	cm	cm	cm				codice	codice
60.0	2400.0	0.0	0.0	0.0	0.0	0.0	0.0	1.00	1.00	1.00	0	1; 0; 1

Palo	Asc. X'	Ord. Y'
n.	cm	cm
1	0.0	0.0

Elemento: 2118 - Palo singolo - Tipologia pali: trivellati

X elem.	Y elem.	Prof.	Base	Lungh.	Altez.	Rot.	Grup.ap.	Ind.strat.
cm	cm	cm	cm	cm	cm	Gradi°	n.	n.
5724.0	134.5	120.0	53.2	53.2	80.0	0.00	2118	001

Dia. P.	Lun. P.	Lun. L.	Dist.P.	In. Px	In. Py	Dia. B.	Lun. B.	E.C.V.	E.C.C.	E.C.T.	Svin.testa	Vin.piede
cm	cm	cm	cm	cm	cm	cm	cm				codice	codice
60.0	2400.0	0.0	0.0	0.0	0.0	0.0	0.0	1.00	1.00	1.00	0	1; 0; 1

Palo	Asc. X'	Ord. Y'
n.	cm	cm
1	0.0	0.0

Elemento: 2119 - Palo singolo - Tipologia pali: trivellati

X elem.	Y elem.	Prof.	Base	Lungh.	Altez.	Rot.	Grup.ap.	Ind.strat.
cm	cm	cm	cm	cm	cm	Gradi°	n.	n.
6088.7	177.0	120.0	53.2	53.2	80.0	0.00	2119	001

Dia. P.	Lun. P.	Lun. L.	Dist.P.	In. Px	In. Py	Dia. B.	Lun. B.	E.C.V.	E.C.C.	E.C.T.	Svin.testa	Vin.piede
cm	cm	cm	cm	cm	cm	cm	cm				codice	codice
60.0	2400.0	0.0	0.0	0.0	0.0	0.0	0.0	1.00	1.00	1.00	0	1; 0; 1

Palo	Asc. X'	Ord. Y'
n.	cm	cm
1	0.0	0.0

Elemento: 2120 - Palo singolo - Tipologia pali: trivellati

X elem.	Y elem.	Prof.	Base	Lungh.	Altez.	Rot.	Grup.ap.	Ind.strat.
cm	cm	cm	cm	cm	cm	Gradi°	n.	n.
5982.9	322.6	120.0	53.2	53.2	80.0	0.00	2120	001

Dia. P.	Lun. P.	Lun. L.	Dist.P.	In. Px	In. Py	Dia. B.	Lun. B.	E.C.V.	E.C.C.	E.C.T.	Svin.testa	Vin.piede
----------------	----------------	----------------	----------------	---------------	---------------	----------------	----------------	---------------	---------------	---------------	-------------------	------------------

cm	cm	cm	cm	cm	cm	cm	cm				codice	codice
60.0	2400.0	0.0	0.0	0.0	0.0	0.0	0.0	1.00	1.00	1.00	0	1; 0; 1

Palo	Asc. X'	Ord. Y'
n.	cm	cm
1	0.0	0.0

Elemento: 2121 - Palo singolo - Tipologia pali: trivellati

X elem.	Y elem.	Prof.	Base	Lungh.	Altez.	Rot.	Grup.ap.	Ind.strat.
cm	cm	cm	cm	cm	cm	Gradi°	n.	n.
6347.6	365.1	120.0	53.2	53.2	80.0	0.00	2121	001

Dia. P.	Lun. P.	Lun. L.	Dist.P.	In. Px	In. Py	Dia. B.	Lun. B.	E.C.V.	E.C.C.	E.C.T.	Svin.testa	Vin.piede
cm	cm	cm	cm	cm	cm	cm	cm				codice	codice
60.0	2400.0	0.0	0.0	0.0	0.0	0.0	0.0	1.00	1.00	1.00	0	1; 0; 1

Palo	Asc. X'	Ord. Y'
n.	cm	cm
1	0.0	0.0

Elemento: 2122 - Palo singolo - Tipologia pali: trivellati

X elem.	Y elem.	Prof.	Base	Lungh.	Altez.	Rot.	Grup.ap.	Ind.strat.
cm	cm	cm	cm	cm	cm	Gradi°	n.	n.
6241.8	510.7	120.0	53.2	53.2	80.0	0.00	2122	001

Dia. P.	Lun. P.	Lun. L.	Dist.P.	In. Px	In. Py	Dia. B.	Lun. B.	E.C.V.	E.C.C.	E.C.T.	Svin.testa	Vin.piede
cm	cm	cm	cm	cm	cm	cm	cm				codice	codice
60.0	2400.0	0.0	0.0	0.0	0.0	0.0	0.0	1.00	1.00	1.00	0	1; 0; 1

Palo	Asc. X'	Ord. Y'
n.	cm	cm
1	0.0	0.0

Elemento: 2123 - Palo singolo - Tipologia pali: trivellati

X elem.	Y elem.	Prof.	Base	Lungh.	Altez.	Rot.	Grup.ap.	Ind.strat.
cm	cm	cm	cm	cm	cm	Gradi°	n.	n.
6606.5	553.2	120.0	53.2	53.2	80.0	0.00	2123	001

Dia. P.	Lun. P.	Lun. L.	Dist.P.	In. Px	In. Py	Dia. B.	Lun. B.	E.C.V.	E.C.C.	E.C.T.	Svin.testa	Vin.piede
cm	cm	cm	cm	cm	cm	cm	cm				codice	codice
60.0	2400.0	0.0	0.0	0.0	0.0	0.0	0.0	1.00	1.00	1.00	0	1; 0; 1

Palo	Asc. X'	Ord. Y'
n.	cm	cm
1	0.0	0.0

Elemento: 2124 - Palo singolo - Tipologia pali: trivellati

X elem.	Y elem.	Prof.	Base	Lungh.	Altez.	Rot.	Grup.ap.	Ind.strat.
cm	cm	cm	cm	cm	cm	Gradi°	n.	n.
6500.7	698.8	120.0	53.2	53.2	80.0	0.00	2124	001

Dia. P.	Lun. P.	Lun. L.	Dist.P.	In. Px	In. Py	Dia. B.	Lun. B.	E.C.V.	E.C.C.	E.C.T.	Svin.testa	Vin.piede
cm	cm	cm	cm	cm	cm	cm	cm				codice	codice
60.0	2400.0	0.0	0.0	0.0	0.0	0.0	0.0	1.00	1.00	1.00	0	1; 0; 1

Palo	Asc. X'	Ord. Y'
n.	cm	cm
1	0.0	0.0

Elemento: 2125 - Palo singolo - Tipologia pali: trivellati

X elem.	Y elem.	Prof.	Base	Lungh.	Altez.	Rot.	Grup.ap.	Ind.strat.
cm	cm	cm	cm	cm	cm	Gradi°	n.	n.
6865.4	741.3	120.0	53.2	53.2	80.0	0.00	2125	001

Dia. P.	Lun. P.	Lun. L.	Dist.P.	In. Px	In. Py	Dia. B.	Lun. B.	E.C.V.	E.C.C.	E.C.T.	Svin.testa	Vin.piede
cm	cm	cm	cm	cm	cm	cm	cm				codice	codice
60.0	2400.0	0.0	0.0	0.0	0.0	0.0	0.0	1.00	1.00	1.00	0	1; 0; 1

Palo	Asc. X'	Ord. Y'
n.	cm	cm
1	0.0	0.0

Elemento: 2126 - Palo singolo - Tipologia pali: trivellati

X elem.	Y elem.	Prof.	Base	Lungh.	Altez.	Rot.	Grup.ap.	Ind.strat.
cm	cm	cm	cm	cm	cm	Gradi°	n.	n.
6759.6	886.9	120.0	53.2	53.2	80.0	0.00	2126	001

Dia. P.	Lun. P.	Lun. L.	Dist.P.	In. Px	In. Py	Dia. B.	Lun. B.	E.C.V.	E.C.C.	E.C.T.	Svin.testa	Vin.piede
cm	cm	cm	cm	cm	cm	cm	cm				codice	codice
60.0	2400.0	0.0	0.0	0.0	0.0	0.0	0.0	1.00	1.00	1.00	0	1; 0; 1

Palo
n. cm Ord. Y'
1 0.0 0.0

Elemento: 2127 - Palo singolo - Tipologia pali: trivellati

X elem. Y elem. Prof. Base Lungh. Altez. Rot. Grup.ap. Ind.strat.
cm cm cm cm cm cm Gradi° n. n.
7124.3 929.4 120.0 53.2 53.2 80.0 0.00 2127 001

Dia. P. Lun. P. Lun. L. Dist.P. In. Px In. Py Dia. B. Lun. B. E.C.V. E.C.C. E.C.T. Svin.testa Vin.piede
cm cm cm cm cm cm cm cm cm cm E.C.V. E.C.C. E.C.T. codice codice
60.0 2400.0 0.0 0.0 0.0 0.0 0.0 0.0 1.00 1.00 1.00 0 1; 0; 1

Palo
n. cm Ord. Y'
1 0.0 0.0

Elemento: 2128 - Palo singolo - Tipologia pali: trivellati

X elem. Y elem. Prof. Base Lungh. Altez. Rot. Grup.ap. Ind.strat.
cm cm cm cm cm cm Gradi° n. n.
7018.5 1075.0 120.0 53.2 53.2 80.0 0.00 2128 001

Dia. P. Lun. P. Lun. L. Dist.P. In. Px In. Py Dia. B. Lun. B. E.C.V. E.C.C. E.C.T. Svin.testa Vin.piede
cm cm cm cm cm cm cm cm cm cm E.C.V. E.C.C. E.C.T. codice codice
60.0 2400.0 0.0 0.0 0.0 0.0 0.0 0.0 1.00 1.00 1.00 0 1; 0; 1

Palo
n. cm Ord. Y'
1 0.0 0.0

Elemento: 2129 - Palo singolo - Tipologia pali: trivellati

X elem. Y elem. Prof. Base Lungh. Altez. Rot. Grup.ap. Ind.strat.
cm cm cm cm cm cm Gradi° n. n.
7383.2 1117.5 120.0 53.2 53.2 80.0 0.00 2129 001

Dia. P. Lun. P. Lun. L. Dist.P. In. Px In. Py Dia. B. Lun. B. E.C.V. E.C.C. E.C.T. Svin.testa Vin.piede
cm cm cm cm cm cm cm cm cm cm E.C.V. E.C.C. E.C.T. codice codice
60.0 2400.0 0.0 0.0 0.0 0.0 0.0 0.0 1.00 1.00 1.00 0 1; 0; 1

Palo
n. cm Ord. Y'
1 0.0 0.0

Elemento: 2130 - Palo singolo - Tipologia pali: trivellati

X elem. Y elem. Prof. Base Lungh. Altez. Rot. Grup.ap. Ind.strat.
cm cm cm cm cm cm Gradi° n. n.
7277.4 1263.1 120.0 53.2 53.2 80.0 0.00 2130 001

Dia. P. Lun. P. Lun. L. Dist.P. In. Px In. Py Dia. B. Lun. B. E.C.V. E.C.C. E.C.T. Svin.testa Vin.piede
cm cm cm cm cm cm cm cm cm cm E.C.V. E.C.C. E.C.T. codice codice
60.0 2400.0 0.0 0.0 0.0 0.0 0.0 0.0 1.00 1.00 1.00 0 1; 0; 1

Palo
n. cm Ord. Y'
1 0.0 0.0

Elemento: 2131 - Palo singolo - Tipologia pali: trivellati

X elem. Y elem. Prof. Base Lungh. Altez. Rot. Grup.ap. Ind.strat.
cm cm cm cm cm cm Gradi° n. n.
7642.0 1305.5 120.0 53.2 53.2 80.0 0.00 2131 001

Dia. P. Lun. P. Lun. L. Dist.P. In. Px In. Py Dia. B. Lun. B. E.C.V. E.C.C. E.C.T. Svin.testa Vin.piede
cm cm cm cm cm cm cm cm cm cm E.C.V. E.C.C. E.C.T. codice codice
60.0 2400.0 0.0 0.0 0.0 0.0 0.0 0.0 1.00 1.00 1.00 0 1; 0; 1

Palo
n. cm Ord. Y'
1 0.0 0.0

Elemento: 2132 - Palo singolo - Tipologia pali: trivellati

X elem. Y elem. Prof. Base Lungh. Altez. Rot. Grup.ap. Ind.strat.
cm cm cm cm cm cm Gradi° n. n.
7536.2 1451.2 120.0 53.2 53.2 80.0 0.00 2132 001

Dia. P. Lun. P. Lun. L. Dist.P. In. Px In. Py Dia. B. Lun. B. E.C.V. E.C.C. E.C.T. Svin.testa Vin.piede
cm cm cm cm cm cm cm cm cm cm E.C.V. E.C.C. E.C.T. codice codice
60.0 2400.0 0.0 0.0 0.0 0.0 0.0 0.0 1.00 1.00 1.00 0 1; 0; 1

Palo
n. cm Ord. Y'
1 0.0 0.0

n. cm cm
1 0.0 0.0

Elemento: 2603 - Palo singolo - Tipologia pali: trivellati

X elem. Y elem. Prof. Base Lungh. Altez. Rot. Grup.ap. Ind.strat.
cm cm cm cm cm cm Gradi° n. n.
-1870.0 110.0 40.0 53.2 53.2 80.0 0.00 2603 001

Dia. P. Lun. P. Lun. L. Dist.P. In. Px In. Py Dia. B. Lun. B. E.C.V. E.C.C. E.C.T. Svin.testa Vin.piede
cm cm cm cm cm cm cm cm cm cm cm cm codice codice
60.0 2400.0 0.0 0.0 0.0 0.0 0.0 0.0 1.00 1.00 1.00 0 1; 0; 1

Palo Asc. X' Ord. Y'
n. cm cm
1 0.0 0.0

Elemento: 2607 - Palo singolo - Tipologia pali: trivellati

X elem. Y elem. Prof. Base Lungh. Altez. Rot. Grup.ap. Ind.strat.
cm cm cm cm cm cm Gradi° n. n.
-1692.8 110.0 40.0 53.2 53.2 80.0 0.00 2607 001

Dia. P. Lun. P. Lun. L. Dist.P. In. Px In. Py Dia. B. Lun. B. E.C.V. E.C.C. E.C.T. Svin.testa Vin.piede
cm cm cm cm cm cm cm cm cm cm cm cm codice codice
60.0 2400.0 0.0 0.0 0.0 0.0 0.0 0.0 1.00 1.00 1.00 0 1; 0; 1

Palo Asc. X' Ord. Y'
n. cm cm
1 0.0 0.0

Elemento: 2624 - Palo singolo - Tipologia pali: trivellati

X elem. Y elem. Prof. Base Lungh. Altez. Rot. Grup.ap. Ind.strat.
cm cm cm cm cm cm Gradi° n. n.
-1491.2 110.0 40.0 53.2 53.2 80.0 0.00 2624 001

Dia. P. Lun. P. Lun. L. Dist.P. In. Px In. Py Dia. B. Lun. B. E.C.V. E.C.C. E.C.T. Svin.testa Vin.piede
cm cm cm cm cm cm cm cm cm cm cm cm codice codice
60.0 2400.0 0.0 0.0 0.0 0.0 0.0 0.0 1.00 1.00 1.00 0 1; 0; 1

Palo Asc. X' Ord. Y'
n. cm cm
1 0.0 0.0

Elemento: 2722 - Palo singolo - Tipologia pali: trivellati

X elem. Y elem. Prof. Base Lungh. Altez. Rot. Grup.ap. Ind.strat.
cm cm cm cm cm cm Gradi° n. n.
-1381.1 250.6 40.0 53.2 53.2 80.0 0.00 2722 001

Dia. P. Lun. P. Lun. L. Dist.P. In. Px In. Py Dia. B. Lun. B. E.C.V. E.C.C. E.C.T. Svin.testa Vin.piede
cm cm cm cm cm cm cm cm cm cm cm cm codice codice
60.0 2400.0 0.0 0.0 0.0 0.0 0.0 0.0 1.00 1.00 1.00 0 1; 0; 1

Palo Asc. X' Ord. Y'
n. cm cm
1 0.0 0.0

Elemento: 2723 - Palo singolo - Tipologia pali: trivellati

X elem. Y elem. Prof. Base Lungh. Altez. Rot. Grup.ap. Ind.strat.
cm cm cm cm cm cm Gradi° n. n.
-1275.3 105.0 40.0 53.2 53.2 80.0 0.00 2723 001

Dia. P. Lun. P. Lun. L. Dist.P. In. Px In. Py Dia. B. Lun. B. E.C.V. E.C.C. E.C.T. Svin.testa Vin.piede
cm cm cm cm cm cm cm cm cm cm cm cm codice codice
60.0 2400.0 0.0 0.0 0.0 0.0 0.0 0.0 1.00 1.00 1.00 0 1; 0; 1

Palo Asc. X' Ord. Y'
n. cm cm
1 0.0 0.0

Elemento: 2724 - Palo singolo - Tipologia pali: trivellati

X elem. Y elem. Prof. Base Lungh. Altez. Rot. Grup.ap. Ind.strat.
cm cm cm cm cm cm Gradi° n. n.
-1108.6 453.9 40.0 53.2 53.2 80.0 0.00 2724 001

Dia. P. Lun. P. Lun. L. Dist.P. In. Px In. Py Dia. B. Lun. B. E.C.V. E.C.C. E.C.T. Svin.testa Vin.piede
cm cm cm cm cm cm cm cm cm cm cm cm codice codice
60.0 2400.0 0.0 0.0 0.0 0.0 0.0 0.0 1.00 1.00 1.00 0 1; 0; 1

Palo Asc. X' Ord. Y'
n. cm cm
1 0.0 0.0

Elemento: 2725 - Palo singolo - Tipologia pali: trivellati

X elem.	Y elem.	Prof.	Base	Lungh.	Altez.	Rot.	Grup.ap.	Ind.strat.					
cm	cm	cm	cm	cm	cm	Gradi°	n.	n.					
-1002.8	308.3	40.0	53.2	53.2	80.0	0.00	2725	001					
Dia. P.	Lun. P.	Lun. L.	Dist.P.	In. Px	In. Py	Dia. B.	Lun. B.	E.C.V.	E.C.C.	E.C.T.	Svin.testa	Vin.piede	
cm	cm	cm	cm	cm	cm	cm	cm				codice	codice	
60.0	2400.0	0.0	0.0	0.0	0.0	0.0	0.0	1.00	1.00	1.00	0	1; 0; 1	
Palo	Asc. X'	Ord. Y'											
n.	cm	cm											
1	0.0	0.0											

Elemento: 2726 - Palo singolo - Tipologia pali: trivellati

X elem.	Y elem.	Prof.	Base	Lungh.	Altez.	Rot.	Grup.ap.	Ind.strat.					
cm	cm	cm	cm	cm	cm	Gradi°	n.	n.					
-836.1	657.3	40.0	53.2	53.2	80.0	0.00	2726	001					
Dia. P.	Lun. P.	Lun. L.	Dist.P.	In. Px	In. Py	Dia. B.	Lun. B.	E.C.V.	E.C.C.	E.C.T.	Svin.testa	Vin.piede	
cm	cm	cm	cm	cm	cm	cm	cm				codice	codice	
60.0	2400.0	0.0	0.0	0.0	0.0	0.0	0.0	1.00	1.00	1.00	0	1; 0; 1	
Palo	Asc. X'	Ord. Y'											
n.	cm	cm											
1	0.0	0.0											

Elemento: 2727 - Palo singolo - Tipologia pali: trivellati

X elem.	Y elem.	Prof.	Base	Lungh.	Altez.	Rot.	Grup.ap.	Ind.strat.					
cm	cm	cm	cm	cm	cm	Gradi°	n.	n.					
-730.3	511.6	40.0	53.2	53.2	80.0	0.00	2727	001					
Dia. P.	Lun. P.	Lun. L.	Dist.P.	In. Px	In. Py	Dia. B.	Lun. B.	E.C.V.	E.C.C.	E.C.T.	Svin.testa	Vin.piede	
cm	cm	cm	cm	cm	cm	cm	cm				codice	codice	
60.0	2400.0	0.0	0.0	0.0	0.0	0.0	0.0	1.00	1.00	1.00	0	1; 0; 1	
Palo	Asc. X'	Ord. Y'											
n.	cm	cm											
1	0.0	0.0											

Elemento: 2728 - Palo singolo - Tipologia pali: trivellati

X elem.	Y elem.	Prof.	Base	Lungh.	Altez.	Rot.	Grup.ap.	Ind.strat.					
cm	cm	cm	cm	cm	cm	Gradi°	n.	n.					
-563.6	860.6	40.0	53.2	53.2	80.0	0.00	2728	001					
Dia. P.	Lun. P.	Lun. L.	Dist.P.	In. Px	In. Py	Dia. B.	Lun. B.	E.C.V.	E.C.C.	E.C.T.	Svin.testa	Vin.piede	
cm	cm	cm	cm	cm	cm	cm	cm				codice	codice	
60.0	2400.0	0.0	0.0	0.0	0.0	0.0	0.0	1.00	1.00	1.00	0	1; 0; 1	
Palo	Asc. X'	Ord. Y'											
n.	cm	cm											
1	0.0	0.0											

Elemento: 2729 - Palo singolo - Tipologia pali: trivellati

X elem.	Y elem.	Prof.	Base	Lungh.	Altez.	Rot.	Grup.ap.	Ind.strat.					
cm	cm	cm	cm	cm	cm	Gradi°	n.	n.					
-457.8	715.0	40.0	53.2	53.2	80.0	0.00	2729	001					
Dia. P.	Lun. P.	Lun. L.	Dist.P.	In. Px	In. Py	Dia. B.	Lun. B.	E.C.V.	E.C.C.	E.C.T.	Svin.testa	Vin.piede	
cm	cm	cm	cm	cm	cm	cm	cm				codice	codice	
60.0	2400.0	0.0	0.0	0.0	0.0	0.0	0.0	1.00	1.00	1.00	0	1; 0; 1	
Palo	Asc. X'	Ord. Y'											
n.	cm	cm											
1	0.0	0.0											

Elemento: 2730 - Palo singolo - Tipologia pali: trivellati

X elem.	Y elem.	Prof.	Base	Lungh.	Altez.	Rot.	Grup.ap.	Ind.strat.					
cm	cm	cm	cm	cm	cm	Gradi°	n.	n.					
-291.1	1063.9	40.0	53.2	53.2	80.0	0.00	2730	001					
Dia. P.	Lun. P.	Lun. L.	Dist.P.	In. Px	In. Py	Dia. B.	Lun. B.	E.C.V.	E.C.C.	E.C.T.	Svin.testa	Vin.piede	
cm	cm	cm	cm	cm	cm	cm	cm				codice	codice	
60.0	2400.0	0.0	0.0	0.0	0.0	0.0	0.0	1.00	1.00	1.00	0	1; 0; 1	
Palo	Asc. X'	Ord. Y'											
n.	cm	cm											
1	0.0	0.0											

Elemento: 2731 - Palo singolo - Tipologia pali: trivellati

X elem.	Y elem.	Prof.	Base	Lungh.	Altez.	Rot.	Grup.ap.	Ind.strat.					
cm	cm	cm	cm	cm	cm	Gradi°	n.	n.					
-185.3	918.3	40.0	53.2	53.2	80.0	0.00	2731	001					
Dia. P.	Lun. P.	Lun. L.	Dist.P.	In. Px	In. Py	Dia. B.	Lun. B.	E.C.V.	E.C.C.	E.C.T.	Svin.testa	Vin.piede	
cm	cm	cm	cm	cm	cm	cm	cm				codice	codice	
60.0	2400.0	0.0	0.0	0.0	0.0	0.0	0.0	1.00	1.00	1.00	0	1; 0; 1	
Palo	Asc. X'	Ord. Y'											
n.	cm	cm											
1	0.0	0.0											

Elemento: 2732 - Palo singolo - Tipologia pali: trivellati

X elem.	Y elem.	Prof.	Base	Lungh.	Altez.	Rot.	Grup.ap.	Ind.strat.					
cm	cm	cm	cm	cm	cm	Gradi°	n.	n.					
87.2	1121.6	40.0	53.2	53.2	80.0	0.00	2732	001					
Dia. P.	Lun. P.	Lun. L.	Dist.P.	In. Px	In. Py	Dia. B.	Lun. B.	E.C.V.	E.C.C.	E.C.T.	Svin.testa	Vin.piede	
cm	cm	cm	cm	cm	cm	cm	cm				codice	codice	
60.0	2400.0	0.0	0.0	0.0	0.0	0.0	0.0	1.00	1.00	1.00	0	1; 0; 1	
Palo	Asc. X'	Ord. Y'											
n.	cm	cm											
1	0.0	0.0											

Elemento: 2734 - Palo singolo - Tipologia pali: trivellati

X elem.	Y elem.	Prof.	Base	Lungh.	Altez.	Rot.	Grup.ap.	Ind.strat.					
cm	cm	cm	cm	cm	cm	Gradi°	n.	n.					
-116.7	1240.0	40.0	53.2	53.2	80.0	0.00	2734	001					
Dia. P.	Lun. P.	Lun. L.	Dist.P.	In. Px	In. Py	Dia. B.	Lun. B.	E.C.V.	E.C.C.	E.C.T.	Svin.testa	Vin.piede	
cm	cm	cm	cm	cm	cm	cm	cm				codice	codice	
60.0	2400.0	0.0	0.0	0.0	0.0	0.0	0.0	1.00	1.00	1.00	0	1; 0; 1	
Palo	Asc. X'	Ord. Y'											
n.	cm	cm											
1	0.0	0.0											

Elemento: 2735 - Palo singolo - Tipologia pali: trivellati

X elem.	Y elem.	Prof.	Base	Lungh.	Altez.	Rot.	Grup.ap.	Ind.strat.					
cm	cm	cm	cm	cm	cm	Gradi°	n.	n.					
183.3	1240.0	40.0	53.2	53.2	80.0	0.00	2735	001					
Dia. P.	Lun. P.	Lun. L.	Dist.P.	In. Px	In. Py	Dia. B.	Lun. B.	E.C.V.	E.C.C.	E.C.T.	Svin.testa	Vin.piede	
cm	cm	cm	cm	cm	cm	cm	cm				codice	codice	
60.0	2400.0	0.0	0.0	0.0	0.0	0.0	0.0	1.00	1.00	1.00	0	1; 0; 1	
Palo	Asc. X'	Ord. Y'											
n.	cm	cm											
1	0.0	0.0											

Elemento: 2783 - Palo singolo - Tipologia pali: trivellati

X elem.	Y elem.	Prof.	Base	Lungh.	Altez.	Rot.	Grup.ap.	Ind.strat.					
cm	cm	cm	cm	cm	cm	Gradi°	n.	n.					
-116.7	1420.0	40.0	53.2	53.2	80.0	0.00	2783	001					
Dia. P.	Lun. P.	Lun. L.	Dist.P.	In. Px	In. Py	Dia. B.	Lun. B.	E.C.V.	E.C.C.	E.C.T.	Svin.testa	Vin.piede	
cm	cm	cm	cm	cm	cm	cm	cm				codice	codice	
60.0	2400.0	0.0	0.0	0.0	0.0	0.0	0.0	1.00	1.00	1.00	0	1; 0; 1	
Palo	Asc. X'	Ord. Y'											
n.	cm	cm											
1	0.0	0.0											

Elemento: 3015 - Palo singolo - Tipologia pali: trivellati

X elem.	Y elem.	Prof.	Base	Lungh.	Altez.	Rot.	Grup.ap.	Ind.strat.					
cm	cm	cm	cm	cm	cm	Gradi°	n.	n.					
183.3	1420.0	40.0	53.2	53.2	80.0	0.00	3015	001					
Dia. P.	Lun. P.	Lun. L.	Dist.P.	In. Px	In. Py	Dia. B.	Lun. B.	E.C.V.	E.C.C.	E.C.T.	Svin.testa	Vin.piede	
cm	cm	cm	cm	cm	cm	cm	cm				codice	codice	
60.0	2400.0	0.0	0.0	0.0	0.0	0.0	0.0	1.00	1.00	1.00	0	1; 0; 1	
Palo	Asc. X'	Ord. Y'											
n.	cm	cm											
1	0.0	0.0											

Elemento: 3017 - Palo singolo - Tipologia pali: trivellati

X elem.	Y elem.	Prof.	Base	Lungh.	Altez.	Rot.	Grup.ap.	Ind.strat.
cm	cm	cm	cm	cm	cm	Gradi°	n.	n.

-1690.1	1420.0	40.0	53.2	53.2	80.0	0.00	3017	001					
Dia. P.	Lun. P.	Lun. L.	Dist.P.	In. Px	In. Py	Dia. B.	Lun. B.	E.C.V.	E.C.C.	E.C.T.	Svin.testa	Vin.piede	
cm	cm	cm	cm	cm	cm	cm	cm				codice	codice	
60.0	2400.0	0.0	0.0	0.0	0.0	0.0	0.0	1.00	1.00	1.00	0	1; 0; 1	
Palo	Asc. X'	Ord. Y'											
n.	cm	cm											
1	0.0	0.0											

Elemento: 3019 - Palo singolo - Tipologia pali: trivellati

X elem.	Y elem.	Prof.	Base	Lungh.	Altez.	Rot.	Grup.ap.	Ind.strat.					
cm	cm	cm	cm	cm	cm	Gradi°	n.	n.					
-1447.3	1420.0	40.0	53.2	53.2	80.0	0.00	3019	001					
Dia. P.	Lun. P.	Lun. L.	Dist.P.	In. Px	In. Py	Dia. B.	Lun. B.	E.C.V.	E.C.C.	E.C.T.	Svin.testa	Vin.piede	
cm	cm	cm	cm	cm	cm	cm	cm				codice	codice	
60.0	2400.0	0.0	0.0	0.0	0.0	0.0	0.0	1.00	1.00	1.00	0	1; 0; 1	
Palo	Asc. X'	Ord. Y'											
n.	cm	cm											
1	0.0	0.0											

Elemento: 3022 - Palo singolo - Tipologia pali: trivellati

X elem.	Y elem.	Prof.	Base	Lungh.	Altez.	Rot.	Grup.ap.	Ind.strat.					
cm	cm	cm	cm	cm	cm	Gradi°	n.	n.					
-1114.7	1420.0	40.0	53.2	53.2	80.0	0.00	3022	001					
Dia. P.	Lun. P.	Lun. L.	Dist.P.	In. Px	In. Py	Dia. B.	Lun. B.	E.C.V.	E.C.C.	E.C.T.	Svin.testa	Vin.piede	
cm	cm	cm	cm	cm	cm	cm	cm				codice	codice	
60.0	2400.0	0.0	0.0	0.0	0.0	0.0	0.0	1.00	1.00	1.00	0	1; 0; 1	
Palo	Asc. X'	Ord. Y'											
n.	cm	cm											
1	0.0	0.0											

Elemento: 3027 - Palo singolo - Tipologia pali: trivellati

X elem.	Y elem.	Prof.	Base	Lungh.	Altez.	Rot.	Grup.ap.	Ind.strat.					
cm	cm	cm	cm	cm	cm	Gradi°	n.	n.					
-1690.0	442.7	40.0	53.2	53.2	80.0	0.00	3027	001					
Dia. P.	Lun. P.	Lun. L.	Dist.P.	In. Px	In. Py	Dia. B.	Lun. B.	E.C.V.	E.C.C.	E.C.T.	Svin.testa	Vin.piede	
cm	cm	cm	cm	cm	cm	cm	cm				codice	codice	
60.0	2400.0	0.0	0.0	0.0	0.0	0.0	0.0	1.00	1.00	1.00	0	1; 0; 1	
Palo	Asc. X'	Ord. Y'											
n.	cm	cm											
1	0.0	0.0											

Elemento: 3030 - Palo singolo - Tipologia pali: trivellati

X elem.	Y elem.	Prof.	Base	Lungh.	Altez.	Rot.	Grup.ap.	Ind.strat.					
cm	cm	cm	cm	cm	cm	Gradi°	n.	n.					
-1690.0	775.5	40.0	53.2	53.2	80.0	0.00	3030	001					
Dia. P.	Lun. P.	Lun. L.	Dist.P.	In. Px	In. Py	Dia. B.	Lun. B.	E.C.V.	E.C.C.	E.C.T.	Svin.testa	Vin.piede	
cm	cm	cm	cm	cm	cm	cm	cm				codice	codice	
60.0	2400.0	0.0	0.0	0.0	0.0	0.0	0.0	1.00	1.00	1.00	0	1; 0; 1	
Palo	Asc. X'	Ord. Y'											
n.	cm	cm											
1	0.0	0.0											

Elemento: 3033 - Palo singolo - Tipologia pali: trivellati

X elem.	Y elem.	Prof.	Base	Lungh.	Altez.	Rot.	Grup.ap.	Ind.strat.					
cm	cm	cm	cm	cm	cm	Gradi°	n.	n.					
-1690.0	1108.2	40.0	53.2	53.2	80.0	0.00	3033	001					
Dia. P.	Lun. P.	Lun. L.	Dist.P.	In. Px	In. Py	Dia. B.	Lun. B.	E.C.V.	E.C.C.	E.C.T.	Svin.testa	Vin.piede	
cm	cm	cm	cm	cm	cm	cm	cm				codice	codice	
60.0	2400.0	0.0	0.0	0.0	0.0	0.0	0.0	1.00	1.00	1.00	0	1; 0; 1	
Palo	Asc. X'	Ord. Y'											
n.	cm	cm											
1	0.0	0.0											

Elemento: 3036 - Palo singolo - Tipologia pali: trivellati

X elem.	Y elem.	Prof.	Base	Lungh.	Altez.	Rot.	Grup.ap.	Ind.strat.					
cm	cm	cm	cm	cm	cm	Gradi°	n.	n.					
-1870.0	1108.2	40.0	53.2	53.2	80.0	0.00	3036	001					

Dia. P.	Lun. P.	Lun. L.	Dist.P.	In. Px	In. Py	Dia. B.	Lun. B.	E.C.V.	E.C.C.	E.C.T.	Svin.testa	Vin.piede
cm	cm	cm	cm	cm	cm	cm	cm				codice	codice
60.0	2400.0	0.0	0.0	0.0	0.0	0.0	0.0	1.00	1.00	1.00	0	1; 0; 1

Palo	Asc. X'	Ord. Y'
n.	cm	cm
1	0.0	0.0

Elemento: 3039 - Palo singolo - Tipologia pali: trivellati

X elem.	Y elem.	Prof.	Base	Lungh.	Altez.	Rot.	Grup.ap.	Ind.strat.
cm	cm	cm	cm	cm	cm	Gradi°	n.	n.
-1870.0	775.5	40.0	53.2	53.2	80.0	0.00	3039	001

Dia. P.	Lun. P.	Lun. L.	Dist.P.	In. Px	In. Py	Dia. B.	Lun. B.	E.C.V.	E.C.C.	E.C.T.	Svin.testa	Vin.piede
cm	cm	cm	cm	cm	cm	cm	cm				codice	codice
60.0	2400.0	0.0	0.0	0.0	0.0	0.0	0.0	1.00	1.00	1.00	0	1; 0; 1

Palo	Asc. X'	Ord. Y'
n.	cm	cm
1	0.0	0.0

Elemento: 3042 - Palo singolo - Tipologia pali: trivellati

X elem.	Y elem.	Prof.	Base	Lungh.	Altez.	Rot.	Grup.ap.	Ind.strat.
cm	cm	cm	cm	cm	cm	Gradi°	n.	n.
-1870.0	442.7	40.0	53.2	53.2	80.0	0.00	3042	001

Dia. P.	Lun. P.	Lun. L.	Dist.P.	In. Px	In. Py	Dia. B.	Lun. B.	E.C.V.	E.C.C.	E.C.T.	Svin.testa	Vin.piede
cm	cm	cm	cm	cm	cm	cm	cm				codice	codice
60.0	2400.0	0.0	0.0	0.0	0.0	0.0	0.0	1.00	1.00	1.00	0	1; 0; 1

Palo	Asc. X'	Ord. Y'
n.	cm	cm
1	0.0	0.0

Elemento: 3046 - Palo singolo - Tipologia pali: trivellati

X elem.	Y elem.	Prof.	Base	Lungh.	Altez.	Rot.	Grup.ap.	Ind.strat.
cm	cm	cm	cm	cm	cm	Gradi°	n.	n.
-1870.0	1420.0	40.0	53.2	53.2	80.0	0.00	3046	001

Dia. P.	Lun. P.	Lun. L.	Dist.P.	In. Px	In. Py	Dia. B.	Lun. B.	E.C.V.	E.C.C.	E.C.T.	Svin.testa	Vin.piede
cm	cm	cm	cm	cm	cm	cm	cm				codice	codice
60.0	2400.0	0.0	0.0	0.0	0.0	0.0	0.0	1.00	1.00	1.00	0	1; 0; 1

Palo	Asc. X'	Ord. Y'
n.	cm	cm
1	0.0	0.0

Elemento: 3048 - Palo singolo - Tipologia pali: trivellati

X elem.	Y elem.	Prof.	Base	Lungh.	Altez.	Rot.	Grup.ap.	Ind.strat.
cm	cm	cm	cm	cm	cm	Gradi°	n.	n.
8456.1	20.1	40.0	53.2	53.2	80.0	0.00	3048	001

Dia. P.	Lun. P.	Lun. L.	Dist.P.	In. Px	In. Py	Dia. B.	Lun. B.	E.C.V.	E.C.C.	E.C.T.	Svin.testa	Vin.piede
cm	cm	cm	cm	cm	cm	cm	cm				codice	codice
60.0	2400.0	0.0	0.0	0.0	0.0	0.0	0.0	1.00	1.00	1.00	0	1; 0; 1

Palo	Asc. X'	Ord. Y'
n.	cm	cm
1	0.0	0.0

Elemento: 3051 - Palo singolo - Tipologia pali: trivellati

X elem.	Y elem.	Prof.	Base	Lungh.	Altez.	Rot.	Grup.ap.	Ind.strat.
cm	cm	cm	cm	cm	cm	Gradi°	n.	n.
8123.4	20.1	40.0	53.2	53.2	80.0	0.00	3051	001

Dia. P.	Lun. P.	Lun. L.	Dist.P.	In. Px	In. Py	Dia. B.	Lun. B.	E.C.V.	E.C.C.	E.C.T.	Svin.testa	Vin.piede
cm	cm	cm	cm	cm	cm	cm	cm				codice	codice
60.0	2400.0	0.0	0.0	0.0	0.0	0.0	0.0	1.00	1.00	1.00	0	1; 0; 1

Palo	Asc. X'	Ord. Y'
n.	cm	cm
1	0.0	0.0

Elemento: 3055 - Palo singolo - Tipologia pali: trivellati

X elem.	Y elem.	Prof.	Base	Lungh.	Altez.	Rot.	Grup.ap.	Ind.strat.
cm	cm	cm	cm	cm	cm	Gradi°	n.	n.
9121.4	200.1	40.0	53.2	53.2	80.0	0.00	3055	001

Dia. P.	Lun. P.	Lun. L.	Dist.P.	In. Px	In. Py	Dia. B.	Lun. B.	E.C.V.	E.C.C.	E.C.T.	Svin.testa	Vin.piede
cm	cm	cm	cm	cm	cm	cm	cm				codice	codice

60.0 2400.0 0.0 0.0 0.0 0.0 0.0 0.0 1.00 1.00 1.00 0 1; 0; 1

Palo
n. cm
1 0.0

Asc. X'
cm
0.0

Ord. Y'
cm
0.0

Elemento: 3058 - Palo singolo - Tipologia pali: trivellati

X elem. **Y elem.** **Prof.** **Base** **Lungh.** **Altez.** **Rot.** **Grup.ap.** **Ind.strat.**
cm cm cm cm cm cm Gradi° n. n.
8788.8 200.1 40.0 53.2 53.2 80.0 0.00 3058 001

Dia. P. **Lun. P.** **Lun. L.** **Dist.P.** **In. Px** **In. Py** **Dia. B.** **Lun. B.** **E.C.V.** **E.C.C.** **E.C.T.** **Svin.testa** **Vin.piede**
cm cm cm cm cm cm cm cm E.C.V. E.C.C. E.C.T. codice codice
60.0 2400.0 0.0 0.0 0.0 0.0 0.0 0.0 1.00 1.00 1.00 0 1; 0; 1

Palo
n. cm
1 0.0

Asc. X'
cm
0.0

Ord. Y'
cm
0.0

Elemento: 3061 - Palo singolo - Tipologia pali: trivellati

X elem. **Y elem.** **Prof.** **Base** **Lungh.** **Altez.** **Rot.** **Grup.ap.** **Ind.strat.**
cm cm cm cm cm cm Gradi° n. n.
8456.1 200.1 40.0 53.2 53.2 80.0 0.00 3061 001

Dia. P. **Lun. P.** **Lun. L.** **Dist.P.** **In. Px** **In. Py** **Dia. B.** **Lun. B.** **E.C.V.** **E.C.C.** **E.C.T.** **Svin.testa** **Vin.piede**
cm cm cm cm cm cm cm cm E.C.V. E.C.C. E.C.T. codice codice
60.0 2400.0 0.0 0.0 0.0 0.0 0.0 0.0 1.00 1.00 1.00 0 1; 0; 1

Palo
n. cm
1 0.0

Asc. X'
cm
0.0

Ord. Y'
cm
0.0

Elemento: 3064 - Palo singolo - Tipologia pali: trivellati

X elem. **Y elem.** **Prof.** **Base** **Lungh.** **Altez.** **Rot.** **Grup.ap.** **Ind.strat.**
cm cm cm cm cm cm Gradi° n. n.
8123.4 200.1 40.0 53.2 53.2 80.0 0.00 3064 001

Dia. P. **Lun. P.** **Lun. L.** **Dist.P.** **In. Px** **In. Py** **Dia. B.** **Lun. B.** **E.C.V.** **E.C.C.** **E.C.T.** **Svin.testa** **Vin.piede**
cm cm cm cm cm cm cm cm E.C.V. E.C.C. E.C.T. codice codice
60.0 2400.0 0.0 0.0 0.0 0.0 0.0 0.0 1.00 1.00 1.00 0 1; 0; 1

Palo
n. cm
1 0.0

Asc. X'
cm
0.0

Ord. Y'
cm
0.0

Elemento: 3086 - Palo singolo - Tipologia pali: trivellati

X elem. **Y elem.** **Prof.** **Base** **Lungh.** **Altez.** **Rot.** **Grup.ap.** **Ind.strat.**
cm cm cm cm cm cm Gradi° n. n.
9544.1 1330.1 40.0 53.2 53.2 80.0 0.00 3086 001

Dia. P. **Lun. P.** **Lun. L.** **Dist.P.** **In. Px** **In. Py** **Dia. B.** **Lun. B.** **E.C.V.** **E.C.C.** **E.C.T.** **Svin.testa** **Vin.piede**
cm cm cm cm cm cm cm cm E.C.V. E.C.C. E.C.T. codice codice
60.0 2400.0 0.0 0.0 0.0 0.0 0.0 0.0 1.00 1.00 1.00 0 1; 0; 1

Palo
n. cm
1 0.0

Asc. X'
cm
0.0

Ord. Y'
cm
0.0

Elemento: 3090 - Palo singolo - Tipologia pali: trivellati

X elem. **Y elem.** **Prof.** **Base** **Lungh.** **Altez.** **Rot.** **Grup.ap.** **Ind.strat.**
cm cm cm cm cm cm Gradi° n. n.
9366.9 1330.1 40.0 53.2 53.2 80.0 0.00 3090 001

Dia. P. **Lun. P.** **Lun. L.** **Dist.P.** **In. Px** **In. Py** **Dia. B.** **Lun. B.** **E.C.V.** **E.C.C.** **E.C.T.** **Svin.testa** **Vin.piede**
cm cm cm cm cm cm cm cm E.C.V. E.C.C. E.C.T. codice codice
60.0 2400.0 0.0 0.0 0.0 0.0 0.0 0.0 1.00 1.00 1.00 0 1; 0; 1

Palo
n. cm
1 0.0

Asc. X'
cm
0.0

Ord. Y'
cm
0.0

Elemento: 3107 - Palo singolo - Tipologia pali: trivellati

X elem. **Y elem.** **Prof.** **Base** **Lungh.** **Altez.** **Rot.** **Grup.ap.** **Ind.strat.**
cm cm cm cm cm cm Gradi° n. n.
9165.3 1330.1 40.0 53.2 53.2 80.0 0.00 3107 001

Dia. P. **Lun. P.** **Lun. L.** **Dist.P.** **In. Px** **In. Py** **Dia. B.** **Lun. B.** **E.C.V.** **E.C.C.** **E.C.T.** **Svin.testa** **Vin.piede**
cm cm cm cm cm cm cm cm E.C.V. E.C.C. E.C.T. codice codice
60.0 2400.0 0.0 0.0 0.0 0.0 0.0 0.0 1.00 1.00 1.00 0 1; 0; 1

Palo n. 1 Asc. X' cm 0.0 Ord. Y' cm 0.0

Elemento: 3205 - Palo singolo - Tipologia pali: trivellati

X elem. cm 9055.2 Y elem. cm 1189.5 Prof. cm 40.0 Base cm 53.2 Lungh. cm 53.2 Altez. cm 80.0 Rot. Gradi° 0.00 Grup.ap. n. 3205 Ind.strat. n. 001

Dia. P. cm 60.0 Lun. P. cm 2400.0 Lun. L. cm 0.0 Dist.P. cm 0.0 In. Px cm 0.0 In. Py cm 0.0 Dia. B. cm 0.0 Lun. B. cm 0.0 E.C.V. 1.00 E.C.C. 1.00 E.C.T. 1.00 Svin.testa codice 0 Vin.piede codice 1; 0; 1

Palo n. 1 Asc. X' cm 0.0 Ord. Y' cm 0.0

Elemento: 3206 - Palo singolo - Tipologia pali: trivellati

X elem. cm 8949.4 Y elem. cm 1335.1 Prof. cm 40.0 Base cm 53.2 Lungh. cm 53.2 Altez. cm 80.0 Rot. Gradi° 0.00 Grup.ap. n. 3206 Ind.strat. n. 001

Dia. P. cm 60.0 Lun. P. cm 2400.0 Lun. L. cm 0.0 Dist.P. cm 0.0 In. Px cm 0.0 In. Py cm 0.0 Dia. B. cm 0.0 Lun. B. cm 0.0 E.C.V. 1.00 E.C.C. 1.00 E.C.T. 1.00 Svin.testa codice 0 Vin.piede codice 1; 0; 1

Palo n. 1 Asc. X' cm 0.0 Ord. Y' cm 0.0

Elemento: 3207 - Palo singolo - Tipologia pali: trivellati

X elem. cm 8782.7 Y elem. cm 986.2 Prof. cm 40.0 Base cm 53.2 Lungh. cm 53.2 Altez. cm 80.0 Rot. Gradi° 0.00 Grup.ap. n. 3207 Ind.strat. n. 001

Dia. P. cm 60.0 Lun. P. cm 2400.0 Lun. L. cm 0.0 Dist.P. cm 0.0 In. Px cm 0.0 In. Py cm 0.0 Dia. B. cm 0.0 Lun. B. cm 0.0 E.C.V. 1.00 E.C.C. 1.00 E.C.T. 1.00 Svin.testa codice 0 Vin.piede codice 1; 0; 1

Palo n. 1 Asc. X' cm 0.0 Ord. Y' cm 0.0

Elemento: 3208 - Palo singolo - Tipologia pali: trivellati

X elem. cm 8676.9 Y elem. cm 1131.8 Prof. cm 40.0 Base cm 53.2 Lungh. cm 53.2 Altez. cm 80.0 Rot. Gradi° 0.00 Grup.ap. n. 3208 Ind.strat. n. 001

Dia. P. cm 60.0 Lun. P. cm 2400.0 Lun. L. cm 0.0 Dist.P. cm 0.0 In. Px cm 0.0 In. Py cm 0.0 Dia. B. cm 0.0 Lun. B. cm 0.0 E.C.V. 1.00 E.C.C. 1.00 E.C.T. 1.00 Svin.testa codice 0 Vin.piede codice 1; 0; 1

Palo n. 1 Asc. X' cm 0.0 Ord. Y' cm 0.0

Elemento: 3209 - Palo singolo - Tipologia pali: trivellati

X elem. cm 8510.2 Y elem. cm 782.8 Prof. cm 40.0 Base cm 53.2 Lungh. cm 53.2 Altez. cm 80.0 Rot. Gradi° 0.00 Grup.ap. n. 3209 Ind.strat. n. 001

Dia. P. cm 60.0 Lun. P. cm 2400.0 Lun. L. cm 0.0 Dist.P. cm 0.0 In. Px cm 0.0 In. Py cm 0.0 Dia. B. cm 0.0 Lun. B. cm 0.0 E.C.V. 1.00 E.C.C. 1.00 E.C.T. 1.00 Svin.testa codice 0 Vin.piede codice 1; 0; 1

Palo n. 1 Asc. X' cm 0.0 Ord. Y' cm 0.0

Elemento: 3210 - Palo singolo - Tipologia pali: trivellati

X elem. cm 8404.4 Y elem. cm 928.4 Prof. cm 40.0 Base cm 53.2 Lungh. cm 53.2 Altez. cm 80.0 Rot. Gradi° 0.00 Grup.ap. n. 3210 Ind.strat. n. 001

Dia. P. cm 60.0 Lun. P. cm 2400.0 Lun. L. cm 0.0 Dist.P. cm 0.0 In. Px cm 0.0 In. Py cm 0.0 Dia. B. cm 0.0 Lun. B. cm 0.0 E.C.V. 1.00 E.C.C. 1.00 E.C.T. 1.00 Svin.testa codice 0 Vin.piede codice 1; 0; 1

Palo n. Asc. X' cm Ord. Y' cm

1 0.0 0.0

Elemento: 3211 - Palo singolo - Tipologia pali: trivellati

X elem.	Y elem.	Prof.	Base	Lungh.	Altez.	Rot.	Grup.ap.	Ind.strat.
cm	cm	cm	cm	cm	cm	Gradi°	n.	n.
8237.7	579.5	40.0	53.2	53.2	80.0	0.00	3211	001

Dia. P.	Lun. P.	Lun. L.	Dist.P.	In. Px	In. Py	Dia. B.	Lun. B.	E.C.V.	E.C.C.	E.C.T.	Svin.testa	Vin.piede
cm	cm	cm	cm	cm	cm	cm	cm				codice	codice
60.0	2400.0	0.0	0.0	0.0	0.0	0.0	0.0	1.00	1.00	1.00	0	1; 0; 1

Palo	Asc. X'	Ord. Y'
n.	cm	cm
1	0.0	0.0

Elemento: 3212 - Palo singolo - Tipologia pali: trivellati

X elem.	Y elem.	Prof.	Base	Lungh.	Altez.	Rot.	Grup.ap.	Ind.strat.
cm	cm	cm	cm	cm	cm	Gradi°	n.	n.
8131.9	725.1	40.0	53.2	53.2	80.0	0.00	3212	001

Dia. P.	Lun. P.	Lun. L.	Dist.P.	In. Px	In. Py	Dia. B.	Lun. B.	E.C.V.	E.C.C.	E.C.T.	Svin.testa	Vin.piede
cm	cm	cm	cm	cm	cm	cm	cm				codice	codice
60.0	2400.0	0.0	0.0	0.0	0.0	0.0	0.0	1.00	1.00	1.00	0	1; 0; 1

Palo	Asc. X'	Ord. Y'
n.	cm	cm
1	0.0	0.0

Elemento: 3213 - Palo singolo - Tipologia pali: trivellati

X elem.	Y elem.	Prof.	Base	Lungh.	Altez.	Rot.	Grup.ap.	Ind.strat.
cm	cm	cm	cm	cm	cm	Gradi°	n.	n.
7965.2	376.2	40.0	53.2	53.2	80.0	0.00	3213	001

Dia. P.	Lun. P.	Lun. L.	Dist.P.	In. Px	In. Py	Dia. B.	Lun. B.	E.C.V.	E.C.C.	E.C.T.	Svin.testa	Vin.piede
cm	cm	cm	cm	cm	cm	cm	cm				codice	codice
60.0	2400.0	0.0	0.0	0.0	0.0	0.0	0.0	1.00	1.00	1.00	0	1; 0; 1

Palo	Asc. X'	Ord. Y'
n.	cm	cm
1	0.0	0.0

Elemento: 3214 - Palo singolo - Tipologia pali: trivellati

X elem.	Y elem.	Prof.	Base	Lungh.	Altez.	Rot.	Grup.ap.	Ind.strat.
cm	cm	cm	cm	cm	cm	Gradi°	n.	n.
7859.4	521.8	40.0	53.2	53.2	80.0	0.00	3214	001

Dia. P.	Lun. P.	Lun. L.	Dist.P.	In. Px	In. Py	Dia. B.	Lun. B.	E.C.V.	E.C.C.	E.C.T.	Svin.testa	Vin.piede
cm	cm	cm	cm	cm	cm	cm	cm				codice	codice
60.0	2400.0	0.0	0.0	0.0	0.0	0.0	0.0	1.00	1.00	1.00	0	1; 0; 1

Palo	Asc. X'	Ord. Y'
n.	cm	cm
1	0.0	0.0

Elemento: 3215 - Palo singolo - Tipologia pali: trivellati

X elem.	Y elem.	Prof.	Base	Lungh.	Altez.	Rot.	Grup.ap.	Ind.strat.
cm	cm	cm	cm	cm	cm	Gradi°	n.	n.
7586.9	318.4	40.0	53.2	53.2	80.0	0.00	3215	001

Dia. P.	Lun. P.	Lun. L.	Dist.P.	In. Px	In. Py	Dia. B.	Lun. B.	E.C.V.	E.C.C.	E.C.T.	Svin.testa	Vin.piede
cm	cm	cm	cm	cm	cm	cm	cm				codice	codice
60.0	2400.0	0.0	0.0	0.0	0.0	0.0	0.0	1.00	1.00	1.00	0	1; 0; 1

Palo	Asc. X'	Ord. Y'
n.	cm	cm
1	0.0	0.0

Elemento: 3217 - Palo singolo - Tipologia pali: trivellati

X elem.	Y elem.	Prof.	Base	Lungh.	Altez.	Rot.	Grup.ap.	Ind.strat.
cm	cm	cm	cm	cm	cm	Gradi°	n.	n.
7790.8	200.1	40.0	53.2	53.2	80.0	0.00	3217	001

Dia. P.	Lun. P.	Lun. L.	Dist.P.	In. Px	In. Py	Dia. B.	Lun. B.	E.C.V.	E.C.C.	E.C.T.	Svin.testa	Vin.piede
cm	cm	cm	cm	cm	cm	cm	cm				codice	codice
60.0	2400.0	0.0	0.0	0.0	0.0	0.0	0.0	1.00	1.00	1.00	0	1; 0; 1

Palo	Asc. X'	Ord. Y'
n.	cm	cm
1	0.0	0.0

Elemento: 3218 - Palo singolo - Tipologia pali: trivellati

X elem.	Y elem.	Prof.	Base	Lungh.	Altez.	Rot.	Grup.ap.	Ind.strat.				Svin.testa	Vin.piede
cm	cm	cm	cm	cm	cm	Gradi°	n.	n.				codice	codice
7490.8	200.1	40.0	53.2	53.2	80.0	0.00	3218	001				0	1; 0; 1
Dia. P.	Lun. P.	Lun. L.	Dist.P.	In. Px	In. Py	Dia. B.	Lun. B.	E.C.V.	E.C.C.	E.C.T.			
cm	cm	cm	cm	cm	cm	cm	cm						
60.0	2400.0	0.0	0.0	0.0	0.0	0.0	0.0	1.00	1.00	1.00			
Palo	Asc. X'	Ord. Y'											
n.	cm	cm											
1	0.0	0.0											

Elemento: 3265 - Palo singolo - Tipologia pali: trivellati

X elem.	Y elem.	Prof.	Base	Lungh.	Altez.	Rot.	Grup.ap.	Ind.strat.				Svin.testa	Vin.piede
cm	cm	cm	cm	cm	cm	Gradi°	n.	n.				codice	codice
7790.8	20.1	40.0	53.2	53.2	80.0	0.00	3265	001				0	1; 0; 1
Dia. P.	Lun. P.	Lun. L.	Dist.P.	In. Px	In. Py	Dia. B.	Lun. B.	E.C.V.	E.C.C.	E.C.T.			
cm	cm	cm	cm	cm	cm	cm	cm						
60.0	2400.0	0.0	0.0	0.0	0.0	0.0	0.0	1.00	1.00	1.00			
Palo	Asc. X'	Ord. Y'											
n.	cm	cm											
1	0.0	0.0											

Elemento: 3492 - Palo singolo - Tipologia pali: trivellati

X elem.	Y elem.	Prof.	Base	Lungh.	Altez.	Rot.	Grup.ap.	Ind.strat.				Svin.testa	Vin.piede
cm	cm	cm	cm	cm	cm	Gradi°	n.	n.				codice	codice
9544.1	20.1	40.0	53.2	53.2	80.0	0.00	3492	001				0	1; 0; 1
Dia. P.	Lun. P.	Lun. L.	Dist.P.	In. Px	In. Py	Dia. B.	Lun. B.	E.C.V.	E.C.C.	E.C.T.			
cm	cm	cm	cm	cm	cm	cm	cm						
60.0	2400.0	0.0	0.0	0.0	0.0	0.0	0.0	1.00	1.00	1.00			
Palo	Asc. X'	Ord. Y'											
n.	cm	cm											
1	0.0	0.0											

Elemento: 3497 - Palo singolo - Tipologia pali: trivellati

X elem.	Y elem.	Prof.	Base	Lungh.	Altez.	Rot.	Grup.ap.	Ind.strat.				Svin.testa	Vin.piede
cm	cm	cm	cm	cm	cm	Gradi°	n.	n.				codice	codice
7490.8	20.1	40.0	53.2	53.2	80.0	0.00	3497	001				0	1; 0; 1
Dia. P.	Lun. P.	Lun. L.	Dist.P.	In. Px	In. Py	Dia. B.	Lun. B.	E.C.V.	E.C.C.	E.C.T.			
cm	cm	cm	cm	cm	cm	cm	cm						
60.0	2400.0	0.0	0.0	0.0	0.0	0.0	0.0	1.00	1.00	1.00			
Palo	Asc. X'	Ord. Y'											
n.	cm	cm											
1	0.0	0.0											

Elemento: 3499 - Palo singolo - Tipologia pali: trivellati

X elem.	Y elem.	Prof.	Base	Lungh.	Altez.	Rot.	Grup.ap.	Ind.strat.				Svin.testa	Vin.piede
cm	cm	cm	cm	cm	cm	Gradi°	n.	n.				codice	codice
9364.2	20.1	40.0	53.2	53.2	80.0	0.00	3499	001				0	1; 0; 1
Dia. P.	Lun. P.	Lun. L.	Dist.P.	In. Px	In. Py	Dia. B.	Lun. B.	E.C.V.	E.C.C.	E.C.T.			
cm	cm	cm	cm	cm	cm	cm	cm						
60.0	2400.0	0.0	0.0	0.0	0.0	0.0	0.0	1.00	1.00	1.00			
Palo	Asc. X'	Ord. Y'											
n.	cm	cm											
1	0.0	0.0											

Elemento: 3501 - Palo singolo - Tipologia pali: trivellati

X elem.	Y elem.	Prof.	Base	Lungh.	Altez.	Rot.	Grup.ap.	Ind.strat.				Svin.testa	Vin.piede
cm	cm	cm	cm	cm	cm	Gradi°	n.	n.				codice	codice
9121.4	20.1	40.0	53.2	53.2	80.0	0.00	3501	001				0	1; 0; 1
Dia. P.	Lun. P.	Lun. L.	Dist.P.	In. Px	In. Py	Dia. B.	Lun. B.	E.C.V.	E.C.C.	E.C.T.			
cm	cm	cm	cm	cm	cm	cm	cm						
60.0	2400.0	0.0	0.0	0.0	0.0	0.0	0.0	1.00	1.00	1.00			
Palo	Asc. X'	Ord. Y'											
n.	cm	cm											
1	0.0	0.0											

Elemento: 3504 - Palo singolo - Tipologia pali: trivellati

X elem.	Y elem.	Prof.	Base	Lungh.	Altez.	Rot.	Grup.ap.	Ind.strat.					
---------	---------	-------	------	--------	--------	------	----------	------------	--	--	--	--	--

cm	cm	cm	cm	cm	cm	Gradi°	n.	n.					
8788.8	20.1	40.0	53.2	53.2	80.0	0.00	3504	001					
Dia. P.	Lun. P.	Lun. L.	Dist.P.	In. Px	In. Py	Dia. B.	Lun. B.	E.C.V.	E.C.C.	E.C.T.	Svin.testa	Vin.piede	
cm	cm	cm	cm	cm	cm	cm	cm				codice	codice	
60.0	2400.0	0.0	0.0	0.0	0.0	0.0	0.0	1.00	1.00	1.00	0	1; 0; 1	
Palo	Asc. X'	Ord. Y'											
n.	cm	cm											
1	0.0	0.0											

Elemento: 3509 - Palo singolo - Tipologia pali: trivellati

X elem.	Y elem.	Prof.	Base	Lungh.	Altez.	Rot.	Grup.ap.	Ind.strat.					
cm	cm	cm	cm	cm	cm	Gradi°	n.	n.					
9364.1	997.3	40.0	53.2	53.2	80.0	0.00	3509	001					
Dia. P.	Lun. P.	Lun. L.	Dist.P.	In. Px	In. Py	Dia. B.	Lun. B.	E.C.V.	E.C.C.	E.C.T.	Svin.testa	Vin.piede	
cm	cm	cm	cm	cm	cm	cm	cm				codice	codice	
60.0	2400.0	0.0	0.0	0.0	0.0	0.0	0.0	1.00	1.00	1.00	0	1; 0; 1	
Palo	Asc. X'	Ord. Y'											
n.	cm	cm											
1	0.0	0.0											

Elemento: 3512 - Palo singolo - Tipologia pali: trivellati

X elem.	Y elem.	Prof.	Base	Lungh.	Altez.	Rot.	Grup.ap.	Ind.strat.					
cm	cm	cm	cm	cm	cm	Gradi°	n.	n.					
9364.1	664.6	40.0	53.2	53.2	80.0	0.00	3512	001					
Dia. P.	Lun. P.	Lun. L.	Dist.P.	In. Px	In. Py	Dia. B.	Lun. B.	E.C.V.	E.C.C.	E.C.T.	Svin.testa	Vin.piede	
cm	cm	cm	cm	cm	cm	cm	cm				codice	codice	
60.0	2400.0	0.0	0.0	0.0	0.0	0.0	0.0	1.00	1.00	1.00	0	1; 0; 1	
Palo	Asc. X'	Ord. Y'											
n.	cm	cm											
1	0.0	0.0											

Elemento: 3515 - Palo singolo - Tipologia pali: trivellati

X elem.	Y elem.	Prof.	Base	Lungh.	Altez.	Rot.	Grup.ap.	Ind.strat.					
cm	cm	cm	cm	cm	cm	Gradi°	n.	n.					
9364.1	331.9	40.0	53.2	53.2	80.0	0.00	3515	001					
Dia. P.	Lun. P.	Lun. L.	Dist.P.	In. Px	In. Py	Dia. B.	Lun. B.	E.C.V.	E.C.C.	E.C.T.	Svin.testa	Vin.piede	
cm	cm	cm	cm	cm	cm	cm	cm				codice	codice	
60.0	2400.0	0.0	0.0	0.0	0.0	0.0	0.0	1.00	1.00	1.00	0	1; 0; 1	
Palo	Asc. X'	Ord. Y'											
n.	cm	cm											
1	0.0	0.0											

Elemento: 3518 - Palo singolo - Tipologia pali: trivellati

X elem.	Y elem.	Prof.	Base	Lungh.	Altez.	Rot.	Grup.ap.	Ind.strat.					
cm	cm	cm	cm	cm	cm	Gradi°	n.	n.					
9544.1	331.9	40.0	53.2	53.2	80.0	0.00	3518	001					
Dia. P.	Lun. P.	Lun. L.	Dist.P.	In. Px	In. Py	Dia. B.	Lun. B.	E.C.V.	E.C.C.	E.C.T.	Svin.testa	Vin.piede	
cm	cm	cm	cm	cm	cm	cm	cm				codice	codice	
60.0	2400.0	0.0	0.0	0.0	0.0	0.0	0.0	1.00	1.00	1.00	0	1; 0; 1	
Palo	Asc. X'	Ord. Y'											
n.	cm	cm											
1	0.0	0.0											

Elemento: 3521 - Palo singolo - Tipologia pali: trivellati

X elem.	Y elem.	Prof.	Base	Lungh.	Altez.	Rot.	Grup.ap.	Ind.strat.					
cm	cm	cm	cm	cm	cm	Gradi°	n.	n.					
9544.1	664.6	40.0	53.2	53.2	80.0	0.00	3521	001					
Dia. P.	Lun. P.	Lun. L.	Dist.P.	In. Px	In. Py	Dia. B.	Lun. B.	E.C.V.	E.C.C.	E.C.T.	Svin.testa	Vin.piede	
cm	cm	cm	cm	cm	cm	cm	cm				codice	codice	
60.0	2400.0	0.0	0.0	0.0	0.0	0.0	0.0	1.00	1.00	1.00	0	1; 0; 1	
Palo	Asc. X'	Ord. Y'											
n.	cm	cm											
1	0.0	0.0											

Elemento: 3524 - Palo singolo - Tipologia pali: trivellati

X elem.	Y elem.	Prof.	Base	Lungh.	Altez.	Rot.	Grup.ap.	Ind.strat.					
cm	cm	cm	cm	cm	cm	Gradi°	n.	n.					
9544.1	997.3	40.0	53.2	53.2	80.0	0.00	3524	001					

Dia. P. cm	Lun. P. cm	Lun. L. cm	Dist.P. cm	In. Px cm	In. Py cm	Dia. B. cm	Lun. B. cm	E.C.V.	E.C.C.	E.C.T.	Svin.testa codice	Vin.piede codice
60.0	2400.0	0.0	0.0	0.0	0.0	0.0	0.0	1.00	1.00	1.00	0	1; 0; 1

Palo	Asc. X'	Ord. Y'
n.	cm	cm
1	0.0	0.0

VALORI DI CALCOLO DELLA PORTANZA PER FONDAZIONI PROFONDE

Elemento: 5 - Palo singolo

Port. lat. = 327798.0 daN, Port. punta = 112953.3 daN, P.P.Palo = 16964.6 daN

$N_q = 8.08$, $\sigma_{punta} = 4.44$, $N_c = 19.44$, $c_{punta} = 0.21$

N lim palo: compressione (-) = -242300.8 daN, trazione (+) = 209786.9 daN

Cmb.	Palo	coord.X	coord.Y	N	Ver.N-	Ver.N+	Stato
n.	n.	cm	cm	daN			
104	1	0.000	0.000	-101200.0	0.652	----	Ok

Sollecitazioni:

Cmb	Tipologia	Sism.	N	Tx	Ty	Mx	My
n.			daN	daN	daN	daN cm	daN cm
104	SLV A2	Si	-101200.0	883.9	-12980.0	-1647000.0	75470.0

Elemento: 6 - Palo singolo

Port. lat. = 327798.0 daN, Port. punta = 112953.3 daN, P.P.Palo = 16964.6 daN

$N_q = 8.08$, $\sigma_{punta} = 4.44$, $N_c = 19.44$, $c_{punta} = 0.21$

N lim palo: compressione (-) = -242300.8 daN, trazione (+) = 209786.9 daN

Cmb.	Palo	coord.X	coord.Y	N	Ver.N-	Ver.N+	Stato
n.	n.	cm	cm	daN			
089	1	0.000	0.000	-68170.0	0.440	----	Ok

Sollecitazioni:

Cmb	Tipologia	Sism.	N	Tx	Ty	Mx	My
n.			daN	daN	daN	daN cm	daN cm
089	SLV A2	Si	-68170.0	-10840.0	-1813.1	-478200.0	1539000.0

Elemento: 7 - Palo singolo

Port. lat. = 327798.0 daN, Port. punta = 112953.3 daN, P.P.Palo = 16964.6 daN

$N_q = 8.08$, $\sigma_{punta} = 4.44$, $N_c = 19.44$, $c_{punta} = 0.21$

N lim palo: compressione (-) = -242300.8 daN, trazione (+) = 209786.9 daN

Cmb.	Palo	coord.X	coord.Y	N	Ver.N-	Ver.N+	Stato
n.	n.	cm	cm	daN			
104	1	0.000	0.000	-92070.0	0.594	----	Ok

Sollecitazioni:

Cmb	Tipologia	Sism.	N	Tx	Ty	Mx	My
n.			daN	daN	daN	daN cm	daN cm
104	SLV A2	Si	-92070.0	715.4	-13760.0	-1774000.0	147200.0

Elemento: 8 - Palo singolo

Port. lat. = 327798.0 daN, Port. punta = 112953.3 daN, P.P.Palo = 16964.6 daN

$N_q = 8.08$, $\sigma_{punta} = 4.44$, $N_c = 19.44$, $c_{punta} = 0.21$

N lim palo: compressione (-) = -242300.8 daN, trazione (+) = 209786.9 daN

Cmb.	Palo	coord.X	coord.Y	N	Ver.N-	Ver.N+	Stato
n.	n.	cm	cm	daN			
105	1	0.000	0.000	-72960.0	0.470	----	Ok

Sollecitazioni:

Cmb	Tipologia	Sism.	N	Tx	Ty	Mx	My
n.			daN	daN	daN	daN cm	daN cm
105	SLV A2	Si	-72960.0	-456.1	13040.0	1637000.0	-176900.0

Elemento: 9 - Palo singolo

Port. lat. = 327798.0 daN, Port. punta = 112953.3 daN, P.P.Palo = 16964.6 daN

$N_q = 8.08$, $\sigma_{punta} = 4.44$, $N_c = 19.44$, $c_{punta} = 0.21$

N lim palo: compressione (-) = -242300.8 daN, trazione (+) = 209786.9 daN

Cmb.	Palo	coord.X	coord.Y	N	Ver.N-	Ver.N+	Stato
-------------	-------------	----------------	----------------	----------	---------------	---------------	--------------

n.	n.	cm	cm	daN				
104	1	0.000	0.000	-84420.0	0.544	----		Ok

Sollecitazioni:

Cmb	Tipologia	Sism.	N	Tx	Ty	Mx	My
n.			daN	daN	daN	daN cm	daN cm
104	SLV A2	Si	-84420.0	445.1	-14300.0	-1836000.0	217100.0

Elemento: 10 - Palo singolo

Port. lat. = 327798.0 daN, Port. punta = 112953.3 daN, P.P.Palo = 16964.6 daN

Nq = 8.08, σ punta = 4.44, Nc = 19.44, c punta = 0.21

N lim palo: compressione (-) = -242300.8 daN, trazione (+) = 209786.9 daN

Cmb.	Palo	coord.X	coord.Y	N	Ver.N-	Ver.N+	Stato
n.	n.	cm	cm	daN			
105	1	0.000	0.000	-78520.0	0.506	----	Ok

Sollecitazioni:

Cmb	Tipologia	Sism.	N	Tx	Ty	Mx	My
n.			daN	daN	daN	daN cm	daN cm
105	SLV A2	Si	-78520.0	95.9	13990.0	1796000.0	-322900.0

Elemento: 11 - Palo singolo

Port. lat. = 327798.0 daN, Port. punta = 112953.3 daN, P.P.Palo = 16964.6 daN

Nq = 8.08, σ punta = 4.44, Nc = 19.44, c punta = 0.21

N lim palo: compressione (-) = -242300.8 daN, trazione (+) = 209786.9 daN

Cmb.	Palo	coord.X	coord.Y	N	Ver.N-	Ver.N+	Stato
n.	n.	cm	cm	daN			
104	1	0.000	0.000	-81220.0	0.524	----	Ok

Sollecitazioni:

Cmb	Tipologia	Sism.	N	Tx	Ty	Mx	My
n.			daN	daN	daN	daN cm	daN cm
104	SLV A2	Si	-81220.0	-84.6	-14880.0	-1920000.0	338100.0

Elemento: 12 - Palo singolo

Port. lat. = 327798.0 daN, Port. punta = 112953.3 daN, P.P.Palo = 16964.6 daN

Nq = 8.08, σ punta = 4.44, Nc = 19.44, c punta = 0.21

N lim palo: compressione (-) = -242300.8 daN, trazione (+) = 209786.9 daN

Cmb.	Palo	coord.X	coord.Y	N	Ver.N-	Ver.N+	Stato
n.	n.	cm	cm	daN			
105	1	0.000	0.000	-78680.0	0.507	----	Ok

Sollecitazioni:

Cmb	Tipologia	Sism.	N	Tx	Ty	Mx	My
n.			daN	daN	daN	daN cm	daN cm
105	SLV A2	Si	-78680.0	-3503.1	14690.0	1891000.0	239100.0

Elemento: 13 - Palo singolo

Port. lat. = 327798.0 daN, Port. punta = 112953.3 daN, P.P.Palo = 16964.6 daN

Nq = 8.08, σ punta = 4.44, Nc = 19.44, c punta = 0.21

N lim palo: compressione (-) = -242300.8 daN, trazione (+) = 209786.9 daN

Cmb.	Palo	coord.X	coord.Y	N	Ver.N-	Ver.N+	Stato
n.	n.	cm	cm	daN			
104	1	0.000	0.000	-81180.0	0.523	----	Ok

Sollecitazioni:

Cmb	Tipologia	Sism.	N	Tx	Ty	Mx	My
n.			daN	daN	daN	daN cm	daN cm
104	SLV A2	Si	-81180.0	3596.8	-15330.0	-1976000.0	-241500.0

Elemento: 14 - Palo singolo

Port. lat. = 327798.0 daN, Port. punta = 112953.3 daN, P.P.Palo = 16964.6 daN

Nq = 8.08, σ punta = 4.44, Nc = 19.44, c punta = 0.21

N lim palo: compressione (-) = -242300.8 daN, trazione (+) = 209786.9 daN

Cmb.	Palo	coord.X	coord.Y	N	Ver.N-	Ver.N+	Stato
n.	n.	cm	cm	daN			
105	1	0.000	0.000	-78300.0	0.505	----	Ok

Sollecitazioni:

Cmb	Tipologia	Sism.	N	Tx	Ty	Mx	My
n.			daN	daN	daN	daN cm	daN cm
105	SLV A2	Si	-78300.0	-3700.8	15240.0	1959000.0	259400.0

Elemento: 15 - Palo singolo

Port. lat. = 327798.0 daN, Port. punta = 112953.3 daN, P.P.Palo = 16964.6 daN

Nq = 8.08, σ punta = 4.44, Nc = 19.44, c punta = 0.21

N lim palo: compressione (-) = -242300.8 daN, trazione (+) = 209786.9 daN

Cmb.	Palo	coord.X	coord.Y	N	Ver.N-	Ver.N+	Stato
n.	n.	cm	cm	daN			
104	1	0.000	0.000	-80640.0	0.520	----	Ok

Sollecitazioni:

Cmb	Tipologia	Sism.	N	Tx	Ty	Mx	My
n.			daN	daN	daN	daN cm	daN cm
104	SLV A2	Si	-80640.0	3807.8	-15640.0	-2001000.0	-273900.0

Elemento: 16 - Palo singolo

Port. lat. = 327798.0 daN, Port. punta = 112953.3 daN, P.P.Palo = 16964.6 daN

Nq = 8.08, σ punta = 4.44, Nc = 19.44, c punta = 0.21

N lim palo: compressione (-) = -242300.8 daN, trazione (+) = 209786.9 daN

Cmb.	Palo	coord.X	coord.Y	N	Ver.N-	Ver.N+	Stato
n.	n.	cm	cm	daN			
105	1	0.000	0.000	-80130.0	0.517	----	Ok

Sollecitazioni:

Cmb	Tipologia	Sism.	N	Tx	Ty	Mx	My
n.			daN	daN	daN	daN cm	daN cm
105	SLV A2	Si	-80130.0	-3982.6	15650.0	2001000.0	310300.0

Elemento: 17 - Palo singolo

Port. lat. = 327798.0 daN, Port. punta = 112953.3 daN, P.P.Palo = 16964.6 daN

Nq = 8.08, σ punta = 4.44, Nc = 19.44, c punta = 0.21

N lim palo: compressione (-) = -242300.8 daN, trazione (+) = 209786.9 daN

Cmb.	Palo	coord.X	coord.Y	N	Ver.N-	Ver.N+	Stato
n.	n.	cm	cm	daN			
104	1	0.000	0.000	-73330.0	0.473	----	Ok

Sollecitazioni:

Cmb	Tipologia	Sism.	N	Tx	Ty	Mx	My
n.			daN	daN	daN	daN cm	daN cm
104	SLV A2	Si	-73330.0	4265.2	-15710.0	-1969000.0	-384500.0

Elemento: 18 - Palo singolo

Port. lat. = 327798.0 daN, Port. punta = 112953.3 daN, P.P.Palo = 16964.6 daN

Nq = 8.08, σ punta = 4.44, Nc = 19.44, c punta = 0.21

N lim palo: compressione (-) = -242300.8 daN, trazione (+) = 209786.9 daN

Cmb.	Palo	coord.X	coord.Y	N	Ver.N-	Ver.N+	Stato
n.	n.	cm	cm	daN			
105	1	0.000	0.000	-86950.0	0.561	----	Ok

Sollecitazioni:

Cmb	Tipologia	Sism.	N	Tx	Ty	Mx	My
n.			daN	daN	daN	daN cm	daN cm
105	SLV A2	Si	-86950.0	-4289.5	16030.0	2051000.0	373900.0

Elemento: 19 - Palo singolo

Port. lat. = 327798.0 daN, Port. punta = 112953.3 daN, P.P.Palo = 16964.6 daN

Nq = 8.08, σ punta = 4.44, Nc = 19.44, c punta = 0.21

N lim palo: compressione (-) = -242300.8 daN, trazione (+) = 209786.9 daN

Cmb.	Palo	coord.X	coord.Y	N	Ver.N-	Ver.N+	Stato
n.	n.	cm	cm	daN			
088	1	0.000	0.000	-64950.0	0.419	----	Ok

Sollecitazioni:

Cmb	Tipologia	Sism.	N	Tx	Ty	Mx	My
n.			daN	daN	daN	daN cm	daN cm
088	SLV A2	Si	-64950.0	12140.0	1053.2	423800.0	-1714000.0

Elemento: 20 - Palo singolo

Port. lat. = 327798.0 daN, Port. punta = 112953.3 daN, P.P.Palo = 16964.6 daN

Nq = 8.08, σ punta = 4.44, Nc = 19.44, c punta = 0.21

N lim palo: compressione (-) = -242300.8 daN, trazione (+) = 209786.9 daN

Cmb.	Palo	coord.X	coord.Y	N	Ver.N-	Ver.N+	Stato
n.	n.	cm	cm	daN			
109	1	0.000	0.000	-100100.0	0.645	----	Ok

Sollecitazioni:

Cmb	Tipologia	Sism.	N	Tx	Ty	Mx	My
n.			daN	daN	daN	daN cm	daN cm
109	SLV A2	Si	-100100.0	-4959.1	14380.0	1770000.0	525800.0

Elemento: 477 - Palo singolo

Port. lat. = 367337.2 daN, Port. punta = 117278.1 daN, P.P.Palo = 16964.6 daN

Nq = 7.91, σ punta = 4.74, Nc = 18.99, c punta = 0.21

N lim palo: compressione (-) = -268103.2 daN, trazione (+) = 233045.3 daN

Cmb.	Palo	coord.X	coord.Y	N	Ver.N-	Ver.N+	Stato
n.	n.	cm	cm	daN			
108	1	0.000	0.000	-134400.0	0.779	----	Ok

Sollecitazioni:

Cmb	Tipologia	Sism.	N	Tx	Ty	Mx	My
n.			daN	daN	daN	daN cm	daN cm
108	SLV A2	Si	-134400.0	2518.2	-8627.5	-831600.0	-303300.0

Elemento: 478 - Palo singolo

Port. lat. = 367337.2 daN, Port. punta = 117278.1 daN, P.P.Palo = 16964.6 daN

Nq = 7.91, σ punta = 4.74, Nc = 18.99, c punta = 0.21

N lim palo: compressione (-) = -268103.2 daN, trazione (+) = 233045.3 daN

Cmb.	Palo	coord.X	coord.Y	N	Ver.N-	Ver.N+	Stato
n.	n.	cm	cm	daN			
089	1	0.000	0.000	-114900.0	0.666	----	Ok

Sollecitazioni:

Cmb	Tipologia	Sism.	N	Tx	Ty	Mx	My
n.			daN	daN	daN	daN cm	daN cm
089	SLV A2	Si	-114900.0	-5587.7	5038.7	638800.0	548000.0

Elemento: 479 - Palo singolo

Port. lat. = 367337.2 daN, Port. punta = 117278.1 daN, P.P.Palo = 16964.6 daN

Nq = 7.91, σ punta = 4.74, Nc = 18.99, c punta = 0.21

N lim palo: compressione (-) = -268103.2 daN, trazione (+) = 233045.3 daN

Cmb.	Palo	coord.X	coord.Y	N	Ver.N-	Ver.N+	Stato
n.	n.	cm	cm	daN			
104	1	0.000	0.000	-100300.0	0.581	----	Ok

Sollecitazioni:

Cmb	Tipologia	Sism.	N	Tx	Ty	Mx	My
n.			daN	daN	daN	daN cm	daN cm
104	SLV A2	Si	-100300.0	2084.9	-8624.6	-844500.0	-161400.0

Elemento: 480 - Palo singolo

Port. lat. = 367337.2 daN, Port. punta = 117278.1 daN, P.P.Palo = 16964.6 daN

Nq = 7.91, σ punta = 4.74, Nc = 18.99, c punta = 0.21

N lim palo: compressione (-) = -268103.2 daN, trazione (+) = 233045.3 daN

Cmb.	Palo	coord.X	coord.Y	N	Ver.N-	Ver.N+	Stato
n.	n.	cm	cm	daN			
105	1	0.000	0.000	-97400.0	0.564	----	Ok

Sollecitazioni:

Cmb	Tipologia	Sism.	N	Tx	Ty	Mx	My
n.			daN	daN	daN	daN cm	daN cm
105	SLV A2	Si	-97400.0	-1828.7	10350.0	1139000.0	-42500.0

Elemento: 481 - Palo singolo

Port. lat. = 367337.2 daN, Port. punta = 117278.1 daN, P.P.Palo = 16964.6 daN

Nq = 7.91, σ punta = 4.74, Nc = 18.99, c punta = 0.21

N lim palo: compressione (-) = -268103.2 daN, trazione (+) = 233045.3 daN

Cmb.	Palo	coord.X	coord.Y	N	Ver.N-	Ver.N+	Stato
n.	n.	cm	cm	daN			
104	1	0.000	0.000	-83140.0	0.482	----	Ok

Sollecitazioni:

Cmb	Tipologia	Sism.	N	Tx	Ty	Mx	My
n.			daN	daN	daN	daN cm	daN cm
104	SLV A2	Si	-83140.0	1602.9	-8857.2	-906200.0	-26130.0

Elemento: 482 - Palo singolo

Port. lat. = 367337.2 daN, Port. punta = 117278.1 daN, P.P.Palo = 16964.6 daN

Nq = 7.91, σ punta = 4.74, Nc = 18.99, c punta = 0.21

N lim palo: compressione (-) = -268103.2 daN, trazione (+) = 233045.3 daN

Cmb.	Palo	coord.X	coord.Y	N	Ver.N-	Ver.N+	Stato
n.	n.	cm	cm	daN			
105	1	0.000	0.000	-87990.0	0.510	----	Ok

Sollecitazioni:

Cmb	Tipologia	Sism.	N	Tx	Ty	Mx	My
n.			daN	daN	daN	daN cm	daN cm
105	SLV A2	Si	-87990.0	-1849.7	10350.0	1129000.0	-37070.0

Elemento: 483 - Palo singolo

Port. lat. = 367337.2 daN, Port. punta = 117278.1 daN, P.P.Palo = 16964.6 daN

Nq = 7.91, σ punta = 4.74, Nc = 18.99, c punta = 0.21

N lim palo: compressione (-) = -268103.2 daN, trazione (+) = 233045.3 daN

Cmb.	Palo	coord.X	coord.Y	N	Ver.N-	Ver.N+	Stato
n.	n.	cm	cm	daN			
104	1	0.000	0.000	-78690.0	0.456	----	Ok

Sollecitazioni:

Cmb	Tipologia	Sism.	N	Tx	Ty	Mx	My
n.			daN	daN	daN	daN cm	daN cm
104	SLV A2	Si	-78690.0	1253.2	-9016.7	-955700.0	67200.0

Elemento: 484 - Palo singolo

Port. lat. = 367337.2 daN, Port. punta = 117278.1 daN, P.P.Palo = 16964.6 daN

Nq = 7.91, σ punta = 4.74, Nc = 18.99, c punta = 0.21

N lim palo: compressione (-) = -268103.2 daN, trazione (+) = 233045.3 daN

Cmb.	Palo	coord.X	coord.Y	N	Ver.N-	Ver.N+	Stato
n.	n.	cm	cm	daN			
105	1	0.000	0.000	-83350.0	0.483	----	Ok

Sollecitazioni:

Cmb	Tipologia	Sism.	N	Tx	Ty	Mx	My
n.			daN	daN	daN	daN cm	daN cm
105	SLV A2	Si	-83350.0	-2016.2	10280.0	1100000.0	8497.6

Elemento: 485 - Palo singolo

Port. lat. = 367337.2 daN, Port. punta = 117278.1 daN, P.P.Palo = 16964.6 daN

Nq = 7.91, σ punta = 4.74, Nc = 18.99, c punta = 0.21

N lim palo: compressione (-) = -268103.2 daN, trazione (+) = 233045.3 daN

Cmb.	Palo	coord.X	coord.Y	N	Ver.N-	Ver.N+	Stato
n.	n.	cm	cm	daN			
104	1	0.000	0.000	-82910.0	0.480	----	Ok

Sollecitazioni:

Cmb	Tipologia	Sism.	N	Tx	Ty	Mx	My
n.			daN	daN	daN	daN cm	daN cm
104	SLV A2	Si	-82910.0	988.3	-9084.6	-990800.0	129800.0

Elemento: 486 - Palo singolo

Port. lat. = 367337.2 daN, Port. punta = 117278.1 daN, P.P.Palo = 16964.6 daN

Nq = 7.91, σ punta = 4.74, Nc = 18.99, c punta = 0.21

N lim palo: compressione (-) = -268103.2 daN, trazione (+) = 233045.3 daN

Cmb.	Palo	coord.X	coord.Y	N	Ver.N-	Ver.N+	Stato
n.	n.	cm	cm	daN			
105	1	0.000	0.000	-85000.0	0.492	----	Ok

Sollecitazioni:

Cmb	Tipologia	Sism.	N	Tx	Ty	Mx	My
n.			daN	daN	daN	daN cm	daN cm
105	SLV A2	Si	-85000.0	-2208.6	10230.0	1074000.0	60430.0

Elemento: 487 - Palo singolo

Port. lat. = 367337.2 daN, Port. punta = 117278.1 daN, P.P.Palo = 16964.6 daN

$N_q = 7.91$, $\sigma_{punta} = 4.74$, $N_c = 18.99$, $c_{punta} = 0.21$

N lim palo: compressione (-) = -268103.2 daN, trazione (+) = 233045.3 daN

Cmb.	Palo	coord.X	coord.Y	N	Ver.N-	Ver.N+	Stato
n.	n.	cm	cm	daN			
104	1	0.000	0.000	-92300.0	0.535	----	Ok

Sollecitazioni:

Cmb	Tipologia	Sism.	N	Tx	Ty	Mx	My
n.			daN	daN	daN	daN cm	daN cm
104	SLV A2	Si	-92300.0	858.5	-8986.6	-991300.0	146300.0

Elemento: 488 - Palo singolo

Port. lat. = 367337.2 daN, Port. punta = 117278.1 daN, P.P.Palo = 16964.6 daN

$N_q = 7.91$, $\sigma_{punta} = 4.74$, $N_c = 18.99$, $c_{punta} = 0.21$

N lim palo: compressione (-) = -268103.2 daN, trazione (+) = 233045.3 daN

Cmb.	Palo	coord.X	coord.Y	N	Ver.N-	Ver.N+	Stato
n.	n.	cm	cm	daN			
105	1	0.000	0.000	-92410.0	0.535	----	Ok

Sollecitazioni:

Cmb	Tipologia	Sism.	N	Tx	Ty	Mx	My
n.			daN	daN	daN	daN cm	daN cm
105	SLV A2	Si	-92410.0	-2352.5	10220.0	1064000.0	98360.0

Elemento: 489 - Palo singolo

Port. lat. = 367337.2 daN, Port. punta = 117278.1 daN, P.P.Palo = 16964.6 daN

$N_q = 7.91$, $\sigma_{punta} = 4.74$, $N_c = 18.99$, $c_{punta} = 0.21$

N lim palo: compressione (-) = -268103.2 daN, trazione (+) = 233045.3 daN

Cmb.	Palo	coord.X	coord.Y	N	Ver.N-	Ver.N+	Stato
n.	n.	cm	cm	daN			
108	1	0.000	0.000	-95600.0	0.554	----	Ok

Sollecitazioni:

Cmb	Tipologia	Sism.	N	Tx	Ty	Mx	My
n.			daN	daN	daN	daN cm	daN cm
108	SLV A2	Si	-95600.0	1307.3	-8603.8	-906300.0	3504.7

Elemento: 490 - Palo singolo

Port. lat. = 367337.2 daN, Port. punta = 117278.1 daN, P.P.Palo = 16964.6 daN

$N_q = 7.91$, $\sigma_{punta} = 4.74$, $N_c = 18.99$, $c_{punta} = 0.21$

N lim palo: compressione (-) = -268103.2 daN, trazione (+) = 233045.3 daN

Cmb.	Palo	coord.X	coord.Y	N	Ver.N-	Ver.N+	Stato
n.	n.	cm	cm	daN			
105	1	0.000	0.000	-98790.0	0.572	----	Ok

Sollecitazioni:

Cmb	Tipologia	Sism.	N	Tx	Ty	Mx	My
n.			daN	daN	daN	daN cm	daN cm
105	SLV A2	Si	-98790.0	-2118.8	10500.0	1135000.0	29950.0

Elemento: 491 - Palo singolo

Port. lat. = 367337.2 daN, Port. punta = 117278.1 daN, P.P.Palo = 16964.6 daN

$N_q = 7.91$, $\sigma_{punta} = 4.74$, $N_c = 18.99$, $c_{punta} = 0.21$

N lim palo: compressione (-) = -268103.2 daN, trazione (+) = 233045.3 daN

Cmb.	Palo	coord.X	coord.Y	N	Ver.N-	Ver.N+	Stato
n.	n.	cm	cm	daN			
100	1	0.000	0.000	-76840.0	0.445	----	Ok

101 SLV A2 Si -56930.0 -2685.7 10400.0 1099000.0 64020.0

Elemento: 1023 - Palo singolo

Port. lat. = 367337.2 daN, Port. punta = 117278.1 daN, P.P.Palo = 16964.6 daN

Nq = 7.91, σ punta = 4.74, Nc = 18.99, c punta = 0.21

N lim palo: compressione (-) = -268103.2 daN, trazione (+) = 233045.3 daN

Cmb.	Palo	coord.X	coord.Y	N	Ver.N-	Ver.N+	Stato
n.	n.	cm	cm	daN			
100	1	0.000	0.000	-43050.0	0.249	----	Ok

Sollecitazioni:

Cmb	Tipologia	Sism.	N	Tx	Ty	Mx	My
n.			daN	daN	daN	daN cm	daN cm
100	SLV A2	Si	-43050.0	936.8	-7665.4	-782000.0	107700.0

Elemento: 1024 - Palo singolo

Port. lat. = 367337.2 daN, Port. punta = 117278.1 daN, P.P.Palo = 16964.6 daN

Nq = 7.91, σ punta = 4.74, Nc = 18.99, c punta = 0.21

N lim palo: compressione (-) = -268103.2 daN, trazione (+) = 233045.3 daN

Cmb.	Palo	coord.X	coord.Y	N	Ver.N-	Ver.N+	Stato
n.	n.	cm	cm	daN			
101	1	0.000	0.000	-54590.0	0.316	----	Ok

Sollecitazioni:

Cmb	Tipologia	Sism.	N	Tx	Ty	Mx	My
n.			daN	daN	daN	daN cm	daN cm
101	SLV A2	Si	-54590.0	-2906.0	10350.0	1070000.0	114500.0

Elemento: 1079 - Palo singolo

Port. lat. = 367337.2 daN, Port. punta = 117278.1 daN, P.P.Palo = 16964.6 daN

Nq = 7.91, σ punta = 4.74, Nc = 18.99, c punta = 0.21

N lim palo: compressione (-) = -268103.2 daN, trazione (+) = 233045.3 daN

Cmb.	Palo	coord.X	coord.Y	N	Ver.N-	Ver.N+	Stato
n.	n.	cm	cm	daN			
100	1	0.000	0.000	-45110.0	0.261	----	Ok

Sollecitazioni:

Cmb	Tipologia	Sism.	N	Tx	Ty	Mx	My
n.			daN	daN	daN	daN cm	daN cm
100	SLV A2	Si	-45110.0	876.3	-7548.2	-766000.0	114700.0

Elemento: 1080 - Palo singolo

Port. lat. = 367337.2 daN, Port. punta = 117278.1 daN, P.P.Palo = 16964.6 daN

Nq = 7.91, σ punta = 4.74, Nc = 18.99, c punta = 0.21

N lim palo: compressione (-) = -268103.2 daN, trazione (+) = 233045.3 daN

Cmb.	Palo	coord.X	coord.Y	N	Ver.N-	Ver.N+	Stato
n.	n.	cm	cm	daN			
101	1	0.000	0.000	-55630.0	0.322	----	Ok

Sollecitazioni:

Cmb	Tipologia	Sism.	N	Tx	Ty	Mx	My
n.			daN	daN	daN	daN cm	daN cm
101	SLV A2	Si	-55630.0	-3024.4	10370.0	1064000.0	137100.0

Elemento: 1135 - Palo singolo

Port. lat. = 367337.2 daN, Port. punta = 117278.1 daN, P.P.Palo = 16964.6 daN

Nq = 7.91, σ punta = 4.74, Nc = 18.99, c punta = 0.21

N lim palo: compressione (-) = -268103.2 daN, trazione (+) = 233045.3 daN

Cmb.	Palo	coord.X	coord.Y	N	Ver.N-	Ver.N+	Stato
n.	n.	cm	cm	daN			
100	1	0.000	0.000	-46280.0	0.268	----	Ok

Sollecitazioni:

Cmb	Tipologia	Sism.	N	Tx	Ty	Mx	My
n.			daN	daN	daN	daN cm	daN cm
100	SLV A2	Si	-46280.0	835.8	-7401.3	-742700.0	115600.0

Elemento: 1136 - Palo singolo

Port. lat. = 367337.2 daN, Port. punta = 117278.1 daN, P.P.Palo = 16964.6 daN

Nq = 7.91, σ punta = 4.74, Nc = 18.99, c punta = 0.21

N lim palo: compressione (-) = -268103.2 daN, trazione (+) = 233045.3 daN

Cmb.	Palo	coord.X	coord.Y	N	Ver.N-	Ver.N+	Stato
n.	n.	cm	cm	daN			
101	1	0.000	0.000	-59460.0	0.344	----	Ok

Sollecitazioni:

Cmb	Tipologia	Sism.	N	Tx	Ty	Mx	My
n.			daN	daN	daN	daN cm	daN cm
101	SLV A2	Si	-59460.0	-3228.7	10340.0	1044000.0	184300.0

Elemento: 1191 - Palo singolo

Port. lat. = 367337.2 daN, Port. punta = 117278.1 daN, P.P.Palo = 16964.6 daN

Nq = 7.91, σ punta = 4.74, Nc = 18.99, c punta = 0.21

N lim palo: compressione (-) = -268103.2 daN, trazione (+) = 233045.3 daN

Cmb.	Palo	coord.X	coord.Y	N	Ver.N-	Ver.N+	Stato
n.	n.	cm	cm	daN			
088	1	0.000	0.000	-53570.0	0.310	----	Ok

Sollecitazioni:

Cmb	Tipologia	Sism.	N	Tx	Ty	Mx	My
n.			daN	daN	daN	daN cm	daN cm
088	SLV A2	Si	-53570.0	5102.0	-2298.3	-217800.0	-520600.0

Elemento: 1192 - Palo singolo

Port. lat. = 367337.2 daN, Port. punta = 117278.1 daN, P.P.Palo = 16964.6 daN

Nq = 7.91, σ punta = 4.74, Nc = 18.99, c punta = 0.21

N lim palo: compressione (-) = -268103.2 daN, trazione (+) = 233045.3 daN

Cmb.	Palo	coord.X	coord.Y	N	Ver.N-	Ver.N+	Stato
n.	n.	cm	cm	daN			
095	1	0.000	0.000	-74480.0	0.431	----	Ok

Sollecitazioni:

Cmb	Tipologia	Sism.	N	Tx	Ty	Mx	My
n.			daN	daN	daN	daN cm	daN cm
095	SLV A2	Si	-74480.0	-204.9	10610.0	1100000.0	-100600.0

Elemento: 1247 - Palo singolo

Port. lat. = 327798.0 daN, Port. punta = 112953.3 daN, P.P.Palo = 16964.6 daN

Nq = 8.08, σ punta = 4.44, Nc = 19.44, c punta = 0.21

N lim palo: compressione (-) = -242300.8 daN, trazione (+) = 209786.9 daN

Cmb.	Palo	coord.X	coord.Y	N	Ver.N-	Ver.N+	Stato
n.	n.	cm	cm	daN			
105	1	0.000	0.000	-58770.0	0.379	----	Ok

Sollecitazioni:

Cmb	Tipologia	Sism.	N	Tx	Ty	Mx	My
n.			daN	daN	daN	daN cm	daN cm
105	SLV A2	Si	-58770.0	-12030.0	16090.0	2386000.0	1936000.0

Elemento: 1250 - Palo singolo

Port. lat. = 327798.0 daN, Port. punta = 112953.3 daN, P.P.Palo = 16964.6 daN

Nq = 8.08, σ punta = 4.44, Nc = 19.44, c punta = 0.21

N lim palo: compressione (-) = -242300.8 daN, trazione (+) = 209786.9 daN

Cmb.	Palo	coord.X	coord.Y	N	Ver.N-	Ver.N+	Stato
n.	n.	cm	cm	daN			
107	1	0.000	0.000	-61170.0	0.394	----	Ok

Sollecitazioni:

Cmb	Tipologia	Sism.	N	Tx	Ty	Mx	My
n.			daN	daN	daN	daN cm	daN cm
107	SLV A2	Si	-61170.0	-1895.2	16010.0	2431000.0	318100.0

Elemento: 1260 - Palo singolo

Port. lat. = 327798.0 daN, Port. punta = 112953.3 daN, P.P.Palo = 16964.6 daN

Nq = 8.08, σ punta = 4.44, Nc = 19.44, c punta = 0.21

N lim palo: compressione (-) = -242300.8 daN, trazione (+) = 209786.9 daN

Cmb.	Palo	coord.X	coord.Y	N	Ver.N-	Ver.N+	Stato
n.	n.	cm	cm	daN			
085	1	0.000	0.000	-37790.0	0.244	----	Ok

Sollecitazioni:

Cmb	Tipologia	Sism.	N	Tx	Ty	Mx	My
n.			daN	daN	daN	daN cm	daN cm
085	SLV A2	Si	-37790.0	-18930.0	8288.2	1243000.0	3016000.0

Elemento: 1275 - Palo singolo

Port. lat. = 327798.0 daN, Port. punta = 112953.3 daN, P.P.Palo = 16964.6 daN

Nq = 8.08, σ punta = 4.44, Nc = 19.44, c punta = 0.21

N lim palo: compressione (-) = -242300.8 daN, trazione (+) = 209786.9 daN

Cmb.	Palo	coord.X	coord.Y	N	Ver.N-	Ver.N+	Stato
n.	n.	cm	cm	daN			
094	1	0.000	0.000	-36870.0	0.238	----	Ok

Sollecitazioni:

Cmb	Tipologia	Sism.	N	Tx	Ty	Mx	My
n.			daN	daN	daN	daN cm	daN cm
094	SLV A2	Si	-36870.0	-15730.0	-1040.9	-127300.0	2522000.0

Elemento: 1297 - Palo singolo

Port. lat. = 367337.2 daN, Port. punta = 117278.1 daN, P.P.Palo = 16964.6 daN

Nq = 7.91, σ punta = 4.74, Nc = 18.99, c punta = 0.21

N lim palo: compressione (-) = -268103.2 daN, trazione (+) = 233045.3 daN

Cmb.	Palo	coord.X	coord.Y	N	Ver.N-	Ver.N+	Stato
n.	n.	cm	cm	daN			
110	1	0.000	0.000	-74050.0	0.429	----	Ok

Sollecitazioni:

Cmb	Tipologia	Sism.	N	Tx	Ty	Mx	My
n.			daN	daN	daN	daN cm	daN cm
110	SLV A2	Si	-74050.0	-71.6	-10530.0	-1100000.0	127300.0

Elemento: 1298 - Palo singolo

Port. lat. = 367337.2 daN, Port. punta = 117278.1 daN, P.P.Palo = 16964.6 daN

Nq = 7.91, σ punta = 4.74, Nc = 18.99, c punta = 0.21

N lim palo: compressione (-) = -268103.2 daN, trazione (+) = 233045.3 daN

Cmb.	Palo	coord.X	coord.Y	N	Ver.N-	Ver.N+	Stato
n.	n.	cm	cm	daN			
085	1	0.000	0.000	-53650.0	0.311	----	Ok

Sollecitazioni:

Cmb	Tipologia	Sism.	N	Tx	Ty	Mx	My
n.			daN	daN	daN	daN cm	daN cm
085	SLV A2	Si	-53650.0	-5082.3	1933.5	167500.0	517500.0

Elemento: 1299 - Palo singolo

Port. lat. = 367337.2 daN, Port. punta = 117278.1 daN, P.P.Palo = 16964.6 daN

Nq = 7.91, σ punta = 4.74, Nc = 18.99, c punta = 0.21

N lim palo: compressione (-) = -268103.2 daN, trazione (+) = 233045.3 daN

Cmb.	Palo	coord.X	coord.Y	N	Ver.N-	Ver.N+	Stato
n.	n.	cm	cm	daN			
104	1	0.000	0.000	-58770.0	0.340	----	Ok

Sollecitazioni:

Cmb	Tipologia	Sism.	N	Tx	Ty	Mx	My
n.			daN	daN	daN	daN cm	daN cm
104	SLV A2	Si	-58770.0	3027.5	-10190.0	-1032000.0	-163200.0

Elemento: 1300 - Palo singolo

Port. lat. = 367337.2 daN, Port. punta = 117278.1 daN, P.P.Palo = 16964.6 daN

Nq = 7.91, σ punta = 4.74, Nc = 18.99, c punta = 0.21

N lim palo: compressione (-) = -268103.2 daN, trazione (+) = 233045.3 daN

Cmb.	Palo	coord.X	coord.Y	N	Ver.N-	Ver.N+	Stato
n.	n.	cm	cm	daN			

105	1	0.000	0.000	-45510.0	0.264	----	Ok
Sollecitazioni:							
Cmb	Tipologia	Sism.	N	Tx	Ty	Mx	My
n.			daN	daN	daN	daN cm	daN cm
105	SLV A2	Si	-45510.0	-617.9	7147.1	717400.0	-136800.0

Elemento: 1301 - Palo singolo

Port. lat. = 367337.2 daN, Port. punta = 117278.1 daN, P.P.Palo = 16964.6 daN

Nq = 7.91, σ punta = 4.74, Nc = 18.99, c punta = 0.21

N lim palo: compressione (-) = -268103.2 daN, trazione (+) = 233045.3 daN

Cmb.	Palo	coord.X	coord.Y	N	Ver.N-	Ver.N+	Stato
n.	n.	cm	cm	daN			
104	1	0.000	0.000	-55140.0	0.319	----	Ok

Sollecitazioni:

Cmb	Tipologia	Sism.	N	Tx	Ty	Mx	My
n.			daN	daN	daN	daN cm	daN cm
104	SLV A2	Si	-55140.0	2840.4	-10280.0	-1058000.0	-115800.0

Elemento: 1302 - Palo singolo

Port. lat. = 367337.2 daN, Port. punta = 117278.1 daN, P.P.Palo = 16964.6 daN

Nq = 7.91, σ punta = 4.74, Nc = 18.99, c punta = 0.21

N lim palo: compressione (-) = -268103.2 daN, trazione (+) = 233045.3 daN

Cmb.	Palo	coord.X	coord.Y	N	Ver.N-	Ver.N+	Stato
n.	n.	cm	cm	daN			
105	1	0.000	0.000	-44530.0	0.258	----	Ok

Sollecitazioni:

Cmb	Tipologia	Sism.	N	Tx	Ty	Mx	My
n.			daN	daN	daN	daN cm	daN cm
105	SLV A2	Si	-44530.0	-684.5	7349.0	746600.0	-133900.0

Elemento: 1303 - Palo singolo

Port. lat. = 367337.2 daN, Port. punta = 117278.1 daN, P.P.Palo = 16964.6 daN

Nq = 7.91, σ punta = 4.74, Nc = 18.99, c punta = 0.21

N lim palo: compressione (-) = -268103.2 daN, trazione (+) = 233045.3 daN

Cmb.	Palo	coord.X	coord.Y	N	Ver.N-	Ver.N+	Stato
n.	n.	cm	cm	daN			
104	1	0.000	0.000	-54500.0	0.316	----	Ok

Sollecitazioni:

Cmb	Tipologia	Sism.	N	Tx	Ty	Mx	My
n.			daN	daN	daN	daN cm	daN cm
104	SLV A2	Si	-54500.0	2740.4	-10310.0	-1070000.0	-93340.0

Elemento: 1304 - Palo singolo

Port. lat. = 367337.2 daN, Port. punta = 117278.1 daN, P.P.Palo = 16964.6 daN

Nq = 7.91, σ punta = 4.74, Nc = 18.99, c punta = 0.21

N lim palo: compressione (-) = -268103.2 daN, trazione (+) = 233045.3 daN

Cmb.	Palo	coord.X	coord.Y	N	Ver.N-	Ver.N+	Stato
n.	n.	cm	cm	daN			
105	1	0.000	0.000	-42720.0	0.247	----	Ok

Sollecitazioni:

Cmb	Tipologia	Sism.	N	Tx	Ty	Mx	My
n.			daN	daN	daN	daN cm	daN cm
105	SLV A2	Si	-42720.0	-777.5	7517.9	767300.0	-123500.0

Elemento: 1305 - Palo singolo

Port. lat. = 367337.2 daN, Port. punta = 117278.1 daN, P.P.Palo = 16964.6 daN

Nq = 7.91, σ punta = 4.74, Nc = 18.99, c punta = 0.21

N lim palo: compressione (-) = -268103.2 daN, trazione (+) = 233045.3 daN

Cmb.	Palo	coord.X	coord.Y	N	Ver.N-	Ver.N+	Stato
n.	n.	cm	cm	daN			
104	1	0.000	0.000	-57490.0	0.333	----	Ok

Sollecitazioni:

Cmb	Tipologia	Sism.	N	Tx	Ty	Mx	My
------------	------------------	--------------	----------	-----------	-----------	-----------	-----------

n.			daN	daN	daN	daN cm	daN cm
104	SLV A2	Si	-57490.0	2535.8	-10410.0	-1106000.0	-42250.0

Elemento: 1306 - Palo singolo

Port. lat. = 367337.2 daN, Port. punta = 117278.1 daN, P.P.Palo = 16964.6 daN

Nq = 7.91, σ punta = 4.74, Nc = 18.99, c punta = 0.21

N lim palo: compressione (-) = -268103.2 daN, trazione (+) = 233045.3 daN

Cmb.	Palo	coord.X	coord.Y	N	Ver.N-	Ver.N+	Stato
n.	n.	cm	cm	daN			
105	1	0.000	0.000	-43110.0	0.250	----	Ok

Sollecitazioni:

Cmb	Tipologia	Sism.	N	Tx	Ty	Mx	My
n.			daN	daN	daN	daN cm	daN cm
105	SLV A2	Si	-43110.0	-1041.9	7583.9	759300.0	-64720.0

Elemento: 1307 - Palo singolo

Port. lat. = 367337.2 daN, Port. punta = 117278.1 daN, P.P.Palo = 16964.6 daN

Nq = 7.91, σ punta = 4.74, Nc = 18.99, c punta = 0.21

N lim palo: compressione (-) = -268103.2 daN, trazione (+) = 233045.3 daN

Cmb.	Palo	coord.X	coord.Y	N	Ver.N-	Ver.N+	Stato
n.	n.	cm	cm	daN			
104	1	0.000	0.000	-69670.0	0.404	----	Ok

Sollecitazioni:

Cmb	Tipologia	Sism.	N	Tx	Ty	Mx	My
n.			daN	daN	daN	daN cm	daN cm
104	SLV A2	Si	-69670.0	2198.3	-10600.0	-1173000.0	43700.0

Elemento: 1308 - Palo singolo

Port. lat. = 367337.2 daN, Port. punta = 117278.1 daN, P.P.Palo = 16964.6 daN

Nq = 7.91, σ punta = 4.74, Nc = 18.99, c punta = 0.21

N lim palo: compressione (-) = -268103.2 daN, trazione (+) = 233045.3 daN

Cmb.	Palo	coord.X	coord.Y	N	Ver.N-	Ver.N+	Stato
n.	n.	cm	cm	daN			
105	1	0.000	0.000	-53840.0	0.312	----	Ok

Sollecitazioni:

Cmb	Tipologia	Sism.	N	Tx	Ty	Mx	My
n.			daN	daN	daN	daN cm	daN cm
105	SLV A2	Si	-53840.0	-1582.2	7493.1	706800.0	71680.0

Elemento: 1309 - Palo singolo

Port. lat. = 367337.2 daN, Port. punta = 117278.1 daN, P.P.Palo = 16964.6 daN

Nq = 7.91, σ punta = 4.74, Nc = 18.99, c punta = 0.21

N lim palo: compressione (-) = -268103.2 daN, trazione (+) = 233045.3 daN

Cmb.	Palo	coord.X	coord.Y	N	Ver.N-	Ver.N+	Stato
n.	n.	cm	cm	daN			
108	1	0.000	0.000	-89950.0	0.521	----	Ok

Sollecitazioni:

Cmb	Tipologia	Sism.	N	Tx	Ty	Mx	My
n.			daN	daN	daN	daN cm	daN cm
108	SLV A2	Si	-89950.0	2067.9	-10600.0	-1188000.0	44540.0

Elemento: 1310 - Palo singolo

Port. lat. = 367337.2 daN, Port. punta = 117278.1 daN, P.P.Palo = 16964.6 daN

Nq = 7.91, σ punta = 4.74, Nc = 18.99, c punta = 0.21

N lim palo: compressione (-) = -268103.2 daN, trazione (+) = 233045.3 daN

Cmb.	Palo	coord.X	coord.Y	N	Ver.N-	Ver.N+	Stato
n.	n.	cm	cm	daN			
105	1	0.000	0.000	-78670.0	0.456	----	Ok

Sollecitazioni:

Cmb	Tipologia	Sism.	N	Tx	Ty	Mx	My
n.			daN	daN	daN	daN cm	daN cm
105	SLV A2	Si	-78670.0	-1917.3	7624.5	717100.0	149800.0

Elemento: 1311 - Palo singolo

Port. lat. = 367337.2 daN, Port. punta = 117278.1 daN, P.P.Palo = 16964.6 daN

Nq = 7.91, σ punta = 4.74, Nc = 18.99, c punta = 0.21

N lim palo: compressione (-) = -268103.2 daN, trazione (+) = 233045.3 daN

Cmb.	Palo	coord.X	coord.Y	N	Ver.N-	Ver.N+	Stato
n.	n.	cm	cm	daN			
100	1	0.000	0.000	-99430.0	0.576	----	Ok

Sollecitazioni:

Cmb	Tipologia	Sism.	N	Tx	Ty	Mx	My
n.			daN	daN	daN	daN cm	daN cm
100	SLV A2	Si	-99430.0	1983.1	-10690.0	-1162000.0	-15590.0

Elemento: 1312 - Palo singolo

Port. lat. = 367337.2 daN, Port. punta = 117278.1 daN, P.P.Palo = 16964.6 daN

Nq = 7.91, σ punta = 4.74, Nc = 18.99, c punta = 0.21

N lim palo: compressione (-) = -268103.2 daN, trazione (+) = 233045.3 daN

Cmb.	Palo	coord.X	coord.Y	N	Ver.N-	Ver.N+	Stato
n.	n.	cm	cm	daN			
105	1	0.000	0.000	-96890.0	0.561	----	Ok

Sollecitazioni:

Cmb	Tipologia	Sism.	N	Tx	Ty	Mx	My
n.			daN	daN	daN	daN cm	daN cm
105	SLV A2	Si	-96890.0	-1525.1	8217.1	860300.0	24320.0

Elemento: 1731 - Palo singolo

Port. lat. = 367337.2 daN, Port. punta = 117278.1 daN, P.P.Palo = 16964.6 daN

Nq = 7.91, σ punta = 4.74, Nc = 18.99, c punta = 0.21

N lim palo: compressione (-) = -268103.2 daN, trazione (+) = 233045.3 daN

Cmb.	Palo	coord.X	coord.Y	N	Ver.N-	Ver.N+	Stato
n.	n.	cm	cm	daN			
100	1	0.000	0.000	-92360.0	0.535	----	Ok

Sollecitazioni:

Cmb	Tipologia	Sism.	N	Tx	Ty	Mx	My
n.			daN	daN	daN	daN cm	daN cm
100	SLV A2	Si	-92360.0	2206.6	-10460.0	-1096000.0	-78790.0

Elemento: 1732 - Palo singolo

Port. lat. = 367337.2 daN, Port. punta = 117278.1 daN, P.P.Palo = 16964.6 daN

Nq = 7.91, σ punta = 4.74, Nc = 18.99, c punta = 0.21

N lim palo: compressione (-) = -268103.2 daN, trazione (+) = 233045.3 daN

Cmb.	Palo	coord.X	coord.Y	N	Ver.N-	Ver.N+	Stato
n.	n.	cm	cm	daN			
101	1	0.000	0.000	-92820.0	0.538	----	Ok

Sollecitazioni:

Cmb	Tipologia	Sism.	N	Tx	Ty	Mx	My
n.			daN	daN	daN	daN cm	daN cm
101	SLV A2	Si	-92820.0	-728.5	9238.3	1027000.0	-168400.0

Elemento: 1787 - Palo singolo

Port. lat. = 367337.2 daN, Port. punta = 117278.1 daN, P.P.Palo = 16964.6 daN

Nq = 7.91, σ punta = 4.74, Nc = 18.99, c punta = 0.21

N lim palo: compressione (-) = -268103.2 daN, trazione (+) = 233045.3 daN

Cmb.	Palo	coord.X	coord.Y	N	Ver.N-	Ver.N+	Stato
n.	n.	cm	cm	daN			
100	1	0.000	0.000	-84750.0	0.491	----	Ok

Sollecitazioni:

Cmb	Tipologia	Sism.	N	Tx	Ty	Mx	My
n.			daN	daN	daN	daN cm	daN cm
100	SLV A2	Si	-84750.0	2060.6	-10510.0	-1112000.0	-36560.0

Elemento: 1788 - Palo singolo

Port. lat. = 367337.2 daN, Port. punta = 117278.1 daN, P.P.Palo = 16964.6 daN

Nq = 7.91, σ punta = 4.74, Nc = 18.99, c punta = 0.21

N lim palo: compressione (-) = -268103.2 daN, trazione (+) = 233045.3 daN

Cmb.	Palo	coord.X	coord.Y	N	Ver.N-	Ver.N+	Stato
n.	n.	cm	cm	daN			
101	1	0.000	0.000	-83070.0	0.481	----	Ok

Sollecitazioni:

Cmb	Tipologia	Sism.	N	Tx	Ty	Mx	My
n.			daN	daN	daN	daN cm	daN cm
101	SLV A2	Si	-83070.0	-896.7	9390.9	1030000.0	-147800.0

Elemento: 1843 - Palo singolo

Port. lat. = 367337.2 daN, Port. punta = 117278.1 daN, P.P.Palo = 16964.6 daN

Nq = 7.91, σ punta = 4.74, Nc = 18.99, c punta = 0.21

N lim palo: compressione (-) = -268103.2 daN, trazione (+) = 233045.3 daN

Cmb.	Palo	coord.X	coord.Y	N	Ver.N-	Ver.N+	Stato
n.	n.	cm	cm	daN			
100	1	0.000	0.000	-83290.0	0.482	----	Ok

Sollecitazioni:

Cmb	Tipologia	Sism.	N	Tx	Ty	Mx	My
n.			daN	daN	daN	daN cm	daN cm
100	SLV A2	Si	-83290.0	1878.8	-10610.0	-1142000.0	16770.0

Elemento: 1844 - Palo singolo

Port. lat. = 367337.2 daN, Port. punta = 117278.1 daN, P.P.Palo = 16964.6 daN

Nq = 7.91, σ punta = 4.74, Nc = 18.99, c punta = 0.21

N lim palo: compressione (-) = -268103.2 daN, trazione (+) = 233045.3 daN

Cmb.	Palo	coord.X	coord.Y	N	Ver.N-	Ver.N+	Stato
n.	n.	cm	cm	daN			
101	1	0.000	0.000	-78810.0	0.457	----	Ok

Sollecitazioni:

Cmb	Tipologia	Sism.	N	Tx	Ty	Mx	My
n.			daN	daN	daN	daN cm	daN cm
101	SLV A2	Si	-78810.0	-1201.4	9378.7	998900.0	-80850.0

Elemento: 1899 - Palo singolo

Port. lat. = 367337.2 daN, Port. punta = 117278.1 daN, P.P.Palo = 16964.6 daN

Nq = 7.91, σ punta = 4.74, Nc = 18.99, c punta = 0.21

N lim palo: compressione (-) = -268103.2 daN, trazione (+) = 233045.3 daN

Cmb.	Palo	coord.X	coord.Y	N	Ver.N-	Ver.N+	Stato
n.	n.	cm	cm	daN			
100	1	0.000	0.000	-88130.0	0.510	----	Ok

Sollecitazioni:

Cmb	Tipologia	Sism.	N	Tx	Ty	Mx	My
n.			daN	daN	daN	daN cm	daN cm
100	SLV A2	Si	-88130.0	1741.6	-10710.0	-1173000.0	58730.0

Elemento: 1900 - Palo singolo

Port. lat. = 367337.2 daN, Port. punta = 117278.1 daN, P.P.Palo = 16964.6 daN

Nq = 7.91, σ punta = 4.74, Nc = 18.99, c punta = 0.21

N lim palo: compressione (-) = -268103.2 daN, trazione (+) = 233045.3 daN

Cmb.	Palo	coord.X	coord.Y	N	Ver.N-	Ver.N+	Stato
n.	n.	cm	cm	daN			
101	1	0.000	0.000	-83420.0	0.483	----	Ok

Sollecitazioni:

Cmb	Tipologia	Sism.	N	Tx	Ty	Mx	My
n.			daN	daN	daN	daN cm	daN cm
101	SLV A2	Si	-83420.0	-1587.5	9277.4	954500.0	15990.0

Elemento: 1955 - Palo singolo

Port. lat. = 367337.2 daN, Port. punta = 117278.1 daN, P.P.Palo = 16964.6 daN

Nq = 7.91, σ punta = 4.74, Nc = 18.99, c punta = 0.21

N lim palo: compressione (-) = -268103.2 daN, trazione (+) = 233045.3 daN

Cmb.	Palo	coord.X	coord.Y	N	Ver.N-	Ver.N+	Stato
n.	n.	cm	cm	daN			
100	1	0.000	0.000	-96990.0	0.562	----	Ok

Sollecitazioni:

Cmb	Tipologia	Sism.	N	Tx	Ty	Mx	My
n.			daN	daN	daN	daN cm	daN cm
100	SLV A2	Si	-96990.0	1774.3	-10730.0	-1179000.0	53670.0

Elemento: 1956 - Palo singolo

Port. lat. = 367337.2 daN, Port. punta = 117278.1 daN, P.P.Palo = 16964.6 daN

$N_q = 7.91$, $\sigma_{punta} = 4.74$, $N_c = 18.99$, $c_{punta} = 0.21$

N lim palo: compressione (-) = -268103.2 daN, trazione (+) = 233045.3 daN

Cmb.	Palo	coord.X	coord.Y	N	Ver.N-	Ver.N+	Stato
n.	n.	cm	cm	daN			
101	1	0.000	0.000	-100800.0	0.584	----	Ok

Sollecitazioni:

Cmb	Tipologia	Sism.	N	Tx	Ty	Mx	My
n.			daN	daN	daN	daN cm	daN cm
101	SLV A2	Si	-100800.0	-2098.9	9110.0	900300.0	153000.0

Elemento: 2011 - Palo singolo

Port. lat. = 367337.2 daN, Port. punta = 117278.1 daN, P.P.Palo = 16964.6 daN

$N_q = 7.91$, $\sigma_{punta} = 4.74$, $N_c = 18.99$, $c_{punta} = 0.21$

N lim palo: compressione (-) = -268103.2 daN, trazione (+) = 233045.3 daN

Cmb.	Palo	coord.X	coord.Y	N	Ver.N-	Ver.N+	Stato
n.	n.	cm	cm	daN			
080	1	0.000	0.000	-112700.0	0.653	----	Ok

Sollecitazioni:

Cmb	Tipologia	Sism.	N	Tx	Ty	Mx	My
n.			daN	daN	daN	daN cm	daN cm
080	SLV A2	Si	-112700.0	6131.8	-5552.7	-682200.0	-622500.0

Elemento: 2012 - Palo singolo

Port. lat. = 367337.2 daN, Port. punta = 117278.1 daN, P.P.Palo = 16964.6 daN

$N_q = 7.91$, $\sigma_{punta} = 4.74$, $N_c = 18.99$, $c_{punta} = 0.21$

N lim palo: compressione (-) = -268103.2 daN, trazione (+) = 233045.3 daN

Cmb.	Palo	coord.X	coord.Y	N	Ver.N-	Ver.N+	Stato
n.	n.	cm	cm	daN			
097	1	0.000	0.000	-135000.0	0.782	----	Ok

Sollecitazioni:

Cmb	Tipologia	Sism.	N	Tx	Ty	Mx	My
n.			daN	daN	daN	daN cm	daN cm
097	SLV A2	Si	-135000.0	-2561.8	9093.2	880600.0	297600.0

Elemento: 2068 - Palo singolo

Port. lat. = 327798.0 daN, Port. punta = 112953.3 daN, P.P.Palo = 16964.6 daN

$N_q = 8.08$, $\sigma_{punta} = 4.44$, $N_c = 19.44$, $c_{punta} = 0.21$

N lim palo: compressione (-) = -242300.8 daN, trazione (+) = 209786.9 daN

Cmb.	Palo	coord.X	coord.Y	N	Ver.N-	Ver.N+	Stato
n.	n.	cm	cm	daN			
104	1	0.000	0.000	-38920.0	0.251	----	Ok

Sollecitazioni:

Cmb	Tipologia	Sism.	N	Tx	Ty	Mx	My
n.			daN	daN	daN	daN cm	daN cm
104	SLV A2	Si	-38920.0	10670.0	-15000.0	-2123000.0	-1690000.0

Elemento: 2071 - Palo singolo

Port. lat. = 327798.0 daN, Port. punta = 112953.3 daN, P.P.Palo = 16964.6 daN

$N_q = 8.08$, $\sigma_{punta} = 4.44$, $N_c = 19.44$, $c_{punta} = 0.21$

N lim palo: compressione (-) = -242300.8 daN, trazione (+) = 209786.9 daN

Cmb.	Palo	coord.X	coord.Y	N	Ver.N-	Ver.N+	Stato
n.	n.	cm	cm	daN			
091	1	0.000	0.000	-43040.0	0.277	----	Ok

100 SLV A2 Si -77520.0 2748.8 -12770.0 -1432000.0 -101800.0

Elemento: 2122 - Palo singolo

Port. lat. = 347488.5 daN, Port. punta = 115125.9 daN, P.P.Palo = 16964.6 daN

Nq = 7.99, σ punta = 4.59, Nc = 19.21, c punta = 0.21

N lim palo: compressione (-) = -255161.5 daN, trazione (+) = 221369.6 daN

Cmb.	Palo	coord.X	coord.Y	N	Ver.N-	Ver.N+	Stato
n.	n.	cm	cm	daN			
101	1	0.000	0.000	-77240.0	0.471	----	Ok

Sollecitazioni:

Cmb	Tipologia	Sism.	N	Tx	Ty	Mx	My
n.			daN	daN	daN	daN cm	daN cm
101	SLV A2	Si	-77240.0	-2610.4	12710.0	1426000.0	75480.0

Elemento: 2123 - Palo singolo

Port. lat. = 347488.5 daN, Port. punta = 115125.9 daN, P.P.Palo = 16964.6 daN

Nq = 7.99, σ punta = 4.59, Nc = 19.21, c punta = 0.21

N lim palo: compressione (-) = -255161.5 daN, trazione (+) = 221369.6 daN

Cmb.	Palo	coord.X	coord.Y	N	Ver.N-	Ver.N+	Stato
n.	n.	cm	cm	daN			
100	1	0.000	0.000	-75660.0	0.462	----	Ok

Sollecitazioni:

Cmb	Tipologia	Sism.	N	Tx	Ty	Mx	My
n.			daN	daN	daN	daN cm	daN cm
100	SLV A2	Si	-75660.0	2505.9	-12480.0	-1410000.0	-57090.0

Elemento: 2124 - Palo singolo

Port. lat. = 347488.5 daN, Port. punta = 115125.9 daN, P.P.Palo = 16964.6 daN

Nq = 7.99, σ punta = 4.59, Nc = 19.21, c punta = 0.21

N lim palo: compressione (-) = -255161.5 daN, trazione (+) = 221369.6 daN

Cmb.	Palo	coord.X	coord.Y	N	Ver.N-	Ver.N+	Stato
n.	n.	cm	cm	daN			
101	1	0.000	0.000	-78330.0	0.478	----	Ok

Sollecitazioni:

Cmb	Tipologia	Sism.	N	Tx	Ty	Mx	My
n.			daN	daN	daN	daN cm	daN cm
101	SLV A2	Si	-78330.0	-2446.7	12540.0	1420000.0	48610.0

Elemento: 2125 - Palo singolo

Port. lat. = 347488.5 daN, Port. punta = 115125.9 daN, P.P.Palo = 16964.6 daN

Nq = 7.99, σ punta = 4.59, Nc = 19.21, c punta = 0.21

N lim palo: compressione (-) = -255161.5 daN, trazione (+) = 221369.6 daN

Cmb.	Palo	coord.X	coord.Y	N	Ver.N-	Ver.N+	Stato
n.	n.	cm	cm	daN			
100	1	0.000	0.000	-76060.0	0.464	----	Ok

Sollecitazioni:

Cmb	Tipologia	Sism.	N	Tx	Ty	Mx	My
n.			daN	daN	daN	daN cm	daN cm
100	SLV A2	Si	-76060.0	2353.3	-12080.0	-1369000.0	-42920.0

Elemento: 2126 - Palo singolo

Port. lat. = 347488.5 daN, Port. punta = 115125.9 daN, P.P.Palo = 16964.6 daN

Nq = 7.99, σ punta = 4.59, Nc = 19.21, c punta = 0.21

N lim palo: compressione (-) = -255161.5 daN, trazione (+) = 221369.6 daN

Cmb.	Palo	coord.X	coord.Y	N	Ver.N-	Ver.N+	Stato
n.	n.	cm	cm	daN			
101	1	0.000	0.000	-78830.0	0.481	----	Ok

Sollecitazioni:

Cmb	Tipologia	Sism.	N	Tx	Ty	Mx	My
n.			daN	daN	daN	daN cm	daN cm
101	SLV A2	Si	-78830.0	-2420.4	12230.0	1385000.0	61650.0

Elemento: 2127 - Palo singolo

Port. lat. = 347488.5 daN, Port. punta = 115125.9 daN, P.P.Palo = 16964.6 daN

Nq = 7.99, σ punta = 4.59, Nc = 19.21, c punta = 0.21

N lim palo: compressione (-) = -255161.5 daN, trazione (+) = 221369.6 daN

Cmb.	Palo	coord.X	coord.Y	N	Ver.N-	Ver.N+	Stato
n.	n.	cm	cm	daN			
100	1	0.000	0.000	-75860.0	0.463	----	Ok

Sollecitazioni:

Cmb	Tipologia	Sism.	N	Tx	Ty	Mx	My
n.			daN	daN	daN	daN cm	daN cm
100	SLV A2	Si	-75860.0	-385.4	-11560.0	-1303000.0	352000.0

Elemento: 2128 - Palo singolo

Port. lat. = 347488.5 daN, Port. punta = 115125.9 daN, P.P.Palo = 16964.6 daN

Nq = 7.99, σ punta = 4.59, Nc = 19.21, c punta = 0.21

N lim palo: compressione (-) = -255161.5 daN, trazione (+) = 221369.6 daN

Cmb.	Palo	coord.X	coord.Y	N	Ver.N-	Ver.N+	Stato
n.	n.	cm	cm	daN			
101	1	0.000	0.000	-82520.0	0.504	----	Ok

Sollecitazioni:

Cmb	Tipologia	Sism.	N	Tx	Ty	Mx	My
n.			daN	daN	daN	daN cm	daN cm
101	SLV A2	Si	-82520.0	-126.6	11810.0	1328000.0	-255400.0

Elemento: 2129 - Palo singolo

Port. lat. = 347488.5 daN, Port. punta = 115125.9 daN, P.P.Palo = 16964.6 daN

Nq = 7.99, σ punta = 4.59, Nc = 19.21, c punta = 0.21

N lim palo: compressione (-) = -255161.5 daN, trazione (+) = 221369.6 daN

Cmb.	Palo	coord.X	coord.Y	N	Ver.N-	Ver.N+	Stato
n.	n.	cm	cm	daN			
100	1	0.000	0.000	-69960.0	0.427	----	Ok

Sollecitazioni:

Cmb	Tipologia	Sism.	N	Tx	Ty	Mx	My
n.			daN	daN	daN	daN cm	daN cm
100	SLV A2	Si	-69960.0	146.6	-10800.0	-1176000.0	214800.0

Elemento: 2130 - Palo singolo

Port. lat. = 347488.5 daN, Port. punta = 115125.9 daN, P.P.Palo = 16964.6 daN

Nq = 7.99, σ punta = 4.59, Nc = 19.21, c punta = 0.21

N lim palo: compressione (-) = -255161.5 daN, trazione (+) = 221369.6 daN

Cmb.	Palo	coord.X	coord.Y	N	Ver.N-	Ver.N+	Stato
n.	n.	cm	cm	daN			
101	1	0.000	0.000	-90680.0	0.553	----	Ok

Sollecitazioni:

Cmb	Tipologia	Sism.	N	Tx	Ty	Mx	My
n.			daN	daN	daN	daN cm	daN cm
101	SLV A2	Si	-90680.0	-425.5	11440.0	1294000.0	-184700.0

Elemento: 2131 - Palo singolo

Port. lat. = 347488.5 daN, Port. punta = 115125.9 daN, P.P.Palo = 16964.6 daN

Nq = 7.99, σ punta = 4.59, Nc = 19.21, c punta = 0.21

N lim palo: compressione (-) = -255161.5 daN, trazione (+) = 221369.6 daN

Cmb.	Palo	coord.X	coord.Y	N	Ver.N-	Ver.N+	Stato
n.	n.	cm	cm	daN			
079	1	0.000	0.000	-66550.0	0.406	----	Ok

Sollecitazioni:

Cmb	Tipologia	Sism.	N	Tx	Ty	Mx	My
n.			daN	daN	daN	daN cm	daN cm
079	SLV A2	Si	-66550.0	9650.5	6327.8	900700.0	-1342000.0

Elemento: 2132 - Palo singolo

Port. lat. = 347488.5 daN, Port. punta = 115125.9 daN, P.P.Palo = 16964.6 daN

Nq = 7.99, σ punta = 4.59, Nc = 19.21, c punta = 0.21

N lim palo: compressione (-) = -255161.5 daN, trazione (+) = 221369.6 daN

Cmb.	Palo	coord.X	coord.Y	N	Ver.N-	Ver.N+	Stato
n.	n.	cm	cm	daN			
101	1	0.000	0.000	-100900.0	0.616	----	Ok

Sollecitazioni:

Cmb	Tipologia	Sism.	N	Tx	Ty	Mx	My
n.			daN	daN	daN	daN cm	daN cm
101	SLV A2	Si	-100900.0	-706.7	10870.0	1202000.0	-95610.0

Elemento: 2603 - Palo singolo

Port. lat. = 327798.0 daN, Port. punta = 112953.3 daN, P.P.Palo = 16964.6 daN

Nq = 8.08, σ punta = 4.44, Nc = 19.44, c punta = 0.21

N lim palo: compressione (-) = -242300.8 daN, trazione (+) = 209786.9 daN

Cmb.	Palo	coord.X	coord.Y	N	Ver.N-	Ver.N+	Stato
n.	n.	cm	cm	daN			
094	1	0.000	0.000	-49060.0	0.316	----	Ok

Sollecitazioni:

Cmb	Tipologia	Sism.	N	Tx	Ty	Mx	My
n.			daN	daN	daN	daN cm	daN cm
094	SLV A2	Si	-49060.0	-18530.0	-1165.4	-178300.0	2942000.0

Elemento: 2607 - Palo singolo

Port. lat. = 327798.0 daN, Port. punta = 112953.3 daN, P.P.Palo = 16964.6 daN

Nq = 8.08, σ punta = 4.44, Nc = 19.44, c punta = 0.21

N lim palo: compressione (-) = -242300.8 daN, trazione (+) = 209786.9 daN

Cmb.	Palo	coord.X	coord.Y	N	Ver.N-	Ver.N+	Stato
n.	n.	cm	cm	daN			
110	1	0.000	0.000	-51290.0	0.331	----	Ok

Sollecitazioni:

Cmb	Tipologia	Sism.	N	Tx	Ty	Mx	My
n.			daN	daN	daN	daN cm	daN cm
110	SLV A2	Si	-51290.0	-8243.9	-11830.0	-1838000.0	1376000.0

Elemento: 2624 - Palo singolo

Port. lat. = 327798.0 daN, Port. punta = 112953.3 daN, P.P.Palo = 16964.6 daN

Nq = 8.08, σ punta = 4.44, Nc = 19.44, c punta = 0.21

N lim palo: compressione (-) = -242300.8 daN, trazione (+) = 209786.9 daN

Cmb.	Palo	coord.X	coord.Y	N	Ver.N-	Ver.N+	Stato
n.	n.	cm	cm	daN			
104	1	0.000	0.000	-57880.0	0.373	----	Ok

Sollecitazioni:

Cmb	Tipologia	Sism.	N	Tx	Ty	Mx	My
n.			daN	daN	daN	daN cm	daN cm
104	SLV A2	Si	-57880.0	2407.6	-14220.0	-2145000.0	-304900.0

Elemento: 2722 - Palo singolo

Port. lat. = 327798.0 daN, Port. punta = 112953.3 daN, P.P.Palo = 16964.6 daN

Nq = 8.08, σ punta = 4.44, Nc = 19.44, c punta = 0.21

N lim palo: compressione (-) = -242300.8 daN, trazione (+) = 209786.9 daN

Cmb.	Palo	coord.X	coord.Y	N	Ver.N-	Ver.N+	Stato
n.	n.	cm	cm	daN			
110	1	0.000	0.000	-48190.0	0.311	----	Ok

Sollecitazioni:

Cmb	Tipologia	Sism.	N	Tx	Ty	Mx	My
n.			daN	daN	daN	daN cm	daN cm
110	SLV A2	Si	-48190.0	-8149.2	-14190.0	-2134000.0	1382000.0

Elemento: 2723 - Palo singolo

Port. lat. = 327798.0 daN, Port. punta = 112953.3 daN, P.P.Palo = 16964.6 daN

Nq = 8.08, σ punta = 4.44, Nc = 19.44, c punta = 0.21

N lim palo: compressione (-) = -242300.8 daN, trazione (+) = 209786.9 daN

Cmb.	Palo	coord.X	coord.Y	N	Ver.N-	Ver.N+	Stato
n.	n.	cm	cm	daN			

104	1	0.000	0.000	-70390.0	0.454	----	Ok
Sollecitazioni:							
Cmb	Tipologia	Sism.	N	Tx	Ty	Mx	My
n.			daN	daN	daN	daN cm	daN cm
104	SLV A2	Si	-70390.0	2123.1	-14730.0	-2203000.0	-218900.0

Elemento: 2724 - Palo singolo

Port. lat. = 327798.0 daN, Port. punta = 112953.3 daN, P.P.Palo = 16964.6 daN

Nq = 8.08, σ punta = 4.44, Nc = 19.44, c punta = 0.21

N lim palo: compressione (-) = -242300.8 daN, trazione (+) = 209786.9 daN

Cmb.	Palo	coord.X	coord.Y	N	Ver.N-	Ver.N+	Stato
n.	n.	cm	cm	daN			
089	1	0.000	0.000	-50190.0	0.324	----	Ok

Sollecitazioni:

Cmb	Tipologia	Sism.	N	Tx	Ty	Mx	My
n.			daN	daN	daN	daN cm	daN cm
089	SLV A2	Si	-50190.0	-16610.0	-2112.3	-448900.0	2597000.0

Elemento: 2725 - Palo singolo

Port. lat. = 327798.0 daN, Port. punta = 112953.3 daN, P.P.Palo = 16964.6 daN

Nq = 8.08, σ punta = 4.44, Nc = 19.44, c punta = 0.21

N lim palo: compressione (-) = -242300.8 daN, trazione (+) = 209786.9 daN

Cmb.	Palo	coord.X	coord.Y	N	Ver.N-	Ver.N+	Stato
n.	n.	cm	cm	daN			
104	1	0.000	0.000	-72770.0	0.469	----	Ok

Sollecitazioni:

Cmb	Tipologia	Sism.	N	Tx	Ty	Mx	My
n.			daN	daN	daN	daN cm	daN cm
104	SLV A2	Si	-72770.0	1924.9	-15420.0	-2276000.0	-141100.0

Elemento: 2726 - Palo singolo

Port. lat. = 327798.0 daN, Port. punta = 112953.3 daN, P.P.Palo = 16964.6 daN

Nq = 8.08, σ punta = 4.44, Nc = 19.44, c punta = 0.21

N lim palo: compressione (-) = -242300.8 daN, trazione (+) = 209786.9 daN

Cmb.	Palo	coord.X	coord.Y	N	Ver.N-	Ver.N+	Stato
n.	n.	cm	cm	daN			
085	1	0.000	0.000	-52700.0	0.340	----	Ok

Sollecitazioni:

Cmb	Tipologia	Sism.	N	Tx	Ty	Mx	My
n.			daN	daN	daN	daN cm	daN cm
085	SLV A2	Si	-52700.0	-15820.0	7322.1	1005000.0	2400000.0

Elemento: 2727 - Palo singolo

Port. lat. = 327798.0 daN, Port. punta = 112953.3 daN, P.P.Palo = 16964.6 daN

Nq = 8.08, σ punta = 4.44, Nc = 19.44, c punta = 0.21

N lim palo: compressione (-) = -242300.8 daN, trazione (+) = 209786.9 daN

Cmb.	Palo	coord.X	coord.Y	N	Ver.N-	Ver.N+	Stato
n.	n.	cm	cm	daN			
104	1	0.000	0.000	-76150.0	0.491	----	Ok

Sollecitazioni:

Cmb	Tipologia	Sism.	N	Tx	Ty	Mx	My
n.			daN	daN	daN	daN cm	daN cm
104	SLV A2	Si	-76150.0	1533.4	-16280.0	-2384000.0	-55340.0

Elemento: 2728 - Palo singolo

Port. lat. = 327798.0 daN, Port. punta = 112953.3 daN, P.P.Palo = 16964.6 daN

Nq = 8.08, σ punta = 4.44, Nc = 19.44, c punta = 0.21

N lim palo: compressione (-) = -242300.8 daN, trazione (+) = 209786.9 daN

Cmb.	Palo	coord.X	coord.Y	N	Ver.N-	Ver.N+	Stato
n.	n.	cm	cm	daN			
105	1	0.000	0.000	-50380.0	0.325	----	Ok

Sollecitazioni:

Cmb	Tipologia	Sism.	N	Tx	Ty	Mx	My
------------	------------------	--------------	----------	-----------	-----------	-----------	-----------

n.			daN	daN	daN	daN cm	daN cm
105	SLV A2	Si	-50380.0	-7804.3	17380.0	2600000.0	1104000.0

Elemento: 2729 - Palo singolo

Port. lat. = 327798.0 daN, Port. punta = 112953.3 daN, P.P.Palo = 16964.6 daN

Nq = 8.08, σ punta = 4.44, Nc = 19.44, c punta = 0.21

N lim palo: compressione (-) = -242300.8 daN, trazione (+) = 209786.9 daN

Cmb.	Palo	coord.X	coord.Y	N	Ver.N-	Ver.N+	Stato
n.	n.	cm	cm	daN			
104	1	0.000	0.000	-77660.0	0.501	----	Ok

Sollecitazioni:

Cmb	Tipologia	Sism.	N	Tx	Ty	Mx	My
n.			daN	daN	daN	daN cm	daN cm
104	SLV A2	Si	-77660.0	6669.1	-17390.0	-2550000.0	-901000.0

Elemento: 2730 - Palo singolo

Port. lat. = 327798.0 daN, Port. punta = 112953.3 daN, P.P.Palo = 16964.6 daN

Nq = 8.08, σ punta = 4.44, Nc = 19.44, c punta = 0.21

N lim palo: compressione (-) = -242300.8 daN, trazione (+) = 209786.9 daN

Cmb.	Palo	coord.X	coord.Y	N	Ver.N-	Ver.N+	Stato
n.	n.	cm	cm	daN			
091	1	0.000	0.000	-49950.0	0.322	----	Ok

Sollecitazioni:

Cmb	Tipologia	Sism.	N	Tx	Ty	Mx	My
n.			daN	daN	daN	daN cm	daN cm
091	SLV A2	Si	-49950.0	15320.0	10170.0	1677000.0	-2385000.0

Elemento: 2731 - Palo singolo

Port. lat. = 327798.0 daN, Port. punta = 112953.3 daN, P.P.Palo = 16964.6 daN

Nq = 8.08, σ punta = 4.44, Nc = 19.44, c punta = 0.21

N lim palo: compressione (-) = -242300.8 daN, trazione (+) = 209786.9 daN

Cmb.	Palo	coord.X	coord.Y	N	Ver.N-	Ver.N+	Stato
n.	n.	cm	cm	daN			
104	1	0.000	0.000	-73540.0	0.474	----	Ok

Sollecitazioni:

Cmb	Tipologia	Sism.	N	Tx	Ty	Mx	My
n.			daN	daN	daN	daN cm	daN cm
104	SLV A2	Si	-73540.0	7867.7	-18890.0	-2809000.0	-1146000.0

Elemento: 2732 - Palo singolo

Port. lat. = 327798.0 daN, Port. punta = 112953.3 daN, P.P.Palo = 16964.6 daN

Nq = 8.08, σ punta = 4.44, Nc = 19.44, c punta = 0.21

N lim palo: compressione (-) = -242300.8 daN, trazione (+) = 209786.9 daN

Cmb.	Palo	coord.X	coord.Y	N	Ver.N-	Ver.N+	Stato
n.	n.	cm	cm	daN			
084	1	0.000	0.000	-67650.0	0.436	----	Ok

Sollecitazioni:

Cmb	Tipologia	Sism.	N	Tx	Ty	Mx	My
n.			daN	daN	daN	daN cm	daN cm
084	SLV A2	Si	-67650.0	17950.0	-8934.8	-1308000.0	-2806000.0

Elemento: 2734 - Palo singolo

Port. lat. = 327798.0 daN, Port. punta = 112953.3 daN, P.P.Palo = 16964.6 daN

Nq = 8.08, σ punta = 4.44, Nc = 19.44, c punta = 0.21

N lim palo: compressione (-) = -242300.8 daN, trazione (+) = 209786.9 daN

Cmb.	Palo	coord.X	coord.Y	N	Ver.N-	Ver.N+	Stato
n.	n.	cm	cm	daN			
091	1	0.000	0.000	-56700.0	0.366	----	Ok

Sollecitazioni:

Cmb	Tipologia	Sism.	N	Tx	Ty	Mx	My
n.			daN	daN	daN	daN cm	daN cm
091	SLV A2	Si	-56700.0	15080.0	2294.4	391400.0	-2367000.0

Elemento: 2735 - Palo singolo

Port. lat. = 327798.0 daN, Port. punta = 112953.3 daN, P.P.Palo = 16964.6 daN

Nq = 8.08, σ_{punta} = 4.44, Nc = 19.44, c punta = 0.21

N lim palo: compressione (-) = -242300.8 daN, trazione (+) = 209786.9 daN

Cmb.	Palo	coord.X	coord.Y	N	Ver.N-	Ver.N+	Stato
n.	n.	cm	cm	daN			
091	1	0.000	0.000	-67870.0	0.438	----	Ok

Sollecitazioni:

Cmb	Tipologia	Sism.	N	Tx	Ty	Mx	My
n.			daN	daN	daN	daN cm	daN cm
091	SLV A2	Si	-67870.0	15040.0	2265.4	345900.0	-2359000.0

Elemento: 2783 - Palo singolo

Port. lat. = 327798.0 daN, Port. punta = 112953.3 daN, P.P.Palo = 16964.6 daN

Nq = 8.08, σ_{punta} = 4.44, Nc = 19.44, c punta = 0.21

N lim palo: compressione (-) = -242300.8 daN, trazione (+) = 209786.9 daN

Cmb.	Palo	coord.X	coord.Y	N	Ver.N-	Ver.N+	Stato
n.	n.	cm	cm	daN			
107	1	0.000	0.000	-65570.0	0.423	----	Ok

Sollecitazioni:

Cmb	Tipologia	Sism.	N	Tx	Ty	Mx	My
n.			daN	daN	daN	daN cm	daN cm
107	SLV A2	Si	-65570.0	-1981.4	18220.0	2824000.0	345700.0

Elemento: 3015 - Palo singolo

Port. lat. = 327798.0 daN, Port. punta = 112953.3 daN, P.P.Palo = 16964.6 daN

Nq = 8.08, σ_{punta} = 4.44, Nc = 19.44, c punta = 0.21

N lim palo: compressione (-) = -242300.8 daN, trazione (+) = 209786.9 daN

Cmb.	Palo	coord.X	coord.Y	N	Ver.N-	Ver.N+	Stato
n.	n.	cm	cm	daN			
107	1	0.000	0.000	-72180.0	0.465	----	Ok

Sollecitazioni:

Cmb	Tipologia	Sism.	N	Tx	Ty	Mx	My
n.			daN	daN	daN	daN cm	daN cm
107	SLV A2	Si	-72180.0	-1926.1	19910.0	3092000.0	333200.0

Elemento: 3017 - Palo singolo

Port. lat. = 327798.0 daN, Port. punta = 112953.3 daN, P.P.Palo = 16964.6 daN

Nq = 8.08, σ_{punta} = 4.44, Nc = 19.44, c punta = 0.21

N lim palo: compressione (-) = -242300.8 daN, trazione (+) = 209786.9 daN

Cmb.	Palo	coord.X	coord.Y	N	Ver.N-	Ver.N+	Stato
n.	n.	cm	cm	daN			
105	1	0.000	0.000	-48070.0	0.310	----	Ok

Sollecitazioni:

Cmb	Tipologia	Sism.	N	Tx	Ty	Mx	My
n.			daN	daN	daN	daN cm	daN cm
105	SLV A2	Si	-48070.0	-12010.0	13780.0	2161000.0	1942000.0

Elemento: 3019 - Palo singolo

Port. lat. = 327798.0 daN, Port. punta = 112953.3 daN, P.P.Palo = 16964.6 daN

Nq = 8.08, σ_{punta} = 4.44, Nc = 19.44, c punta = 0.21

N lim palo: compressione (-) = -242300.8 daN, trazione (+) = 209786.9 daN

Cmb.	Palo	coord.X	coord.Y	N	Ver.N-	Ver.N+	Stato
n.	n.	cm	cm	daN			
105	1	0.000	0.000	-50880.0	0.328	----	Ok

Sollecitazioni:

Cmb	Tipologia	Sism.	N	Tx	Ty	Mx	My
n.			daN	daN	daN	daN cm	daN cm
105	SLV A2	Si	-50880.0	-12170.0	14190.0	2169000.0	1993000.0

Elemento: 3022 - Palo singolo

Port. lat. = 327798.0 daN, Port. punta = 112953.3 daN, P.P.Palo = 16964.6 daN

Nq = 8.08, σ punta = 4.44, Nc = 19.44, c punta = 0.21

N lim palo: compressione (-) = -242300.8 daN, trazione (+) = 209786.9 daN

Cmb.	Palo	coord.X	coord.Y	N	Ver.N-	Ver.N+	Stato
n.	n.	cm	cm	daN			
105	1	0.000	0.000	-55450.0	0.358	----	Ok

Sollecitazioni:

Cmb	Tipologia	Sism.	N	Tx	Ty	Mx	My
n.			daN	daN	daN	daN cm	daN cm
105	SLV A2	Si	-55450.0	-12150.0	14880.0	2215000.0	1981000.0

Elemento: 3027 - Palo singolo

Port. lat. = 327798.0 daN, Port. punta = 112953.3 daN, P.P.Palo = 16964.6 daN

Nq = 8.08, σ punta = 4.44, Nc = 19.44, c punta = 0.21

N lim palo: compressione (-) = -242300.8 daN, trazione (+) = 209786.9 daN

Cmb.	Palo	coord.X	coord.Y	N	Ver.N-	Ver.N+	Stato
n.	n.	cm	cm	daN			
110	1	0.000	0.000	-38120.0	0.246	----	Ok

Sollecitazioni:

Cmb	Tipologia	Sism.	N	Tx	Ty	Mx	My
n.			daN	daN	daN	daN cm	daN cm
110	SLV A2	Si	-38120.0	-7838.4	-12000.0	-1877000.0	1272000.0

Elemento: 3030 - Palo singolo

Port. lat. = 327798.0 daN, Port. punta = 112953.3 daN, P.P.Palo = 16964.6 daN

Nq = 8.08, σ punta = 4.44, Nc = 19.44, c punta = 0.21

N lim palo: compressione (-) = -242300.8 daN, trazione (+) = 209786.9 daN

Cmb.	Palo	coord.X	coord.Y	N	Ver.N-	Ver.N+	Stato
n.	n.	cm	cm	daN			
006	1	0.000	0.000	-31040.0	0.200	----	Ok

Sollecitazioni:

Cmb	Tipologia	Sism.	N	Tx	Ty	Mx	My
n.			daN	daN	daN	daN cm	daN cm
006	SLU A2	No	-31040.0	-396.6	-204.8	-21260.0	76380.0

Elemento: 3033 - Palo singolo

Port. lat. = 327798.0 daN, Port. punta = 112953.3 daN, P.P.Palo = 16964.6 daN

Nq = 8.08, σ punta = 4.44, Nc = 19.44, c punta = 0.21

N lim palo: compressione (-) = -242300.8 daN, trazione (+) = 209786.9 daN

Cmb.	Palo	coord.X	coord.Y	N	Ver.N-	Ver.N+	Stato
n.	n.	cm	cm	daN			
085	1	0.000	0.000	-37620.0	0.243	----	Ok

Sollecitazioni:

Cmb	Tipologia	Sism.	N	Tx	Ty	Mx	My
n.			daN	daN	daN	daN cm	daN cm
085	SLV A2	Si	-37620.0	-18200.0	8466.5	1312000.0	2834000.0

Elemento: 3036 - Palo singolo

Port. lat. = 327798.0 daN, Port. punta = 112953.3 daN, P.P.Palo = 16964.6 daN

Nq = 8.08, σ punta = 4.44, Nc = 19.44, c punta = 0.21

N lim palo: compressione (-) = -242300.8 daN, trazione (+) = 209786.9 daN

Cmb.	Palo	coord.X	coord.Y	N	Ver.N-	Ver.N+	Stato
n.	n.	cm	cm	daN			
085	1	0.000	0.000	-48070.0	0.310	----	Ok

Sollecitazioni:

Cmb	Tipologia	Sism.	N	Tx	Ty	Mx	My
n.			daN	daN	daN	daN cm	daN cm
085	SLV A2	Si	-48070.0	-18210.0	8530.2	1358000.0	2840000.0

Elemento: 3039 - Palo singolo

Port. lat. = 327798.0 daN, Port. punta = 112953.3 daN, P.P.Palo = 16964.6 daN

Nq = 8.08, σ punta = 4.44, Nc = 19.44, c punta = 0.21

N lim palo: compressione (-) = -242300.8 daN, trazione (+) = 209786.9 daN

Cmb.	Palo	coord.X	coord.Y	N	Ver.N-	Ver.N+	Stato
n.	n.	cm	cm	daN			
085	1	0.000	0.000	-46940.0	0.303	----	Ok

Sollecitazioni:

Cmb	Tipologia	Sism.	N	Tx	Ty	Mx	My
n.			daN	daN	daN	daN cm	daN cm
085	SLV A2	Si	-46940.0	-17490.0	8545.7	1359000.0	2683000.0

Elemento: 3042 - Palo singolo

Port. lat. = 327798.0 daN, Port. punta = 112953.3 daN, P.P.Palo = 16964.6 daN

Nq = 8.08, σ punta = 4.44, Nc = 19.44, c punta = 0.21

N lim palo: compressione (-) = -242300.8 daN, trazione (+) = 209786.9 daN

Cmb.	Palo	coord.X	coord.Y	N	Ver.N-	Ver.N+	Stato
n.	n.	cm	cm	daN			
094	1	0.000	0.000	-47270.0	0.305	----	Ok

Sollecitazioni:

Cmb	Tipologia	Sism.	N	Tx	Ty	Mx	My
n.			daN	daN	daN	daN cm	daN cm
094	SLV A2	Si	-47270.0	-17630.0	-1145.6	-177900.0	2752000.0

Elemento: 3046 - Palo singolo

Port. lat. = 327798.0 daN, Port. punta = 112953.3 daN, P.P.Palo = 16964.6 daN

Nq = 8.08, σ punta = 4.44, Nc = 19.44, c punta = 0.21

N lim palo: compressione (-) = -242300.8 daN, trazione (+) = 209786.9 daN

Cmb.	Palo	coord.X	coord.Y	N	Ver.N-	Ver.N+	Stato
n.	n.	cm	cm	daN			
085	1	0.000	0.000	-47950.0	0.309	----	Ok

Sollecitazioni:

Cmb	Tipologia	Sism.	N	Tx	Ty	Mx	My
n.			daN	daN	daN	daN cm	daN cm
085	SLV A2	Si	-47950.0	-18790.0	8622.7	1384000.0	2962000.0

Elemento: 3048 - Palo singolo

Port. lat. = 327798.0 daN, Port. punta = 112953.3 daN, P.P.Palo = 16964.6 daN

Nq = 8.08, σ punta = 4.44, Nc = 19.44, c punta = 0.21

N lim palo: compressione (-) = -242300.8 daN, trazione (+) = 209786.9 daN

Cmb.	Palo	coord.X	coord.Y	N	Ver.N-	Ver.N+	Stato
n.	n.	cm	cm	daN			
100	1	0.000	0.000	-61150.0	0.394	----	Ok

Sollecitazioni:

Cmb	Tipologia	Sism.	N	Tx	Ty	Mx	My
n.			daN	daN	daN	daN cm	daN cm
100	SLV A2	Si	-61150.0	11850.0	-17600.0	-2605000.0	-1907000.0

Elemento: 3051 - Palo singolo

Port. lat. = 327798.0 daN, Port. punta = 112953.3 daN, P.P.Palo = 16964.6 daN

Nq = 8.08, σ punta = 4.44, Nc = 19.44, c punta = 0.21

N lim palo: compressione (-) = -242300.8 daN, trazione (+) = 209786.9 daN

Cmb.	Palo	coord.X	coord.Y	N	Ver.N-	Ver.N+	Stato
n.	n.	cm	cm	daN			
098	1	0.000	0.000	-63980.0	0.413	----	Ok

Sollecitazioni:

Cmb	Tipologia	Sism.	N	Tx	Ty	Mx	My
n.			daN	daN	daN	daN cm	daN cm
098	SLV A2	Si	-63980.0	1660.5	-17570.0	-2660000.0	-280800.0

Elemento: 3055 - Palo singolo

Port. lat. = 327798.0 daN, Port. punta = 112953.3 daN, P.P.Palo = 16964.6 daN

Nq = 8.08, σ punta = 4.44, Nc = 19.44, c punta = 0.21

N lim palo: compressione (-) = -242300.8 daN, trazione (+) = 209786.9 daN

Cmb.	Palo	coord.X	coord.Y	N	Ver.N-	Ver.N+	Stato
n.	n.	cm	cm	daN			
088	1	0.000	0.000	-37740.0	0.243	----	Ok

095 SLV A2 Si -53240.0 8174.2 13500.0 2101000.0 -1366000.0

Elemento: 3107 - Palo singolo

Port. lat. = 327798.0 daN, Port. punta = 112953.3 daN, P.P.Palo = 16964.6 daN

Nq = 8.08, σ punta = 4.44, Nc = 19.44, c punta = 0.21

N lim palo: compressione (-) = -242300.8 daN, trazione (+) = 209786.9 daN

Cmb.	Palo	coord.X	coord.Y	N	Ver.N-	Ver.N+	Stato
n.	n.	cm	cm	daN			
095	1	0.000	0.000	-59970.0	0.387	----	Ok

Sollecitazioni:

Cmb	Tipologia	Sism.	N	Tx	Ty	Mx	My
n.			daN	daN	daN	daN cm	daN cm
095	SLV A2	Si	-59970.0	8189.8	16040.0	2467000.0	-1369000.0

Elemento: 3205 - Palo singolo

Port. lat. = 327798.0 daN, Port. punta = 112953.3 daN, P.P.Palo = 16964.6 daN

Nq = 8.08, σ punta = 4.44, Nc = 19.44, c punta = 0.21

N lim palo: compressione (-) = -242300.8 daN, trazione (+) = 209786.9 daN

Cmb.	Palo	coord.X	coord.Y	N	Ver.N-	Ver.N+	Stato
n.	n.	cm	cm	daN			
095	1	0.000	0.000	-49250.0	0.318	----	Ok

Sollecitazioni:

Cmb	Tipologia	Sism.	N	Tx	Ty	Mx	My
n.			daN	daN	daN	daN cm	daN cm
095	SLV A2	Si	-49250.0	8067.1	16090.0	2421000.0	-1374000.0

Elemento: 3206 - Palo singolo

Port. lat. = 327798.0 daN, Port. punta = 112953.3 daN, P.P.Palo = 16964.6 daN

Nq = 8.08, σ punta = 4.44, Nc = 19.44, c punta = 0.21

N lim palo: compressione (-) = -242300.8 daN, trazione (+) = 209786.9 daN

Cmb.	Palo	coord.X	coord.Y	N	Ver.N-	Ver.N+	Stato
n.	n.	cm	cm	daN			
101	1	0.000	0.000	-73110.0	0.471	----	Ok

Sollecitazioni:

Cmb	Tipologia	Sism.	N	Tx	Ty	Mx	My
n.			daN	daN	daN	daN cm	daN cm
101	SLV A2	Si	-73110.0	-2217.5	16340.0	2449000.0	228100.0

Elemento: 3207 - Palo singolo

Port. lat. = 327798.0 daN, Port. punta = 112953.3 daN, P.P.Palo = 16964.6 daN

Nq = 8.08, σ punta = 4.44, Nc = 19.44, c punta = 0.21

N lim palo: compressione (-) = -242300.8 daN, trazione (+) = 209786.9 daN

Cmb.	Palo	coord.X	coord.Y	N	Ver.N-	Ver.N+	Stato
n.	n.	cm	cm	daN			
084	1	0.000	0.000	-50290.0	0.324	----	Ok

Sollecitazioni:

Cmb	Tipologia	Sism.	N	Tx	Ty	Mx	My
n.			daN	daN	daN	daN cm	daN cm
084	SLV A2	Si	-50290.0	16630.0	2202.3	466300.0	-2599000.0

Elemento: 3208 - Palo singolo

Port. lat. = 327798.0 daN, Port. punta = 112953.3 daN, P.P.Palo = 16964.6 daN

Nq = 8.08, σ punta = 4.44, Nc = 19.44, c punta = 0.21

N lim palo: compressione (-) = -242300.8 daN, trazione (+) = 209786.9 daN

Cmb.	Palo	coord.X	coord.Y	N	Ver.N-	Ver.N+	Stato
n.	n.	cm	cm	daN			
101	1	0.000	0.000	-75260.0	0.485	----	Ok

Sollecitazioni:

Cmb	Tipologia	Sism.	N	Tx	Ty	Mx	My
n.			daN	daN	daN	daN cm	daN cm
101	SLV A2	Si	-75260.0	-2055.8	17030.0	2519000.0	152500.0

Elemento: 3209 - Palo singolo

Port. lat. = 327798.0 daN, Port. punta = 112953.3 daN, P.P.Palo = 16964.6 daN

Nq = 8.08, σ punta = 4.44, Nc = 19.44, c punta = 0.21

N lim palo: compressione (-) = -242300.8 daN, trazione (+) = 209786.9 daN

Cmb.	Palo	coord.X	coord.Y	N	Ver.N-	Ver.N+	Stato
n.	n.	cm	cm	daN			
088	1	0.000	0.000	-52740.0	0.340	----	Ok

Sollecitazioni:

Cmb	Tipologia	Sism.	N	Tx	Ty	Mx	My
n.			daN	daN	daN	daN cm	daN cm
088	SLV A2	Si	-52740.0	16030.0	-7555.9	-1044000.0	-2433000.0

Elemento: 3210 - Palo singolo

Port. lat. = 327798.0 daN, Port. punta = 112953.3 daN, P.P.Palo = 16964.6 daN

Nq = 8.08, σ punta = 4.44, Nc = 19.44, c punta = 0.21

N lim palo: compressione (-) = -242300.8 daN, trazione (+) = 209786.9 daN

Cmb.	Palo	coord.X	coord.Y	N	Ver.N-	Ver.N+	Stato
n.	n.	cm	cm	daN			
101	1	0.000	0.000	-78610.0	0.507	----	Ok

Sollecitazioni:

Cmb	Tipologia	Sism.	N	Tx	Ty	Mx	My
n.			daN	daN	daN	daN cm	daN cm
101	SLV A2	Si	-78610.0	-1717.2	17900.0	2627000.0	73680.0

Elemento: 3211 - Palo singolo

Port. lat. = 327798.0 daN, Port. punta = 112953.3 daN, P.P.Palo = 16964.6 daN

Nq = 8.08, σ punta = 4.44, Nc = 19.44, c punta = 0.21

N lim palo: compressione (-) = -242300.8 daN, trazione (+) = 209786.9 daN

Cmb.	Palo	coord.X	coord.Y	N	Ver.N-	Ver.N+	Stato
n.	n.	cm	cm	daN			
100	1	0.000	0.000	-50750.0	0.327	----	Ok

Sollecitazioni:

Cmb	Tipologia	Sism.	N	Tx	Ty	Mx	My
n.			daN	daN	daN	daN cm	daN cm
100	SLV A2	Si	-50750.0	7503.8	-19040.0	-2851000.0	-1045000.0

Elemento: 3212 - Palo singolo

Port. lat. = 327798.0 daN, Port. punta = 112953.3 daN, P.P.Palo = 16964.6 daN

Nq = 8.08, σ punta = 4.44, Nc = 19.44, c punta = 0.21

N lim palo: compressione (-) = -242300.8 daN, trazione (+) = 209786.9 daN

Cmb.	Palo	coord.X	coord.Y	N	Ver.N-	Ver.N+	Stato
n.	n.	cm	cm	daN			
101	1	0.000	0.000	-80010.0	0.516	----	Ok

Sollecitazioni:

Cmb	Tipologia	Sism.	N	Tx	Ty	Mx	My
n.			daN	daN	daN	daN cm	daN cm
101	SLV A2	Si	-80010.0	-6387.6	19030.0	2796000.0	844800.0

Elemento: 3213 - Palo singolo

Port. lat. = 327798.0 daN, Port. punta = 112953.3 daN, P.P.Palo = 16964.6 daN

Nq = 8.08, σ punta = 4.44, Nc = 19.44, c punta = 0.21

N lim palo: compressione (-) = -242300.8 daN, trazione (+) = 209786.9 daN

Cmb.	Palo	coord.X	coord.Y	N	Ver.N-	Ver.N+	Stato
n.	n.	cm	cm	daN			
082	1	0.000	0.000	-50310.0	0.324	----	Ok

Sollecitazioni:

Cmb	Tipologia	Sism.	N	Tx	Ty	Mx	My
n.			daN	daN	daN	daN cm	daN cm
082	SLV A2	Si	-50310.0	-15560.0	-11080.0	-1821000.0	2425000.0

Elemento: 3214 - Palo singolo

Port. lat. = 327798.0 daN, Port. punta = 112953.3 daN, P.P.Palo = 16964.6 daN

Nq = 8.08, σ punta = 4.44, Nc = 19.44, c punta = 0.21

N lim palo: compressione (-) = -242300.8 daN, trazione (+) = 209786.9 daN

Cmb.	Palo	coord.X	coord.Y	N	Ver.N-	Ver.N+	Stato
n.	n.	cm	cm	daN			
101	1	0.000	0.000	-75280.0	0.485	----	Ok

Sollecitazioni:

Cmb	Tipologia	Sism.	N	Tx	Ty	Mx	My
n.			daN	daN	daN	daN cm	daN cm
101	SLV A2	Si	-75280.0	-7626.4	20570.0	3062000.0	1101000.0

Elemento: 3215 - Palo singolo

Port. lat. = 327798.0 daN, Port. punta = 112953.3 daN, P.P.Palo = 16964.6 daN

Nq = 8.08, σ punta = 4.44, Nc = 19.44, c punta = 0.21

N lim palo: compressione (-) = -242300.8 daN, trazione (+) = 209786.9 daN

Cmb.	Palo	coord.X	coord.Y	N	Ver.N-	Ver.N+	Stato
n.	n.	cm	cm	daN			
089	1	0.000	0.000	-67970.0	0.438	----	Ok

Sollecitazioni:

Cmb	Tipologia	Sism.	N	Tx	Ty	Mx	My
n.			daN	daN	daN	daN cm	daN cm
089	SLV A2	Si	-67970.0	-17990.0	9414.8	1385000.0	2812000.0

Elemento: 3217 - Palo singolo

Port. lat. = 327798.0 daN, Port. punta = 112953.3 daN, P.P.Palo = 16964.6 daN

Nq = 8.08, σ punta = 4.44, Nc = 19.44, c punta = 0.21

N lim palo: compressione (-) = -242300.8 daN, trazione (+) = 209786.9 daN

Cmb.	Palo	coord.X	coord.Y	N	Ver.N-	Ver.N+	Stato
n.	n.	cm	cm	daN			
082	1	0.000	0.000	-57510.0	0.371	----	Ok

Sollecitazioni:

Cmb	Tipologia	Sism.	N	Tx	Ty	Mx	My
n.			daN	daN	daN	daN cm	daN cm
082	SLV A2	Si	-57510.0	-15290.0	-11480.0	-1886000.0	2399000.0

Elemento: 3218 - Palo singolo

Port. lat. = 327798.0 daN, Port. punta = 112953.3 daN, P.P.Palo = 16964.6 daN

Nq = 8.08, σ punta = 4.44, Nc = 19.44, c punta = 0.21

N lim palo: compressione (-) = -242300.8 daN, trazione (+) = 209786.9 daN

Cmb.	Palo	coord.X	coord.Y	N	Ver.N-	Ver.N+	Stato
n.	n.	cm	cm	daN			
082	1	0.000	0.000	-68210.0	0.440	----	Ok

Sollecitazioni:

Cmb	Tipologia	Sism.	N	Tx	Ty	Mx	My
n.			daN	daN	daN	daN cm	daN cm
082	SLV A2	Si	-68210.0	-15280.0	-2399.9	-351900.0	2401000.0

Elemento: 3265 - Palo singolo

Port. lat. = 327798.0 daN, Port. punta = 112953.3 daN, P.P.Palo = 16964.6 daN

Nq = 8.08, σ punta = 4.44, Nc = 19.44, c punta = 0.21

N lim palo: compressione (-) = -242300.8 daN, trazione (+) = 209786.9 daN

Cmb.	Palo	coord.X	coord.Y	N	Ver.N-	Ver.N+	Stato
n.	n.	cm	cm	daN			
098	1	0.000	0.000	-68570.0	0.442	----	Ok

Sollecitazioni:

Cmb	Tipologia	Sism.	N	Tx	Ty	Mx	My
n.			daN	daN	daN	daN cm	daN cm
098	SLV A2	Si	-68570.0	1752.9	-22540.0	-3509000.0	-311100.0

Elemento: 3492 - Palo singolo

Port. lat. = 327798.0 daN, Port. punta = 112953.3 daN, P.P.Palo = 16964.6 daN

Nq = 8.08, σ punta = 4.44, Nc = 19.44, c punta = 0.21

N lim palo: compressione (-) = -242300.8 daN, trazione (+) = 209786.9 daN

Cmb.	Palo	coord.X	coord.Y	N	Ver.N-	Ver.N+	Stato
n.	n.	cm	cm	daN			

100	1	0.000	0.000	-48400.0	0.312	----	Ok
Sollecitazioni:							
Cmb	Tipologia	Sism.	N	Tx	Ty	Mx	My
n.			daN	daN	daN	daN cm	daN cm
100	SLV A2	Si	-48400.0	11680.0	-14840.0	-2332000.0	-1871000.0

Elemento: 3497 - Palo singolo

Port. lat. = 327798.0 daN, Port. punta = 112953.3 daN, P.P.Palo = 16964.6 daN

Nq = 8.08, σ punta = 4.44, Nc = 19.44, c punta = 0.21

N lim palo: compressione (-) = -242300.8 daN, trazione (+) = 209786.9 daN

Cmb.	Palo	coord.X	coord.Y	N	Ver.N-	Ver.N+	Stato
n.	n.	cm	cm	daN			
098	1	0.000	0.000	-75780.0	0.489	----	Ok

Sollecitazioni:

Cmb	Tipologia	Sism.	N	Tx	Ty	Mx	My
n.			daN	daN	daN	daN cm	daN cm
098	SLV A2	Si	-75780.0	1708.5	-21570.0	-3345000.0	-302600.0

Elemento: 3499 - Palo singolo

Port. lat. = 327798.0 daN, Port. punta = 112953.3 daN, P.P.Palo = 16964.6 daN

Nq = 8.08, σ punta = 4.44, Nc = 19.44, c punta = 0.21

N lim palo: compressione (-) = -242300.8 daN, trazione (+) = 209786.9 daN

Cmb.	Palo	coord.X	coord.Y	N	Ver.N-	Ver.N+	Stato
n.	n.	cm	cm	daN			
100	1	0.000	0.000	-50100.0	0.323	----	Ok

Sollecitazioni:

Cmb	Tipologia	Sism.	N	Tx	Ty	Mx	My
n.			daN	daN	daN	daN cm	daN cm
100	SLV A2	Si	-50100.0	11810.0	-15430.0	-2415000.0	-1911000.0

Elemento: 3501 - Palo singolo

Port. lat. = 327798.0 daN, Port. punta = 112953.3 daN, P.P.Palo = 16964.6 daN

Nq = 8.08, σ punta = 4.44, Nc = 19.44, c punta = 0.21

N lim palo: compressione (-) = -242300.8 daN, trazione (+) = 209786.9 daN

Cmb.	Palo	coord.X	coord.Y	N	Ver.N-	Ver.N+	Stato
n.	n.	cm	cm	daN			
100	1	0.000	0.000	-52950.0	0.341	----	Ok

Sollecitazioni:

Cmb	Tipologia	Sism.	N	Tx	Ty	Mx	My
n.			daN	daN	daN	daN cm	daN cm
100	SLV A2	Si	-52950.0	11960.0	-15780.0	-2407000.0	-1957000.0

Elemento: 3504 - Palo singolo

Port. lat. = 327798.0 daN, Port. punta = 112953.3 daN, P.P.Palo = 16964.6 daN

Nq = 8.08, σ punta = 4.44, Nc = 19.44, c punta = 0.21

N lim palo: compressione (-) = -242300.8 daN, trazione (+) = 209786.9 daN

Cmb.	Palo	coord.X	coord.Y	N	Ver.N-	Ver.N+	Stato
n.	n.	cm	cm	daN			
100	1	0.000	0.000	-57680.0	0.372	----	Ok

Sollecitazioni:

Cmb	Tipologia	Sism.	N	Tx	Ty	Mx	My
n.			daN	daN	daN	daN cm	daN cm
100	SLV A2	Si	-57680.0	11940.0	-16390.0	-2435000.0	-1946000.0

Elemento: 3509 - Palo singolo

Port. lat. = 327798.0 daN, Port. punta = 112953.3 daN, P.P.Palo = 16964.6 daN

Nq = 8.08, σ punta = 4.44, Nc = 19.44, c punta = 0.21

N lim palo: compressione (-) = -242300.8 daN, trazione (+) = 209786.9 daN

Cmb.	Palo	coord.X	coord.Y	N	Ver.N-	Ver.N+	Stato
n.	n.	cm	cm	daN			
095	1	0.000	0.000	-38900.0	0.251	----	Ok

Sollecitazioni:

Cmb	Tipologia	Sism.	N	Tx	Ty	Mx	My
------------	------------------	--------------	----------	-----------	-----------	-----------	-----------

n.			daN	daN	daN	daN cm	daN cm
095	SLV A2	Si	-38900.0	7664.1	13700.0	2144000.0	-1242000.0

Elemento: 3512 - Palo singolo

Port. lat. = 327798.0 daN, Port. punta = 112953.3 daN, P.P.Palo = 16964.6 daN

Nq = 8.08, σ punta = 4.44, Nc = 19.44, c punta = 0.21

N lim palo: compressione (-) = -242300.8 daN, trazione (+) = 209786.9 daN

Cmb.	Palo	coord.X	coord.Y	N	Ver.N-	Ver.N+	Stato
n.	n.	cm	cm	daN			
006	1	0.000	0.000	-31000.0	0.200	----	Ok

Sollecitazioni:

Cmb	Tipologia	Sism.	N	Tx	Ty	Mx	My
n.			daN	daN	daN	daN cm	daN cm
006	SLU A2	No	-31000.0	390.1	185.9	18200.0	-75830.0

Elemento: 3515 - Palo singolo

Port. lat. = 327798.0 daN, Port. punta = 112953.3 daN, P.P.Palo = 16964.6 daN

Nq = 8.08, σ punta = 4.44, Nc = 19.44, c punta = 0.21

N lim palo: compressione (-) = -242300.8 daN, trazione (+) = 209786.9 daN

Cmb.	Palo	coord.X	coord.Y	N	Ver.N-	Ver.N+	Stato
n.	n.	cm	cm	daN			
088	1	0.000	0.000	-37580.0	0.242	----	Ok

Sollecitazioni:

Cmb	Tipologia	Sism.	N	Tx	Ty	Mx	My
n.			daN	daN	daN	daN cm	daN cm
088	SLV A2	Si	-37580.0	18190.0	-8474.6	-1314000.0	-2834000.0

Elemento: 3518 - Palo singolo

Port. lat. = 327798.0 daN, Port. punta = 112953.3 daN, P.P.Palo = 16964.6 daN

Nq = 8.08, σ punta = 4.44, Nc = 19.44, c punta = 0.21

N lim palo: compressione (-) = -242300.8 daN, trazione (+) = 209786.9 daN

Cmb.	Palo	coord.X	coord.Y	N	Ver.N-	Ver.N+	Stato
n.	n.	cm	cm	daN			
088	1	0.000	0.000	-48060.0	0.310	----	Ok

Sollecitazioni:

Cmb	Tipologia	Sism.	N	Tx	Ty	Mx	My
n.			daN	daN	daN	daN cm	daN cm
088	SLV A2	Si	-48060.0	18200.0	-8527.9	-1358000.0	-2839000.0

Elemento: 3521 - Palo singolo

Port. lat. = 327798.0 daN, Port. punta = 112953.3 daN, P.P.Palo = 16964.6 daN

Nq = 8.08, σ punta = 4.44, Nc = 19.44, c punta = 0.21

N lim palo: compressione (-) = -242300.8 daN, trazione (+) = 209786.9 daN

Cmb.	Palo	coord.X	coord.Y	N	Ver.N-	Ver.N+	Stato
n.	n.	cm	cm	daN			
088	1	0.000	0.000	-46940.0	0.303	----	Ok

Sollecitazioni:

Cmb	Tipologia	Sism.	N	Tx	Ty	Mx	My
n.			daN	daN	daN	daN cm	daN cm
088	SLV A2	Si	-46940.0	17520.0	-8542.0	-1358000.0	-2688000.0

Elemento: 3524 - Palo singolo

Port. lat. = 327798.0 daN, Port. punta = 112953.3 daN, P.P.Palo = 16964.6 daN

Nq = 8.08, σ punta = 4.44, Nc = 19.44, c punta = 0.21

N lim palo: compressione (-) = -242300.8 daN, trazione (+) = 209786.9 daN

Cmb.	Palo	coord.X	coord.Y	N	Ver.N-	Ver.N+	Stato
n.	n.	cm	cm	daN			
079	1	0.000	0.000	-47540.0	0.307	----	Ok

Sollecitazioni:

Cmb	Tipologia	Sism.	N	Tx	Ty	Mx	My
n.			daN	daN	daN	daN cm	daN cm
079	SLV A2	Si	-47540.0	17650.0	1139.6	176300.0	-2756000.0

VALORI DI CALCOLO DEI CEDIMENTI PER FONDAZIONI PROFONDE

Elemento: 5 - Palo singolo

Cmb. (Tipo)	Palo	coord.X	coord.Y	N	Ced.Vert
n.	n.	cm	cm	daN	mm
072 (SLD sism.)	1	0.000	0.000	-66350.0	0.188

Sollecitazioni:

Cmb	Tipologia	Sism.	N	Tx	Ty	Mx	My
n.			daN	daN	daN	daN cm	daN cm
072	SLD	Si	-66350.0	456.0	-4998.5	-662700.0	9203.2

Elemento: 6 - Palo singolo

Cmb. (Tipo)	Palo	coord.X	coord.Y	N	Ced.Vert
n.	n.	cm	cm	daN	mm
057 (SLD sism.)	1	0.000	0.000	-53910.0	0.153

Sollecitazioni:

Cmb	Tipologia	Sism.	N	Tx	Ty	Mx	My
n.			daN	daN	daN	daN cm	daN cm
057	SLD	Si	-53910.0	-4006.7	-730.0	-176400.0	594200.0

Elemento: 7 - Palo singolo

Cmb. (Tipo)	Palo	coord.X	coord.Y	N	Ced.Vert
n.	n.	cm	cm	daN	mm
072 (SLD sism.)	1	0.000	0.000	-65890.0	0.186

Sollecitazioni:

Cmb	Tipologia	Sism.	N	Tx	Ty	Mx	My
n.			daN	daN	daN	daN cm	daN cm
072	SLD	Si	-65890.0	429.2	-5191.3	-689400.0	19920.0

Elemento: 8 - Palo singolo

Cmb. (Tipo)	Palo	coord.X	coord.Y	N	Ced.Vert
n.	n.	cm	cm	daN	mm
073 (SLD sism.)	1	0.000	0.000	-58650.0	0.166

Sollecitazioni:

Cmb	Tipologia	Sism.	N	Tx	Ty	Mx	My
n.			daN	daN	daN	daN cm	daN cm
073	SLD	Si	-58650.0	-178.4	4791.5	617100.0	-47600.0

Elemento: 9 - Palo singolo

Cmb. (Tipo)	Palo	coord.X	coord.Y	N	Ced.Vert
n.	n.	cm	cm	daN	mm
072 (SLD sism.)	1	0.000	0.000	-61320.0	0.174

Sollecitazioni:

Cmb	Tipologia	Sism.	N	Tx	Ty	Mx	My
n.			daN	daN	daN	daN cm	daN cm
072	SLD	Si	-61320.0	373.9	-5281.3	-685600.0	27710.0

Elemento: 10 - Palo singolo

Cmb. (Tipo)	Palo	coord.X	coord.Y	N	Ced.Vert
n.	n.	cm	cm	daN	mm
073 (SLD sism.)	1	0.000	0.000	-59020.0	0.167

Sollecitazioni:

Cmb	Tipologia	Sism.	N	Tx	Ty	Mx	My
n.			daN	daN	daN	daN cm	daN cm
073	SLD	Si	-59020.0	86.2	5226.0	695300.0	-124300.0

Elemento: 11 - Palo singolo

Cmb. (Tipo)	Palo	coord.X	coord.Y	N	Ced.Vert
n.	n.	cm	cm	daN	mm
072 (SLD sism.)	1	0.000	0.000	-58130.0	0.164

Sollecitazioni:

Cmb	Tipologia	Sism.	N	Tx	Ty	Mx	My
n.			daN	daN	daN	daN cm	daN cm
072	SLD	Si	-58130.0	128.1	-5477.2	-716300.0	83830.0

Elemento: 12 - Palo singolo

Cmb. (Tipo)	Palo	coord.X	coord.Y	N	Ced.Vert		
n.	n.	cm	cm	daN	mm		
073 (SLD sism.)	1	0.000	0.000	-57140.0	0.162		
Sollecitazioni:							
Cmb	Tipologia	Sism.	N	Tx	Ty	Mx	My
n.			daN	daN	daN	daN cm	daN cm
073	SLD	Si	-57140.0	-1272.4	5495.9	728900.0	90850.0

Elemento: 13 - Palo singolo

Cmb. (Tipo)	Palo	coord.X	coord.Y	N	Ced.Vert		
n.	n.	cm	cm	daN	mm		
072 (SLD sism.)	1	0.000	0.000	-57110.0	0.162		
Sollecitazioni:							
Cmb	Tipologia	Sism.	N	Tx	Ty	Mx	My
n.			daN	daN	daN	daN cm	daN cm
072	SLD	Si	-57110.0	1428.4	-5628.6	-737100.0	-117400.0

Elemento: 14 - Palo singolo

Cmb. (Tipo)	Palo	coord.X	coord.Y	N	Ced.Vert		
n.	n.	cm	cm	daN	mm		
073 (SLD sism.)	1	0.000	0.000	-56040.0	0.159		
Sollecitazioni:							
Cmb	Tipologia	Sism.	N	Tx	Ty	Mx	My
n.			daN	daN	daN	daN cm	daN cm
073	SLD	Si	-56040.0	-1378.6	5707.3	752100.0	106200.0

Elemento: 15 - Palo singolo

Cmb. (Tipo)	Palo	coord.X	coord.Y	N	Ced.Vert		
n.	n.	cm	cm	daN	mm		
072 (SLD sism.)	1	0.000	0.000	-56720.0	0.160		
Sollecitazioni:							
Cmb	Tipologia	Sism.	N	Tx	Ty	Mx	My
n.			daN	daN	daN	daN cm	daN cm
072	SLD	Si	-56720.0	1469.3	-5726.3	-745500.0	-120300.0

Elemento: 16 - Palo singolo

Cmb. (Tipo)	Palo	coord.X	coord.Y	N	Ced.Vert		
n.	n.	cm	cm	daN	mm		
073 (SLD sism.)	1	0.000	0.000	-56490.0	0.160		
Sollecitazioni:							
Cmb	Tipologia	Sism.	N	Tx	Ty	Mx	My
n.			daN	daN	daN	daN cm	daN cm
073	SLD	Si	-56490.0	-1507.1	5864.0	766400.0	130800.0

Elemento: 17 - Palo singolo

Cmb. (Tipo)	Palo	coord.X	coord.Y	N	Ced.Vert		
n.	n.	cm	cm	daN	mm		
072 (SLD sism.)	1	0.000	0.000	-53600.0	0.152		
Sollecitazioni:							
Cmb	Tipologia	Sism.	N	Tx	Ty	Mx	My
n.			daN	daN	daN	daN cm	daN cm
072	SLD	Si	-53600.0	1685.8	-5693.3	-717700.0	-177200.0

Elemento: 18 - Palo singolo

Cmb. (Tipo)	Palo	coord.X	coord.Y	N	Ced.Vert		
n.	n.	cm	cm	daN	mm		
073 (SLD sism.)	1	0.000	0.000	-58490.0	0.165		
Sollecitazioni:							
Cmb	Tipologia	Sism.	N	Tx	Ty	Mx	My
n.			daN	daN	daN	daN cm	daN cm
073	SLD	Si	-58490.0	-1572.2	6069.4	801600.0	138400.0

Elemento: 19 - Palo singolo

Cmb. (Tipo)	Palo	coord.X	coord.Y	N	Ced.Vert		
n.	n.	cm	cm	daN	mm		
056 (SLD sism.)	1	0.000	0.000	-46710.0	0.132		
Sollecitazioni:							
Cmb	Tipologia	Sism.	N	Tx	Ty	Mx	My

n.			daN	daN	daN	daN cm	daN cm
056	SLD	Si	-46710.0	4591.0	486.9	170600.0	-673100.0

Elemento: 20 - Palo singolo

Cmb. (Tipo)	Palo	coord.X	coord.Y	N	Ced.Vert
n.	n.	cm	cm	daN	mm
077 (SLD sism.)	1	0.000	0.000	-59470.0	0.168

Sollecitazioni:

Cmb	Tipologia	Sism.	N	Tx	Ty	Mx	My
n.			daN	daN	daN	daN cm	daN cm
077	SLD	Si	-59470.0	-1780.5	5508.1	708800.0	181500.0

Elemento: 477 - Palo singolo

Cmb. (Tipo)	Palo	coord.X	coord.Y	N	Ced.Vert
n.	n.	cm	cm	daN	mm
076 (SLD sism.)	1	0.000	0.000	-105600.0	0.299

Sollecitazioni:

Cmb	Tipologia	Sism.	N	Tx	Ty	Mx	My
n.			daN	daN	daN	daN cm	daN cm
076	SLD	Si	-105600.0	1242.5	-2752.9	-253600.0	-244000.0

Elemento: 478 - Palo singolo

Cmb. (Tipo)	Palo	coord.X	coord.Y	N	Ced.Vert
n.	n.	cm	cm	daN	mm
057 (SLD sism.)	1	0.000	0.000	-100500.0	0.284

Sollecitazioni:

Cmb	Tipologia	Sism.	N	Tx	Ty	Mx	My
n.			daN	daN	daN	daN cm	daN cm
057	SLD	Si	-100500.0	-2047.2	2697.1	412900.0	160000.0

Elemento: 479 - Palo singolo

Cmb. (Tipo)	Palo	coord.X	coord.Y	N	Ced.Vert
n.	n.	cm	cm	daN	mm
072 (SLD sism.)	1	0.000	0.000	-80530.0	0.228

Sollecitazioni:

Cmb	Tipologia	Sism.	N	Tx	Ty	Mx	My
n.			daN	daN	daN	daN cm	daN cm
072	SLD	Si	-80530.0	961.3	-2757.9	-260100.0	-157200.0

Elemento: 480 - Palo singolo

Cmb. (Tipo)	Palo	coord.X	coord.Y	N	Ced.Vert
n.	n.	cm	cm	daN	mm
073 (SLD sism.)	1	0.000	0.000	-81330.0	0.230

Sollecitazioni:

Cmb	Tipologia	Sism.	N	Tx	Ty	Mx	My
n.			daN	daN	daN	daN cm	daN cm
073	SLD	Si	-81330.0	-727.0	4535.1	566300.0	-40850.0

Elemento: 481 - Palo singolo

Cmb. (Tipo)	Palo	coord.X	coord.Y	N	Ced.Vert
n.	n.	cm	cm	daN	mm
072 (SLD sism.)	1	0.000	0.000	-65810.0	0.186

Sollecitazioni:

Cmb	Tipologia	Sism.	N	Tx	Ty	Mx	My
n.			daN	daN	daN	daN cm	daN cm
072	SLD	Si	-65810.0	611.3	-2894.9	-298800.0	-58850.0

Elemento: 482 - Palo singolo

Cmb. (Tipo)	Palo	coord.X	coord.Y	N	Ced.Vert
n.	n.	cm	cm	daN	mm
073 (SLD sism.)	1	0.000	0.000	-69350.0	0.196

Sollecitazioni:

Cmb	Tipologia	Sism.	N	Tx	Ty	Mx	My
n.			daN	daN	daN	daN cm	daN cm
073	SLD	Si	-69350.0	-867.2	4404.6	525400.0	-2844.1

Elemento: 483 - Palo singolo

Cmb. (Tipo)	Palo	coord.X	coord.Y	N	Ced.Vert
--------------------	-------------	----------------	----------------	----------	-----------------

n.	n.	cm	cm	daN	mm		
072 (SLD sism.)	1	0.000	0.000	-61280.0	0.173		
Sollecitazioni:							
Cmb	Tipologia	Sism.	N	Tx	Ty	Mx	My
n.			daN	daN	daN	daN cm	daN cm
072	SLD	Si	-61280.0	315.3	-3016.6	-339400.0	20860.0

Elemento: 484 - Palo singolo

Cmb. (Tipo)	Palo	coord.X	coord.Y	N	Ced.Vert		
n.	n.	cm	cm	daN	mm		
073 (SLD sism.)	1	0.000	0.000	-64770.0	0.183		
Sollecitazioni:							
Cmb	Tipologia	Sism.	N	Tx	Ty	Mx	My
n.			daN	daN	daN	daN cm	daN cm
073	SLD	Si	-64770.0	-1095.0	4279.2	483200.0	57300.0

Elemento: 485 - Palo singolo

Cmb. (Tipo)	Palo	coord.X	coord.Y	N	Ced.Vert		
n.	n.	cm	cm	daN	mm		
072 (SLD sism.)	1	0.000	0.000	-64660.0	0.183		
Sollecitazioni:							
Cmb	Tipologia	Sism.	N	Tx	Ty	Mx	My
n.			daN	daN	daN	daN cm	daN cm
072	SLD	Si	-64660.0	76.3	-3083.2	-372200.0	79470.0

Elemento: 486 - Palo singolo

Cmb. (Tipo)	Palo	coord.X	coord.Y	N	Ced.Vert		
n.	n.	cm	cm	daN	mm		
073 (SLD sism.)	1	0.000	0.000	-67400.0	0.191		
Sollecitazioni:							
Cmb	Tipologia	Sism.	N	Tx	Ty	Mx	My
n.			daN	daN	daN	daN cm	daN cm
073	SLD	Si	-67400.0	-1331.6	4211.5	453500.0	116800.0

Elemento: 487 - Palo singolo

Cmb. (Tipo)	Palo	coord.X	coord.Y	N	Ced.Vert		
n.	n.	cm	cm	daN	mm		
072 (SLD sism.)	1	0.000	0.000	-73400.0	0.208		
Sollecitazioni:							
Cmb	Tipologia	Sism.	N	Tx	Ty	Mx	My
n.			daN	daN	daN	daN cm	daN cm
072	SLD	Si	-73400.0	-51.3	-3028.6	-378900.0	100900.0

Elemento: 488 - Palo singolo

Cmb. (Tipo)	Palo	coord.X	coord.Y	N	Ced.Vert		
n.	n.	cm	cm	daN	mm		
073 (SLD sism.)	1	0.000	0.000	-75770.0	0.214		
Sollecitazioni:							
Cmb	Tipologia	Sism.	N	Tx	Ty	Mx	My
n.			daN	daN	daN	daN cm	daN cm
073	SLD	Si	-75770.0	-1498.7	4241.5	448000.0	154000.0

Elemento: 489 - Palo singolo

Cmb. (Tipo)	Palo	coord.X	coord.Y	N	Ced.Vert		
n.	n.	cm	cm	daN	mm		
076 (SLD sism.)	1	0.000	0.000	-77660.0	0.220		
Sollecitazioni:							
Cmb	Tipologia	Sism.	N	Tx	Ty	Mx	My
n.			daN	daN	daN	daN cm	daN cm
076	SLD	Si	-77660.0	309.9	-2656.8	-296500.0	-16890.0

Elemento: 490 - Palo singolo

Cmb. (Tipo)	Palo	coord.X	coord.Y	N	Ced.Vert		
n.	n.	cm	cm	daN	mm		
073 (SLD sism.)	1	0.000	0.000	-81680.0	0.231		
Sollecitazioni:							
Cmb	Tipologia	Sism.	N	Tx	Ty	Mx	My
n.			daN	daN	daN	daN cm	daN cm

073 SLD Si -81680.0 -1251.5 4596.3 532400.0 72370.0

Elemento: 491 - Palo singolo

Cmb. (Tipo)	Palo	coord.X	coord.Y	N	Ced.Vert
n.	n.	cm	cm	daN	mm
068 (SLD sism.)	1	0.000	0.000	-61370.0	0.174

Sollecitazioni:

Cmb	Tipologia	Sism.	N	Tx	Ty	Mx	My
n.			daN	daN	daN	daN cm	daN cm
068	SLD	Si	-61370.0	773.4	-1955.8	-147300.0	-148800.0

Elemento: 492 - Palo singolo

Cmb. (Tipo)	Palo	coord.X	coord.Y	N	Ced.Vert
n.	n.	cm	cm	daN	mm
073 (SLD sism.)	1	0.000	0.000	-69120.0	0.196

Sollecitazioni:

Cmb	Tipologia	Sism.	N	Tx	Ty	Mx	My
n.			daN	daN	daN	daN cm	daN cm
073	SLD	Si	-69120.0	-795.8	4976.7	624100.0	-67890.0

Elemento: 911 - Palo singolo

Cmb. (Tipo)	Palo	coord.X	coord.Y	N	Ced.Vert
n.	n.	cm	cm	daN	mm
068 (SLD sism.)	1	0.000	0.000	-38330.0	0.108

Sollecitazioni:

Cmb	Tipologia	Sism.	N	Tx	Ty	Mx	My
n.			daN	daN	daN	daN cm	daN cm
068	SLD	Si	-38330.0	494.8	-1856.4	-137800.0	-83720.0

Elemento: 912 - Palo singolo

Cmb. (Tipo)	Palo	coord.X	coord.Y	N	Ced.Vert
n.	n.	cm	cm	daN	mm
069 (SLD sism.)	1	0.000	0.000	-47890.0	0.136

Sollecitazioni:

Cmb	Tipologia	Sism.	N	Tx	Ty	Mx	My
n.			daN	daN	daN	daN cm	daN cm
069	SLD	Si	-47890.0	-1120.9	4852.6	581000.0	-25900.0

Elemento: 967 - Palo singolo

Cmb. (Tipo)	Palo	coord.X	coord.Y	N	Ced.Vert
n.	n.	cm	cm	daN	mm
068 (SLD sism.)	1	0.000	0.000	-27820.0	0.079

Sollecitazioni:

Cmb	Tipologia	Sism.	N	Tx	Ty	Mx	My
n.			daN	daN	daN	daN cm	daN cm
068	SLD	Si	-27820.0	13.4	-1984.1	-190600.0	40320.0

Elemento: 968 - Palo singolo

Cmb. (Tipo)	Palo	coord.X	coord.Y	N	Ced.Vert
n.	n.	cm	cm	daN	mm
069 (SLD sism.)	1	0.000	0.000	-37030.0	0.105

Sollecitazioni:

Cmb	Tipologia	Sism.	N	Tx	Ty	Mx	My
n.			daN	daN	daN	daN cm	daN cm
069	SLD	Si	-37030.0	-1509.1	4687.2	514700.0	71000.0

Elemento: 1023 - Palo singolo

Cmb. (Tipo)	Palo	coord.X	coord.Y	N	Ced.Vert
n.	n.	cm	cm	daN	mm
068 (SLD sism.)	1	0.000	0.000	-26990.0	0.076

Sollecitazioni:

Cmb	Tipologia	Sism.	N	Tx	Ty	Mx	My
n.			daN	daN	daN	daN cm	daN cm
068	SLD	Si	-26990.0	-220.9	-1983.1	-205800.0	95540.0

Elemento: 1024 - Palo singolo

Cmb. (Tipo)	Palo	coord.X	coord.Y	N	Ced.Vert
n.	n.	cm	cm	daN	mm

069 (SLD sism.)	1	0.000	0.000	-35470.0	0.100		
Sollecitazioni:							
Cmb	Tipologia	Sism.	N	Tx	Ty	Mx	My
n.			daN	daN	daN	daN cm	daN cm
069	SLD	Si	-35470.0	-1728.3	4652.3	489200.0	121700.0

Elemento: 1079 - Palo singolo

Cmb. (Tipo)	Palo	coord.X	coord.Y	N	Ced.Vert		
n.	n.	cm	cm	daN	mm		
068 (SLD sism.)	1	0.000	0.000	-28560.0	0.081		
Sollecitazioni:							
Cmb	Tipologia	Sism.	N	Tx	Ty	Mx	My
n.			daN	daN	daN	daN cm	daN cm
068	SLD	Si	-28560.0	-300.1	-1899.0	-197400.0	107300.0

Elemento: 1080 - Palo singolo

Cmb. (Tipo)	Palo	coord.X	coord.Y	N	Ced.Vert		
n.	n.	cm	cm	daN	mm		
069 (SLD sism.)	1	0.000	0.000	-36880.0	0.104		
Sollecitazioni:							
Cmb	Tipologia	Sism.	N	Tx	Ty	Mx	My
n.			daN	daN	daN	daN cm	daN cm
069	SLD	Si	-36880.0	-1831.5	4705.0	490300.0	140100.0

Elemento: 1135 - Palo singolo

Cmb. (Tipo)	Palo	coord.X	coord.Y	N	Ced.Vert		
n.	n.	cm	cm	daN	mm		
068 (SLD sism.)	1	0.000	0.000	-30400.0	0.086		
Sollecitazioni:							
Cmb	Tipologia	Sism.	N	Tx	Ty	Mx	My
n.			daN	daN	daN	daN cm	daN cm
068	SLD	Si	-30400.0	-384.5	-1822.2	-191700.0	120500.0

Elemento: 1136 - Palo singolo

Cmb. (Tipo)	Palo	coord.X	coord.Y	N	Ced.Vert		
n.	n.	cm	cm	daN	mm		
069 (SLD sism.)	1	0.000	0.000	-39930.0	0.113		
Sollecitazioni:							
Cmb	Tipologia	Sism.	N	Tx	Ty	Mx	My
n.			daN	daN	daN	daN cm	daN cm
069	SLD	Si	-39930.0	-1984.4	4729.7	483900.0	172700.0

Elemento: 1191 - Palo singolo

Cmb. (Tipo)	Palo	coord.X	coord.Y	N	Ced.Vert		
n.	n.	cm	cm	daN	mm		
056 (SLD sism.)	1	0.000	0.000	-36410.0	0.103		
Sollecitazioni:							
Cmb	Tipologia	Sism.	N	Tx	Ty	Mx	My
n.			daN	daN	daN	daN cm	daN cm
056	SLD	Si	-36410.0	1082.7	41.6	-9504.5	-92890.0

Elemento: 1192 - Palo singolo

Cmb. (Tipo)	Palo	coord.X	coord.Y	N	Ced.Vert		
n.	n.	cm	cm	daN	mm		
063 (SLD sism.)	1	0.000	0.000	-48970.0	0.139		
Sollecitazioni:							
Cmb	Tipologia	Sism.	N	Tx	Ty	Mx	My
n.			daN	daN	daN	daN cm	daN cm
063	SLD	Si	-48970.0	-988.3	4857.7	503300.0	92610.0

Elemento: 1247 - Palo singolo

Cmb. (Tipo)	Palo	coord.X	coord.Y	N	Ced.Vert		
n.	n.	cm	cm	daN	mm		
073 (SLD sism.)	1	0.000	0.000	-41190.0	0.117		
Sollecitazioni:							
Cmb	Tipologia	Sism.	N	Tx	Ty	Mx	My
n.			daN	daN	daN	daN cm	daN cm
073	SLD	Si	-41190.0	-4578.2	6262.4	965100.0	743000.0

Elemento: 1250 - Palo singolo

Cmb. (Tipo)	Palo	coord.X	coord.Y	N	Ced.Vert
n.	n.	cm	cm	daN	mm
075 (SLD sism.)	1	0.000	0.000	-43800.0	0.124

Sollecitazioni:

Cmb	Tipologia	Sism.	N	Tx	Ty	Mx	My
n.			daN	daN	daN	daN cm	daN cm
075	SLD	Si	-43800.0	-894.1	6256.9	988200.0	157700.0

Elemento: 1260 - Palo singolo

Cmb. (Tipo)	Palo	coord.X	coord.Y	N	Ced.Vert
n.	n.	cm	cm	daN	mm
053 (SLD sism.)	1	0.000	0.000	-31820.0	0.090

Sollecitazioni:

Cmb	Tipologia	Sism.	N	Tx	Ty	Mx	My
n.			daN	daN	daN	daN cm	daN cm
053	SLD	Si	-31820.0	-7115.5	3062.8	467800.0	1147000.0

Elemento: 1275 - Palo singolo

Cmb. (Tipo)	Palo	coord.X	coord.Y	N	Ced.Vert
n.	n.	cm	cm	daN	mm
062 (SLD sism.)	1	0.000	0.000	-34070.0	0.096

Sollecitazioni:

Cmb	Tipologia	Sism.	N	Tx	Ty	Mx	My
n.			daN	daN	daN	daN cm	daN cm
062	SLD	Si	-34070.0	-5917.8	-207.6	-7708.1	958700.0

Elemento: 1297 - Palo singolo

Cmb. (Tipo)	Palo	coord.X	coord.Y	N	Ced.Vert
n.	n.	cm	cm	daN	mm
078 (SLD sism.)	1	0.000	0.000	-48910.0	0.138

Sollecitazioni:

Cmb	Tipologia	Sism.	N	Tx	Ty	Mx	My
n.			daN	daN	daN	daN cm	daN cm
078	SLD	Si	-48910.0	904.6	-4846.3	-505900.0	-85000.0

Elemento: 1298 - Palo singolo

Cmb. (Tipo)	Palo	coord.X	coord.Y	N	Ced.Vert
n.	n.	cm	cm	daN	mm
053 (SLD sism.)	1	0.000	0.000	-36460.0	0.103

Sollecitazioni:

Cmb	Tipologia	Sism.	N	Tx	Ty	Mx	My
n.			daN	daN	daN	daN cm	daN cm
053	SLD	Si	-36460.0	-1058.7	-195.4	-11220.0	89720.0

Elemento: 1299 - Palo singolo

Cmb. (Tipo)	Palo	coord.X	coord.Y	N	Ced.Vert
n.	n.	cm	cm	daN	mm
072 (SLD sism.)	1	0.000	0.000	-39770.0	0.113

Sollecitazioni:

Cmb	Tipologia	Sism.	N	Tx	Ty	Mx	My
n.			daN	daN	daN	daN cm	daN cm
072	SLD	Si	-39770.0	1927.7	-4693.9	-482000.0	-167000.0

Elemento: 1300 - Palo singolo

Cmb. (Tipo)	Palo	coord.X	coord.Y	N	Ced.Vert
n.	n.	cm	cm	daN	mm
073 (SLD sism.)	1	0.000	0.000	-30130.0	0.085

Sollecitazioni:

Cmb	Tipologia	Sism.	N	Tx	Ty	Mx	My
n.			daN	daN	daN	daN cm	daN cm
073	SLD	Si	-30130.0	480.3	1708.8	180100.0	-130100.0

Elemento: 1301 - Palo singolo

Cmb. (Tipo)	Palo	coord.X	coord.Y	N	Ced.Vert
n.	n.	cm	cm	daN	mm
072 (SLD sism.)	1	0.000	0.000	-36820.0	0.104

Sollecitazioni:

Cmb	Tipologia	Sism.	N	Tx	Ty	Mx	My
n.			daN	daN	daN	daN cm	daN cm
072	SLD	Si	-36820.0	1779.6	-4690.3	-491100.0	-134000.0

Elemento: 1302 - Palo singolo

Cmb. (Tipo)	Palo	coord.X	coord.Y	N	Ced.Vert
n.	n.	cm	cm	daN	mm
073 (SLD sism.)	1	0.000	0.000	-28390.0	0.080

Sollecitazioni:

Cmb	Tipologia	Sism.	N	Tx	Ty	Mx	My
n.			daN	daN	daN	daN cm	daN cm
073	SLD	Si	-28390.0	384.2	1805.6	187900.0	-115700.0

Elemento: 1303 - Palo singolo

Cmb. (Tipo)	Palo	coord.X	coord.Y	N	Ced.Vert
n.	n.	cm	cm	daN	mm
072 (SLD sism.)	1	0.000	0.000	-35650.0	0.101

Sollecitazioni:

Cmb	Tipologia	Sism.	N	Tx	Ty	Mx	My
n.			daN	daN	daN	daN cm	daN cm
072	SLD	Si	-35650.0	1679.9	-4657.8	-492600.0	-114900.0

Elemento: 1304 - Palo singolo

Cmb. (Tipo)	Palo	coord.X	coord.Y	N	Ced.Vert
n.	n.	cm	cm	daN	mm
073 (SLD sism.)	1	0.000	0.000	-27010.0	0.076

Sollecitazioni:

Cmb	Tipologia	Sism.	N	Tx	Ty	Mx	My
n.			daN	daN	daN	daN cm	daN cm
073	SLD	Si	-27010.0	288.4	1908.5	197700.0	-101500.0

Elemento: 1305 - Palo singolo

Cmb. (Tipo)	Palo	coord.X	coord.Y	N	Ced.Vert
n.	n.	cm	cm	daN	mm
072 (SLD sism.)	1	0.000	0.000	-37680.0	0.107

Sollecitazioni:

Cmb	Tipologia	Sism.	N	Tx	Ty	Mx	My
n.			daN	daN	daN	daN cm	daN cm
072	SLD	Si	-37680.0	1460.3	-4713.5	-521200.0	-62400.0

Elemento: 1306 - Palo singolo

Cmb. (Tipo)	Palo	coord.X	coord.Y	N	Ced.Vert
n.	n.	cm	cm	daN	mm
073 (SLD sism.)	1	0.000	0.000	-28250.0	0.080

Sollecitazioni:

Cmb	Tipologia	Sism.	N	Tx	Ty	Mx	My
n.			daN	daN	daN	daN cm	daN cm
073	SLD	Si	-28250.0	30.3	1927.3	183300.0	-42280.0

Elemento: 1307 - Palo singolo

Cmb. (Tipo)	Palo	coord.X	coord.Y	N	Ced.Vert
n.	n.	cm	cm	daN	mm
072 (SLD sism.)	1	0.000	0.000	-49280.0	0.139

Sollecitazioni:

Cmb	Tipologia	Sism.	N	Tx	Ty	Mx	My
n.			daN	daN	daN	daN cm	daN cm
072	SLD	Si	-49280.0	1075.9	-4894.4	-589600.0	34720.0

Elemento: 1308 - Palo singolo

Cmb. (Tipo)	Palo	coord.X	coord.Y	N	Ced.Vert
n.	n.	cm	cm	daN	mm
073 (SLD sism.)	1	0.000	0.000	-39530.0	0.112

Sollecitazioni:

Cmb	Tipologia	Sism.	N	Tx	Ty	Mx	My
n.			daN	daN	daN	daN cm	daN cm
073	SLD	Si	-39530.0	-474.8	1822.1	132100.0	85330.0

Elemento: 1309 - Palo singolo

Cmb. (Tipo)	Palo	coord.X	coord.Y	N	Ced.Vert
n.	n.	cm	cm	daN	mm
076 (SLD sism.)	1	0.000	0.000	-70810.0	0.200

Sollecitazioni:

Cmb	Tipologia	Sism.	N	Tx	Ty	Mx	My
n.			daN	daN	daN	daN cm	daN cm
076	SLD	Si	-70810.0	972.1	-4893.3	-610400.0	40820.0

Elemento: 1310 - Palo singolo

Cmb. (Tipo)	Palo	coord.X	coord.Y	N	Ced.Vert
n.	n.	cm	cm	daN	mm
073 (SLD sism.)	1	0.000	0.000	-63150.0	0.179

Sollecitazioni:

Cmb	Tipologia	Sism.	N	Tx	Ty	Mx	My
n.			daN	daN	daN	daN cm	daN cm
073	SLD	Si	-63150.0	-749.4	1969.2	149800.0	145800.0

Elemento: 1311 - Palo singolo

Cmb. (Tipo)	Palo	coord.X	coord.Y	N	Ced.Vert
n.	n.	cm	cm	daN	mm
068 (SLD sism.)	1	0.000	0.000	-82530.0	0.234

Sollecitazioni:

Cmb	Tipologia	Sism.	N	Tx	Ty	Mx	My
n.			daN	daN	daN	daN cm	daN cm
068	SLD	Si	-82530.0	1224.3	-4649.6	-538800.0	-73230.0

Elemento: 1312 - Palo singolo

Cmb. (Tipo)	Palo	coord.X	coord.Y	N	Ced.Vert
n.	n.	cm	cm	daN	mm
073 (SLD sism.)	1	0.000	0.000	-78780.0	0.223

Sollecitazioni:

Cmb	Tipologia	Sism.	N	Tx	Ty	Mx	My
n.			daN	daN	daN	daN cm	daN cm
073	SLD	Si	-78780.0	-376.3	2529.8	283500.0	22880.0

Elemento: 1731 - Palo singolo

Cmb. (Tipo)	Palo	coord.X	coord.Y	N	Ced.Vert
n.	n.	cm	cm	daN	mm
068 (SLD sism.)	1	0.000	0.000	-75790.0	0.214

Sollecitazioni:

Cmb	Tipologia	Sism.	N	Tx	Ty	Mx	My
n.			daN	daN	daN	daN cm	daN cm
068	SLD	Si	-75790.0	1456.3	-4307.2	-456200.0	-150600.0

Elemento: 1732 - Palo singolo

Cmb. (Tipo)	Palo	coord.X	coord.Y	N	Ced.Vert
n.	n.	cm	cm	daN	mm
069 (SLD sism.)	1	0.000	0.000	-73700.0	0.209

Sollecitazioni:

Cmb	Tipologia	Sism.	N	Tx	Ty	Mx	My
n.			daN	daN	daN	daN cm	daN cm
069	SLD	Si	-73700.0	103.2	3136.7	395100.0	-111500.0

Elemento: 1787 - Palo singolo

Cmb. (Tipo)	Palo	coord.X	coord.Y	N	Ced.Vert
n.	n.	cm	cm	daN	mm
068 (SLD sism.)	1	0.000	0.000	-67030.0	0.190

Sollecitazioni:

Cmb	Tipologia	Sism.	N	Tx	Ty	Mx	My
n.			daN	daN	daN	daN cm	daN cm
068	SLD	Si	-67030.0	1275.3	-4292.9	-464200.0	-109000.0

Elemento: 1788 - Palo singolo

Cmb. (Tipo)	Palo	coord.X	coord.Y	N	Ced.Vert
n.	n.	cm	cm	daN	mm
069 (SLD sism.)	1	0.000	0.000	-64530.0	0.183

Sollecitazioni:

Cmb	Tipologia	Sism.	N	Tx	Ty	Mx	My
n.			daN	daN	daN	daN cm	daN cm
069	SLD	Si	-64530.0	-49.1	3211.9	388600.0	-86410.0

Elemento: 1843 - Palo singolo

Cmb. (Tipo)	Palo	coord.X	coord.Y	N	Ced.Vert
n.	n.	cm	cm	daN	mm
068 (SLD sism.)	1	0.000	0.000	-64370.0	0.182

Sollecitazioni:

Cmb	Tipologia	Sism.	N	Tx	Ty	Mx	My
n.			daN	daN	daN	daN cm	daN cm
068	SLD	Si	-64370.0	1032.7	-4374.2	-495600.0	-46930.0

Elemento: 1844 - Palo singolo

Cmb. (Tipo)	Palo	coord.X	coord.Y	N	Ced.Vert
n.	n.	cm	cm	daN	mm
069 (SLD sism.)	1	0.000	0.000	-61070.0	0.173

Sollecitazioni:

Cmb	Tipologia	Sism.	N	Tx	Ty	Mx	My
n.			daN	daN	daN	daN cm	daN cm
069	SLD	Si	-61070.0	-311.1	3168.1	356800.0	-24550.0

Elemento: 1899 - Palo singolo

Cmb. (Tipo)	Palo	coord.X	coord.Y	N	Ced.Vert
n.	n.	cm	cm	daN	mm
068 (SLD sism.)	1	0.000	0.000	-69010.0	0.195

Sollecitazioni:

Cmb	Tipologia	Sism.	N	Tx	Ty	Mx	My
n.			daN	daN	daN	daN cm	daN cm
068	SLD	Si	-69010.0	812.4	-4504.9	-537300.0	12090.0

Elemento: 1900 - Palo singolo

Cmb. (Tipo)	Palo	coord.X	coord.Y	N	Ced.Vert
n.	n.	cm	cm	daN	mm
069 (SLD sism.)	1	0.000	0.000	-65670.0	0.186

Sollecitazioni:

Cmb	Tipologia	Sism.	N	Tx	Ty	Mx	My
n.			daN	daN	daN	daN cm	daN cm
069	SLD	Si	-65670.0	-622.6	3074.2	319100.0	56390.0

Elemento: 1955 - Palo singolo

Cmb. (Tipo)	Palo	coord.X	coord.Y	N	Ced.Vert
n.	n.	cm	cm	daN	mm
068 (SLD sism.)	1	0.000	0.000	-80530.0	0.228

Sollecitazioni:

Cmb	Tipologia	Sism.	N	Tx	Ty	Mx	My
n.			daN	daN	daN	daN cm	daN cm
068	SLD	Si	-80530.0	698.6	-4626.1	-573600.0	43680.0

Elemento: 1956 - Palo singolo

Cmb. (Tipo)	Palo	coord.X	coord.Y	N	Ced.Vert
n.	n.	cm	cm	daN	mm
069 (SLD sism.)	1	0.000	0.000	-80210.0	0.227

Sollecitazioni:

Cmb	Tipologia	Sism.	N	Tx	Ty	Mx	My
n.			daN	daN	daN	daN cm	daN cm
069	SLD	Si	-80210.0	-975.2	2974.2	285800.0	152400.0

Elemento: 2011 - Palo singolo

Cmb. (Tipo)	Palo	coord.X	coord.Y	N	Ced.Vert
n.	n.	cm	cm	daN	mm
052 (SLD sism.)	1	0.000	0.000	-98350.0	0.278

Sollecitazioni:

Cmb	Tipologia	Sism.	N	Tx	Ty	Mx	My
n.			daN	daN	daN	daN cm	daN cm
052	SLD	Si	-98350.0	2228.8	-2646.1	-401400.0	-191300.0

Elemento: 2012 - Palo singolo

Cmb. (Tipo)	Palo	coord.X	coord.Y	N	Ced.Vert		
n.	n.	cm	cm	daN	mm		
065 (SLD sism.)	1	0.000	0.000	-104700.0	0.296		
Sollecitazioni:							
Cmb	Tipologia	Sism.	N	Tx	Ty	Mx	My
n.			daN	daN	daN	daN cm	daN cm
065	SLD	Si	-104700.0	-1261.7	2969.9	278200.0	238000.0

Elemento: 2068 - Palo singolo

Cmb. (Tipo)	Palo	coord.X	coord.Y	N	Ced.Vert		
n.	n.	cm	cm	daN	mm		
072 (SLD sism.)	1	0.000	0.000	-36790.0	0.104		
Sollecitazioni:							
Cmb	Tipologia	Sism.	N	Tx	Ty	Mx	My
n.			daN	daN	daN	daN cm	daN cm
072	SLD	Si	-36790.0	3730.8	-5238.1	-723300.0	-583000.0

Elemento: 2071 - Palo singolo

Cmb. (Tipo)	Palo	coord.X	coord.Y	N	Ced.Vert		
n.	n.	cm	cm	daN	mm		
059 (SLD sism.)	1	0.000	0.000	-40250.0	0.114		
Sollecitazioni:							
Cmb	Tipologia	Sism.	N	Tx	Ty	Mx	My
n.			daN	daN	daN	daN cm	daN cm
059	SLD	Si	-40250.0	5306.5	966.6	168300.0	-820300.0

Elemento: 2117 - Palo singolo

Cmb. (Tipo)	Palo	coord.X	coord.Y	N	Ced.Vert		
n.	n.	cm	cm	daN	mm		
064 (SLD sism.)	1	0.000	0.000	-58760.0	0.166		
Sollecitazioni:							
Cmb	Tipologia	Sism.	N	Tx	Ty	Mx	My
n.			daN	daN	daN	daN cm	daN cm
064	SLD	Si	-58760.0	1314.0	-5170.1	-612000.0	-100400.0

Elemento: 2118 - Palo singolo

Cmb. (Tipo)	Palo	coord.X	coord.Y	N	Ced.Vert		
n.	n.	cm	cm	daN	mm		
053 (SLD sism.)	1	0.000	0.000	-45570.0	0.129		
Sollecitazioni:							
Cmb	Tipologia	Sism.	N	Tx	Ty	Mx	My
n.			daN	daN	daN	daN cm	daN cm
053	SLD	Si	-45570.0	-3618.6	1806.2	191200.0	488900.0

Elemento: 2119 - Palo singolo

Cmb. (Tipo)	Palo	coord.X	coord.Y	N	Ced.Vert		
n.	n.	cm	cm	daN	mm		
068 (SLD sism.)	1	0.000	0.000	-57610.0	0.163		
Sollecitazioni:							
Cmb	Tipologia	Sism.	N	Tx	Ty	Mx	My
n.			daN	daN	daN	daN cm	daN cm
068	SLD	Si	-57610.0	1123.0	-4982.7	-585600.0	-61470.0

Elemento: 2120 - Palo singolo

Cmb. (Tipo)	Palo	coord.X	coord.Y	N	Ced.Vert		
n.	n.	cm	cm	daN	mm		
069 (SLD sism.)	1	0.000	0.000	-52070.0	0.147		
Sollecitazioni:							
Cmb	Tipologia	Sism.	N	Tx	Ty	Mx	My
n.			daN	daN	daN	daN cm	daN cm
069	SLD	Si	-52070.0	-1231.7	4588.1	503000.0	102400.0

Elemento: 2121 - Palo singolo

Cmb. (Tipo)	Palo	coord.X	coord.Y	N	Ced.Vert		
n.	n.	cm	cm	daN	mm		
068 (SLD sism.)	1	0.000	0.000	-55720.0	0.158		
Sollecitazioni:							
Cmb	Tipologia	Sism.	N	Tx	Ty	Mx	My
n.			daN	daN	daN	daN cm	daN cm
068	SLD	Si	-55720.0	0.000	0.000	0.000	0.000

n.			daN	daN	daN	daN cm	daN cm
068	SLD	Si	-55720.0	1068.6	-4810.3	-557200.0	-56050.0

Elemento: 2122 - Palo singolo

Cmb. (Tipo)	Palo	coord.X	coord.Y	N	Ced.Vert		
n.	n.	cm	cm	daN	mm		
069 (SLD sism.)	1	0.000	0.000	-55590.0	0.157		

Sollecitazioni:

Cmb	Tipologia	Sism.	N	Tx	Ty	Mx	My
n.			daN	daN	daN	daN cm	daN cm
069	SLD	Si	-55590.0	-1032.4	4669.7	537600.0	48500.0

Elemento: 2123 - Palo singolo

Cmb. (Tipo)	Palo	coord.X	coord.Y	N	Ced.Vert		
n.	n.	cm	cm	daN	mm		
068 (SLD sism.)	1	0.000	0.000	-55230.0	0.156		

Sollecitazioni:

Cmb	Tipologia	Sism.	N	Tx	Ty	Mx	My
n.			daN	daN	daN	daN cm	daN cm
068	SLD	Si	-55230.0	953.9	-4695.4	-550100.0	-34420.0

Elemento: 2124 - Palo singolo

Cmb. (Tipo)	Palo	coord.X	coord.Y	N	Ced.Vert		
n.	n.	cm	cm	daN	mm		
069 (SLD sism.)	1	0.000	0.000	-56210.0	0.159		

Sollecitazioni:

Cmb	Tipologia	Sism.	N	Tx	Ty	Mx	My
n.			daN	daN	daN	daN cm	daN cm
069	SLD	Si	-56210.0	-1008.1	4621.6	536700.0	46480.0

Elemento: 2125 - Palo singolo

Cmb. (Tipo)	Palo	coord.X	coord.Y	N	Ced.Vert		
n.	n.	cm	cm	daN	mm		
068 (SLD sism.)	1	0.000	0.000	-56290.0	0.159		

Sollecitazioni:

Cmb	Tipologia	Sism.	N	Tx	Ty	Mx	My
n.			daN	daN	daN	daN cm	daN cm
068	SLD	Si	-56290.0	861.6	-4541.6	-537300.0	-21400.0

Elemento: 2126 - Palo singolo

Cmb. (Tipo)	Palo	coord.X	coord.Y	N	Ced.Vert		
n.	n.	cm	cm	daN	mm		
069 (SLD sism.)	1	0.000	0.000	-57390.0	0.162		

Sollecitazioni:

Cmb	Tipologia	Sism.	N	Tx	Ty	Mx	My
n.			daN	daN	daN	daN cm	daN cm
069	SLD	Si	-57390.0	-1045.0	4520.7	523100.0	61560.0

Elemento: 2127 - Palo singolo

Cmb. (Tipo)	Palo	coord.X	coord.Y	N	Ced.Vert		
n.	n.	cm	cm	daN	mm		
068 (SLD sism.)	1	0.000	0.000	-58080.0	0.164		

Sollecitazioni:

Cmb	Tipologia	Sism.	N	Tx	Ty	Mx	My
n.			daN	daN	daN	daN cm	daN cm
068	SLD	Si	-58080.0	-181.0	-4338.2	-515200.0	131700.0

Elemento: 2128 - Palo singolo

Cmb. (Tipo)	Palo	coord.X	coord.Y	N	Ced.Vert		
n.	n.	cm	cm	daN	mm		
069 (SLD sism.)	1	0.000	0.000	-60720.0	0.172		

Sollecitazioni:

Cmb	Tipologia	Sism.	N	Tx	Ty	Mx	My
n.			daN	daN	daN	daN cm	daN cm
069	SLD	Si	-60720.0	-256.4	4383.3	501600.0	-43630.0

Elemento: 2129 - Palo singolo

Cmb. (Tipo)	Palo	coord.X	coord.Y	N	Ced.Vert		
--------------------	-------------	----------------	----------------	----------	-----------------	--	--

n.	n.	cm	cm	daN	mm		
068 (SLD sism.)	1	0.000	0.000	-57440.0	0.163		
Sollecitazioni:							
Cmb	Tipologia	Sism.	N	Tx	Ty	Mx	My
n.			daN	daN	daN	daN cm	daN cm
068	SLD	Si	-57440.0	79.5	-3975.5	-450200.0	57990.0

Elemento: 2130 - Palo singolo

Cmb. (Tipo)	Palo	coord.X	coord.Y	N	Ced.Vert		
n.	n.	cm	cm	daN	mm		
069 (SLD sism.)	1	0.000	0.000	-65360.0	0.185		
Sollecitazioni:							
Cmb	Tipologia	Sism.	N	Tx	Ty	Mx	My
n.			daN	daN	daN	daN cm	daN cm
069	SLD	Si	-65360.0	-317.3	4355.5	514100.0	-36310.0

Elemento: 2131 - Palo singolo

Cmb. (Tipo)	Palo	coord.X	coord.Y	N	Ced.Vert		
n.	n.	cm	cm	daN	mm		
047 (SLD sism.)	1	0.000	0.000	-53270.0	0.151		
Sollecitazioni:							
Cmb	Tipologia	Sism.	N	Tx	Ty	Mx	My
n.			daN	daN	daN	daN cm	daN cm
047	SLD	Si	-53270.0	3589.0	2371.7	327200.0	-525800.0

Elemento: 2132 - Palo singolo

Cmb. (Tipo)	Palo	coord.X	coord.Y	N	Ced.Vert		
n.	n.	cm	cm	daN	mm		
069 (SLD sism.)	1	0.000	0.000	-66320.0	0.188		
Sollecitazioni:							
Cmb	Tipologia	Sism.	N	Tx	Ty	Mx	My
n.			daN	daN	daN	daN cm	daN cm
069	SLD	Si	-66320.0	-382.5	4231.3	498800.0	-19320.0

Elemento: 2603 - Palo singolo

Cmb. (Tipo)	Palo	coord.X	coord.Y	N	Ced.Vert		
n.	n.	cm	cm	daN	mm		
062 (SLD sism.)	1	0.000	0.000	-35240.0	0.100		
Sollecitazioni:							
Cmb	Tipologia	Sism.	N	Tx	Ty	Mx	My
n.			daN	daN	daN	daN cm	daN cm
062	SLD	Si	-35240.0	-7143.7	-613.2	-94530.0	1170000.0

Elemento: 2607 - Palo singolo

Cmb. (Tipo)	Palo	coord.X	coord.Y	N	Ced.Vert		
n.	n.	cm	cm	daN	mm		
078 (SLD sism.)	1	0.000	0.000	-40240.0	0.114		
Sollecitazioni:							
Cmb	Tipologia	Sism.	N	Tx	Ty	Mx	My
n.			daN	daN	daN	daN cm	daN cm
078	SLD	Si	-40240.0	-3312.3	-4449.7	-686300.0	576400.0

Elemento: 2624 - Palo singolo

Cmb. (Tipo)	Palo	coord.X	coord.Y	N	Ced.Vert		
n.	n.	cm	cm	daN	mm		
072 (SLD sism.)	1	0.000	0.000	-45920.0	0.130		
Sollecitazioni:							
Cmb	Tipologia	Sism.	N	Tx	Ty	Mx	My
n.			daN	daN	daN	daN cm	daN cm
072	SLD	Si	-45920.0	622.2	-5253.7	-782100.0	-49340.0

Elemento: 2722 - Palo singolo

Cmb. (Tipo)	Palo	coord.X	coord.Y	N	Ced.Vert		
n.	n.	cm	cm	daN	mm		
078 (SLD sism.)	1	0.000	0.000	-42340.0	0.120		
Sollecitazioni:							
Cmb	Tipologia	Sism.	N	Tx	Ty	Mx	My
n.			daN	daN	daN	daN cm	daN cm

078 SLD Si -42340.0 -3267.4 -5210.3 -770100.0 577500.0

Elemento: 2723 - Palo singolo

Cmb. (Tipo)	Palo	coord.X	coord.Y	N	Ced.Vert
n.	n.	cm	cm	daN	mm
072 (SLD sism.)	1	0.000	0.000	-52530.0	0.149

Sollecitazioni:

Cmb	Tipologia	Sism.	N	Tx	Ty	Mx	My
n.			daN	daN	daN	daN cm	daN cm
072	SLD	Si	-52530.0	576.2	-5497.8	-824700.0	-33990.0

Elemento: 2724 - Palo singolo

Cmb. (Tipo)	Palo	coord.X	coord.Y	N	Ced.Vert
n.	n.	cm	cm	daN	mm
057 (SLD sism.)	1	0.000	0.000	-45470.0	0.129

Sollecitazioni:

Cmb	Tipologia	Sism.	N	Tx	Ty	Mx	My
n.			daN	daN	daN	daN cm	daN cm
057	SLD	Si	-45470.0	-6323.3	-730.9	-139600.0	1013000.0

Elemento: 2725 - Palo singolo

Cmb. (Tipo)	Palo	coord.X	coord.Y	N	Ced.Vert
n.	n.	cm	cm	daN	mm
072 (SLD sism.)	1	0.000	0.000	-55830.0	0.158

Sollecitazioni:

Cmb	Tipologia	Sism.	N	Tx	Ty	Mx	My
n.			daN	daN	daN	daN cm	daN cm
072	SLD	Si	-55830.0	547.5	-5723.0	-845700.0	-16120.0

Elemento: 2726 - Palo singolo

Cmb. (Tipo)	Palo	coord.X	coord.Y	N	Ced.Vert
n.	n.	cm	cm	daN	mm
053 (SLD sism.)	1	0.000	0.000	-47690.0	0.135

Sollecitazioni:

Cmb	Tipologia	Sism.	N	Tx	Ty	Mx	My
n.			daN	daN	daN	daN cm	daN cm
053	SLD	Si	-47690.0	-6038.9	2790.9	408000.0	939100.0

Elemento: 2727 - Palo singolo

Cmb. (Tipo)	Palo	coord.X	coord.Y	N	Ced.Vert
n.	n.	cm	cm	daN	mm
072 (SLD sism.)	1	0.000	0.000	-58570.0	0.166

Sollecitazioni:

Cmb	Tipologia	Sism.	N	Tx	Ty	Mx	My
n.			daN	daN	daN	daN cm	daN cm
072	SLD	Si	-58570.0	425.8	-5952.6	-868500.0	9020.9

Elemento: 2728 - Palo singolo

Cmb. (Tipo)	Palo	coord.X	coord.Y	N	Ced.Vert
n.	n.	cm	cm	daN	mm
073 (SLD sism.)	1	0.000	0.000	-47240.0	0.134

Sollecitazioni:

Cmb	Tipologia	Sism.	N	Tx	Ty	Mx	My
n.			daN	daN	daN	daN cm	daN cm
073	SLD	Si	-47240.0	-3136.3	6579.9	1012000.0	468300.0

Elemento: 2729 - Palo singolo

Cmb. (Tipo)	Palo	coord.X	coord.Y	N	Ced.Vert
n.	n.	cm	cm	daN	mm
072 (SLD sism.)	1	0.000	0.000	-59720.0	0.169

Sollecitazioni:

Cmb	Tipologia	Sism.	N	Tx	Ty	Mx	My
n.			daN	daN	daN	daN cm	daN cm
072	SLD	Si	-59720.0	2285.9	-6243.6	-908100.0	-299600.0

Elemento: 2730 - Palo singolo

Cmb. (Tipo)	Palo	coord.X	coord.Y	N	Ced.Vert
n.	n.	cm	cm	daN	mm

059 (SLD sism.) 1 0.000 0.000 -46940.0 0.133
 Sollecitazioni:
Cmb Tipologia Sism. N Tx Ty Mx My
 n. daN daN daN daN cm daN cm
 059 SLD Si -46940.0 5308.3 4026.0 688400.0 -807200.0

Elemento: 2731 - Palo singolo
Cmb. (Tipo) Palo coord.X coord.Y N Ced.Vert
 n. n. cm cm daN mm
 072 (SLD sism.) 1 0.000 0.000 -58070.0 0.164
 Sollecitazioni:
Cmb Tipologia Sism. N Tx Ty Mx My
 n. daN daN daN daN cm daN cm
 072 SLD Si -58070.0 2703.0 -6717.3 -989000.0 -388000.0

Elemento: 2732 - Palo singolo
Cmb. (Tipo) Palo coord.X coord.Y N Ced.Vert
 n. n. cm cm daN mm
 052 (SLD sism.) 1 0.000 0.000 -55070.0 0.156
 Sollecitazioni:
Cmb Tipologia Sism. N Tx Ty Mx My
 n. daN daN daN daN cm daN cm
 052 SLD Si -55070.0 6437.2 -3078.3 -442700.0 -1011000.0

Elemento: 2734 - Palo singolo
Cmb. (Tipo) Palo coord.X coord.Y N Ced.Vert
 n. n. cm cm daN mm
 059 (SLD sism.) 1 0.000 0.000 -48830.0 0.138
 Sollecitazioni:
Cmb Tipologia Sism. N Tx Ty Mx My
 n. daN daN daN daN cm daN cm
 059 SLD Si -48830.0 5239.6 1159.2 219600.0 -805500.0

Elemento: 2735 - Palo singolo
Cmb. (Tipo) Palo coord.X coord.Y N Ced.Vert
 n. n. cm cm daN mm
 059 (SLD sism.) 1 0.000 0.000 -54990.0 0.156
 Sollecitazioni:
Cmb Tipologia Sism. N Tx Ty Mx My
 n. daN daN daN daN cm daN cm
 059 SLD Si -54990.0 5314.9 1028.2 165000.0 -830100.0

Elemento: 2783 - Palo singolo
Cmb. (Tipo) Palo coord.X coord.Y N Ced.Vert
 n. n. cm cm daN mm
 075 (SLD sism.) 1 0.000 0.000 -48080.0 0.136
 Sollecitazioni:
Cmb Tipologia Sism. N Tx Ty Mx My
 n. daN daN daN daN cm daN cm
 075 SLD Si -48080.0 -979.1 7081.7 1139000.0 181400.0

Elemento: 3015 - Palo singolo
Cmb. (Tipo) Palo coord.X coord.Y N Ced.Vert
 n. n. cm cm daN mm
 075 (SLD sism.) 1 0.000 0.000 -53450.0 0.151
 Sollecitazioni:
Cmb Tipologia Sism. N Tx Ty Mx My
 n. daN daN daN daN cm daN cm
 075 SLD Si -53450.0 -935.6 7702.1 1236000.0 168800.0

Elemento: 3017 - Palo singolo
Cmb. (Tipo) Palo coord.X coord.Y N Ced.Vert
 n. n. cm cm daN mm
 073 (SLD sism.) 1 0.000 0.000 -31270.0 0.088
 Sollecitazioni:
Cmb Tipologia Sism. N Tx Ty Mx My
 n. daN daN daN daN cm daN cm
 073 SLD Si -31270.0 -4689.5 5132.6 833500.0 776700.0

Elemento: 3019 - Palo singolo

Cmb. (Tipo)	Palo	coord.X	coord.Y	N	Ced.Vert
n.	n.	cm	cm	daN	mm
073 (SLD sism.)	1	0.000	0.000	-34690.0	0.098

Sollecitazioni:

Cmb	Tipologia	Sism.	N	Tx	Ty	Mx	My
n.			daN	daN	daN	daN cm	daN cm
073	SLD	Si	-34690.0	-4709.3	5332.1	839300.0	782700.0

Elemento: 3022 - Palo singolo

Cmb. (Tipo)	Palo	coord.X	coord.Y	N	Ced.Vert
n.	n.	cm	cm	daN	mm
073 (SLD sism.)	1	0.000	0.000	-38470.0	0.109

Sollecitazioni:

Cmb	Tipologia	Sism.	N	Tx	Ty	Mx	My
n.			daN	daN	daN	daN cm	daN cm
073	SLD	Si	-38470.0	-4643.4	5729.3	883300.0	763600.0

Elemento: 3027 - Palo singolo

Cmb. (Tipo)	Palo	coord.X	coord.Y	N	Ced.Vert
n.	n.	cm	cm	daN	mm
078 (SLD sism.)	1	0.000	0.000	-33720.0	0.095

Sollecitazioni:

Cmb	Tipologia	Sism.	N	Tx	Ty	Mx	My
n.			daN	daN	daN	daN cm	daN cm
078	SLD	Si	-33720.0	-3121.2	-4531.9	-705000.0	517700.0

Elemento: 3030 - Palo singolo

Cmb. (Tipo)	Palo	coord.X	coord.Y	N	Ced.Vert
n.	n.	cm	cm	daN	mm
062 (SLD sism.)	1	0.000	0.000	-29790.0	0.084

Sollecitazioni:

Cmb	Tipologia	Sism.	N	Tx	Ty	Mx	My
n.			daN	daN	daN	daN cm	daN cm
062	SLD	Si	-29790.0	-5773.6	-564.5	-78900.0	884700.0

Elemento: 3033 - Palo singolo

Cmb. (Tipo)	Palo	coord.X	coord.Y	N	Ced.Vert
n.	n.	cm	cm	daN	mm
053 (SLD sism.)	1	0.000	0.000	-30720.0	0.087

Sollecitazioni:

Cmb	Tipologia	Sism.	N	Tx	Ty	Mx	My
n.			daN	daN	daN	daN cm	daN cm
053	SLD	Si	-30720.0	-6844.6	3034.9	480200.0	1076000.0

Elemento: 3036 - Palo singolo

Cmb. (Tipo)	Palo	coord.X	coord.Y	N	Ced.Vert
n.	n.	cm	cm	daN	mm
053 (SLD sism.)	1	0.000	0.000	-32800.0	0.093

Sollecitazioni:

Cmb	Tipologia	Sism.	N	Tx	Ty	Mx	My
n.			daN	daN	daN	daN cm	daN cm
053	SLD	Si	-32800.0	-6920.4	3071.4	501000.0	1099000.0

Elemento: 3039 - Palo singolo

Cmb. (Tipo)	Palo	coord.X	coord.Y	N	Ced.Vert
n.	n.	cm	cm	daN	mm
053 (SLD sism.)	1	0.000	0.000	-34090.0	0.096

Sollecitazioni:

Cmb	Tipologia	Sism.	N	Tx	Ty	Mx	My
n.			daN	daN	daN	daN cm	daN cm
053	SLD	Si	-34090.0	-6718.4	3010.1	483200.0	1054000.0

Elemento: 3042 - Palo singolo

Cmb. (Tipo)	Palo	coord.X	coord.Y	N	Ced.Vert
n.	n.	cm	cm	daN	mm
062 (SLD sism.)	1	0.000	0.000	-34640.0	0.098

Sollecitazioni:

Cmb	Tipologia	Sism.	N	Tx	Ty	Mx	My
n.			daN	daN	daN	daN cm	daN cm
062	SLD	Si	-34640.0	-6803.3	-594.1	-92300.0	1091000.0

Elemento: 3046 - Palo singolo

Cmb. (Tipo)	Palo	coord.X	coord.Y	N	Ced.Vert
n.	n.	cm	cm	daN	mm
053 (SLD sism.)	1	0.000	0.000	-28410.0	0.080

Sollecitazioni:

Cmb	Tipologia	Sism.	N	Tx	Ty	Mx	My
n.			daN	daN	daN	daN cm	daN cm
053	SLD	Si	-28410.0	-7196.6	3238.0	551600.0	1159000.0

Elemento: 3048 - Palo singolo

Cmb. (Tipo)	Palo	coord.X	coord.Y	N	Ced.Vert
n.	n.	cm	cm	daN	mm
068 (SLD sism.)	1	0.000	0.000	-42040.0	0.119

Sollecitazioni:

Cmb	Tipologia	Sism.	N	Tx	Ty	Mx	My
n.			daN	daN	daN	daN cm	daN cm
068	SLD	Si	-42040.0	4497.8	-6815.7	-1046000.0	-730300.0

Elemento: 3051 - Palo singolo

Cmb. (Tipo)	Palo	coord.X	coord.Y	N	Ced.Vert
n.	n.	cm	cm	daN	mm
066 (SLD sism.)	1	0.000	0.000	-44840.0	0.127

Sollecitazioni:

Cmb	Tipologia	Sism.	N	Tx	Ty	Mx	My
n.			daN	daN	daN	daN cm	daN cm
066	SLD	Si	-44840.0	795.9	-6827.3	-1073000.0	-142300.0

Elemento: 3055 - Palo singolo

Cmb. (Tipo)	Palo	coord.X	coord.Y	N	Ced.Vert
n.	n.	cm	cm	daN	mm
056 (SLD sism.)	1	0.000	0.000	-31760.0	0.090

Sollecitazioni:

Cmb	Tipologia	Sism.	N	Tx	Ty	Mx	My
n.			daN	daN	daN	daN cm	daN cm
056	SLD	Si	-31760.0	7097.7	-3080.2	-470600.0	-1144000.0

Elemento: 3058 - Palo singolo

Cmb. (Tipo)	Palo	coord.X	coord.Y	N	Ced.Vert
n.	n.	cm	cm	daN	mm
047 (SLD sism.)	1	0.000	0.000	-34110.0	0.097

Sollecitazioni:

Cmb	Tipologia	Sism.	N	Tx	Ty	Mx	My
n.			daN	daN	daN	daN cm	daN cm
047	SLD	Si	-34110.0	5966.3	228.7	10520.0	-966900.0

Elemento: 3061 - Palo singolo

Cmb. (Tipo)	Palo	coord.X	coord.Y	N	Ced.Vert
n.	n.	cm	cm	daN	mm
069 (SLD sism.)	1	0.000	0.000	-36970.0	0.105

Sollecitazioni:

Cmb	Tipologia	Sism.	N	Tx	Ty	Mx	My
n.			daN	daN	daN	daN cm	daN cm
069	SLD	Si	-36970.0	-3691.6	5776.9	800500.0	576700.0

Elemento: 3064 - Palo singolo

Cmb. (Tipo)	Palo	coord.X	coord.Y	N	Ced.Vert
n.	n.	cm	cm	daN	mm
050 (SLD sism.)	1	0.000	0.000	-40330.0	0.114

Sollecitazioni:

Cmb	Tipologia	Sism.	N	Tx	Ty	Mx	My
n.			daN	daN	daN	daN cm	daN cm
050	SLD	Si	-40330.0	-5387.4	-1024.4	-177200.0	831800.0

Elemento: 3086 - Palo singolo

Cmb. (Tipo)	Palo	coord.X	coord.Y	N	Ced.Vert
n.	n.	cm	cm	daN	mm
047 (SLD sism.)	1	0.000	0.000	-35500.0	0.100

Sollecitazioni:

Cmb	Tipologia	Sism.	N	Tx	Ty	Mx	My
n.			daN	daN	daN	daN cm	daN cm
047	SLD	Si	-35500.0	7163.1	597.3	91560.0	-1174000.0

Elemento: 3090 - Palo singolo

Cmb. (Tipo)	Palo	coord.X	coord.Y	N	Ced.Vert
n.	n.	cm	cm	daN	mm
063 (SLD sism.)	1	0.000	0.000	-40960.0	0.116

Sollecitazioni:

Cmb	Tipologia	Sism.	N	Tx	Ty	Mx	My
n.			daN	daN	daN	daN cm	daN cm
063	SLD	Si	-40960.0	3293.2	5046.5	779800.0	-574300.0

Elemento: 3107 - Palo singolo

Cmb. (Tipo)	Palo	coord.X	coord.Y	N	Ced.Vert
n.	n.	cm	cm	daN	mm
063 (SLD sism.)	1	0.000	0.000	-46770.0	0.132

Sollecitazioni:

Cmb	Tipologia	Sism.	N	Tx	Ty	Mx	My
n.			daN	daN	daN	daN cm	daN cm
063	SLD	Si	-46770.0	3257.1	5904.3	897100.0	-563900.0

Elemento: 3205 - Palo singolo

Cmb. (Tipo)	Palo	coord.X	coord.Y	N	Ced.Vert
n.	n.	cm	cm	daN	mm
063 (SLD sism.)	1	0.000	0.000	-42820.0	0.121

Sollecitazioni:

Cmb	Tipologia	Sism.	N	Tx	Ty	Mx	My
n.			daN	daN	daN	daN cm	daN cm
063	SLD	Si	-42820.0	3241.9	5888.5	872100.0	-575400.0

Elemento: 3206 - Palo singolo

Cmb. (Tipo)	Palo	coord.X	coord.Y	N	Ced.Vert
n.	n.	cm	cm	daN	mm
069 (SLD sism.)	1	0.000	0.000	-53660.0	0.152

Sollecitazioni:

Cmb	Tipologia	Sism.	N	Tx	Ty	Mx	My
n.			daN	daN	daN	daN cm	daN cm
069	SLD	Si	-53660.0	-605.7	6074.5	912000.0	36210.0

Elemento: 3207 - Palo singolo

Cmb. (Tipo)	Palo	coord.X	coord.Y	N	Ced.Vert
n.	n.	cm	cm	daN	mm
052 (SLD sism.)	1	0.000	0.000	-45590.0	0.129

Sollecitazioni:

Cmb	Tipologia	Sism.	N	Tx	Ty	Mx	My
n.			daN	daN	daN	daN cm	daN cm
052	SLD	Si	-45590.0	6334.2	750.9	143400.0	-1014000.0

Elemento: 3208 - Palo singolo

Cmb. (Tipo)	Palo	coord.X	coord.Y	N	Ced.Vert
n.	n.	cm	cm	daN	mm
069 (SLD sism.)	1	0.000	0.000	-56890.0	0.161

Sollecitazioni:

Cmb	Tipologia	Sism.	N	Tx	Ty	Mx	My
n.			daN	daN	daN	daN cm	daN cm
069	SLD	Si	-56890.0	-592.1	6299.1	932000.0	19460.0

Elemento: 3209 - Palo singolo

Cmb. (Tipo)	Palo	coord.X	coord.Y	N	Ced.Vert
n.	n.	cm	cm	daN	mm
056 (SLD sism.)	1	0.000	0.000	-47780.0	0.135

Sollecitazioni:

Cmb	Tipologia	Sism.	N	Tx	Ty	Mx	My
n.			daN	daN	daN	daN cm	daN cm
056	SLD	Si	-47780.0	6113.5	-2888.4	-424600.0	-951700.0

Elemento: 3210 - Palo singolo

Cmb. (Tipo)	Palo	coord.X	coord.Y	N	Ced.Vert
n.	n.	cm	cm	daN	mm
069 (SLD sism.)	1	0.000	0.000	-59610.0	0.169

Sollecitazioni:

Cmb	Tipologia	Sism.	N	Tx	Ty	Mx	My
n.			daN	daN	daN	daN cm	daN cm
069	SLD	Si	-59610.0	-491.2	6535.1	955200.0	-2909.8

Elemento: 3211 - Palo singolo

Cmb. (Tipo)	Palo	coord.X	coord.Y	N	Ced.Vert
n.	n.	cm	cm	daN	mm
068 (SLD sism.)	1	0.000	0.000	-47450.0	0.134

Sollecitazioni:

Cmb	Tipologia	Sism.	N	Tx	Ty	Mx	My
n.			daN	daN	daN	daN cm	daN cm
068	SLD	Si	-47450.0	3024.3	-7193.7	-1105000.0	-446700.0

Elemento: 3212 - Palo singolo

Cmb. (Tipo)	Palo	coord.X	coord.Y	N	Ced.Vert
n.	n.	cm	cm	daN	mm
069 (SLD sism.)	1	0.000	0.000	-60730.0	0.172

Sollecitazioni:

Cmb	Tipologia	Sism.	N	Tx	Ty	Mx	My
n.			daN	daN	daN	daN cm	daN cm
069	SLD	Si	-60730.0	-2183.8	6838.3	996700.0	278900.0

Elemento: 3213 - Palo singolo

Cmb. (Tipo)	Palo	coord.X	coord.Y	N	Ced.Vert
n.	n.	cm	cm	daN	mm
050 (SLD sism.)	1	0.000	0.000	-47170.0	0.133

Sollecitazioni:

Cmb	Tipologia	Sism.	N	Tx	Ty	Mx	My
n.			daN	daN	daN	daN cm	daN cm
050	SLD	Si	-47170.0	-5398.7	-4360.9	-741900.0	822300.0

Elemento: 3214 - Palo singolo

Cmb. (Tipo)	Palo	coord.X	coord.Y	N	Ced.Vert
n.	n.	cm	cm	daN	mm
069 (SLD sism.)	1	0.000	0.000	-58870.0	0.167

Sollecitazioni:

Cmb	Tipologia	Sism.	N	Tx	Ty	Mx	My
n.			daN	daN	daN	daN cm	daN cm
069	SLD	Si	-58870.0	-2618.9	7330.2	1081000.0	372000.0

Elemento: 3215 - Palo singolo

Cmb. (Tipo)	Palo	coord.X	coord.Y	N	Ced.Vert
n.	n.	cm	cm	daN	mm
057 (SLD sism.)	1	0.000	0.000	-55410.0	0.157

Sollecitazioni:

Cmb	Tipologia	Sism.	N	Tx	Ty	Mx	My
n.			daN	daN	daN	daN cm	daN cm
057	SLD	Si	-55410.0	-6452.5	3255.3	470500.0	1012000.0

Elemento: 3217 - Palo singolo

Cmb. (Tipo)	Palo	coord.X	coord.Y	N	Ced.Vert
n.	n.	cm	cm	daN	mm
050 (SLD sism.)	1	0.000	0.000	-49240.0	0.139

Sollecitazioni:

Cmb	Tipologia	Sism.	N	Tx	Ty	Mx	My
n.			daN	daN	daN	daN cm	daN cm
050	SLD	Si	-49240.0	-5323.4	-4517.1	-766100.0	818000.0

Elemento: 3218 - Palo singolo

Cmb. (Tipo)	Palo	coord.X	coord.Y	N	Ced.Vert		
n.	n.	cm	cm	daN	mm		
050 (SLD sism.)	1	0.000	0.000	-54910.0	0.155		
Sollecitazioni:							
Cmb	Tipologia	Sism.	N	Tx	Ty	Mx	My
n.			daN	daN	daN	daN cm	daN cm
050	SLD	Si	-54910.0	-5463.6	-1035.5	-155400.0	862500.0

Elemento: 3265 - Palo singolo

Cmb. (Tipo)	Palo	coord.X	coord.Y	N	Ced.Vert		
n.	n.	cm	cm	daN	mm		
066 (SLD sism.)	1	0.000	0.000	-49240.0	0.139		
Sollecitazioni:							
Cmb	Tipologia	Sism.	N	Tx	Ty	Mx	My
n.			daN	daN	daN	daN cm	daN cm
066	SLD	Si	-49240.0	884.3	-8661.0	-1390000.0	-167300.0

Elemento: 3492 - Palo singolo

Cmb. (Tipo)	Palo	coord.X	coord.Y	N	Ced.Vert		
n.	n.	cm	cm	daN	mm		
068 (SLD sism.)	1	0.000	0.000	-28540.0	0.081		
Sollecitazioni:							
Cmb	Tipologia	Sism.	N	Tx	Ty	Mx	My
n.			daN	daN	daN	daN cm	daN cm
068	SLD	Si	-28540.0	4587.6	-5533.0	-901600.0	-758600.0

Elemento: 3497 - Palo singolo

Cmb. (Tipo)	Palo	coord.X	coord.Y	N	Ced.Vert		
n.	n.	cm	cm	daN	mm		
066 (SLD sism.)	1	0.000	0.000	-54890.0	0.155		
Sollecitazioni:							
Cmb	Tipologia	Sism.	N	Tx	Ty	Mx	My
n.			daN	daN	daN	daN cm	daN cm
066	SLD	Si	-54890.0	847.7	-8308.0	-1330000.0	-157000.0

Elemento: 3499 - Palo singolo

Cmb. (Tipo)	Palo	coord.X	coord.Y	N	Ced.Vert		
n.	n.	cm	cm	daN	mm		
068 (SLD sism.)	1	0.000	0.000	-31980.0	0.090		
Sollecitazioni:							
Cmb	Tipologia	Sism.	N	Tx	Ty	Mx	My
n.			daN	daN	daN	daN cm	daN cm
068	SLD	Si	-31980.0	4602.7	-5745.0	-927500.0	-763100.0

Elemento: 3501 - Palo singolo

Cmb. (Tipo)	Palo	coord.X	coord.Y	N	Ced.Vert		
n.	n.	cm	cm	daN	mm		
068 (SLD sism.)	1	0.000	0.000	-35420.0	0.100		
Sollecitazioni:							
Cmb	Tipologia	Sism.	N	Tx	Ty	Mx	My
n.			daN	daN	daN	daN cm	daN cm
068	SLD	Si	-35420.0	4616.6	-5918.3	-927400.0	-767200.0

Elemento: 3504 - Palo singolo

Cmb. (Tipo)	Palo	coord.X	coord.Y	N	Ced.Vert		
n.	n.	cm	cm	daN	mm		
068 (SLD sism.)	1	0.000	0.000	-39260.0	0.111		
Sollecitazioni:							
Cmb	Tipologia	Sism.	N	Tx	Ty	Mx	My
n.			daN	daN	daN	daN cm	daN cm
068	SLD	Si	-39260.0	4553.6	-6285.3	-964500.0	-748600.0

Elemento: 3509 - Palo singolo

Cmb. (Tipo)	Palo	coord.X	coord.Y	N	Ced.Vert		
n.	n.	cm	cm	daN	mm		
063 (SLD sism.)	1	0.000	0.000	-33990.0	0.096		
Sollecitazioni:							
Cmb	Tipologia	Sism.	N	Tx	Ty	Mx	My
n.			daN	daN	daN	daN cm	daN cm
063	SLD	Si	-33990.0				

n.			daN	daN	daN	daN cm	daN cm
063	SLD	Si	-33990.0	3059.3	5136.8	800200.0	-507700.0

Elemento: 3512 - Palo singolo

Cmb. (Tipo)	Palo	coord.X	coord.Y	N	Ced.Vert		
n.	n.	cm	cm	daN	mm		
047 (SLD sism.)	1	0.000	0.000	-29770.0	0.084		

Sollecitazioni:

Cmb	Tipologia	Sism.	N	Tx	Ty	Mx	My
n.			daN	daN	daN	daN cm	daN cm
047	SLD	Si	-29770.0	5818.6	554.2	76670.0	-892000.0

Elemento: 3515 - Palo singolo

Cmb. (Tipo)	Palo	coord.X	coord.Y	N	Ced.Vert		
n.	n.	cm	cm	daN	mm		
056 (SLD sism.)	1	0.000	0.000	-30670.0	0.087		

Sollecitazioni:

Cmb	Tipologia	Sism.	N	Tx	Ty	Mx	My
n.			daN	daN	daN	daN cm	daN cm
056	SLD	Si	-30670.0	6833.5	-3049.5	-482600.0	-1074000.0

Elemento: 3518 - Palo singolo

Cmb. (Tipo)	Palo	coord.X	coord.Y	N	Ced.Vert		
n.	n.	cm	cm	daN	mm		
056 (SLD sism.)	1	0.000	0.000	-32740.0	0.093		

Sollecitazioni:

Cmb	Tipologia	Sism.	N	Tx	Ty	Mx	My
n.			daN	daN	daN	daN cm	daN cm
056	SLD	Si	-32740.0	6909.2	-3084.1	-503000.0	-1098000.0

Elemento: 3521 - Palo singolo

Cmb. (Tipo)	Palo	coord.X	coord.Y	N	Ced.Vert		
n.	n.	cm	cm	daN	mm		
056 (SLD sism.)	1	0.000	0.000	-34040.0	0.096		

Sollecitazioni:

Cmb	Tipologia	Sism.	N	Tx	Ty	Mx	My
n.			daN	daN	daN	daN cm	daN cm
056	SLD	Si	-34040.0	6723.9	-3022.3	-485000.0	-1055000.0

Elemento: 3524 - Palo singolo

Cmb. (Tipo)	Palo	coord.X	coord.Y	N	Ced.Vert		
n.	n.	cm	cm	daN	mm		
047 (SLD sism.)	1	0.000	0.000	-34680.0	0.098		

Sollecitazioni:

Cmb	Tipologia	Sism.	N	Tx	Ty	Mx	My
n.			daN	daN	daN	daN cm	daN cm
047	SLD	Si	-34680.0	6812.3	577.6	89460.0	-1092000.0